

**KARADENİZ TEKNİK ÜNİVERSİTESİ
FEN BİLİMLERİ ENSTİTÜSÜ**

İNŞAAT MÜHENDİSLİĞİ ANABİLİM DALI

**DAYANMA YAPILARINDA YATAY ŞİŞME BASINCLARININ ARAKESİT
ELEMANLARIN KULLANILDIĞI SONLU ELEMANLAR YÖNTEMİ İLE
MODELLENMESİ**

127542

İnş. Yük. Müh. Ahmet ŞENOL

Karadeniz Teknik Üniversitesi Fen Bilimleri Enstitüsünce

“Doktor”

Ünvanı Verilmesi İçin Kabul Edilen Tezdir.

**TC. YÜKSEKÖĞRETİM KURULU
DOKÜmantasyon MERKEZİ**

127542

Tezin Enstitüye Verildiği Tarih : 01 – Mayıs - 2002

Tezin Savunma Tarihi : 17 – Eylül - 2002

Tez Danışmanı	: Prof. Dr. Mustafa AYTEKİN	
Jüri Üyesi	: Prof. Dr. Ahmet Orhan EROL	
Jüri Üyesi	: Prof. Dr. Bayram Ali UZUNER	
Jüri Üyesi	: Prof. Dr. Fikri BULUT	
Jüri Üyesi	: Yrd. Doç. Dr. Zekai ANGIN	

Enstitü Müdürü : Prof. Dr. Asım KADIOĞLU

A. KADIOĞLU

Trabzon 2002

ÖNSÖZ

Karadeniz Teknik Üniversitesi Fen Bilimleri Enstitüsü İnşaat Mühendisliği Anabilim Dalı'nda Doktora Tezi olarak yapılan bu çalışmada, dayanma yapılarında yatay şişme basınclarının arakesit elemanların kullanıldığı sonlu elemanlar yöntemiyle modellenmesi incelenmiştir.

Bu çalışmayı bana önererek, yoğun işlerine rağmen çalışmanın her aşamasında ilgisini, sabrını esirgemeyen, bilgi ve tecrübelerinden faydalandığım, çalışmamda bana yol gösteren danışman hocam **Prof. Dr. Mustafa AYTEKİN'** e şükran ve minnetlerimi sunarım.

Öğrenim hayatım boyunca bana emeği geçen bütün hocalarımı, çalışmalarımın başından sonuna kadar her konuda yakın ilgi ve yardımlarını gördüğüm iş arkadaşlarına teşekkürü bir borç bilirim.

Bütün eğitim ve öğrenimim süresince, beni hoşgörü ve sabırla destekleyen, hiçbirşeyi benden esirgemeyen rahmetli babamı saygıyla anar, anneme ve ailemin tüm bireylerine müteşekkir olduğumu belirtir, gösterdikleri yakın ilgi ve destek dolayısıyla aileme ve eşime en derin sevgilerimi sunarım.

Bu çalışmanın bilim ve uygulama alanında çalışanlara yararlı olmasını içtenlikle temenni ederim.

Ahmet ŞENOL

İÇİNDEKİLER

Sayfa No

ÖNSÖZ -----	II
İÇİNDEKİLER -----	III
ÖZET -----	VI
SUMMARY -----	VII
ŞEKİLLER DİZİNİ -----	VIII
TABLOLAR DİZİNİ -----	XII
SEMBOLLER DİZİNİ -----	XIII
1. GENEL BİLGİLER -----	1
1.1. Giriş -----	1
1.2. Killerin Minerolojik, Fiziksel ve Mühendislik Özellikleri -----	4
1.3. Şişen Kil Zeminlerin Orijini -----	12
1.4. Şişen Zeminlerde Şişme Mekanizması -----	13
1.5. Zemin Suyu Potansiyeli -----	21
1.5.1. Matris Potansiyeli -----	22
1.5.2. Yerçekimi Potansiyeli -----	22
1.5.3. Katman Basıncı Potansiyeli -----	22
1.6. Şişme Potansiyelinin Belirlenmesi -----	23
1.7. Zemin Emme Gerilmesinin Belirlenmesi ile İlgili Çalışmalar -----	29
1.8. Şişme Yüzdesinin Belirlenmesi ile İlgili Çalışmalar -----	34
1.9. Emme Gerilmesinin Şişme Davranışına Etkisi -----	35
1.10. Şişmeye Etki Eden Diğer Faktörler -----	39
1.11. Yatay Doğrultuda Şişme Basıncı -----	41
1.11.1. Teorik yaklaşımlar -----	41
1.12. Başlıca Deneysel Analizler -----	47
1.13. Zemin Elastisite Modülünün Belirlenmesi -----	56
2. YAPILAN ÇALIŞMALAR -----	63
2.1. Şişen Zeminlerde Şekil Değişimleri ve Gerilmeler -----	63
2.2. Süreksizliğin Mekanik Özellikleri -----	64
2.3. Şişen Zemin Modeli ve Arakesit Davranışı -----	65

2.4. Zemin-Yapı Elemanları -----	65
2.5. Arakesit Davranışı -----	66
2.6. Şişen Zemin Modeli -----	68
2.7. Zemin Elemanın Yük-Rijitlik-Deplasman İlişkisi -----	69
2.8. Zemin Elemanın Birim Boy Kısalması – Deplasman İlişkisi -----	70
2.9. Zeminin Gerilme-Şekil Değiştirme İlişkisi -----	73
2.10. Eleman Rijitlik Matrisi -----	77
2.11. Zemin Elemanına Etkiyen Kuvvetler -----	77
2.12. Arakesit Eleman -----	80
2.13. Arakesit Deformasyon Modeli -----	80
2.14. Arakesitin Gerilme-Şekil Değiştirme İlişkisi -----	82
2.15. Arakesit Elemanın Rijitlik Matrisi-----	84
2.16. Arakesitteki Başlangıç Gerilmeleri -----	85
2.17. Bilgisayar Programı “SWELPRES”-----	87
2.18. Programın Yapısı-----	87
2.19. Şişme Kuvvetleri -----	89
3. BULGULAR VE TARTIŞMA -----	91
3.1. Deneysel Çalışma İle Karşılaştırma-----	91
3.2. Dolgu Malzemesi : Şişen Zemin -----	92
3.3. Dolgu Malzemesi : Kohezyonlu Şişmeyen Zemin-----	97
3.4. Dolgu Malzemesi: Farklı Kalınlıklarda Kohezyonlu Şişmeyen Dolgu Zemini İle Birlikte Şişen Zemin-----	101
3.5. İncelenen Durumlar -----	106
3.5.1. İncelenen Durum .I Dolgular İstinat Duvarı Arkasında, Dolgu Malzemesi : K SZ -----	111
3.5.2. İncelenen Durum .II Dolgular Doğal Zemin Üzerine Serilmiş, Dolgu Malzemesi : K SZ -----	122
3.5.3. İncelenen Durum .III Dolgular İstinat Duvarı Arkasında, Dolgu Malzemesi : Gevşek Kum -----	129
3.5.4. İncelenen Durum .IV K SZ ile Gevşek Kum Dolgunun Karşılaştırılması -----	134

3.5.5. İncelenen Durum .V Dolgu Malzemesi Expanded Polistiren (EPS)

Sert KöpükStyropor-----	134
4. SONUÇLAR VE ÖNERİLER -----	139
5. KAYNAKLAR-----	141
6. EKLER-----	148
ÖZGEÇMİŞ -----	207



ÖZET

Doğadaki gerçek durumu yansıtması açısından zemin ortamının daha iyi modellenmesi için özellikle zemin-yapı arasındaki süreksizlik yüzeylerinin dikkate alınması gerekmektedir. Zeminler genellikle sürekli modeller kullanılarak analiz edilmiş olmasına rağmen bu çalışmada zemin-duvar, farklı zeminler arası süreksizlik yüzeyi olarak göz önünde bulundurulmuştur. Süreksizlik yüzeyleri sonlu elemanlar metodunda kullanılan “arakesit eleman” ile modellenmiştir

Bu çalışmada, genel bilgiler başlığı altında şisen zeminlerle ilgili literatür çalışması verilerek teorik ve deneysel çalışmalar anlatılmıştır. Yapılan çalışmalar bölümünde arakesit elemanlı sonlu elemanlar modeli geliştirilmiştir. Bu model dikkate alınarak Fortran dilinde SWELPRES adında sonlu elemanlar programı hazırlanmıştır. Bulgular ve tartışmalar bölümünde, zeminin derinliği ile değişen emme gerilmesi dikkate alınarak yatay şişme basınçları SWELPRES ile bulunmuştur. Bulunan sonuçlar başka araştırmacılar tarafından yapılan, deneysel sonuçlar ve arakesit eleman kullanılmadan yapılmış sonlu elemanlar modeli (LATEXP2D) sonuçları ile karşılaştırılarak irdelenmiştir.

Ek olarak, çeşitli modellerde farklı dolgu kalınlıkları kullanılarak istinat duvarına aktarılan yatay basınçlar incelenmiştir. Dolgular dayanma duvarı arkasına ve zemin yüzeyine çeşitli kalınlıklarda yerleştirilmiştir. Dolgu malzemesi olarak kohezyonlu şısmeyen zemin (K SZ) ile gevşek kum kullanılarak bulunan sonuçlar karşılaştırılmıştır. Dolgu kalınlığı ve maksimum yatay basınç arasında bir ilişki geliştirilerek, tahmin edilen şişme basınçına karşılık ne kadarlık kalınlıkta dolgu yapılabileceği önceden belirlenebilecektir. Ayrıca, Sert Köpük Styropor (Expanded Polistiren, EPS) malzemesinin dayanma duvarı arkasında kullanılabilirliği araştırılmış ve SWELPRES programının uygulanıp uygulanamayacağı tespit edilmiştir.

Anahtar Kelimeler: Zemin emme gerilmesi, şisen zemin, şişme basıncı, arakesit eleman, sonlu elemanlar yöntemi, dayanma yapıları

SUMMARY

Modeling of Lateral Earth Pressures Transmitted to Retaining Structures by Finite Element Method Using Joint Element

Discontinuities must be considered to express real condition of nature in the soil media. Although soil is analysed using continuities models, in this study soil-structure and various soils interaction is considered as discountinuties. Discountinuties have friction between soil and structure as well as various soils. Therefore, interaction between the wall and backfill is modelled by using finite element model with joint element.

In this study, under the title of introduction the literature is given about the theoretical and experimental analyses. In following chapter, the finite element model and a Fortran-90 code that is called SWELPRES is given. In the investigation and discussion chapter, transmitted lateral pressure distributions behind the retaining structure are determined by SWELPRES. The results of SWELPRES have been compared with both the results of LATEXP2D, and the experimental observations performed by others.

In addition, transmitted lateral pressure distributions behind the retaining wall are examined in various models with different thickness of backfills. Backfills and covers with various thickness are placed behind retaining wall and on the soil surface. Cohesive Non-Swelling soils and loose sand are used as backfill materials and their swelling pressures compared with each other. A relationship is developed between thickness of backfill and maximum lateral swelling pressure. Thus, how much thickness of backfill is necessary for the estimated lateral swelling pressure is determined at first. Besides, Expanded Polistiren (EPS) is research as backfill materials behind the retaining wall.

Key Words : Soil suction, expansive soil, swelling pressure, joint element, finite element method, retaining wall

TC-YÜKSEK ÖĞRETİM KURULU
BÖLÜM DEĞERLENDİRME MÜKEMMELİĞİ

ŞEKİLLER DİZİNİ

Sayfa No

Şekil 1. Kaolinit gurubu killerin kristal yapısı ve şematik gösterimi -----	8
Şekil 2. İllit gurubu killerin şematik gösterimi -----	9
Şekil 3. Smektit gurubu killerin kristal yapısı ve şematik gösterimi -----	11
Şekil 4. Saf sudaki kil “misel” (Aytekin, 1992) -----	15
Şekil 5. İki kil partikülü arasındaki basınçlar (Aytekin, 1992) -----	16
Şekil 6. Osmotik basıncın şematik gösterimi (Aytekin, 1995) -----	18
Şekil 7. Kil partikülleri arasındaki çift tabakalar (Aytekin, 1992) -----	20
Şekil 8. Başlangıç su muhtevası.- Hacim değişimi ilişkisi -----	24
Şekil 9. Başlangıç kuru birim hacim ağırlığı- Hacim değişimi ilişkisi-----	24
Şekil 10. Sürşarj basıncı – Hacim değişimi ilişkisi -----	25
Şekil 11. Van Der Merwe metoduna göre potansiyel kabarma ilişkisi-----	26
Şekil 12. Ön konsolidasyon basıncına göre düzeltilmiş şişme basıncı -----	28
Şekil 13. Düzeltilmiş şişme basıncının bulunması -----	33
Şekil 14. Emme indisi tahmini için abak -----	38
Şekil 15. Duvar ile şişen zemin arasındaki değişik kalınlıklardaki kohezyonlu şısmeyen zemin (K SZ) durumunda, şişen zemin için, sadece şişen zemin için, ayrıca sadece kohezyonlu şısmeyen (K SZ) zemin için yatay basınçların derinlikle değişimi. (Katti ve diğerleri, 1983) -----	53
Şekil 16. Şişen zemin üstünde değişik kalınlıklarda kohezyonlu şısmeyen zemin (K SZ) durumunda, şişen zemin için, sadece şişen zemin için, ayrıca sadece kohezyonlu şısmeyen (K SZ) zemin için yatay basınçların derinlikle değişimi. (Katti ve diğerleri, 1983) -----	54
Şekil 17. Duvar arkası ve şişen zemin üstünde değişik kalınlıklardaki kohezyonlu şısmeyen zemin (K SZ) durumunda, şişen zemin için, sadece şişen zemin için, ayrıca sadece kohezyonlu şısmeyen (K SZ) zemin için yatay basınçların derinlikle değişimi. (Katti ve diğerleri, 1983)-----	55
Şekil 18. Zeminin gerilme – şekil değiştirme eğrisi -----	57

Şekil 19. Direkt kesme deney düzeneği -----	65
Şekil 20. Arakesitin gerilme-deplasman eğrileri -----	67
Şekil 21. Üç düğüm noktalı üçgen eleman -----	71
Şekil 22. Arakesit eleman -----	81
Şekil 23. Düğüm noktaları ve eleman sayıları. (a) problemin koordinat akşları, (b) üçgen ve (c) arakesit elemanın lokal düğüm noktası sıralaması -----	88
Şekil 24. Bir elemandaki başlangıç ve son emme gerilmesi değerleri -----	90
Şekil 25. MRBC-76'ya ait derinliğe bağlı kayma gerilmesi dağılımı -----	95
Şekil 26. Şişen zemin kullanılması halinde Kattı'nın deneysel verileri, Aytekin'in sayısal verileri ve arakesit kullanılmış olarak bulunan sayısal veriler arasındaki yatay şışme basıncı karşılaştırması. -----	96
Şekil 27. Şişen zemin ve kohezyonlu şısmeyen zemin için emme gerilmesi – su muhtevası arasındaki ilişki -----	99
Şekil 28. Kohezyonlu şısmeyen zemin kullanılması halinde Kattı'nın deneysel verileri, Aytekin'in sayısal verileri ve arakesit kullanılmış olarak bulunan sayısal veriler arasındaki yatay şışme basıncı karşılaştırması -----	100
Şekil 29. Arka dolgu olarak 20 cm kohezyonlu şısmeyen zemin kullanılması halinde Kattı'nın deneysel verileri, Aytekin'in sayısal verileri ve arakesit kullanılmış olarak bulunan sayısal veriler arasındaki yatay şışme basıncı karşılaştırması.-----	102
Şekil 30. Arka dolgu olarak 40 cm kohezyonlu şısmeyen zemin kullanılması halinde Kattı'nın deneysel verileri, Aytekin'in sayısal verileri ve arakesit kullanılmış olarak bulunan sayısal veriler arasındaki yatay şışme basıncı karşılaştırması.-----	103
Şekil 31. Arka dolgu olarak 60 cm kohezyonlu şısmeyen zemin kullanılması halinde Kattı'nın deneysel verileri, Aytekin'in sayısal verileri ve arakesit kullanılmış olarak bulunan sayısal veriler arasındaki yatay şışme basıncı karşılaştırması.-----	104
Şekil 32. Arka dolgu olarak 100 cm kohezyonlu şısmeyen zemin kullanılması halinde Kattı'nın deneysel verileri, Aytekin'in sayısal verileri ve arakesit kullanılmış olarak bulunan sayısal veriler arasındaki yatay şışme basıncı karşılaştırması -----	105

Şekil 33. İki ekstrem statik şart için emme gerilmesi zarfı (kuru ve doygun), Aytekin (1992)	108
Şekil 34. Zemin derinliğinin ve su muhtevasının fonksiyonu olarak şişen zeminin elastisite modülünün değişimi	110
Şekil 35. İncelenen durum için zemin sisteminin boyutları ve sınır şartları	113
Şekil 36. İstinat duvarı dolgu kalınlıkları ve sonlu elemanlar modeli	114
Şekil 37. İstinat duvarı arkasında yalnızca şişen zemin (dolgu yok) olması halinde derinlik boyunca aktif, pasif ve şişme basıncı dağılımı	115
Şekil 38. İstinat duvarı arkasında 0.5 metre KŞZ dolgu olması halinde derinlik boyunca aktif, pasif ve şişme basıncı dağılımı	116
Şekil 39. İstinat duvarı arkasında 1 metre KŞZ olması halinde derinlik boyunca aktif, pasif ve şişme basıncı dağılımı	117
Şekil 40. İstinat duvarı arkasında 1.5 metre KŞZ olması halinde derinlik boyunca aktif, pasif ve şişme basıncı dağılımı	118
Şekil 41. İstinat duvarı arkasında 2 metre KŞZ olması halinde derinlik boyunca aktif, pasif ve şişme basıncı dağılımı	119
Şekil 42. İstinat duvarı arkasında 3 metre KŞZ olması halinde derinlik boyunca aktif, pasif ve şişme basıncı dağılımı	120
Şekil 43. Maksimum şişme gerilmesi – Dolgu kalınlığı ilişkisi	121
Şekil 44. Doğal zemin üzerine serilen dolgu kalınlıkları ve sonlu elemanlar modeli	123
Şekil 45. Doğal zemin üzerine serilmiş 0.5 metre KŞZ olması halinde derinlik	124
Şekil 46. Doğal zemin üzerine serilmiş 1 metre KŞZ olması halinde derinlik boyunca aktif, pasif ve şişme basınçları dağılımı	125
Şekil 47. Doğal zemin üzerine serilmiş 1.5 metre KŞZ olması halinde derinlik boyunca aktif, pasif ve şişme basınçları dağılımı	126
Şekil 48. Doğal zemin üzerine serilmiş 2 metre KŞZ olması halinde derinlik boyunca aktif, pasif ve şişme basınçları dağılımı	127
Şekil 49. Doğal zemin üzerine serilmiş 3 metre KŞZ olması halinde derinlik boyunca aktif, pasif ve şişme basınçları dağılımı	128
Şekil 50. Doğal zemin üzerine serilen dolgu kalınlıkları ve sonlu elemanlar modeli	130
Şekil 51. İstinat duvarı arkasında 0.5 metre gevşek kum dolgu zemini olması halinde derinlik boyunca aktif, pasif ve şişme basıncı dağılımı	131

Şekil 52. İstinat duvarı arkasında 1 metre gevşek kum dolgu zemini olması halinde derinlik boyunca aktif, pasif ve şişme basıncı dağılımı -----	132
Şekil 53. İstinat duvarı arkasında 1 metre gevşek kum dolgu zemini olması halinde derinlik boyunca aktif, pasif ve şişme basıncı dağılımı -----	133
Şekil 54. İstinat duvarı arkasında 0.5 metre kohezyonlu şişmeyen zemin ile gevşek kum dolgusu arasındaki fark basınç dağılımı farkları -----	135
Şekil 55. İstinat duvarı arkasında 1 metre kohezyonlu şişmeyen zemin ile gevşek kum dolgusu arasındaki fark basınç dağılımı farkları -----	136
Şekil 56. İstinat duvarı arkasında 1.5 metre kohezyonlu şişmeyen zemin ile gevşek kum dolgusu arasındaki fark basınç dağılımı farkları -----	137
Şekil 57. EPS için direkt kesme deneyi-----	138
Ek Şekil 1. Arakesit elamanın gerçek davranışını idealize eden alternatif iteratif çözüm şekilleri-----	204

TABLOLAR DİZİNİ

	<u>Sayfa No</u>
Tablo 1. Killerin sınıflandırılması -----	6
Tablo 2. İndeks özellikleri ve muhtemel hacim değişikliği-----	23
Tablo 3. Plastisite ve şişme potansiyeli arasındaki ilişki-----	27
Tablo 4. Şişen killerde muhtemel hacim değişikliği -----	34
Tablo 5. Hacim değişikliği, şişme ve muhtemel hasar arasındaki ilişki -----	34
Tablo 6. Potansiyel kabarmanın tahmininde diğer ampirik formüller-----	39
Tablo 7. Şişmeye etki eden faktörler (Dhowian ve diğerleri. 1984) -----	40
Tablo 8. SPT ve CPT deneylerinden elde edilen çeşitli zemin türlerine ait zemin elastisite modülü denklemleri (Bowles, 1997) -----	61
Tablo 9. Çeşitli zemin türleri için gerilme-şekil değiştirme ortalama elastisite modülü değerleri (Bowles, 1997) -----	62
Tablo 10. Bazı zemin türleri için ortalama Poisson oranı değerleri (Bowles, 1999) -----	62
Tablo 11. Katti'nin deneysel çalışmalarında kullandığı zeminlerin Özellikleri (Wray, 1987a)-----	92
Tablo 12. Zemin türü ve koşullarına bağlı yatak katsayısı değerleri -----	111

SEMBOLLER DİZİNİ

A_c	: Aktivite
C_w	: Nem indeksi
CBR	: Kaliforniya taşıma oranı
CEA_c	: Katyon değiştirme aktivitesi
CEC	: Zeminin katyon değiştirme kapasitesi
E_0	: Sıfır su muhtevasındaki zeminin elastisite modülü
E_s	: Zeminin elastisite modülü
h_m	: Matris emme gerilmesi
h_s	: Osmotik emme gerilmesi
h_T	: Toplam zemin emme gerilmesi
K	: Sistem rijitlik matrisi
K_a	: Aktif toprak basıncı katsayısı
K_o	: Sükünət halindeki toprak basıncı katsayısı
K_p	: Pasif toprak basıncı katsayısı
k_n	: Normal doğrultudaki rijitlik (sürtünme direnci)
k_s	: Kesme doğrultudaki rijitlik (sürtünme direnci)
KŞZ	: Kohezyonlu şişmeyen zemin
LL	: Likit limit
OCR	: Aşırı konsolidasyon oranı
P_0	: Osmotik basınç
pF	: Zemin emme gerilmesi
$pF_{başlangıç}$: Başlangıç emme gerilmesi
pF_{son}	: Son emme gerilmesi
PI	: Plastisite indisi
PL	: Plastik limit
SCI	: Zemin emme değişimi indeksi (sıkışma indisi)
S_p	: Şişme yüzdesi
w	: Su muhtevası
w_0	: Teorik olarak elastisite modülü sıfır olan kılın su muhtevası

γ	: Zeminin birim hacim ağırlığı
γ_h	: Zemin emme değişimi indeksi (sıkışma indis)
ΔpF	: Zemin emme gerilmesindeki değişim
$\varepsilon_{şişme}$: Şişme ile oluşan birim boy değişimi
Φ_t	: Toplam zemin suyu potansiyeli
Φ_m	: Matris potansiyeli
Φ_o	: Osmotik potansiyel
Φ_g	: Yerçekimi potansiyeli
Φ_{ov}	: Katman basıncı potansiyeli
ϕ	: İçsel sürtünme açısı

1. GENEL BİLGİLER

1.1. Giriş

İnşaat mühendisliği açısından zeminlerin önemli özelliklerinden biri de üzerlerindeki yüklerden bağımsız, ancak su muhtevasındaki değişimle şişme ve büzülmeler sonucu hacminde meydana gelen değişikliklerdir. Hacim değişikliklerinin çok yüksek boyutlara çıkması durumunda, büyük maddi hasarlar olması çeşitli mühendislik problemlerini ortaya çıkarmıştır. Çeşitli ülkelerde zeminlerin hacim değiştirmesinden dolayı meydana gelen hasarlar nedeniyle yapılan harcamalar çok büyük seviyelere çıkmıştır. Öyleki diğer doğal felaketlerden oluşan harcamaların bile üzerine çıkabilmiştir. Bu durum, problemin maddi yönünün dikkate alınacak derecede büyük olduğunu göstermektedir (Jones, Holtz, 1973). Ayrıca kil dolgu ile oluşturulan yapılarda (toprak veya kaya dolgu barajlar ve dolgular) çok ciddi hasarlara neden olmaktadır.

1940'lı yıllara kadar çeşitli yapılarda oluşan hasarların zeminde oluşan hacim değişikliklerinden meydana geldiği üzerinde çok fazla düşünülmemiştir. 1930' larda beton ve tuğla yapılardaki çatınlarda hacim değiştiren zeminlerin rolü bilinmediğinden, problemler başka sebeplere bağlanmıştır. Fakat 1940'lı yillardan sonra artan hava meydanları ve karayolu kaplamaları, su kanalları gibi hafif beton yapılarının artmasıyla, hasarların başka sebeplerden de olabileceği anlaşılmış ve şisen zemin problemlerinin varlığı ortaya çıkmıştır. Bu yillardan sonra, birçok araştırmalar yapılmış ve hacim değişimi ile ilgili parametrelerin belirlenebilmesi için bugüne kadar çeşitli deneysel yöntemler geliştirilmiştir.

Şisen zeminlere dünyanın her yerinde rastlamak mümkündür. Bu ülkeler arasında, A.B.D, Kanada, Avustralya, Arjantin, Hindistan, Israil, Suudi Arabistan ve Sedan gelmektedir. Bu tür zeminlere Türkiye de Trakya bölgesinde yoğun olmak üzere çeşitli bölgelerde rastlamak mümkündür.

EE. YÜKSEK ÖĞRETİM KURUMU
BÖLÜM ANTASYON MÜZESİ

Hacim değiştiren zeminlere en iyi örnek killi zeminlerdir. Killi zeminlerde hacim değişiklikleri, kılın orjini, mineralojik yapısı, kil plakalarının yerleşim biçimi, zeminin gerilme geçmişi, su muhtevası, birim hacim ağırlığı, permeabilitesi, boşluk oranı ve bitki örtüsü gibi faktörlere bağlıdır.

Killer birçok durumda özelliklerinden dolayı geoteknik mühendisliğinde kullanılır. Özellikle dolgu barajların çekirdek kısmında, atık depolarında geçirimsizliğin sağlanması, göletlerin su tutması için ve kazıldığında kendini tutamayan zeminlere de destek sağlamak amacıyla kullanılır. Killer zeminlere karıştırıldığında, özellikle iri daneleri fazla olan zeminlerde, bağlayıcı görevi de yaparlar. Endüstride yüksek plasiteli killer çeşitli malzemelere katılarak işlenebilirlik özelliğini artırmaktadır. Bunların başında seramik ve porselen sanayisi gelmektedir. Ancak, genelde kil varlığı şışme ve büzülme özelliklerinden dolayı da çeşitli mühendislik işlerinde istenmeyen bir malzemedir. (Önalp, 1997)

Suya doygun olmayan bazı kil zeminlerin su emerek hacminin artması ya da bu hacim artışının engellenmesi için yüksek basınçlara ihtiyaç duyulması kılın “şışme” özelliği olarak tanımlanabilir.

Zeminde buhar halindeki mevcut nemin termal akımlarla hareket ederek daha serin bölgelerde yoğunlaşması ya da yol, havaalanı, boru hatları ve bunun gibi yapıların altındaki şışebilen kuru zemin tabakasının çeşitli sebeplerle su muhtevasının artması killi zeminin şışmesine yol açar. Kılın mineralojisi, orjini, başlangıç fiziksel durumu, su muhtevası, kil plakalarının yerleşimi ise şısmeye etki eden faktörlerin başında gelmektedir.

Şişen zeminler düşey olarak gösterdikleri hacim değişiklikleri kadar yatay olarak da şiserler. Süreksizlik yüzeylerinin ve çatlıkların olduğu bölgelere doğru yatay ve düşey yerdeğiştirmeler oluşur. Yer değiştirmelerin engellenmesi durumunda her iki doğrultuda şışme basınçlarının oluşmasına sebep olur. Bu durumda şışme basıncı çok yüksek miktarlara çıkabilir. Chen (1975), bu basınçların 2145 kpa (20tsf) ' ye kadar çıktığını rapor etmiştir. Bazen yatay şışme basıncı düşey şışme basıncının iki katı olabilmektedir (Andy, 1989). Jashi, Katti (1980), yatay şışme basıncının 0.28 m' ye kadar düşey şışme basıncının 10 katı olduğunu göstermiştir.

Yatay basınçların tahmini çok uzun zaman öncesine dayanmaktadır. İlk mantıksal yaklaşımalar 1773' de Coulomb tarafından yapılmış, bunu 1857 'de Rankine izlemiştir. Bu iki yaklaşım da farklı yöntemler kullanarak problemi basitleştirmeye çalışır ve çözümlerini sağlamaya yardımcı olur. Bunlara ek olarak diğer yardımcı yöntemler de başkaları tarafından geliştirilmiştir. Coulomb ve Rankine' in kendi adları ile anılan yöntemleri çok basit ve uygulamada çok kullanılmaktadır. Bunlar yatay zemin basınçlarının belirlenmesinde klasik yöntemler olarak kabul edilmektedirler.

Pekçok dayanma duvarlarında ve yapılarda, zemine çakılan istinat duvarları hariç, duvarın arkasında çeşitli amaçlar için kullanılmak üzere arka dolgu malzemesine ihtiyaç duyulmuştur. Bu malzemelerin yerleştirilmesi ise iki metotla gerçekleştirilmektedir. Metotlardan biri, duvarın kazı içerisine inşa edilmesi ve yapı ile zemin arasındaki boşluğun doldurulması, ikinci metot ise yapının orjinal zemin seviyesinde yapılarak, yapı yüksekliği boyunca dolgu malzemesi ile doldurulması şeklinde olmaktadır.

Genellikle granüler bir malzemeden oluşan dolgu malzemelerinin kullanılması uygun olmaktadır, çünkü bu malzemeler oturma ve drenaj özellikleri bakımından kohezyonlu zeminlere göre iyi sonuçlar vermektedir. Ayrıca gerilme özelliklerinde de zamana bağlı olarak değişiklikler göstermemektedir. Ancak, dünyada pekçok alanda, serbest drenajlı granüler malzeme az miktarda bulunmaktadır ve fiyatı da inşaatın maliyeti karşısında çok yüksek değerlere çıkabilmektedir. (Clayton ve diğ., 1990). Kohezyonlu malzemelerin dolgu malzemesi olarak kullanılması durumunda ise dayanma yapılarının tasarımında başka belirsizliklerin ortaya çıkmasına neden olmuştur. Çünkü, yapı inşa edildikten sonra ortaya çıkabilecek hacim değişiklerinin tahmini konusunda az bilgi bulunmaktadır (Aytekin, 1992).

Boşluk suyu basınçları, sınır değerlerle dengede değildir. Kil dolgu, kısmen ıslak dayanımı düşük olarak yapıldığında, artık boşluk suyu basınçlarının pozitif olur ve kalıcı konsolidasyon beklenir. Kil dolgunun kısmen kuru olarak yapılması durumunda ise yüksek direnç ve yüksek emme gerilmesi olacaktır. Şişme, suyun dolgu sınırlarına ulaştığı anda başlayabilir. Dolgunun kuru başlangıç permeabilitesi boşluksuyu basınçlarının dengeye gelmesini kontrol eder. İyi sıkıştırılmış, yüksek plastisiteli kil dolgularda, şişme olayı

muhtemelen yıllarca devam edecktir. Yukarıdaki nedenlerden dolayı, dayanma yapıları arkasında, şişen zeminlerden oluşan yatay basınçların tahmininde klasik metodlar kullanılmazlar. Şişme özellikleri olmayan zeminlerdeki yatay zemin basınçlarının tahmin edilmesinde pekçok yönteminmasına rağmen çevresinde şişen zeminlerin var olduğu istinat yapıları ve temel duvarlarında yatay basınçların tahmin ve hesabı için mühendise yardımcı olabilecek metodlar mevcut değildir.

1.2. Killerin Mineralojik, Fiziksel ve Mühendislik Özellikleri

Genel olarak kil, bir miktar su karıştırıldığında plastisite özelliği gösteren ince plakalardan oluşmuş bir zemin türünü ifade eder. Kil plakalarının boyutu kılın şişme özellikleri üzerinde etkilidir. Kil minerallerinin boyutu küçüldükçe zemindeki hacim değişimi artar. Bu nedenle, şişen bir zeminin şışması kil minerallerinin boyutuna da bağlıdır. Bu mineraller genelde genişleyebilen tabaka minerali olarak adlandırılır. Kristal yapısı ve tabakalanma sırasına göre kil minerallerini, benzer mühendislik özellikleri açısından guruplandırmak mümkündür. Kil mineralleri karışık yapılı kristaller şeklinde olup bu kristallerin dizilişine göre guruplandırılırlar ve aynı gruba ait kil mineralleri de yaklaşık olarak benzer özelliklerle birbirine bağlı olurlar. Killerin sınıflandırılmasında esas alınan özellikler,

- 1- Tabaka kalınlığı,
- 2- Tabakanın di- veya tri- oktaedral özelliği ve iyon içeriği,
- 3- Tabakaların dizilişi ve diziliş düzeni,

olabilir. Bunlardan üçüncüsü killeri benzer mühendislik özelliklerine göre ayırdığından Tablo 1.'de verilen özellikler genelde kabul görmektedir.

Tüm kil mineralleri, iki, üç veya dört tabaklı kristallerden oluşmuştur. Bu tabakalar arasındaki zayıf bağların varlığı su ve diğer iyonların buralara yerleşmesine izin verebilir. Tabaka sayısı 2:1 minerallerin ayırmı bu bağlama gücü açısından yapılır ve araya giren su molekülleri ve/veya katyon türü her kile ayrı bir ad verir. Bazı zeminlerde kristal yapının kesin olarak belirlenemediği ve bir gurup tarafından içerilemeyen organik karakterli

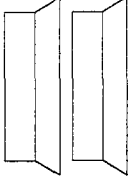
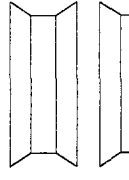
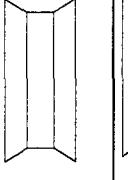
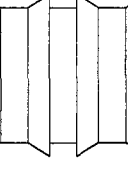
malzeme bulunabilir. Bu tür malzemelere alofan denmektedir. Benzer şekilde, kile benzer boyut ve özellikler gösteren alüminyum, demir ve silikonun kolloidal ve hidratlanmış oksitleri pelte ve çökelik biçiminde daneleri kaplayarak veya onları çimentolayarak zemine çok değişik özellikler verirler. Bu oksitler hematit, gibsit, boksit gibi ayrık olarak da zemin içerisinde bulunabilirler (Önalp, 1997).

Kil mineral yapısında iki temel blok vardır. Bunlardan birincisi 4 orijinli tedrahedron yapıdır. İkinci temel yapıda ise altı oksijen atomu arasında bir alüminyum veya mağnezyum atomu bulunan oktaedron yapıdır.

Tabakalanma sayıları cinsinden ise kil mineralleri üç gruba ayrılır; iki tabaklı, üç tabaklı ve karışık tabaklı mineraler (Moore, Reynolds, 1987). İnşaat mühendisliğinde, kil mineralleri hacimsel aktivitelerine göre 3 gruba ayrılır. Bunlar, kaolin, illit ve simektit guruplarıdır. Bu gurularda, mineralller değişik dizilişlerle silika tedrahedra ve oktaedral alüminyum gibsitle tabakalanmaları ile birleşimler oluşturmaktadır.

Kaolin mineralleri 4 ayırcı özellik içerir. Bunlar, dictite, nacrite, kaolinite, ve halloysite'dir. Yapısı bir oktaedral ve bir tedrahedral yaprağın üstüste dizilmesi ile meydana gelir. Bağlantılar rölatif olarak kuvvetlidirler. Hidrojen bağı tabakaları sımsıkı tutmakta ve suyun tabakalar arasına girip şişmesini önlemektedir (Tuncan, 1995). Kaolinit kristali çok sayıda (yaklaşık 100 veya daha çok) yaprağın istiflenmesinden oluşur. Bu yaprakları ayırmak zordur. Kaolinit elektrik yükü bakımından nötyördür, fakat su ile temas edince hidroksillerin bazıları ayıırlar ve hidrojen atomları kristali zayıfca negatif yüklü olarak bırakarak, serbest kalırlar; bu negatif yük topraktaki suyun pozitif iyonları ile dengelenirler. Iyon değişimi kaolinitte yüksek, montmorillonitte ise düşüktür. Kaolinit plakalarının kenarları üzerindeki iyon değişimi hemen gerçekleştiği halde, montmorillonit tabakaları arasındaki geçiş iyon değişimini geciktirmektedir. Montmorillonitte iyon değişimi kılınışı ve tabakalar arası açıklığın artması ile meydana gelmektedir (Grim, 1962). Kaolinit'in orta derecede bir plastisitesi vardır ve diğer kil minerallerinden daha büyük içsel sürtünmeye sahiptir. Bu guruptaki mineralerin özgül ağırlıkları 2,60-2,68 gr/cm³ ve özgül yüzeyleri 10 m²/gr. civarındadır (Önalp, 1982). Kaolinitin tipik formülü, ($\text{Si}_4 \text{AL}_4\text{O}_{10} (\text{OH})_8$) şeklindedir. Şekil 1. de kaolinit grubunun yapısı gösterilmiştir.

Tablo 1. Killerin sınıflandırılması

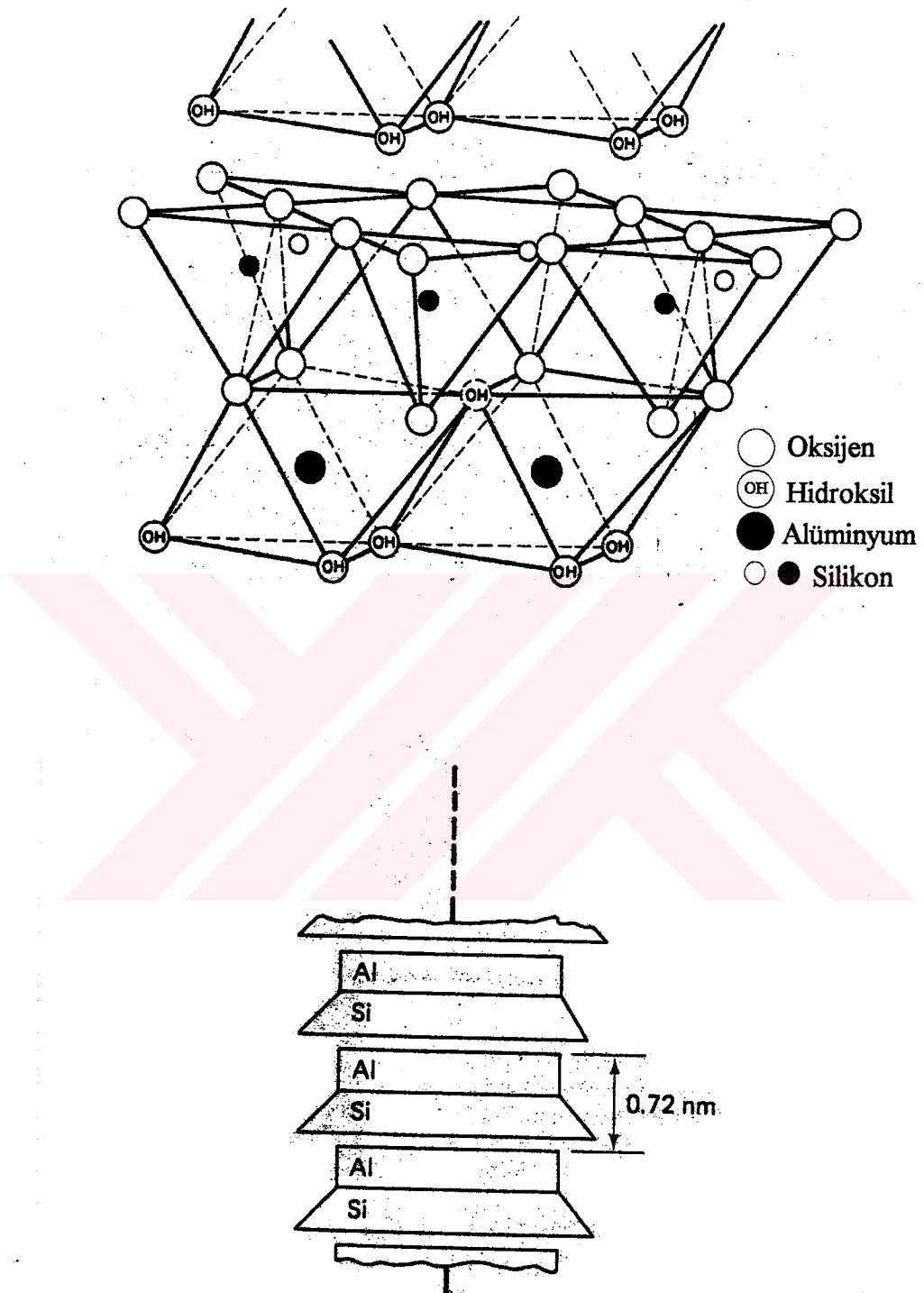
TABAKA SA YİSİSİ	GURUP VE BİRİM YÜK X≈0	ALT GURUP X≈0.6-0.9	KİLİN TÜRKÜ (*)	TEMEL YAPISI
1 : 1 X≈0	Kalonit-Serpantinit X≈0	Kaolinit Serpantin	Kaolinit , dictit Lizardit halloysit	
2 : 1 X≈0.25-0.6	Profillit-Talk Smektit montmorilonit	X ≈ 0 yada Saponit	Profillitler Talkler Dioktahedral smektit Trioktaedral smektit Yada saponin	
2 : 1 Mika	Vermikült X≈0.6-0.9	Dioktahedral vermicülit Trioktaedral vermicülit	Dioktahedral vermicülit Trioktaedral vermicülit	
	X≈1 Gevrek mika	Dioktahedral mika Trioktaedral mika Diokt. gevrek mika Triokt. Gevrek mika	Muskovit Biyotit Margarit Klintonit	
2 : 1 : 1 X- değişken	Klorit X- değişken	Dioktahedral klorit Di/Tri-oktaedral klorit Trioktaedral klorit	Dombasit Sudoit Klimoklor	

(*) Yalnız birkaç örnek verilmiştir

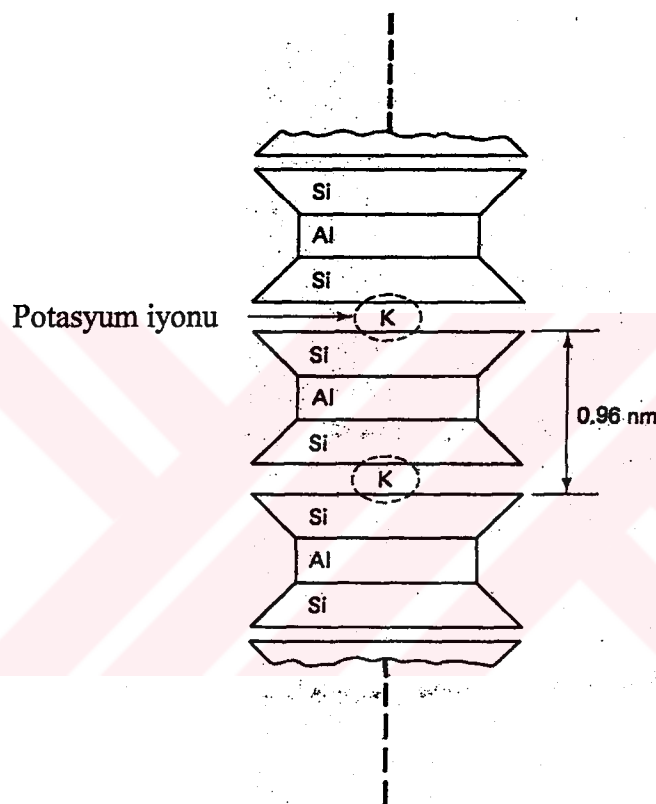
İllit, muskovite benzeyen ancak daha az potasyum ve çok daha fazla su içeren bir kıl mineraldir. Bağımsız bir mineral mi veya karışık tabakalı mineral mi olduğu belirlenememiştir. İllit'in 10-40 me olan katyon değiştirme kapasitesi kaolinit ve smektit guruplarının değerleri arasındadır. Mikalara oranla daha az olan potasyum iyonlarının çoğuluğu yer değiştirmez ve su, tabakaları arasına kısıtlı hacimlerde girebilir. Tabakalar arası uzaklık 10 Å dolayındadır. Elektron mikroskopu incelemeleri illit danelerinin doğada çok küçük boyutlarda ortaya çıktığını göstermektedir. Şekil 2. de illit in şematik gösterimi verilmiştir.

Smektitler ise tabaka birim yükü 0,2-0,6 arasında değişen 2:1 tabakalı grubun üyesidir. Tabakalarda iyonik yer değiştirmeler negatif yük belirmesine neden olur. Bu grubun en önemli özelliklerinden biri, tabakalar arasına su ve organik sıvılar girmesi sonucu tabaka kalınlığının değişkenlik göstermesidir. Bu olayın sonucu, hacimde büyük artışlar oluşmakta, hacim artışlarının önlenmesi halinde ise şişme basınçları meydana gelmektedir. Smektit kristalinin teorik yapısı kafeste yer alan katyon dışında $((OH)_4 Si_8 Al_4 O_{20} \cdot nH_2O)$ olarak verilir (Önalp 1997).

Killer çok nadir olarak saf halde bulunurlar. Diğer yabancı maddeler ile karışık haldeki killerin fiziksel özellikleri, bu maddelerin etkisi sonucunda daha karmaşıktır. Fiziko kimyasal özellikler bakımından alkali bazlar, toprak alkaliler ve asitler killerin karakterini değiştirirler. Ayrıca killerin morfolojik ve kolloidal karakterini de göz önünde bulundurmak gereklidir. Kolloidlik karakteri özellikle montmorillonitlerde ve bentonitlerde bariz olarak görülmektedir. Şekil 3. de Montmorillonit grubunun yapısı gösterilmiştir.



Şekil 1. Kaolinit gurubu kristal yapısı ve şematik gösterimi



Şekil 2. İllit grubu killerin şematik gösterimi

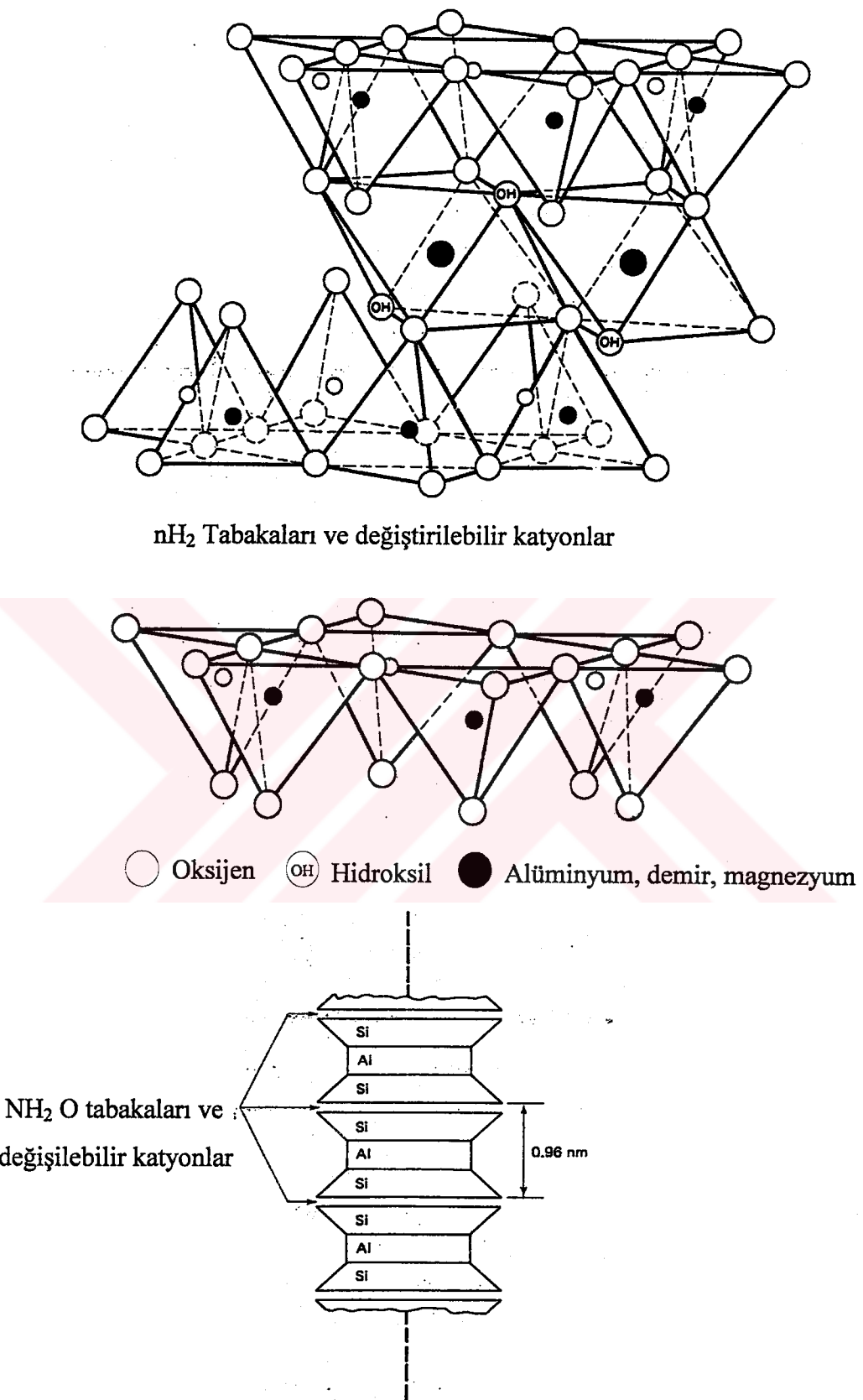
Bentonitler kendi ağırlıklarının 6-7 katı su ile şişerler ve jelliklerini artırırlar (Sowers,Sowers, 1970). İlkel ayırmalar sonucunda kolloidal şekiller altında silisyum ve aliminyumun serbest kalması mümkün olabilir. Silisyum negatif, aliminyum pozitif bir kolloid meydana getirir. Bunların serbest kalması sonucunda karşılıklı pihtlaşma oluşur ve pihti gitgide yavaş fakat sürekli olarak aliminyum hidro silikat kristaline dönüşür.

Killerin başlıca özelliklerinden biri de ıslılarda eski haline gelmeyecek şekilde değişikliğe uğramalarıdır. Diğer bir özelliği de sülfirik asit ile sulandırıldıkten sonra alün formasyonuna sahip olmalarıdır (çift potasyum sülfat ve kuvvetli aliminyum hidrat). Killerin yoğunlukları içerdikleri kristal arası su oranlarıyla orantılı olarak değişir. Killerin yoğunlukları genel olarak $2,0\text{-}2,3 \text{ gr/cm}^3$ arasındadır. Teorik olarak killer geçirgen değildir. Gerçekte ise çok az geçirgendirler ve kil danelerinin arasındaki boşluk çapı 50 milimikronu geçmez. Bu nedenle geçirgen olmadığı halde kılın içerisinde kapiler yollarla giren su daima bulunur.

Killerin değişik cinsleri, oluşum farklılıklarını ve mineralleri, killerin özellikle şişme davranışını değiştirmektedir. Şiştirmeye yol açan kil minerallerinin ana kaynağı mağmatik kayaçlar, özellikle bazalttır. Feldspat bulunan metamorfik ve püskürük kayaçların kimyasal ayrışması sonucunda ortaya çıkan montmorillonit şiştirmeye neden olan en önemli kil mineralidir (Gilot, 1963). Lambe, Whitman (1969), Millot (1970), Chen (1983), şişmenin ayırtma koşulları ile doğrudan ilişkili olduğunu göstermiştir. Örneğin, montmorillonit ve kaolinit, mağmatik kayaçların ayrışmasıyla oluşmasına rağmen ayırtma koşullarındaki farklılıklar nedeniyle montmorillonit yüksek, kaolinit düşük şişme potansiyeline sahiptir. Ayırtmamış kayaçlarda ana kil mineral klorittir. Kayaçtaki permeabilitenin düşük olması nedeniyle ayırtma sırasında yıkama oluşur ve klorit simektite dönüşür.

Kristal yapıya sahip kil minerallerinin özgül yüzeyleri büyük dolayısıyla su tutma kapasiteleri fazladır. Örneğin, illitten sekiz kat daha fazla yüzeye sahip montmorillonitin su tutma kapasitesi diğerine oranla daha büyütür. Değişebilir katyon cinsi ve miktarı da önemli bir faktördür. Özellikle kil minerallerinin üzerindeki negatif elektron şarjları tabakalar arası bağ kuvvetlerini ve katyon kapasitesini, dolayısıyla kılın şişme potansiyelini tamamıyla artırmaktadır.

Bunlardan başka killer serpantinit grubu, pirofilit-talk grubu, vermekülit grubu ve mika grubu olmak üzere de ayrılmaktadır. Ancak burada belli başlı olan kaolinit, illit ve simektit üzerinde durulmuştur.



Şekil 3. Montmorillonit grubu killerin kristal yapısı ve şematik gösterimi

1.3. Şişen Kil Zeminlerin Orijini

Kil minerallerinin suyla temas ettiğinde şişebilmesini sağlayan kimyasal oluşumu, bazı yöntem ve koşulların karmaşık bir kombinezonudur. Kilin mineralojisini belirleyen yöntemler, ana kayacın kompozisyonu ve maruz kaldığı fiziksel ve kimyasal ayrışmanın derecesi ile ilgilidir. Şişmeye yol açan kil mineralinin ana kaynağı mağmatik kayaçlar, özellikle de bazalttır. Ayırışma işleminin başlangıç ve ara safhalardaki ana kayaç oluşumu kil cinsini belirler. Ayırışma şartlarındaki farklılıklar zeminin şişme özelliği ile doğrudan ilişkilidir. Örneğin, hem montmorillonit hem de kaolinit mağmatik kayaçlardan ayırmış kil mineralleri oldukları halde, ayırışma şartlarındaki farklılıklar nedeniyle montmorillonit yüksek, kaolin ise düşük şişme potansiyeline sahiptir. Paige ve Green (1980), bazaltın ayırışma sırasında katyon teminine çalıştığını, bunun da Ca ve Mg alarak montmorillonitin oluşumuna katkıda bulunduğuunu belirtmişlerdir.

Donaldson (1967), şişen kil zeminlerin ana kayacını iki gurupta sınıflandırmıştır. Birinci gurup kayaçlar metal ağırlıklı, silika yüzdesi nispeten düşük mağmatik kayaçlar olan bazalt ve volkanik camları içerir. Ikinci gurup kayaçlar ise montmorillonit içeren çökel kayaçlardan şeyl, kiltaşı ve volkanik küllerdir.

Krumbein, Sloss (1963), fiziksel ayrışmanın ana malzemenin kompozisyonunda önemli bir değişikliğe yol açmadan dane çapını ve birim hacim ağırlığını değiştirdiğini, kimyasal ve biyolojik ayrışmanın ise zeminin agrega durumunda ve kimyasal kompozisyonunda önemli değişimlere yol açtığını göstermiştir. Suyun ayırmada önemli rol oynaması ise iklim koşullarının ayırışma üzerinde önemli rolü olduğunu ortaya çıkarır.

Millot'a (1970) göre tropikal iklimlerde bazaltın aşınması ile en önemli şişen kil minerali olan montmorillonite dönüşmesi iki aşamada olmaktadır. İlk olarak nemli mevsimler boyunca hidroliz sonucu bazalt, silikat, aliminyum ve mağnezyuma ayırsız. Drenajın olmadığı alanlarda bu mineraller taşınmazlar.

1.4. Şişen Zeminlerde Şişme Mekanizması

Killerde hacim değişikliği, uygulanan farklı dış gerilmelerin, emmenin ve zemin danelerinin etrafını kuşatan su tabakasının varlığı nedeniyle meydana gelmektedir. Kil daneleri etrafında adsorbe su denilen, hemen hemen bitişik dört su tabakasının var olduğu ve bunların kil danesine güçlü bir şekilde bağlandıkları çeşitli analizler sonucu belirlenmiştir. Bu suyun dışında bulunan, daha zayıf bir bağla bağlanmış olan bir su tabakası mevcuttur ve buna da çift tabaka denilmektedir. Adsorbe su tabakasının ve çift tabakanın kalınlıklarındaki değişiklikler ise zeminin rötresine ve şişmesine neden olmaktadır (Schreiner, 1987).

Aralarındaki uzaklığa bağlı olarak, iki cisim arasında karşılıklı itme ve çekme kuvvetlerinin varlığı fizigin temel kavramlarından biridir. Bu kuvvetler elektron bulutlarının karışması ile beliren Born itme kuvveti; maddenin maddeyi çekişini gösteren Van der Waal kuvveti olarak özetlenebilir. Aynı kurallar doğal olarak killer içinde geçerlidir. Ancak killerin yüzey alanı, boyutu ve kütlesine göre öyle büyüktür ki insanın günlük yaşamında, cisimler arasında fark edemediği bu kuvvetler kil boyutuna inildiğinde, özellikle kilin su ortamında bulunması durumunda dengeyi tümüyle etkileyebilmektedir. Su için de bulunan ve özgül ağırlığı suyun üç katına varan kil ve kolloidlerin çok uzun süre dibe çökmeden yüzebilmesi bu özelliğin basit bir göstergesidir. (Önalp, 1997).

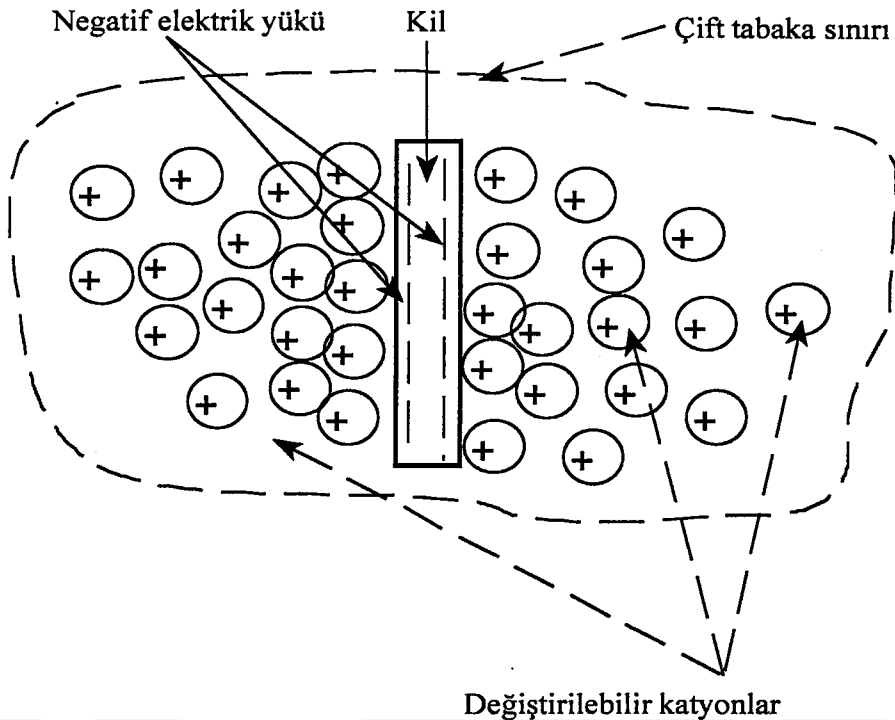
Kapilarite, zemin ile su molekülleri arasında meydana gelen yüzey gerilim kuvvetleri ile oluşur. Kuvvetlerin büyüklüğü zemin boşluklarına giren suyun oluşturduğu menüsünün konkavlığına ve boşluk büyüklüğüne bağlıdır (Aytekin, 1992).

İçerisinde London kuvvetlerini ve hidrojen bağlarını bulunduran Van der Waal kuvvetleri, kil minarelli yüzeyinde gelişen zayıf elektriksel çekim kuvvetleridir. Kil minerali yüzeyine bitişik ve yüzey sınırlarına yakın bir yerdedir. Bu kuvvetler, kuru ve yaş durumlarda, suyun adsorbesini kontrol eder. Kuvvetler adsorbe işlemeye başladıkten sonra kil yüzeylerine su moleküllerinin bağlanmasında küçük bir rol oynarlar. Van der Waal kuvvetleri 3 tipte zayıf elektriksel çekim kuvveti içerir. Bunlar; dipol-dipol çekim kuvvetleri, indiksiyon etki kuvvetleri ve London kuvvetleridir (Snethen, 1979).

Dipol-dipol çekim kuvvetleri kalıcı momentler oluşturan polar moleküller arasında oluşur ve kıl minerallerini çevreleyen su moleküllerinin yönlendirilmesinden de bir miktar sorumludur.

İndüksiyon etki kuvvetleri dipol-dipol çekimine benzer ve bir dipol ile diğer dipolun polarize olmuş elektronunun arasındaki etkileşim tarafından yönlendirilmemiş moleküllerin arasında oluşur. Dağıtıcı olarak da adlandırılan London kuvvetleri, bütün moleküller arasında yada polar olmayan türlerdeki son derece küçük partiküller içerisinde olusur. Bu kuvvetler, iki partikülün birbirine doğru yaklaşmağa başladıkları zaman aralarındaki sürekli olmayan dipol moment ve ani gelişmelerden ortaya çıkar. Van der Waal kuvvetlerinin etkisi, kıl minerallerinin suyu çektikleri yerlerde çift tabakanın oluşmasıyla hızlı bir şekilde ortaya çıkar (White, 1979). Bu olayın ölçülmesi oldukça zordur. Bu yapılsa bile çok az veya pratik değeri olmayan bir bilgi imkanı verir. Bu nedenle, hacim değişimlerinden sorumlu mikron mertebesindeki mekanizmaların sayısı üç'e düşmektedir. Bunlar; kıl partikül çekimi, katyon hidrataşyonu ve osmotik itme' dir. Pek çok durumda, bu üç mekanizma başlıca şişme kaynağının temelidir. Bu durum, şışmeye osmotik itme basıncının neden oldudugu optimum su muhtevasının ıslak tarafında sıkıştırılmış örnekler için oluşmaktadır ve optimum su muhtevasının kuru tarafında sıkıştırılan örnekler için, şişme çeşitli faktörlerden etkilenir. Bunlar; katyon hidrataşyonu, su için kıl partikül yüzeylerinin çekimi, london Van der Waal kuvvetleri, elastik geri tepme, partikül uyumu ve mevcut hava, ek olarak da osmotik basınlardır (Ladd, 1960).

Doygun killerde herhangibir hacim artışı, kildeki suyun hacmindeki artışa eşit gibi düşünülebilir. Şekil 4. de bir kıl partikülü saf suya daldırılmış durumdadır. Yeterli değişebilir katyonlar, katyonların elektiriksel ağ sisteminin oluşumu artırmak için partikülleri sararlar. Bu sistem kıl "misel" olarak adlandırılır. Misel içerisindeki iyonlar ve su çift tabakayı oluşturur. Sudaki bir kıl çözeltisinde anyon ve katyon konsantrasyonundaki değişim, kıl partikülleri yüzey mesafesinin bir fonksiyonu olarak kolloidal kimya prensiplerinde hesaplanabilir (Aytekin, 1992).



Şekil 4. Saf sudaki kil “misel” (Aytekin, 1992)

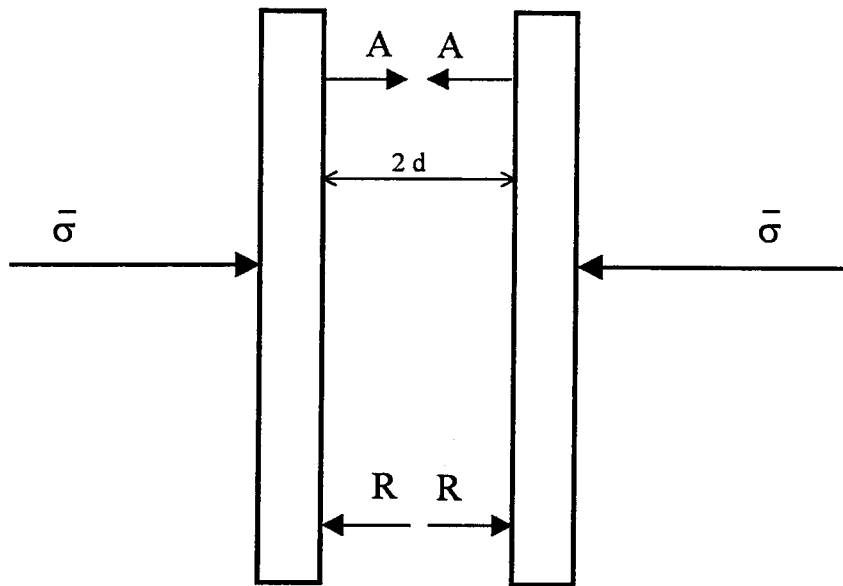
Kil daneleri suyla karşılaştığında, yani su molekülleri kil yüzeyine yapışık katyonlara bağlandığında (hidratlanma), killer yeni dengeyi sağlamak için yüzeyden ve birbirlerinden ayrılma eğilimi gösterirler. Böylece saf suya giren bir kil partikülünün yüzeyindeki katyonlar kil yüzeyleri arasındaki sıvı içeresine doğru girerek iki tabakayı birbirinden uzaklaştırır. Böylece genleşerek “çift tabaka” olarak anılan bölgeyi oluştururlar.

Şişmenin neden olduğu kil partikülleri arasındaki “R” ile ifade edilen gerilme, iki kil partikülü arasındaki ilişkiden doğan itme gerilmesidir. Toplam çekim gerilmesi ise “A” olarak ifade edilmektedir. Şekil 5. de bu gerilmeler görülmektedir.

Standart konsolidasyon deneyinde sınır şartlarının değiştirilmesi ile oluşan numunenin kabarma miktarı direkt olarak efektif gerilmelerin azalmasıyla ilişkilidir. Efektif gerilmeler kil partikülleri arasında hareket eden fiziko-kimyasal kuvvetlerle ilişkilendirilebilir.

$$\bar{\sigma} = R - A \quad (1)$$

burada; $\bar{\sigma}$ = efektif gerilmedir.



Şekil 5. İki kil partikülü arasındaki gerilmeler (Aytekin, 1992)

R 'nin değeri zeminlerde şişme olması için A değerinden büyük olmalıdır. Bu itme gerilmesinin pek çok bileşkesinin olduğu bilinir. Bunlar;

- 1- En önemli bileşkeye, serbest haldeki boşluk suyundan çok, çift tabakalı kil de iyon konsantrasyonundan artan osmotik basınçlar neden olur.
- 2- Sudaki kil partiküllerini saran İkincil saçak etkisi veya London van der Waal kuvvetleridir.
- 3- Suyun çift tabakadaki elektrik alan etkisidir.

Zemin suyu içerisinde bulunan çözeltiler suyun termodinamik özelliklerini etkileyerek potansiyel etkisini azaltırlar. Zemin suyu içerisinde bulunan bu çözeltiler özellikle buhar basıncını düşürürler.

Bu durum suyun sıvı fazda akımını önemli ölçüde etkilemez iken çözelti ile su arasında bir zar bulunması halinde su akımını büyük ölçüde etkiler. Osmotik etki buhar yayılımında ve zemin ile bitkilerin karşılıklı etkileşiminde önemlidir. Şekil 6. da görüldüğü

gibi saf su ile çözelti arasına konulan yarı geçirimli ince zar dikkate alınır. Burada saf su, çözelti tarafına doğru akarak solda bulunan çözelti seviyesini, çözelti içerisinde giren suyun yayılma (difüzyon) basıncına eşdeğer bir hidrostatik basınç elde edilinceye kadar yükseltecektir (Aytekin, 1995).

Yükselmenin durması ve dengeye gelmesi durumunda ki hidrostatik basınç osmotik basınç olarak adlandırılır ve aşağıdaki bağıntıdan elde edilebilir.

$$P_o = R \times T (C_a - C_b) \quad (2)$$

burada;

P_o = osmotik basınç (gr/cm^2)

$R \times T = 2,5 \times 10^7 \text{ gr/moler}$ (20°C ' de)

R = gaz sabiti

T = mutlak sıcaklık

C_a ve C_b = yarı geçirimli zarın herbir tarafındaki çözelti konsantrasyonları (mole/1 CC çözelti)

Osmotik basınç kilde olacaktır, çünkü, bu durumda ki çözülmüş konsantrasyonda farklılıklar mevcuttur ve negatif yüklü kil partiküllerini saran bir zar gibi davranışır.

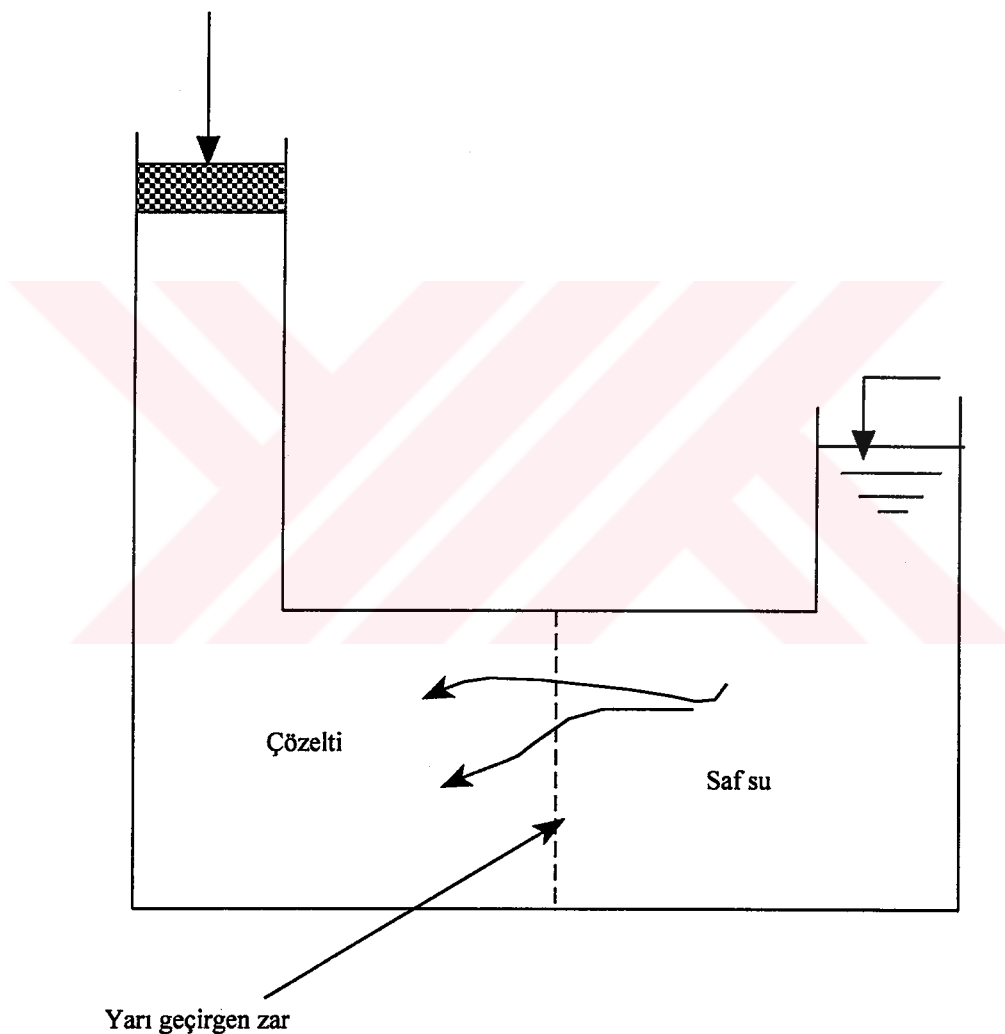
Değişebilen katyonlar, partiküllerdeki negatif yüklerin artarak net negatif elektrik alanlarından dolayı kil partiküllerine doğru çekilirler. Bu nedenle, elektrik alanı değişebilir katyonların çift tabakadan ayrılmamasına izin vermeyen fakat suyun girmesine izin veren yarı geçirgen bir zar olarak davranışır. Şekil 7. de yarı-geçirgen zar gösterilmektedir.

Şekil 7. de su a bölgесinden b bölgесine geçebilir. Efektif gerilme, $\bar{\sigma}$, ve A'nın çekme gerilmesi partikül girme mesafesinin büyümесini yada şişmeyi önlemesi gerekdir. Eğer $\sigma + A$ düşürülürse, su b bölgесinden a bölgесine akar. Bu nedenle, a bölgесinde iyon konsantrasyonu azalır. Bir başka deyişle, çift tabaka osmotik basınç tekrar efektif ve çekme gerilmeleriyle dengeleninceye kadar genişler (Aytekin, 1992).

Partiküller arasındaki osmotik itme basıncını belirleyen iyon konsantrasyonu farkı negatif iyon düzleminin arasındaki serbest suda orta bir yerededir (a noktası). Bu nedenle, Vant Hoff denklemine göre osmotik basıncı

$$P_o = R \times T (C_c - C_o) \text{ olur.} \quad (3)$$

P_o = Osmotik Basıncı



Şekil 6. Osmotik basıncın şematik gösterimi (Aytekin, 1995)

Burada C_c ve C_o serbest boşluk suyunda ve konsantrasyon düzleminin ortasındaki toplam iyon (katyon ve anyon) konsantrasyonunu gösterir. Serbest boşluk suları iyon konsantrasyonu, C_o , kolayca hesap edilebilir. Düzlemdeki konsantrasyon, C_c , kil partikül

yüzeyleri aralığı ile iyon konsantrasyonu ile ilgili teoriden hesaplanmalıdır. İdeal oluşumlar için, Gouy-Chapman teorisi kullanılmaktadır ve osmotik basınçlar deneysel olarak da kontrol edilebilmektedir (Aytekin, 1992).

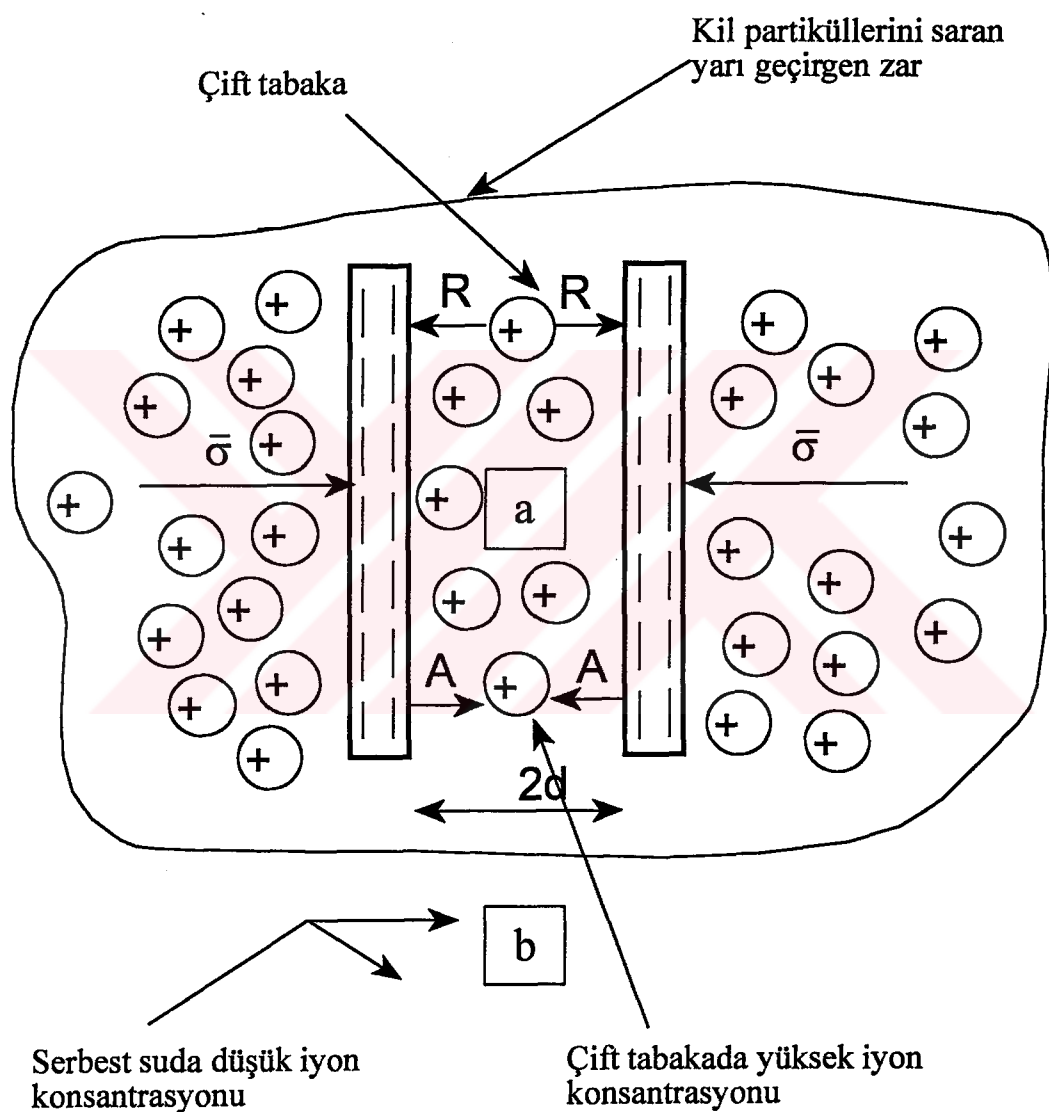
Şişme olayına etki eden mekanizmaların arasında kapiler emme, katyon hidratasyonu, ve elastik bir gevşeme kalır. Fiziksnel katyon hidratasyonu kil partikülünün içinde yada ona bitişik olarak konumlanır. Katyonlar hidratlandığı zaman, iyon yarıçapları artar ve büyümeye zemin kütlesinin net hacim değişimi içerisinde sonlanır. Bir kil kütlesinin içerisindeki su hareketine kapiler emme denir. Boşluklarda oluşan menüsküsler kil partiküllerine sıkıştırıcı kuvvetler uygularlar. Serbest su doygun olmayan kil kütlelerinde oluşmaya başladığı zaman boşluksuyu menüsküsleri büyümeye başlar ve kil partikülleri üzerindeki sıkıştırıcı kuvvetler gevşer. Kapiler film tabakası büyür ve zemindeki hacim değişimi ile son bulur yada başka şişme mekanizmaları için su kaynağı olarak davranışır. Killerin şişmesini etkileyen bir diğer mekanizma elastik gevşemedir, buda kil partiküllerinin birbirine yapışması, bir yerde toplanması gibi oluşumlar yüzünden kil partiküllerini yeniden ayarlar. Zemin yapısında partiküllerin yeniden yönlendirilmesi ve değişiminden dolayı, zemin kütlesinde hacimsel değişiklikler ortaya çıkar.

Zemindeki sular, içinde bulundukları koşullara uygun olarak, değişik enerjiye sahip olur. Bunlar, kinetik enerji ve potansiyel enerji olarak adlandırılır. Kinetik enerji suyun akım hızından oluşacaktır. Zemin içerisindeki suyun akımı Darcy yasasına uygun olarak çok yavaştır. Bunun içinde oluşturduğu kinetik enerji ihmali edilebilir düzeydedir. Potansiyel

enerji ise iç koşullara ve suyun pozisyonuna bağlıdır.

Zemin içerisindeki suyun hareketi potansiyel enerjisine bağlı olarak açıklanabilir. Zemin içerisindeki suyun potansiyel enerjisi koşullara bağlı olarak çok büyük bir değişim aralığı gösterebilir. Zemin kütlesi içerisindeki iki ayrı noktadaki zemin suyuna ait potansiyel enerjiler arasındaki fark zemin suyunun iki nokta arasında hareket etmesine sebep olur. Doğada bulunan bütün maddelerdeki evrensel eğilim, bulunduğu ortamı dengeleyebilmek için yüksek potansiyel enerjiye sahip bölge yada noktalardan potansiyel enerjisi daha düşük olan noktalara doğru hareket etme yönündedir. Zemin suyu da bu

evrensel kurala uyarak zemin içerisinde “denge” olarak adlandırdığımız potansiyel enerjinin uniform olarak dağılımını sağlamaya çalışır. (Aytekin, 1995).



Şekil 7. Kil partikülleri arasındaki çift tabakalar (Aytekin, 1992)

Zemin suyu, zemin kütlesi içerisinde potansiyel enerjisi yüksek bölgelerden potansiyel enerjisi düşük olan bölgelere doğru hareket eder. Zemin içerisindeki rölatif potansiyel enerjilerin bilinmesiyle, zemin içerisindeki sulara bütün noktalarda etki eden gerilmeler değerlendirilerek zemin kütlelerindeki suyun dengeden ne kadar uzakta olduğu belirlenebilir. Bu durum, yüksek seviyede bulunan bir cismin daha aşağı seviyeye doğru kendiliğinden yuvarlanabileceğinin şeklinde düşünülebilir. Bu cisimin bulunduğu seviyede durabilmesi için bir gerilme uygulanmalıdır. Bu durum da zemin içerisindeki suyun hareketini engellemek için uygulanan gerilmeyle aynı anlamdadır. Bu gerilmeye de “zemin emme gerilmesi” adı verilmektedir. Zemin emme gerilmesi bir zemin için sabit olmayıp, zeminin su muhtevasına bağlı olarak değişmektedir. Zeminin su muhtevası azaldıkça emme gerilmesi artmaktadır ve su muhtevası arttıkça emme gerilmesi azalmaktadır.

Potansiyel enerjisi yüksek bir bölgeden, düşük potansiyel enerjili bir bölgeye doğru su hareketini sağlayan kuvvet negatif potansiyel eğime ($-\frac{d\phi}{dx}$) eşittir. Burada, ($d\phi$) potansiyel enerjideki (dx) mesafesi boyunca oluşan değişimi göstermektedir. (Aytekin, 1995)

1.5. Zemin Suyu Potansiyeli

Zemin suyu potansiyeli çeşitli bileşenlerden oluşmaktadır. Zemin suyunun toplam potansiyeli aşağıdaki gibi ifade edilebilir.

$$\phi_t = \phi_m + \phi_o + \phi_g + \phi_{ov} + \dots \quad (4)$$

burada,

ϕ_t = Toplam potansiyel

ϕ_m = Matris potansiyeli

ϕ_o = Osmotik potansiyel

ϕ_g = Yerçekimi potansiyeli

ϕ_{ov} = Katman basıncı potansiyeli

Bağıntı 1 de görülen noktalar teorik olarak ilave terimlerinde buraya konulabileceğini göstermektedir (Aytekin, Şenol, 1998).

1.5.1. Matris Potansiyeli

Zemin suyunun atmosfer basıncından daha büyük bir basınç altında bulunması durumunda matris potansiyeli negatif olarak dikkate alınır. Matris potansiyelini oluşturan iki fiziksel durum vardır. Bunlardan birincisi zemin içerisindeki boşluk büyülüğüne bağlı olan kapilerite olayı, ikincisi ise killerin yüzeyinde bulunan negatif elektrik yükünden dolayı meydana gelen çekim kuvvetleridir. Bu kuvvetler zemindeki suları danelere doğru çekmektedirler.

1.5.2. Yerçekimi Potansiyeli

Yeryüzünde bulunan bütün cisimler dünyanın merkezine doğru, cismin ağırlığına eşit bir kuvvetle çekilirler. Bu cismin kaldırılabilmesi için bir iş yapılmalıdır. Bu iş kaldırılan cisim tarafından depo edilir. Depo edilen bu iş, yerçekimi potansiyel enerjisi olarak adlandırılır.

Zemin kütlesi içindeki değişik noktalarda zemin suyunun yerçekimi potansiyeli rasgele seçilen bir referans seviyesine göre belirlenir.

$$\phi_g = z * \gamma_w * g \quad (5)$$

burada,

z = Seçilen referans seviyesinden olan yükseklik

γ_w = Suyun yoğunluğu

g = Yerçekimi ivmesi

1.5.3. Katman Basıncı Potansiyeli

Zemin kütlesinde dikkate alınan nokta veya seviye üzerinde bulunan zemin ve yapıların ağırlıklarından dolayı meydana gelen potansiyeldir. Genellikle ihmäl edilir

1.6. Şişme Potansiyelinin Belirlenmesi

Şişme potansiyeli zeminin ihtiiva ettiği kil minerali ve kil oranına bağlıdır. Montmorillonit tipi killer mineralojik yapıları nedeniyle en fazla şişme gösteren zeminlerdir. Bazı araştırmacılar, şişme potansiyelini zeminin içерdiği kil türü ve yüzdesini yansitan indeks özelliklerine bağlı olarak ifade etmişlerdir.

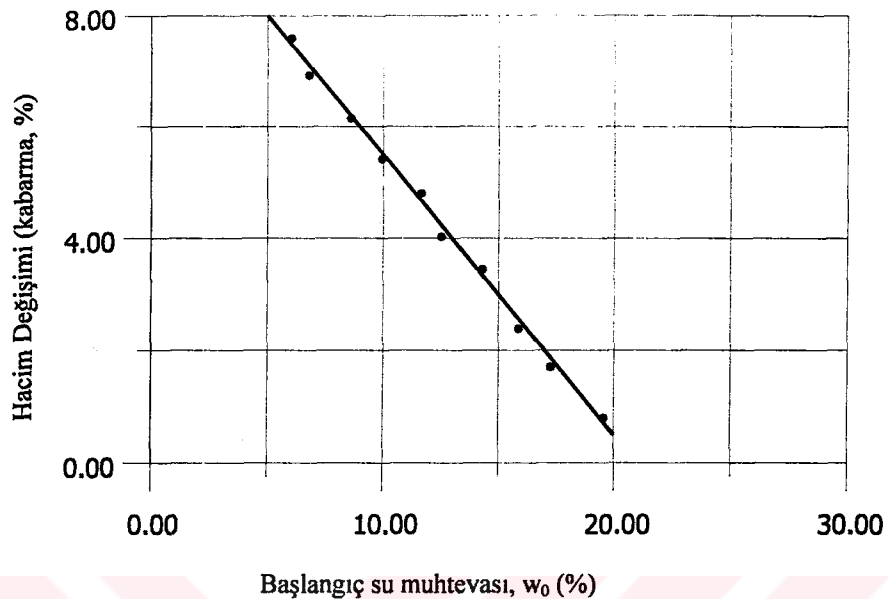
Holtz, Gibbs (1956), zeminin içerdeği kil türü ve kil yüzdesini yansitan indeks özelliklerinin şişme potansiyeline etkisini araştırmışlar, bu amaçla, zemin numunelerinin kolloid içeriği ve indeks özelliklerini belirlemişler, numuneleri 7.0 kPa'lık sürşarj yükü altında doygun hale getirmiştirlerdir. Daha sonra numunelerin şişme potansiyellerini toplam hacim yüzdesi cinsinden belirlemiştirlerdir. Bunların sonucunda Tablo 2.'deki sonuçları elde etmişlerdir.

Tablo 2. İndeks özellikleri ve muhtemel hacim değişikliği

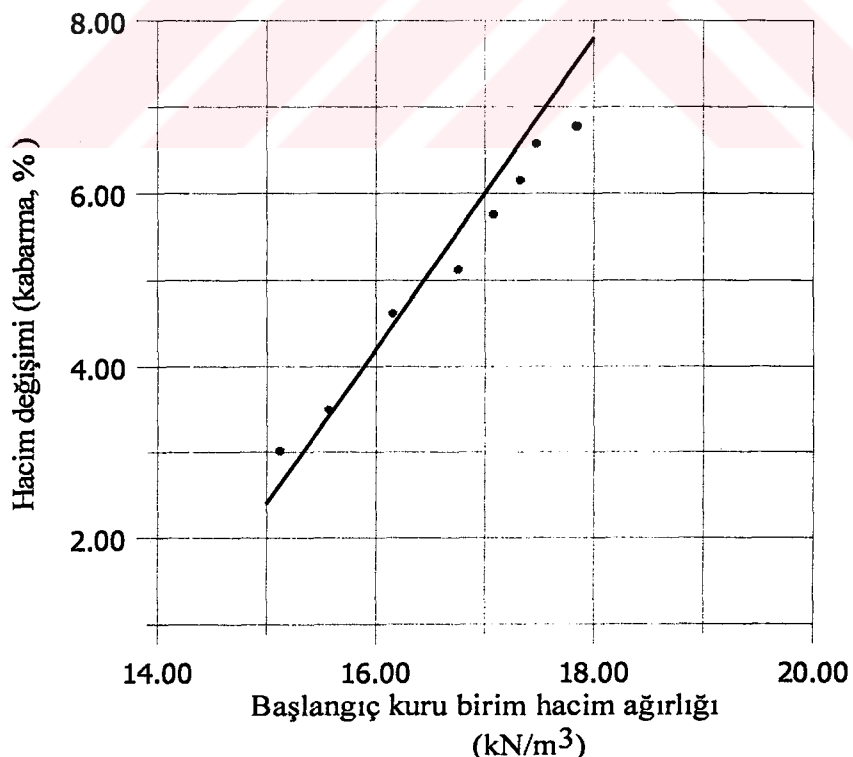
İndeks özellikleri				
Kolloid içeriği (<0.002 mm)	Plastisite indisi, (PI)	Rötre limiti (w _R)	Toplam hacim yüzdesi olarak muhtemel	Şişme derecesi şişme (%)
>38	>35	>11	>30	Çok yüksek
20-31	25-41	7-12	20-30	Yüksek
13-23	13-28	10-16	10-20	Orta
<15	<10	<15	<10	Düşük

Başlangıç su muhtevasının, kuru birim hacim ağırlığının ve sürşarj basıncının zeminin toplam şişme miktarı üzerindeki etkilerini araştırmışlardır. Bu amaçla, sabit kuru birim hacim ağırlıkta sıkıştırdıkları numuneleri, farklı başlangıç su muhtevalarında konsolidasyon deneyine tabii tutmuşlar, başlangıç su muhtevasında azalma ve toplam şişme miktarında artma gözlemişlerdir. Diğer gurup deneylerde, başlangıç su muhtevaları sabit olan numunelerin toplam şişme miktarının, başlangıç kuru birim hacim ağırlığındaki artısla orantılı olarak değiştigini göstermişlerdir. Toplam şişme miktarının, kuru birim hacim ağırlık ve su muhtevası gibi zemin özelliklerinin yanında; toplam gerilmenin de bir

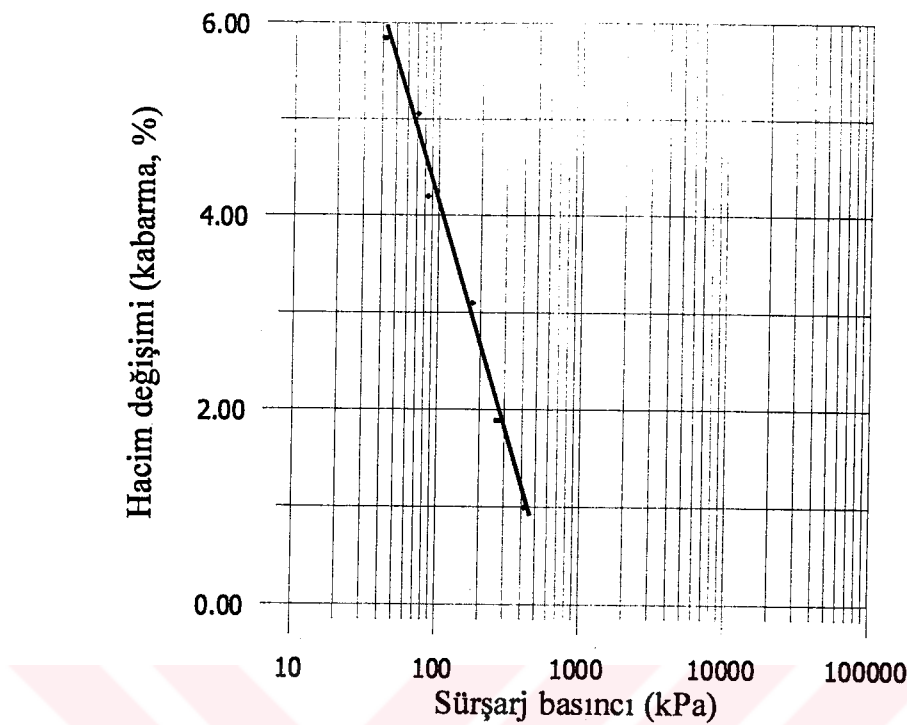
fonksiyonu olduğunu belirtmiştir. Bunlarla ilgili grafikler Şekil 8., Şekil 9. ve Şekil 10. da gösterilmiştir.



Şekil 8. Başlangıç su muhtevası.- Hacim değişimi ilişkisi



Şekil 9. Başlangıç kuru birim hacim ağırlığı- Hacim değişimi ilişkisi



Şekil 10. Sürşarj basıncı – Hacim değişimi ilişkisi

Van Der Merwe (1964), şişme derecesi, plastisite indisi, kil boyutu yüzdesi ve sürşarj basıncı arasında empirik bir ilişki geliştirmiştir. Zemin yüzeyindeki toplam kabarmayı Bağıntı 6 ile tanımlamıştır.

$$\Delta H = \sum_{D=1}^{D=n} F \times PE \quad (6)$$

burada,

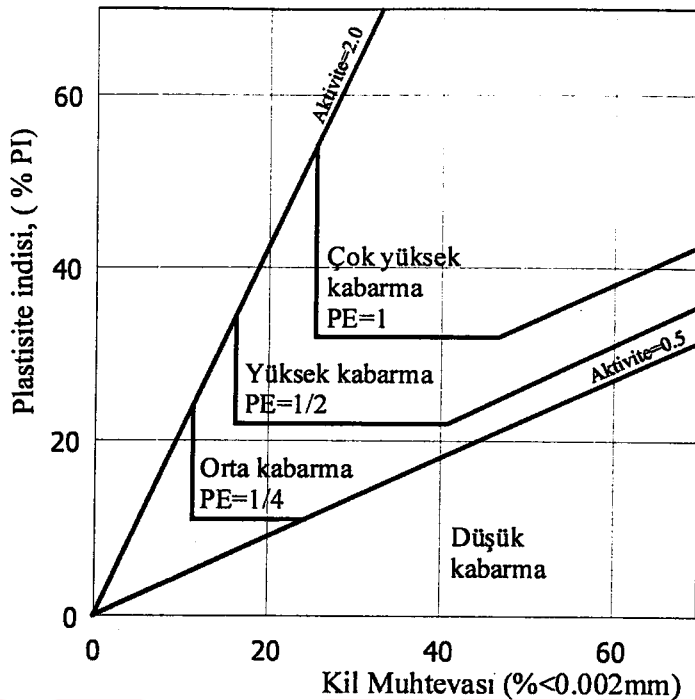
ΔH = Toplam kabarma

D = Zemin tabakası derinliği

F = Sürşarj basıncı azaltma faktörü, $F = 10^{-D/20}$

PE = Derinliğe bağlı potansiyel şismeler (inch/foot)

Potansiyel şişme Şekil 11. de plastisite ve 2μ altındaki boyutların fonksiyonu olarak tanımlanır.



Şekil 11. Van Der Merwe metoduna göre potansiyel kabarma ilişkisi

Komornik ve David (1969), killi zeminlerin şişme değerleri ile plastisite indisleri arasındaki ilişkiyi araştırmışlardır. Zeminler üzerinde serbest şişme deneyi yapılmış, deney sırasında zemin numunelerinin su muhtevası kuru halden doygun hale getirilmiştir. Deneylerin sonucunda, serbest şişme değerinin plastisite indisi ile doğru orantılı bir şekilde lineer olarak arttığını belirtmişlerdir.

Sherif ve Ishibashi (1982), sıcaklık değişimlerinin zeminlerin şişme karakteristiklerine etkisini araştırmışlardır. Likit limiti %35'den daha az olan zeminlerin şişme açısından önemli olmadığını belirtmişlerdir. Ayrıca 24 ° C' den başlayarak 66° C'ye kadar sıcaklık artışında şişme davranışını incelemiştir. Sıcaklığın artışı ile meydana gelen şişme miktarının %17-%28 arasında arttığını belirtmişlerdir.

Nagaraj ve Srinivasamurthy (1983), zeminin şişmiş haldeki boşluk oranının, arazideki boşluk oranı ile likit limit durumundaki boşluk oranı ve jeolojik yük ile ilişkisini araştırmışlardır. İncelenen tüm numuneler %96 doygunlukta laboratuvara sıkıştırılarak hazırlanmıştır. Şişen zeminler üzerinde çalışan daha önceki araştırmacıların elde etmiş

oldukları verilerden yararlanarak, şişmiş haldeki boşluk oranını önceden tahmin için çeşitli bağıntılar geliştirmiştir.

Snethen (1984), zeminlerin şişme potansiyeli ile likit limit değerleri arasındaki ilişkiyi, plastisite indisinin ve emme oranının potansiyel şişme miktarına etkisini araştırmıştır. Bu amaçla örselenmemiş numuneler kullanmış, numuneler arazideki jeolojik yük altındaki doğal su muhtevasından daha doygun hale getirilmişlerdir. Elde edilen bağıntı, jeolojik yükü kapsamamasına karşın her plastisite aralığı için emme oranını göz önünde bulundurmuştur.

Chen (1988), Wayne ve diğerleri (1984), plastisite indisi ve şişme potansiyeli ilişkisini belirlemek amacıyla yapmış oldukları çalışmaların sonuçlarını aşağıdaki Tablo 3. ile göstermiştir.

Tablo 3. Plastisite ve şişme potansiyeli arasındaki ilişki

Plastisite indisi	Şişme potansiyeli
0-15	Düşük
10-35	Orta
20-35	Yüksek
≥ 35	Çok yüksek

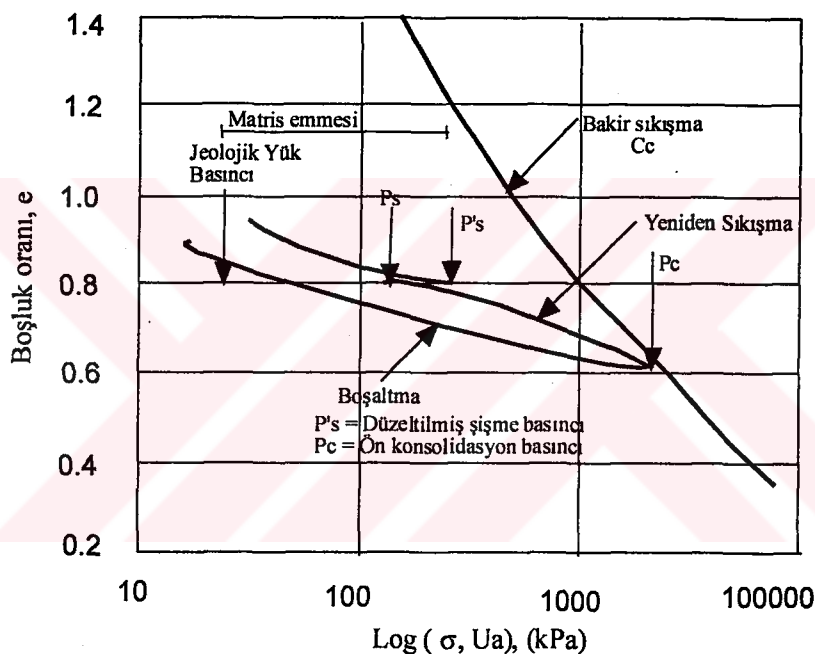
Fredlund ve Rohardjo (1991), şişme miktarının tahmin edilmesinde zemindeki gerilme durumu değişimlerinden yararlanarak birtakım bağıntılar önermiştir. Bu çalışmada, doygun olmayan zeminlerin davranışını tanımlamada birbirlerinden bağımsız iki tane gerilme durumu değişkeni kullanılmışlardır. Bunlardan birincisi, net toplam gerilme ($\sigma - U_a$), burada, U_a : boşluk-hava basıncı, ikincisi, zemin emmesi ($U_a - U_w$). Burada, U_w : Boşluk suyu basıncıdır. Toplam şişmenin büyülüğünün arazideki mevcut gerilme ile bir süre sonraki gerilme arasındaki farkın bir fonksiyonu olarak yazılabilceğini belirtmişlerdir. Odometre deneyinin arazideki gerilme durumunu, net normal gerilme düzlemini üzerine dönüştüğü not edilmiştir. Arazideki gerilme durumu: düzeltilmiş şişme basıncı P_s ' olarak verilmiştir. Bu toplam katman yükü basıncına eşittir. Bir zeminin şişme geçmişinin, zeminin şişme davranışının üzerinde büyük bir rol oynadığı belirtilmiş ve bu konu

üzerinde yapılan odometre sonuçları Şekil 12. de gösterilmiştir. Şekil 12. de görülen ön konsolidasyon basıncı P_c ile P_s' arasında aşağıdaki gibi bir ilişki vardır.

$$\text{OCR} = P_c / P_s' \quad (7)$$

Burada,

OCR = Aşırı konsolidasyon oranını göstermektedir.



Şekil 12. Ön konsolidasyon basıncına göre düzeltilmiş şişme basıncı

Day (1994), ıslanma kuruma döngüsünün zeminin kayma mukavemetini artırdığını gözlemiş ve bunun da ıslanma kuruma döngüleri sonucunda efektif kohezyonda (c) meydana gelen artıştan dolayı kaynaklanabileceğini belirtmiştir. Proktor kalıbında optimum su muhtevasından %6 daha fazla su muhtevasında hazırlanan numuneler ıslanma ve kuruma döngülerine maruz bırakılmıştır. ıslanma - kuruma çevrimlerinin sonucunda zemin numunelerinin şişme potansiyellerinin arttığını, maksimum artışın birinci çevrim sonunda meydana geldiğini belirtmiştir. Ayrıca Day (1991)'de sıkıştırılmış çakılı killerde, şişme testi aşamalarında genellikle ihmali edilen çakıl boyutlu danelerin etkilerini incelemiştir. Bu

çalışmanın sonucunda Day, sıkıştırılmış çakılı kılın şişme davranışını, kuru birim hacim ağırlığı sabit olan çakılı miktarından ileri gelen hacim azalmasına bağlıdır demeştir. Çakılı miktarı arttıkça kılın şişmeye karşı gösterdiği davranış azalır, çakılı miktarı azaldıkça kılın şişme davranışının da arttığını belirtmiştir.

1.7. Zemin Emme Gerilmesinin Belirlenmesi ile İlgili Çalışmalar

Zemin suyunun atmosfer basıncından düşük bir basınçta olması halinde matris potansiyeli, matris emme gerilmesi olarak adlandırılır. Toplam zemin emme gerilmesi zemin suyu potansiyelinin özel bir halidir (Aytekin, 1995). Toplam emme gerilmesi, zeminin su tutuşundan sorumlu gerilmeyi temsil etmektedir. Bir başka değişle, emme, zeminin suya uyguladığı çekme kuvvetinin ölçümü olan gerilme terimidir. (Kandemir, Erol, 1996). Kısaca, emme gerilmesi, zeminin suyu tutmaya karşı gösterdiği bir eğilim olarak tanımlanır (Aytekin, 1995). Zemin emme gerilmesi, zeminin suyu çekim kapasitesini ve su tutma özelliğini ölçümede kullanılan özel bir enerji miktarıdır ve arazi ölçümlerde su depolanması ve su hareketinin karakterini belirleyen bir anahtar rolü üstlenir (Lee, Wray, 1995). Zemin suyu düşük emme gerilmelerinin olduğu yerden, yüksek emme gerilmelerinin olduğu yöne hareket eder. Bu nedenle, zemin suyu, doygun zeminlerde gerilmenin eğimine benzer olarak emme gerilmesi eğimi tarafından başka bir yere nakledilebilir. Toplam zemin emme gerilmesi iki bileşenden oluşur. Bunlar, matris emme gerilmesi ve osmotik basınçtır. Toplam emme gerilmesi Bağıntı 8 deki gibi ifade edilir (Park, Lytton, Button, 1998).

$$h_T = h_m + h_s \quad (8)$$

burada,

h_T = toplam zemin emme gerilmesi

h_m = matris emme gerilmesi

h_s = osmotik emme gerilmesi

$$h_T = \frac{RT}{mg} \ln \left(\frac{P}{P_0} \right) \quad (9)$$

burada,

h_T = toplam zemin emme gerilmesi (gm-cm/gm yada yalnız cm), işaretti negatiftir

R = universal molar gaz sabiti ($8,31432 * 10^7$ erg/mol K)

T = mutlak ısı (sıcaklık) (°C + 273,16 K)

m = su basıncı molekül kütlesi (18,016 g/mole)

P = kısmi boşluk suyu buhar basıncı

P_o = serbest saf suyun buhar basıncı (kPa)

P/P_o = zemin suyunun denge halindeki izafî nem oranıdır.

Bağıntı 9 toplam potansiyel ile buhar basıncı arasındaki ilişkiyi tarif eder. Zeminin toplam emme gerilmesi Bağıntı 9 kullanılarak hesap edilebilir. Bu nedenle kabarma işlemi enerji yaklaşımıyla modellenebilir, çünkü nem hareketi pekçok doygun olmayan zeminlerde buhar şeklindedir.

Osmotik emme gerilmesi zemin suyundaki çözülmüş tuzlardan kaynaklanmaktadır. (Edil, Motan, 1980). Matris emme gerilmesi su muhtevasına ve yüze bağlı olarak değişirken, osmotik emme gerilmesi su muhtevası ve yüze bağlı olmayıp ancak zemin boşluk suyu ile zemini ıslatan çevre suyunun çözelmiş tuz konsantrasyonlarının farklı olması halinde şırmeye neden olmaktadır (Snethen, 1980, Lee, Wray, 1995). Osmotik emme gerilmesin de Von't Hoff's denklemi kullanılarak ifade edilebilir (Lytton, 1996).

$$\pi = -\frac{RTC}{g} \quad (10)$$

burada,

π = osmotik emme (gm-cm/gm yada yalnızca cm)

R = universal molar gaz sabiti ($8,31432 * 10^7$ erg/mol.K)

T = mutlak ısı (sıcaklık) (K)

C = molar konsantrasyonu (moles/litre)

g = yerçekimi ivmesi (981 cm/sn²)

Zeminin önemli miktarlarda çözülebilir tuzlar içermesi halinde osmotik gerilme bileşeninin etkisi söz konusu olabileceğinden, çoğu geoteknik uygulamalarında osmotik kuvvetler sabit düşünülebilir.

Krahn ve Fredlund (1972), çalışmalarında su muhtevasındaki değişikliklerden osmotik emmenin çok az etkilendiğini, yüksek su muhtevasında toplam ve matris emmesinin birbirine yakın olduğunu, toplam emmedeki değişikliğin matris emmesinden kaynaklandığını belirtmişlerdir. Bu nedenle, geoteknik problemlerde osmotik emme ihmal edilmektedir (Yıldırım, Çimen, Keskin, Kara, 1999).

Matris emme gerilmesi hava-su geçişlerindeki oluşan basınç farkıdır ve suyun yüzey gerilim kuvvetlerinden oluşan kapilarite ile ilişkilidir ve Bağıntı 11 de verilen toplam ve osmotik emme gerilmesi farkına eşittir.

$$h_m = h_t - \pi \quad (h_o) \quad (11)$$

Genel olarak mühendislik uygulamalarında zemin emme gerilmesi pF birimi kullanılarak gösterilmektedir. pF bir su kolonunun cm olarak yüksekliğinin logaritması alınarak bulunmaktadır.

$$h \text{ (pF)} = \text{Log}_{10} (h_T) \quad (12)$$

burada,

h_T = Toplam zemin emme gerilmesi (cm olarak su kolonu yüksekliği cinsinden).

pF birimi ilk defa Schofield (1935) tarafından pH' den esinlenerek kullanılmıştır. "p" logaritmik karakteri gösterirken "F" de serbest enerji farkını sembolize etmektedir. pF biriminin kullanılmasıyla zemin emme gerilmesi olarak bulunan büyük rakamlar yerine daha küçük rakamların kullanılması sağlanmıştır.

Şişen zeminlerde hacim değişikliğinin hesaplanması pekçok model önerilmiştir. Bunlardan yalnızca birkaçı ön plana çıkmıştır (Bratton, 1991). Bunlar, Mitchell ve Avalle

model, Lytton-Gardner-McKeen modeli ve Wray modelidir. Bu üç model de birbirine çok benzer. İlk iki model aynı genel forma sahiptir. Üçüncü model ise ikinci modelin adaptasyonu ve genişletilmiş halidir.

Sullivan ve McClelland (1969), toplam şişme miktarını ve şişme basıncını tahmin etmek için örselenmemiş zemin numuneleri üzerinde odometre deneyleri yapmışlardır. Bu deneylerde zemin numunesinin su emmeye başladıkta sonra hacminde meydana gelen artışı önleyecek şekilde basınç uygulanmıştır. Numune hacminde bir değişim meydana getirmeyen basınç şişme basıncı olarak adlandırılmıştır. Laboratuvarlarda elde edilen şişme basınçlarının, numune alma sırasındaki örselenmelerin etkisi ile arazideki değerlerinden daha büyük olduğu belirlenmiştir. Şişme miktarının belirlenmesinde Bağıntı 13'ü kullanmışlardır (Hekimoğlu, 1996).

$$pF = \sigma_y + \Delta\sigma_y - U_{wf} \quad (13)$$

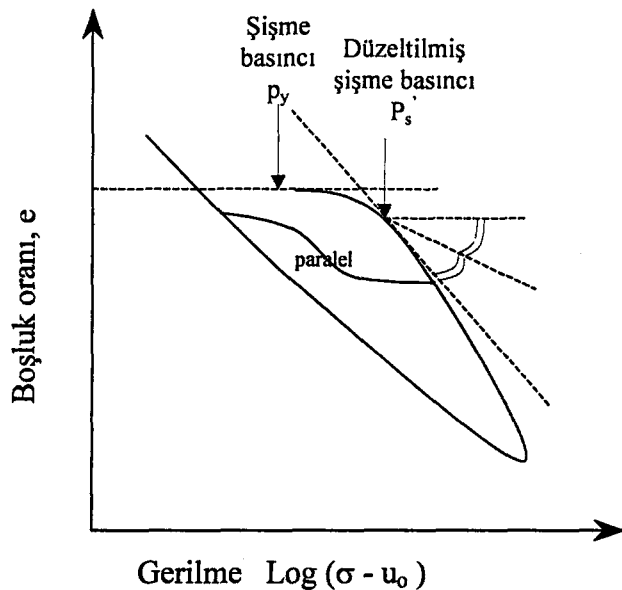
burada,

σ_y = toplam jeolojik yük

U_{wf} = önceden tahmin edilen nihai boşluk suyu basıncı

$\Delta\sigma_y$ = kazıdan veya dolgudan dolayı meydana gelen toplam gerilmedeki değişiklik değerini göstermektedir.

Şişme miktarının tahmini için Bağıntı 13'de önerilen gerilme değerleri, tabakaların orta noktasındaki değerlerdir. Buradaki P_o basıncının, başlangıctaki toplam jeolojik yükle, zemindeki negatif boşluk suyu basıncını karakterize eden bir değerin ilave edilmesi ile bulunacağı belirtilmiştir. Ancak, bu değerin doğru ölçülmesi zor olduğundan, P_o daima temsili zemin numuneleri üzerinde odometre deney aletinde tayin edilen şişme basıncı değeri olarak alınmıştır. Deney düşük bir basınç altında numuneye su verildiğinde şışmeye engel olan basıncın ölçüldüğü yöntemle yapılmıştır. Daha sonra, normal konsolidasyon deneyindeki yük kademeleri uygulanmıştır. Ancak numunenin alınması sırasındaki örselenmenin etkisini hesaba katmak için şişme basıncının Şekil 13. de gösterildiği gibi düzeltilmesi gerektiği belirtilmiştir. Ayrıca şişme basıncının genellikle derinlikle azaldığı belirtilmiş, pF gerilmesini hesaplamak için Bağıntı 13'ü kullanılmıştır (Keskin, 1993).



Şekil 13. Düzeltilmiş şişme basıncının bulunması

Fredlund ve Raharjo (1991), toplam şişme miktarını, ödometre deney sonuçlarındaki başlangıç ve nihai gerilme durumlarına karşılık gelen boşluk oranlarındaki değişikliklerden ve şişme indisinden yararlanarak hesaplamışlardır.

Chen (1988), şişme basıncını tayin edebilmek için, incelenen örselenmemiş zemin numunelerinin 50 kPa'lık sürşarj yükü altında su emerek tamamen şismelerine izin vermiş, nihai şişme değerlerini elde ettikten sonra tekrar yüklemiştir. Bu numunelerin eski hacimlerine dönebilmeleri için gereken basınç değerlerini elde ettikten sonra tekrar yüklemiştir. Bu numunelerin eski hacimlerine dönebilmeleri için gereken basınç değerlerini bulmuş ve bu değerleri şişme basıncı olarak almıştır. Bu yöntemle yaptığı deneylerden, sürşarj basıncı, numunenin başlangıçtaki su muhtevası, doygunluk derecesi, numunenin kalınlığı gibi faktörlerin şişme miktarını etkilediğini bulmuştur. Şişme basıncının ise pratik olarak sabit kaldığı yalnızca başlangıçtaki kuru birim hacim ağırlığı arttıkça arttığı gözlenmiştir. Elde edilen deney sonuçları, zemin indeks özellikleri ve SPT değerleri göz önüne alınarak Tablo 4. de verilmiştir.

Tablo 4. Şişen killerde muhtemel hacim değişikliği

Laboratuvar ve arazi verileri					
200 No'lu elekten geçen yüzde	Likit limit	SPT darbe sayısı	Toplam hacim yüzdesi olarak muhtemel şişme (%)	Şişme basıncı (kPa)	Şişme derecesi
>35	>60	>30	>10	>1000	Çok yüksek
60-95	60-40	20-30	3-10	250-1000	Yüksek
30-60	30-40	10-20	1-5	150-250	Yüksek
<30	<30	<10	<1	50	Orta Düşük

Wayne ve dig. (1984), temel tasarımlarında kullanılmak üzere, Tablo 5.'i vermiştir.

Tablo 5. Hacim değişikliği, şişme basıncı ve muhtemel hasar arasındaki ilişki

Hacim değişikliği (%)	Şişme basıncı (kPa)	Muhtemel hasar
0-1,5	0-50	Düşük
1,5-5	50-250	Orta
5-25	250-1000	Yüksek
>25	>1000	Çok yüksek

1.8. Şişme Yüzdesinin Belirlenmesi ile İlgili Çalışmalar

Bracley (1983), potansiyel şişme yüzdesinin başlangıç boşluk oranına, plastisite indisine, sürşarj basıncına ve başlangıç su muhtevasına göre değişimini incelemiştir. Şişme yüzdesinin önceden tahmini için çeşitli parametreler kullanılmış olmasına rağmen, önceden tahmin edilen ve ölçülen şişme değerleri karşılaştırılmış ve doğru sonuç vermedikleri saptamıştır. Tahmin edilen değerler, ölçülen değerlerden 1/2 ile 6 kat daha farklı çıkmıştır.

Nayak ve Christensen (1971), şişme yüzdesi ile plastisite indis, kil içeriği ve arazideki su muhtevası arasındaki ilişkiyi gösteren Bağıntı 14'ü geliştirmiştir.

$$S_p = (0,00229 \text{PI}) * (1,45 C) / W_0 + 6,38 \quad (14)$$

Burada,

S_p = şişme yüzdesi

PI = plastisite indisı

C = kil yüzdesi

W_0 = başlangıç su muhtevası'dır.

Vijayvergyia ve Ghazzaly (1973), şişme yüzdesinin likit limit, su muhtevası ve arazideki nemlilik oranı ile değişimini incelemiştir. Deneyler sonucunda, şişme yüzdesi, likit limit ve başlangıç boşluk oranı arasında Bağıntı 15'i elde etmişlerdir.

$$\text{Log} (S_p) = 1 / 12 (0,44 \text{LL} - w_0 + 5,54) \quad (15)$$

Burada,

S_p = şişme yüzdesi

w_0 = başlangıç su muhtevası

LL = likit limit değeri'dir.

1.9. Emme Gerilmesinin Şişme Davranışına Etkisi

McKeen (1991), emme indisinin belirlenmesi için bir seri deney yapmış ve bu deneylerin sonucunda emme gerilmesinin kılın aktivitesine ve katyon değiştirme aktivitesine bağlı olduğunu belirlemiştir. Bundan yola çıkarak Şekil 14.' deki abağı geliştirmiştir. Abak, zeminin aktivitesinin, katyon değiştirme kapasitesinin belirlenmesi ile kullanılır. Buna bağlı olarak Bağıntı 16, Bağıntı 17 ve Bağıntı 18 de verilen değerler bulunur. γ_h derinliğe bağlı olarak değişir. McKeen'in bağıntısında geliştirilen bu değerin belirlenmesi oldukça güçtür. Bu amaçla X-işınları analizi ve hidrometre deneyi ile bu değerleri belirler. Bu amaçla geliştirdiği abak'tan faydalananır. Lytton'un çalışmalarını genişleterek aşağıdaki gerime değerlerini bulmuştur.

$$\text{Kaolin, } \gamma_h = 0,00018 (\% \text{ Kil}) - 0,000098 \quad (16)$$

$$\text{İllit, } \gamma_h = 0,00047 (\% \text{ Kil}) - 0,00351 \quad (17)$$

$$\text{Montmorillonit, } \gamma_h = 0,00056 (\% \text{ Kil}) - 0,00433 \quad (18)$$

burada,

γ_h = Emme değişimi indeksi olarak adlandırılır ve kil yüzdesi ($<0,0002\mu\text{m}$) toplam örneğe göre hesaplanır.

Lytton (1977) tarafından γ_h aşağıdaki şekilde tarif edilmiştir.

$$\gamma_h = \frac{\frac{\Delta V}{V}}{\log_{10} \frac{h_f}{h_i}} \quad (19)$$

burada,

γ_h = emme değişimi indeksi

$\frac{\Delta V}{V}$ = başlangıç hacmine göre hacim değişimi

h_i , h_f = başlangıç ve nihai (son) zemin emme değeri

Katyon değiştirme aktivitesi, CEA_c , aşağıdaki gibi hesaplanır.

$$A_c = \frac{PI}{\% \text{ Kil}} \quad (20)$$

$$CEA_c = \frac{CEC}{\% \text{ Kil}} \quad \text{me/100 g} \quad (21)$$

burada,

CEC = zeminin katyon değiştirme kapasitesi

PI = plastisite indisi

Şekil 14.'deki abakta emme indisi değerleri, % 100 killi zeminler için verilmiştir.

Düşey gerilme, emme gerilmesi indisinin (γ_h) bir fonksiyonudur, gerçek emme değişimi ile çarpılır, ΔpF .

$$\frac{\Delta H}{H} = \gamma_h (pF_{başlangıç} - pF_{nihai(son)}) = \gamma_h (\Delta pF) \quad (22)$$

Brackley (1980), emme indisi ($c\psi$) ve şişme yüzdesi için Bağntı 23 ve 24'ü geliştirmiştirlerdir.

$$c\psi = \frac{PI - 10}{10} \quad (23)$$

$$\frac{\Delta H}{H} = c\psi \log \frac{\psi_i}{\sigma_v} \quad (24)$$

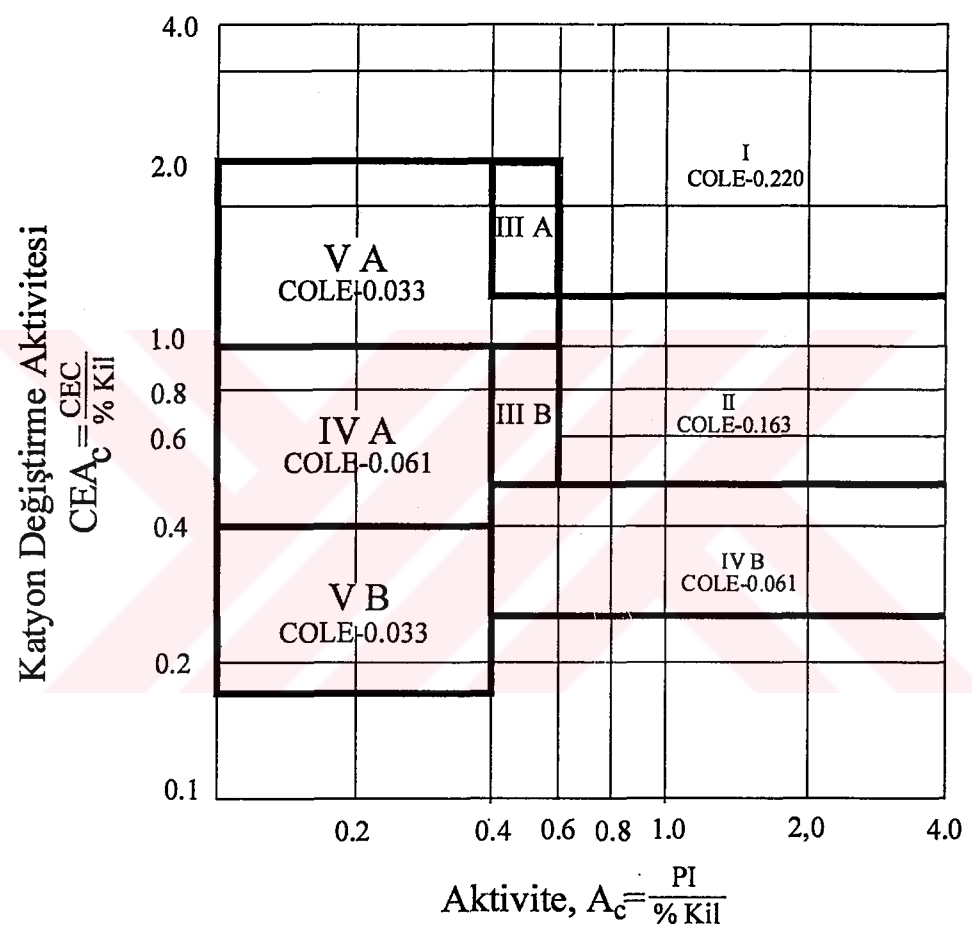
burada,

$c\psi$ = emme indisi

PI = plastisite indisi

ψ_i = başlangıçtaki zemin emmesi

σ_v = düşey gerilme'dir.



Şekil 14. Emme indisi tahmini için abak (Aytekin, 1992)

Bunlardan başka şişme yüzdesinin belirlenmesinde Tablo 6. da gösterilen metodlar başka bilim adamları tarafından geliştirilmiş empirik formüller verilmiştir.

Tablo 6. Potansiyel kabarmanın tahmininde diğer empirik formüller

Metot	Tanımlama
Vijayvergyia ve Ghazzaly	$\text{Log } S_p = 1/12 (0,44\text{LL} - w_o + 5,5)$ başlangıç su muhtevasının 0,1 tsf surşarj basıncı olduğu yere kadar
Schneider ve Poor	$\text{Log } S_p = 0,9 (\text{PI}/w_o) - 1,19$
McKeen-Lytton by McKeen	$S_p = -100 \gamma_h \log_{10} \frac{t_f}{t_o}$ burada, γ_h = emme gerilmesi indeksi t_f = başlangıç emme gerilmesi t_o = nihai (son) emme gerilmesi γ_h Şekil 1-9 daki karttan bulunur
Johnson	$\text{PI} \geq 40 \quad S_p = 23,82 + 0,1458H - 1,7w_o + 0,0025\text{Pi}w_o - 0,00884\text{PIH}$ $\text{PI} \leq 40 \quad S_p = -9,18 + 1,5546\text{PI} + 0,0842H + 0,1w_o - 0,0432\text{Pi}w_o - 0,01215\text{PIH}$

S_p = Şişme yüzdesi, LL = Likit limit, PI = Plastisite indisi,

w_o = Başlangıç su muhtevası, H = Zemin derinliği

1.10. Şişmeye Etki Eden Diğer Faktörler

Fiziksel şartlardaki diğer değişikliklerin etkisiyle nemlilik derecesi azalan killi zeminler tekrar kapiler su emdiklerinde, sahip oldukları şişme potansiyeline yeniden kavuşurlar. Ancak kuruma ve ıslanmanın her döngüsü için zeminin şişme davranışında bir yorulma gözlenir. Yapılan incelemeler, kurutma ve ıslatma işlemlerinin tekrarlanması halinde ilk çevrimde oluşan şışmenin, sonrakilerden fark edilir derecede büyük olduğunu göstermiştir. Yıllar sonra mevsime bağlı bu hareketlerin bir stabilizasyona uğradığı gözlenmiştir. Şişen zeminlerin bu özelliği şişme yorulması olarak adlandırılmaktadır.

Dhowian ve dig. (1984), şişen zeminlerdeki hacim değişikliklerine yol açan doğal mikro mekanizmaları, osmotik itme gerilmesi, kil partiküllerinin çekimi, katyon hidrasyonu, London-Van Der Wall kuvvetleri ve kapiler emme olarak açıklamışlardır. Şişmeye etki eden faktörleri ise Tablo 7.'deki şekilde ifade etmiştir.

Tablo 7. Şişmeye etki eden faktörler (Dhowian ve diğerleri. 1984)

Faktör	Tanım
Zeminlerin kompozisyonu	Aktif kil mineralleri-montmorillonit ve diğer kil mineralleri ile montmorillonit tabakaların kombinezonu
Boşluk suyu tuz konsantrasyonu	Boşluk suyundaki yoğun katyon konsantrasyonunun, zemin hacim değişimlerini azaltıcı etkisi vardır. Osmotik şişmenin uzun süreli etkisi düşünülebilir.
Boşluk suyu bileşimi	Bir değerli katyonların baskın olduğu ortamda, şişme ve rötreyi azaltmaktadır.
Yapı	Yumak partiküller, dağılmış partikülere oranla daha fazla şişme gösterir. Çimentolaşmaya sahip partiküller, şişmeyi azaltıcı etkiye sahiptir. Su emme eğilimine sahip killer, diğerlerine göre daha fazla şişme gösterirler.
İklim	Kuru iklimler, zemin profili kurumasına, nemli iklimler ise profili ıslak olmasına neden olurlar.
Yeraltı suyu	Yer altı su seviyesinin düşük oluşu ve su seviyesindeki dalgalanmalar, şişme ve kabarmaların ortayamasına yol açar.
Drenaj	Zayıf yüzey drenajı, nem birikimi ve göllenmelere neden olur.
Bitki örtüsü	Ağaçlar, çalılar ve otlar, terleme ile zemindeki suyun tüketilmesini sağlar. Bitki örtüsünden arındırılmış alanlarda, nem birikimleri söz konusu olabilmektedir.
Yatay etkiler	Büyük yatay basıncı şişmenin azalmasına neden olur. Hafriyat nedeniyle açılan yarımalarda şişme görülmeye çok daha olasıdır. Genelde yatay basınç, düşey sürşarj basınçına eşit olmayabilir.
Zemin geçirimliliği	Fisürler, geçirimliliği artırıcı etki yaptığından, şişme artışlarının daha hızlı olmasını sağlar

1.11. Yatay Doğrultuda Şişme Basıncı

Şişen zeminlerde eğer bir şişme varsa, zeminin şışmesine engel olan bir sınır yok demektir. Zemin yüzeyi, şişen zeminin şışmesi durumunda, düşey olarak yükselir. Eğer zemin yüzeyi kırıklı (sureksız) veya çatlak ise, hacimdeki yatay artışlar nedeniyle, zemin kütlesi boşluklara ve çatlaklara doğru şiser ve buraları kapatarak bu kısımlara yerleşir. Ancak, kırık ve çatlaklıkların olmaması yada çok küçük olması durumunda zemin yatay doğrultuda sınırlanır. Bu nedenle, yatay şişme basınçları oluşurken, hacim değişimi olmaz.

Teknik literatürde pekçok makale, yatay şişme basıncı konusunu iki gruba ayırmıştır. Bunlardan birincisi, başlıca teorik yaklaşımlar, ikincisi ise, deneysel metodlardır. Teorik makalelerin çoğu, gelecekteki sonuçları tahmin etmede, denklemlerin geliştirilmesinde kullanılan laboratuvar verilerini yada belirli faktörlerin değerini hesaplamak için laboratuvar deneylerini kullandılar. (Aytekin, 1992). Bu amaçla yapılan çalışmalar deneysel ve teorik olarak tartışılmıştır.

1.11.1. Teorik yaklaşımlar

Bolt (1956), iyon konsantrasyonunun, sıcaklığın adsorbe edilmiş, katyon değerinin, boşluk oranının, kil minerali yoğunluğunun, kil yüzey alanının ve kil minerali kütlesinin bir fonksiyonu olarak Bağıntı 25' i belirlemiştir.

$$P_s = R \times T \times C_o \frac{C_e}{C_o} + \frac{C_o}{C_e} - 2 \quad (25)$$

burada,

P_s = şişme basıncı

R = gaz sabiti

T = mutlak sıcaklık

C_o = çözelti konsantrasyonu

C_e = merkezi düzlemden katyon konsantrasyonu

Skempton (1961), yaptığı çalışmada aşırı konsolide bir zeminde yapılan derin kazıda, (stabilitesini kaybedecek düzeyde bir dik kazıdır), sukunet halindeki toprak basıncı katsayısı, K_o , ve efektif yatay zemin basıncını üç ayrı metodla hesaplamıştır. Araştırmalarının sonucunda, Skempton, iki önemli gözlem yapmıştır. Bunlar,

- Sukunet halindeki toprak basıncı katsayısının, K_o , derinlik arttıkça artması,
- Yaklaşık 3 metre (10ft) derinliğinde K_o değeri azalmış ve azalma sebebi olarak hava koşullarından ve kil tabakasının yüzeye yakın tarafının ayrışması ve yumuşaması sonucu olduğunu belirtmiştir.

Araştırmalarından sonra, Skempton aşağıdaki sonuçlara varmıştır:

- Şişme basıncı, zemin emme gerilmesine eşittir.
- Şişme basıncı drenajsız kesme deneyinden elde edilebilir.

Seed, Woodward ve Lungren (1962), %8 ile %65 arasında kil muhtevasına sahip olan doğal zeminler için şişme potansiyelini I_p ‘ye bağlı olarak aşağıdaki bağıntı ile vermişlerdir.

$$S = 2.16 \times 10^{-3} \times (I_p)^{2.44} \quad (26)$$

Burada,

S = şişme potansiyeli

I_p = plastisite indisi

Brooker ve Ireland (1965), sukunet halindeki toprak basıncı katsayısı ve laboratuvar araştırmalarından elde ettiği zemin özellikleri arasında bazı ilişkiler bulmuştur. Likit limiti yaklaşık 0.5 olan, uygun miktarda su muhtevası olan örselenmiş numeler üzerinde deneylerini yaptılar. Bütün test edilen zeminlerde su muhtevası optimum su muhtevasının üzerinde idi. Buldukları sonuçların bazıları aşağıdaki gibidir.

- Jakky bağıntısı, $K_o = 1 - \sin \Phi^i$, K_o muhtemelen kumlar için çok uygun olmasına rağmen, $K_o=0.95-\sin\Phi^i$ normal konsolide killer için uygundur.

b) Aşırı konsolidasyon oranı 20'nin üstünde olan yerlerde, K_o değeri pasif toprak basıncı K_p 'ye yaklaşır. Bundan dolayı, aşırı konsolidasyon oranı, OCR, K_o 'in hesaplanmasında kullanılan faktörlerdendir.

c) K_o başlangıçta artan efektif içsel sürtünme açısının (Φ^i) artmasından dolayı artar. OCR de artarak 20 ye yaklaşır. OCR 20 olduğu zaman K_o azalmaya başlar. Bundan dolayı, Φ^i , içsel sürtünme açısı K_o 'in hesaplanmasında kullanılan bir faktördür. İçsel sürtünme açısı düştüğü zaman, plastisite indisi artar.

Komornik ve David (1969), likit limit (LL), doğal su muhtevası (w_n) ve kuru birim hacim ağırlıkla (γ_d) bağlantılı olarak, şişme basıncı ile ilişkili bir regresyon bağıntısı, P_s , geliştirilmiştir.

$$\text{Log } P_s = 2.132 + 0.0208\text{LL} + 6.65 \times \gamma_d - 0.0269w_n \quad (27)$$

Nayak ve Christensen (1971), sıkıştırılmış şişen kil zeminlerden, deneyel dataları kullanarak, paralel killer için osmotik basınç ve çift tabaka difizyonu teorik ilişkilerinden çıkartılmış temel bir ilişki formu bulmuşlardır. Şişme basıncıları için genel regresyon bağıntıları, P_p aşağıdaki gibidir.

$$P_p = (3.5817 \times 10^{-2}) (\text{PI})^{1.12} \times \frac{C^2}{w_i^2} + 3.7912 \quad (28)$$

ve şişme potansiyelleri için genel regresyon bağıntıları, S_p ,

$$S_p = (2.29 \times 10^{-2}) (\text{PI})^{1.45} \times \frac{C}{w_i} + 6.38 \quad (29)$$

burada,

PI = plastisite indisi

C = kil miktarı

w_i = başlangıç su muhtevası.

Pufahl, Fredlund ve Rahardjo (1983), çalışmalarında, Mohr-Coulomb kırılma kriterlerini ve Rankine toprak basıncı teorisini kullanarak toplam gerilme şartında basit toprak basıncı bağıntıları formülüze ettiler. Doygun killerde yatay toprak basınçları meydana gelir. Bu basıncın meydana gelmesinde negatif boşluksuyu basınçları yanında teorik limit analizinden elde edilen pozitif matris emme gerilmesine sahip doygun olmayan killerde genişlemesi dikkate alınır. Boşluk suyu basınçlarının azalmasından yada matris emme gerilmesindeki artışından oluşan yatay toprak basıncı değişimini göstermişlerdir. Araştırmacılar, bazı durumlarda oluşabilen maksimum yatay basınçların, zeminler doygun olduğunda pasif basınçca eşit olduğunu göstermişlerdir. Araştırmacılar ayrıca, düşey yüzey gerilme çatlaklarının projelendirmede etkisinin çok az olduğunu göstermişlerdir.

Duncan ve Seed (1986), yatay toprak basınçlarının neden olduğu maksimum ve artık sıkıştırmaların ortaya çıkarılmasında analitik model ve yöntemler gösterdiler. Uygun bir modelin belirlenmesine ilişkin tavsiyeleriyle birlikte, yüklü yada yüksüz dönüşümlerden çıkarılmış gerilmeler için bir histerezlik (manyetik gecikme) modeli geliştirmiştir. Daha sonra zeminin sıkıştırmasından ve yerleştirilmesinden oluşan artık ve pik toprak basınçlarının çıkarılması için bu model analitik metotlara adapte edilmiştir.

Dhowian (1990), zemin emme gerilmesi değişimi ile ilişkilendirilen şişen kabuk formasyonunun kabarmasının tahmininde bir model önerdiler. Kabarma miktarını belirlemek için su muhtevası değişimi kullanılarak, bir tahmin metodu geliştirdiler. Nem indisi adını verdikleri terimi aşağıdaki gibi tanımladılar.

$$C_w = \frac{\alpha G_s}{1 + e_o} \quad (30)$$

burada,

C_w = nem indeksi

α = hacim sıkışabilirlik faktörü

G_s = katı partiküllerin özgül kütlesi

e_o = başlangıç boşluk oranı

Kabarmayı belirlemek için ,

$$\frac{\Delta H}{H} = C_w (w_s - w_b) \quad (31)$$

bağıntısı kullanılır.

Burada,

w_s = son (nihai) su muhtevası

w_b = başlangıç su muhtevası'dır.

Xin ve Ling (1992), çalışmalarında, su muhtevasının derinliğe bağlı olarak değişimini birçok arazi deneyinden elde etmişlerdir. Su muhtevası ile şişme basıncı arasında bir ilişki vermişlerdir. Araştırmacılara göre, şişme basıncı, zemin özelliklerinin, su muhtevasının ve değişiminin, dayanma yapılarındaki deformasyonun bir fonksiyonudur. Çalışmaların sonucunda, araştırmacılar, dayanma yapıları arkasında, yatay şişme basıncı dağılımını hesaplayan bir bağıntı önermişlerdir. Dayanma yapısında deformasyonun sıfır olması durumunda, bağıntı aşağıdaki gibidir.

$$P_z = P_{\text{maks.}} \frac{\Delta W_z}{W_h - W_s} \quad (32)$$

burada,

P_z = z derinliğindeki yatay şişme basıncı

$P_{\text{maks.}}$ = maksimum yatay şişme basıncı

ΔW_z = $\Delta W_{\text{maks.}}$ e^{-az}

$\Delta W_{\text{maks.}}$ = maksimum su muhtevası farkı

W_h = şişme limiti

W_s = büzülme limiti

z = derinlik

$$a = \text{su muhtevası sabiti} \quad a = \frac{P_w}{P_{\text{maks.}}}$$

P_w = doğal su muhtevasında yatay şişme basıncı

Araştırmacılar, dayanma yapıları arkasında oluşan şişme basınçlarını 3 farklı durum için vermişlerdir. Bunlar,

- a) Aktif tabaka sınırları dayanma yapısının yüksekliğinden daha derindedir.
- b) Aktif tabaka sınırları, dayanma yapısıyla eşit yüksekliktedir.
- c) Aktif tabaka sınırları, dayanma yapısı yüksekliğinden düşüktür.

Araştırmacılara göre, üç durumda da yatay şişme basıncı, su muhtevası değişiminin, Δw_z , eşit yada ($w_h - w_s$) den büyük olması durumunda, maksimum yatay şişme basıncını vermektedir. Maksimum yatay şişme basıncı, Δw_z 'nin ($w_h - w_s$)'den küçük olması halinde sabit kalacaktır. Δw_z 'nin sonraki azalmalarında, yatay şişme basıncı da azalacaktır.

Aytekin (1992), Xin ve Ling yaptıkları çalışmalarla ilgili olarak bazı görüşler belirtmiştir. Bağıntı 32 de yatay şişme basıncını hesaplayan denklemin bazı nedenlerden dolayı doğru olamayabileceğini ileri sürmüştür. Bu sebeplerden ilki, çok düşük bir başlangıç su muhtevasından itibaren zeminin son su muhtevası likit limite,LL, eşit yada daha büyük olduğu zaman Bağıntı 32'ye göre su muhtevasının zeminin likit limitinden daha fazla olması halinde bile oluşacak olan maksimum şişme basıncı hidrostatik basınçdan büyük olacağını söylemiştir.

Araştırmacı, şişme basıncının, zeminin likit limitinden daha fazla su muhtevası yada eşit olması durumunda, sıfır olacağını iddia etmiştir. Bu nedenle, Bağıntı 32 nin yatay şişme basınçlarının hesaplanması hatalı sonuçlar vereceği belirtilmiştir. Ayrıca bu fikirlerini destekleyen iki deneysel çalışma örneği vermiştir. Zeminin elastisite modülünün, E_s , su muhtevasının bir fonksiyonu olduğunu belirtmiştir. Su muhtevasının azalması durumunda, elastisite modülü artar. (Barkan 1962). Bu durum Bağıntı 33' de görülmektedir.

$$E_s = E_o \left(1 - \frac{w^2}{w_o^2} \right) \quad (33)$$

burada,

E_0 = sıfır su muhtevasındaki kılın elastisite modülü

w_0 = teorik olarak elastisite modülü sıfır olan kılın su muhtevası

Ek olarak, yüzeyde kesme gerilmesinin sıfır olmasından ve kesme gerilmesinin bir fonksiyonu olarak derinlikle artacağından dolayı, araştırmacı doygun kil yüzeyinde elastisite modülünün sıfır olduğunu iddia etmiştir. Bu iddialarının, Skempton, Henkel (1957) ve Sundhindra, Moza (1987) tarafından desteklendiğini belirtmiştir (Aytekin, 1992).

1.12. Başlıca Deneysel Analizler

Parcher ve Liu (1965), Kompaksiyon (sıkıştırma) nasıl olursa olsun, araştırmacılar yatay doğrultudaki birim şişmenin, laboratuarda sıkıştırılmış şisen zemin deneyinde bulunan düşey doğrultudaki şışmeden daha büyük olduğunu bulmuştur. Sonra sonuçları zemin yapısı ve çift tabakalı durum için ilişkilendirmiştir. Araştırmacılar, şisme basıncını ve kabarmanın büyüklüğünü etkileyen sekiz faktör belirtmiştir. Bunlar,

- 1) Zemin bileşenlerinin mineralojik oluşumu şisme/büzülme potansiyelinin belirlenmesinde en önemli faktördür.
- 2) Başlangıçta kuru daha sonra içine su almasına izin verilen şisen zeminler, başlangıçta ıslak ve su almasına izin verilmemiş olan zeminden daha fazla şisecektir. Büzülme için bunun tersi doğrudur.
- 3) Kil plaka partikülleri birbirine paralel olarak ve şisme doğrultusuna dik olarak düzenlenen zeminler, partikülleri farklı şekilde düzenlenmiş olandan daha büyük şisme miktarı ve şisme basıncı gösterir.
- 4) Serbest su zemindeki hacmin artmasına sebep olur. Ayrıca, boşluk suyundaki çözülmüş değişebilir katyonlar şisen zeminin ihtiyaç duyduğu suyun miktarını etkiler.
- 5) Şisen zeminlerdeki şişmenin engellenme miktarı zemine etki eden çevre basıncı olarak dikkate alınabilir.
- 6) Laboratuarda hazırlanan örnekler bir kür zamanına sahip olmak zorundadır. Genelde doğada kurutulmuş zeminler test için hazırlanır ve istenilen su miktarı zemine eklenir. Bundan dolayı, zemin küçük miktarda su içerir. Deney başlamadan önce numunede

üiniform zemin suyu durumunun sağlanabilmesi ve eklenen suyun yayılabilmesi için yeterli zaman geçmelidir.

- 7) Numunedeki zemin yapısı ve zemin örneğinin mineralojik bileşenleri eklenen suyun numune boyunca yayılmasını etkiler, bu yüzden takip eden günlerde kaygan bir yüzey yada çatlaklar tarafından sınırlandırılmış zemin karışımında suyun ilerlemesi sırasında bazı başlangıç şısmeleri meydana gelir.
- 8) Geçirimlilik ve çift tabakanın kalınlığı da sıcaklıktan etkilenir. Sıcaklığın artması daha hızlı oranda suyun geçmesine izin verir fakat sıcaklığın artması durumunda tabaka kalınlığı artmalıdır.

Blight (1967), K_0 değerinin kilin gerilme geçmişine bağlı olduğunu göstermiş ve aşırı konsolidasyon oranının artması durumunda K_0 değerinin arttığını göstermiştir. OCR yaklaşık olarak 5 – 6' yı aşkığı zaman K_0 değeri 1'den daha büyük olacaktır. Blight ayrıca Skempton'un daha önce karşılaştığı, örselenmemiş örnekler üzerinde yaptığı izotrop efektif gerilme ile arazideki efektif yüzeysel gerilmelerin karşılaştırması ile yaptığı çalışmalarda, arazideki K_0 değerinin ortaya çıkarılabileceği ilişkin sonuçlarını özetlemiştir. Bu çalışma yatay efektif gerilmelerin kilin pasif basınç direncine yaklaşığını göstermiştir. Araştırmacı iki Güney Afrika zemininde K_0 değerini ölçmüştür. Bu çalışmada üç sonuca ulaşmıştır. Bunlar,

- 1) Arazide kuruma ve ıslatmalar yoluyla aşırı konsolide olmuş doygun göl kilinde yatay efektif gerilmeler çatlaklı kilin pasif basınç direncine yaklaşabilir.
- 2) Su seviyesinin düşmesinden dolayı oluşan kilin kuruması ve bu kuruma ile oluşan büyük büzülmeler sonucunda yatay efektif gerilmeler azalır.
- 3) Göl kili orijinli şisen killerde sükunet halindeki yatay gerilmeler, kil tamamen yüzeysel kabarma altında olsa bile kilin minimum pasif basınç direncinden genellikle düşük olacaktır.

Komornik ve Livneh (1968), Laboratuar araştırmalarından yola çıkarak, şisme miktarının kompaksiyon yapılan doğrultuda fazla olduğunu rapor etmişlerdir. Buna, kullanılan montmorillonitik kilin plaka yapısının kompaksiyon doğrultusuna dik doğrultuda olmasını sebep göstermişlerdir. Araştırmacılar aynı düşey şisme miktarı için

paralel doğrultuda elde edilen yatay şişme basınçlarının, dikey doğrultuda elde edilen yatay şişme basıncından daha küçük olduğunu söylemişlerdir. Araştırmacılara göre bu bulgunun önemi, dayanma yapıları arkasında sıkıştırılmış bir dolgu kullanılıyorsa bu dolgunun oluşturacağı yatay basınçlar, laboratuarda örselenmemiş numuneler üzerinde yapılan deneylerden elde edilen yatay basınçlardan daha az olmasıdır. Araştırmacılar ayrıca %1 oranında düşey şişmeye izin verilen anizotrop zeminlerin, düşük düşey basınçlarda %40 ve %50 oranlarında yatay şişme basınçlarını etkilediğini rapor etmişlerdir. Sonuç olarak, araştırmacılar kil plakalarının yerleşim biçiminin etkisi kilin yapısı konusundaki yapılan deneylerde bulunan sonuçlardan doğrultu etkilerininde göz önüne alınması gereği sonucunu çıkarmışlardır.

Saito ve Yanai (1969), çalışmalarında sıkıştırılmış örnekleri yatay doğrultuda sınırlandırılarak doygun hale getirdiler. Aşamalı yükleme programı süresince şişme basınçlarını ölçtüler. Sonuçlardan bazıları aşağıdaki gibidir.

- 1) Maksimum şişme basıncı ve optimum su muhtevasındaki şişme yüzdesi plastisite indisi arttıkça artar.
- 2) Plastisite indisi, PI ve plastik limit, PL büyükse, kuru birim hacim ağırlık değişimini bir fonksiyonu olarak şişme basınçlarının değişim oranında büyür.
- 3) Su muhtevası optimum su muhtevasından fazla olduğu zaman, fazla sayıda darbe ile sıkıştırılmış zemin daha az şiser.
- 4) Plastisite indisi büyüdüğü zaman, doygun olmadan önce ve sonra drenajsız kesme direnci farkı büyktür.

Satyaranayana (1969), şisen zemine kum karıştırılması veya şisen zeminlerin şişme basınçlarının düşürülmüşinde kumun etkisini araştırmıştır. Laboratuar çalışmalarında, sıkıştırılmış “Hindistan Siyah Pamuk Zemini” adındaki türü kullandılar. Buldukları sonuçların bazıları aşağıdadır.

- 1) Yüzde olarak şişme basıncındaki azalma, kum eklenmesi durumunda büyür.
- 2) Kil partiküllerinin net şişme hacmi, şişme basıncını oluşturan sebeptir. Düşük yüzdeli kumda kum parçaları tarafından biçimlendirilen boşluklarda kil bir dolgu malzeme gibi

davranır. Şişme basınçlarının ölçülmesinde mantıksal sonuçlar çıkarabilmek için deneyler yapıılırken özel bir dikkat gerektirmektedir.

Komornik ve Zeitlen (1970), araştırmacılar farklı yerleştirme şartlarında sıkıştırılmış kilden düşey ve yatay basınç gelişimini ölçükleri laboratuar araştırmalarının sonucunda aşağıdaki sonuçları rapor etmişlerdir.

- 1) Örnekler sabit birim hacim ağırlığında, düşük su muhtevasında sıkıştırıldıkları zaman, yüksek su muhtevalarında sıkıştırılan ve diğer özelliklerinin sabit kaldığı laboratuar örneklerine göre daha az şişme miktarına sahip olur.
- 2) Sabit su muhtevasında, örnekler yüksek birim hacim ağırlıkta sıkıştırıldığında şişme miktarı daha büyüktür.
- 3) Örnekler aynı birim hacim ağırlığında olduğu zaman, düşey hareket de yok ise şişme basınçları, su muhtevasının değişmesi ile büyük farklılıklar göstermez.
- 4) Birim hacim ağırlığı arttığı zaman, örnekteki su muhtevası ne kadar olursa olsun düşey şişme basınçlarında artacaktır.

Brackley (1973), dinamik olarak sıkıştırılmış Güney Afrika şisen killeri üzerinde yaptığı laboratuar deney sonuçlarından şişme basınçının boşluk oranının bir fonksiyonu olduğunu söyledi ve şişme basınçının su muhtevası eğrisine karşı olarak emmeden tahmin edilebileceğini önerdi. Çalışmasında, serbest şişme yüzdesinin tahmini için aşağıdaki denklemi önerdi.

$$FS = \frac{m_s - m_0}{0.36 + m_0} \times 100 \quad (34)$$

burada,

FS = serbest şişme

m_0 = orijinal su muhtevası

m_s = örneklerin suya yerleştirildiği zaman şişmenin olmadığı sıkıştırılmış su muhtevası

Joshi ve Katti (1980), araştırmacılar “Hindistan Siyah Pamuk” zeminini yatay şişme basınçlarının belirlenmesinde kullandılar. Buldukları sonuçların bazıları aşağıdadır.

- 1) Doygun hale geldikten sonra yatay ve düşey şişme basınçları yaklaşık olarak üç eksenli deney sonuçlarından bulunanla aynıdır.
- 2) Yaklaşık 1 metre (3 ft)'nin altında, yatay şişme basınçları yüzeyden bu derinliğe kadar artarken 1 metre'nin altında yatay şişme basınçları yaklaşık olarak sabit kalır.
- 3) Doygun hale geldikten sonra, yatay şişme basınçları zamana bağlı olarak artar. Maksimum değerine yaklaşık 20 – 30 gün arasında ulaşır. Sonra şişme yavaşça azalır ve bir süre sonra hemen hemen sabit kalır.
- 4) Sürşarj artarken K_0 azalır fakat yaklaşık olarak minimum 2.0 değerine doğru yaklaşır.
- 5) Yatay basınç gelişimi, yaklaşık olarak $2,19 \text{ kg/cm}^2$ (2tsf) 'ye doğru artan sürşarj basıncı altında doğrusal ve hızlıdır, sonra artmaya devam ederken hızı azalır.
- 6) Şişme basıncı azaldıkça yatay basınçlar şişmeyen zeminin yatay basıncı ile aynı olmaya başlar.

Katti, Bhangale ve Moza (1983), araştırmacılar, çok geniş kapsamlı, büyük ölçekte laboratuvar deneylerinden, kohezyonlu şişmeyen zeminlerin kumun ve "Hindistan Siyah Pamuk" zemininin şişme basınçları üzerindeki etkilerini incelediler. Laboratuvar modelinde duvarın hareketine izin verilmemiştir, bunun sonucunda deneylerden elde edilen sonuçlar sükunet halindeki zemin basıncı katsayısı K_0 durumunu gösterir. Başlangıç sonuçları, tamamen suya doygun halde 45 gün boyunca içeresine su girmesine izin verilmiş "Hindistan Siyah Pamuk" zemini ile ilgilidir. Ek olarak araştırmacılar sonuçtan emin olmak için zemini 70 gün süreyle su içerisinde bırakmışlardır. Katti'nin deneysel olarak ulaştığı sonuçların bazıları aşağıda özetlenmiştir.

- 1) Jakky'nin denklemi, $K_0 = 1 - \sin\phi$, kuru, gevşek yerleştirilmiş zemin için geçerlidir fakat sıkıştırılmış zeminler için geçerli değildir.
 - a) Yatay basınçlardan bulunan K_0 değeri, havada kurumuş kum için 0.63, havada kurumuş kohezyonlu şişmeyen zemin için 0.48 ve "Hindistan Siyah Pamuk" zemini için 0.26 olarak belirlenir. K_0 değerleri Jakky'nin denklemi ile aynı zeminler için sırasıyla 0.625, 0.48 ve 0.59 olmaktadır.

b) K_0 değeri havada kurutulmuş zemin sıkıştırıldığında herbir zemin için 1.0 dan daha fazla olarak bulunmuştur. Bu değerler kum için 2.33, kohezyonlu şişmeyen zemin için 1.16 ve şisen “Hindistan Siyah Pamuk” zemini için 1.1 olarak belirlenir.

c) Zemin sıkıştırılmış ve doygun halde iken K_0 değeri kum ve kohezyonlu şişmeyen zemin için doygun kumlarda 2.33 den 2.58'e kadar, doygun kohezyonlu şişmeyen zemin için ise 1.16 dan 1.50'ye kadar yavaş bir şekilde artmıştır.

d) Yatay basınç dağılımı dokuz deneyin sekiz tanesinde havada kurutulmuş kum, kohezyonlu şişmeyen zemin, şisen zemin, sıkıştırılmış kum, sıkıştırılmış kohezyonlu şişmeyen zemini ve sıkıştırılmış şisen zemin için derinlik boyunca doğrusal olduğu saptandı. Ölçülen yatay basınç verilerinin hepsi derinliğin bir fonksiyonu olarak Şekil 15., Şekil 16. ve Şekil 17. de gösterilmiştir.

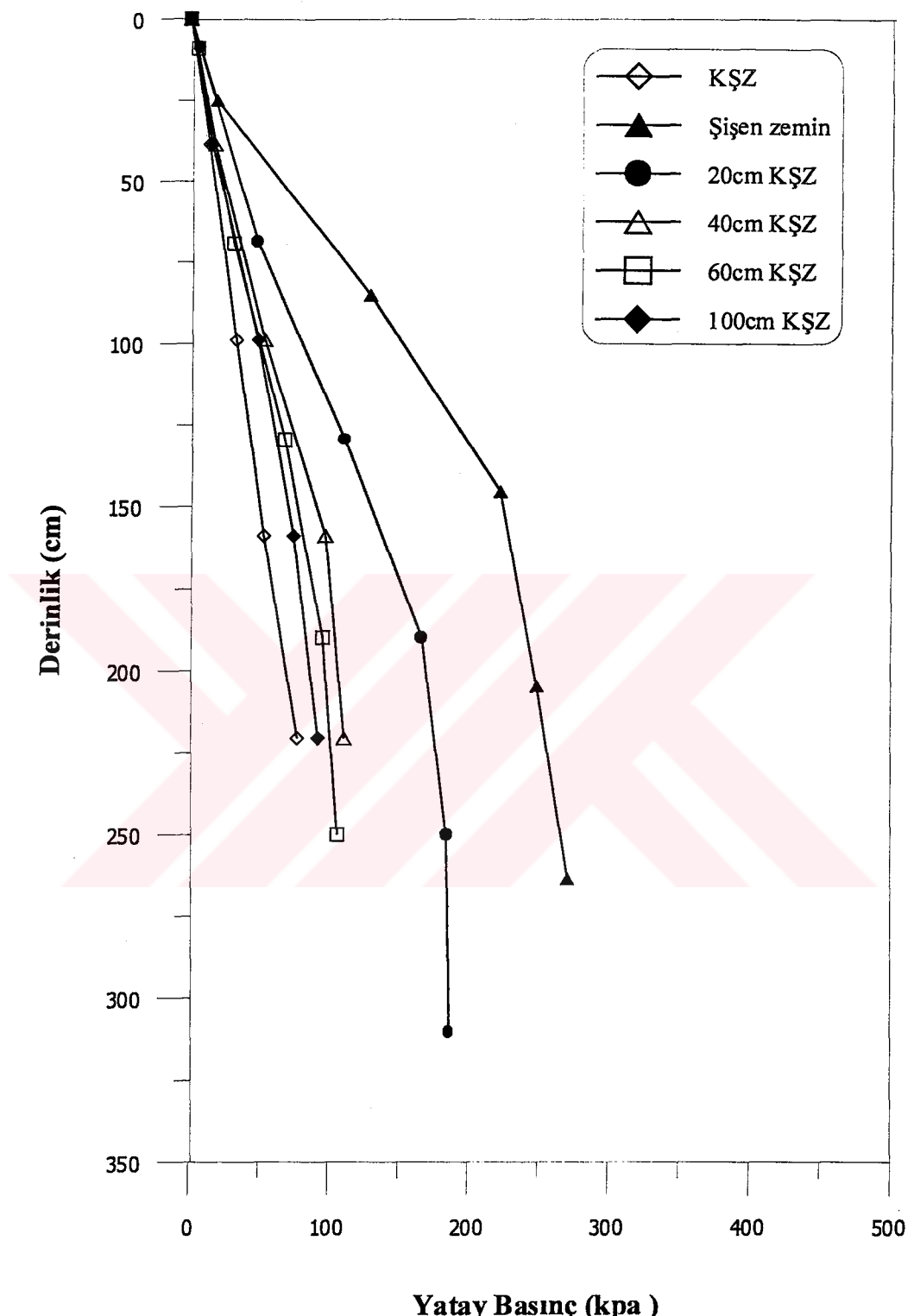
2) Şişmesine izin verilmiş, sıkıştırılmış şisen zemin için, yatay basınç ve derinlik arasında ölçülen ilişkinin doğrusal olmadığı (nonlinear) bulundu ve yüzeyden yaklaşık 145 cm'ye kadar hızlı bir şekilde arttığı belirlendi. Bu derinlikten sonra yatay basınçlar artmaya devam etmiş fakat aynı oranda olmamıştır

3) En büyük yatay şisme basıncının, doygunluk derecesi %100 den az olan bazı durumlarda ortaya çıktığı bulunmuştur.

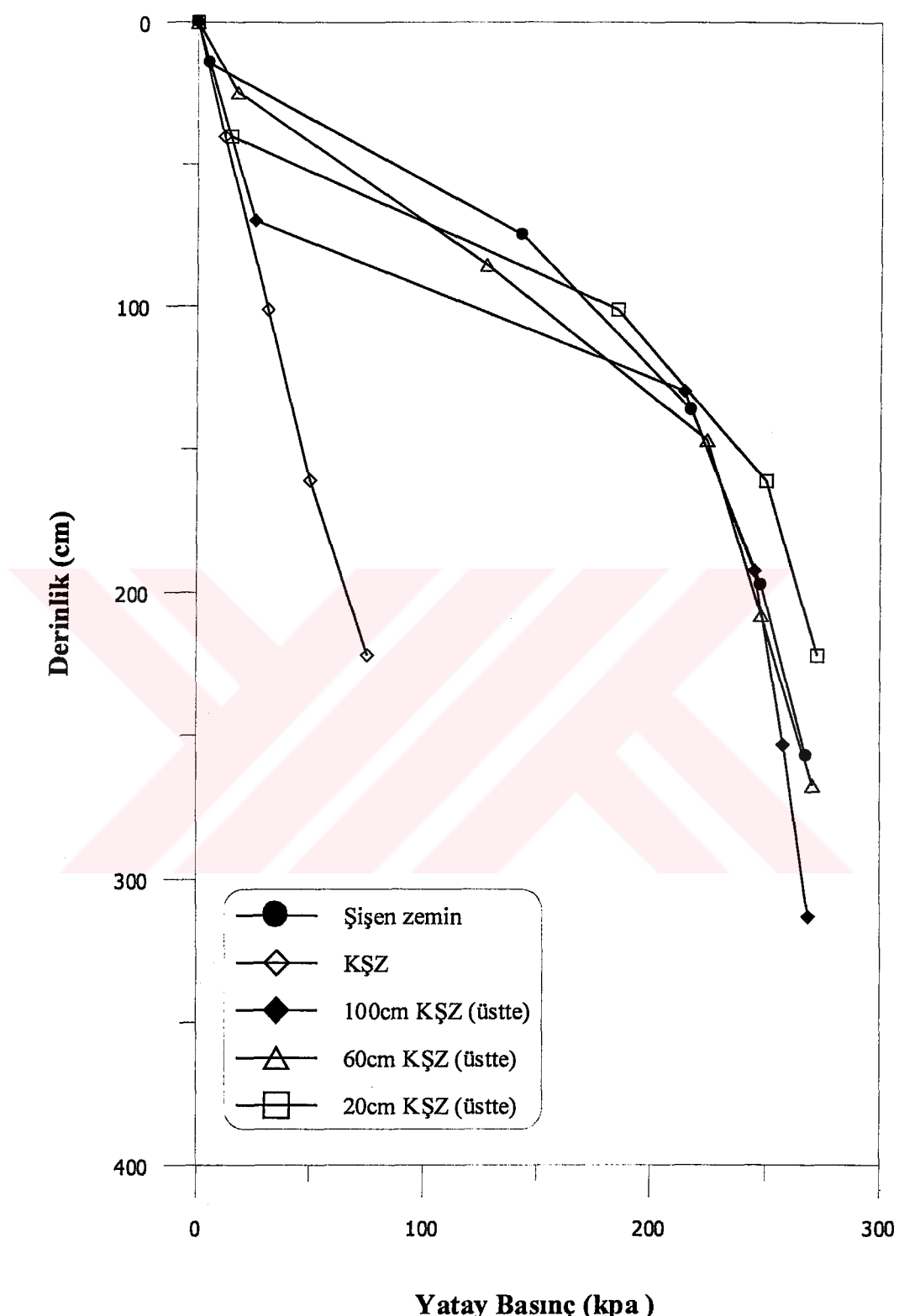
4) Değişik kalınlıklarda kohezyonlu şişmeyen zeminin etkisini belirlemek için 3 farklı deney serisi yapılmıştır. (I) Kohezyonlu şişmeyen zemin şisen zeminin en üstüne yerleştirilmiştir. (II) Kohezyonlu şişmeyen zemin duvar ile şisen zemin arasına yerleştirilmiştir. (III) Kohezyonlu şişmeyen zemin 1. ve 2. durumun bir kombinezonu olarak yerleştirilmiştir. Bulunan sonuçlar aşağıda açıklandığı gibidir.

a) Arkadaki kohezyonlu şişmeyen zemin kalınlığı 0'dan 1metre kalınlığa doğru artarken yatay basıncın ölçülen değeri azalmakta ve doygun sıkışmış zemine yaklaşmaktadır.

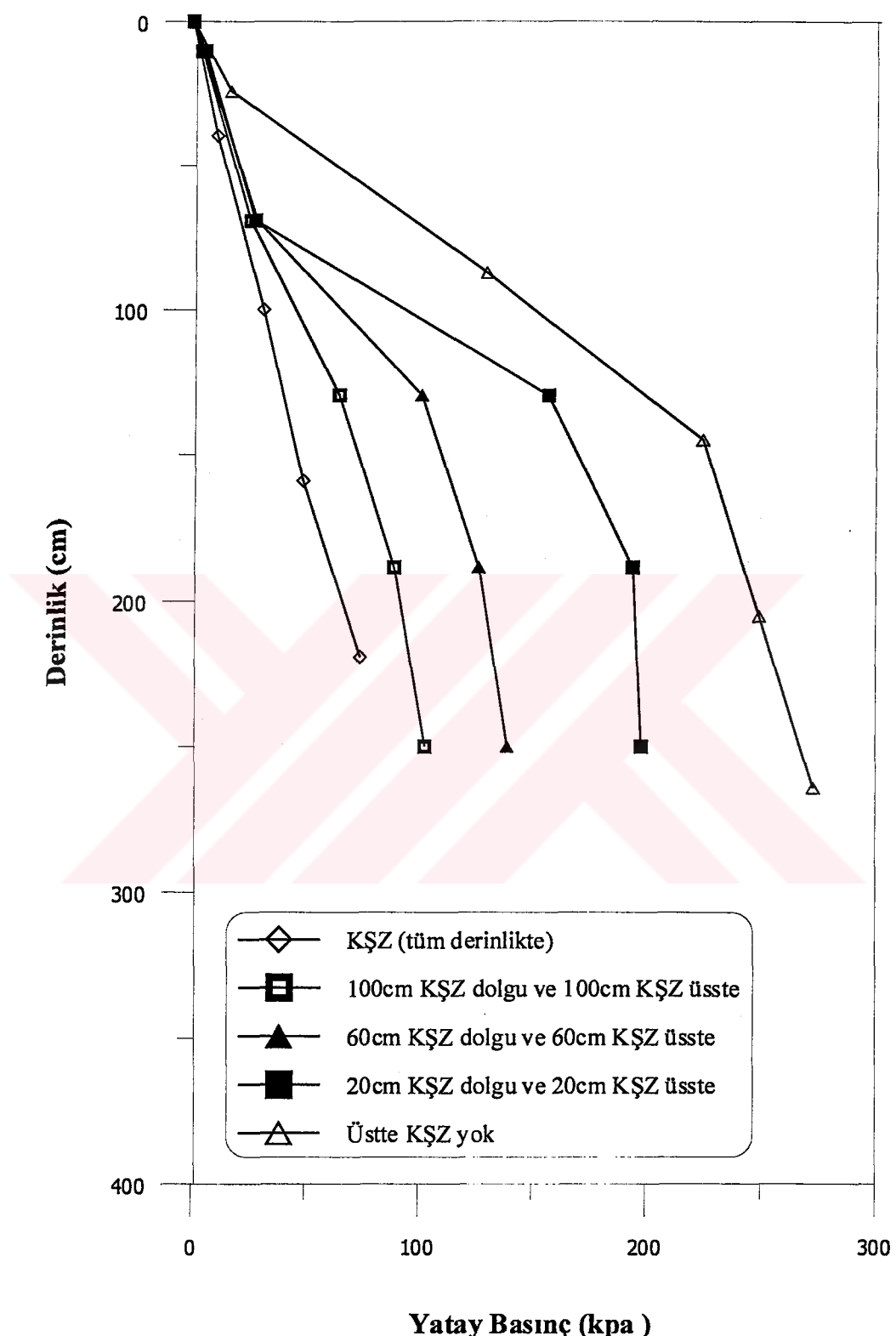
b) Ölçülen yatay basıncın büyülüüğü ölçülebilecek ölçüde azalmamıştır. Yani çok azdır ancak arkaya konan dolgu malzemesinin kalınlığı 0'dan 1m'ye doğru artırılırken düşey kabarmanın büyülüüğü azalmakta ve kabarma olmaması durumuna yaklaşmaktadır.



Şekil 15. Duvar ile şisen zemin arasındaki değişik kalınlıklardaki kohezyonlu şismeyen zemin (K SZ) durumunda, şisen zemin için, sadece şisen zemin için, ayrıca sadece kohezyonlu şismeyen (K SZ) zemin için yatay basınçların derinlikle değişimi. (Katti ve diğerleri, 1983)



Şekil 16. Şişen zemin üzerinde değişik kalınlıklarda kohezyonlu şısmeyen zemin (KSZ) durumunda, şişen zemin için, sadece şişen zemin için, ayrıca sadece kohezyonlu şısmeyen (KSZ) zemin için yatay basınçların derinlikle değişimi. (Katti ve diğerleri, 1983)



Şekil 17. Duvar arkası ve şisen zemin üstünde değişik kalınlıklardaki kohezyonlu şısmeyen zemin (KSZ) durumunda, şisen zemin için, sadece şisen zemin için, ayrıca, sadece kohezyonlu şısmeyen (KSZ) zemin için yatay basınçların derinlikle değişimi. (Katti ve diğerleri, 1983)

c) Arkaya konan dolgu malzemesinin kalınlığı 0'dan 1m'ye kadar artırıldığında, yatay basınç ve düşey kabarma için ölçülen büyülüklükteki azalma, her iki durum için deneyde gözlenen davranışa benzer davranış göstermiştir.

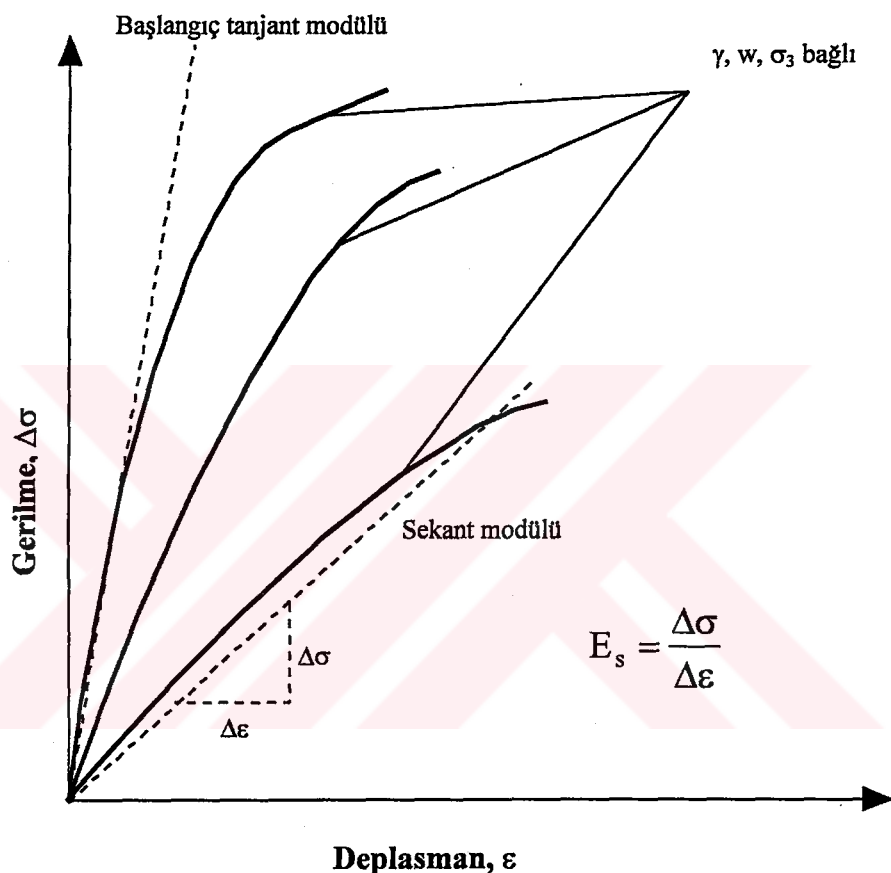
Erol ve Ergun (1994), çalışmalarında yatay ve düşey şişme basınçları ile aralarındaki ilişkileri, sıkıştırılmış şişen zemin örnekleri kullanarak labaratuvara kendi geliştirip imal ettikleri ince cidarlı ödometre deney aletine uygulayarak belirtmişlerdir. Yatay şişme basınçları ve şişme davranışı üzerinde sürüsarj yükü ve başlangıç su muhtevasının etkilerini göstermişler ve sabit normal gerilme altında yatay şişme basınçlarının pik bir değere kadar hızlı bir şekilde arttığını ve nihai hacimden sonra kademeli olarak azaldığını ifade etmişlerdir. Yatay ve düşey şişme basınçları arasında değişim oranını raporlarında göstermişlerdir. Statik olarak sıkıştırılmış numuneler üzerinde, CVS (Constant Volume Swell) ve SO (Swell Overburden) deneyleri yaparak çalışmalarının sonucunda, CVS deneyinde bulunan yatay şişme basınçlarının miktarını düşey şişme basınçlarından büyük veya eşit olarak elde etmişlerdir. Yatay ve düşey şişme basınçlarının, başlangıç su muhtevasının ve yüksek su muhtevalarında açığa çıkan büyük şişme basincı oranlarının artmasıyla azalmakta olduğu sonucunu belirterek, pratik uygulamalarda, yatay şişme basincının pik ve nihai değerlerinin, katman basinci seviyesine bağlı olarak dikkate alınması gereği sonucuna varmışlardır.

1.13. Zemin Elastisite Modülünün Belirlenmesi

Zemin elastisite modülünün belirlenmesinde pek çok deney yöntemi kullanılmaktadır. En yaygın kullanılan yöntemler, üç eksenli basınç deneyi, serbest basınç deneyi, plaka yükleme deneyi, California taşıma gücü deneyi, presiyometre deneyi, statik koni deneyi, standart penetrasyon deneyi ve kesme kutusu deneyidir.

- 1) **Üç eksenli kesme deneyi:** Gerilme – şekil değiştirme eğrisinden E_s belirlenir. Şekil 18. de grafik üzerinde görüldüğü gibi, eğrinin başlangıç noktasından eğriye teğet olarak çizilen doğrunun eğimi başlangıç teğet modülü olarak adlandırılır ve birbirinden ayrı iki noktayı birleştiren doğrunun eğimi ise sekant modülü olarak adlandırılır. Sekant modülü değeri, zeminin tahmin edilen gerilme seviyesine bağlı belirlenen nokta ile

başlangıç noktalarının bir araya toplanmasından elde edilir. Genelde pik deviatör gerilmenin 1/2 veya 1/3 ‘üne karşılık gelen noktanın ikinci nokta olarak kullanılması tavsiye edilir (Gunalan, 1966). Projeci umulan gerilmeyi ve temel oturma seviyesini göz önünde bulundurarak hangi modülün kullanılacağına karar verir.



Şekil 18. Zeminin gerilme – şekil değiştirme eğrisi

- 2) **Plaka yükleme deneyi:** Aynı şekilde fakat farklı boyutlardaki plaka yükleme serisinden çıkarılan oturma ve yük değerleri arasında bir eğri çizilir. Bu eğrinin eğimi E_s ile ilişkilidir (Bowles, 1988). Bu ilişki aşağıdaki şekilde ifade edilmiştir.

$$E_s = \frac{1 - \mu^2}{s} \cdot q B I \quad (35)$$

burada,

s = oturma (in)

q = temel yükü (psi)

B = temel genişliği (in)

E_s = zeminin elastisite modülü (psi)

μ = zeminin Poisson oranı

I = temelin şecline ve rijitliğine bağlı etki faktörü

- 3) **Presiyometre deneyi:** Aşağıdaki denklem kullanılarak elastisite modülü, E_s bulunur (Lukas ve Bussey, 1976).

$$E_s = \alpha E_{sp} \quad (36)$$

burada,

α = yapısal sabit (killer için 2/3, siltler için 1/2)

E_s = zeminin elastisite modülü (tsf)

E_{sp} = küresel elastisite modülü (tsf)

- 4) **Statik koni deneyi:** Statik koni deneyi sonuçları elastisite modülü, E_s ile aşağıdaki şekilde ilişkilidir (Schmertmann, 1970).

$$E_s = 2q_c \quad (37)$$

burada,

E_s = zeminin elastisite modülü (kg/cm^2)

q_c = koni direnç değeri (kg/cm^2)

- 5) **Standart penetrasyon deneyi:** Standart penetrasyon deneyinden elde edilen vuruş sayısından aşağıdaki denklemler, zeminin elastisite modülü, E_s ile ilişkili olarak çıkarılmıştır (Bowles, 1988).

$$E_s = 10 (N + 15) \quad \text{kumlar için} \quad (38)$$

$$E_s = 6 (N + 5) \quad \text{killer için} \quad (39)$$

burada,

$$E_s = \text{zeminin elastisite modülü (ksf)}$$

$$N = \text{vuruş sayısı}$$

- 6) **California taşıma gücü deneyi:** Arazide yapılan California taşıma gücü deneylerinden elastisite modülü, E_s için aşağıdaki denklem bulunmuştur (Crossley ve Beckwith, 1978).

$$E_s = 500 \text{ CBR} \quad (40)$$

burada,

$$E_s = \text{zeminin elastisite modülü (psi)}$$

$$\text{CBR} = \text{Kaliforniya taşıma oranı (boyutsuz)}$$

Elastisite modülünü bulmakta deneysel çalışmaların ardından, Skempton ve Henkel (1957)'de kayma direnci ve plastisite indisi yaklaşık %50 olan Londra kili elastisite modülü arasında bir ilişki verdiler (Cooling ve Skempton, 1942). Bu ilişki aşağıdaki gibidir.

$$E_s = 140 \times c \quad (41)$$

burada,

$$c = \text{zeminin kayma direnci}$$

Bunlardan başka olarak Tablo 8. ve Tablo 9. da pekçok deney yönteminin gerilme şekil değiştirme ilişkisinden elde edilen elastisite modülü denklemleri ve çeşitli zemin türleri için gerilme-şekil değiştirme ortalama elastisite modülü değerleri, Tablo 10. da zemin türüne bağlı Poisson oranları gösterilmektedir (Bowles, 1999).

Bu çalışmada ise, derinliğe bağlı olarak elastisite modülünün değiştiği, homojen, izotropik ve doğrusal elastik malzemenin sonlu matematik modelinin yerine daha karmaşık bir model kullanılabilir. Ancak model basitleştirikçe daha az ve daha basit mekanik özelliklere sahip olur. Bunun karşıtı olarak daha karmaşık bir model de daha fazla mekanik

parametreler gerektirir. Sonuç olarak hesaplamalar ve deney yöntemleri bu parametreleri çok zor ve uygulanması güç bir hale sokar. Bundan başka, bu çalışma, zemine uygulanan dış yüklerden ve emme gerilmelerinin bir bileşkesinden dolayı deformasyon ve gerilmelere göre bir hesap yaptığı için şışme ve termal gerilmeler arasında bir benzeşim kurulabilir.

Şişen killerdeki hacim değişimi doğrusal olarak zemin emme gerilmesine ve buda zeminin termal şışme benzeşimine bağlıdır (Aitchison ve Woodburn, 1969). Bundan dolayı şışmeyi tanımlarken yada zemin kütlesinin şışme davranışını tanımlarken, iki boyutlu termoelastik şışme teorisi kullanılabilir.



Tablo 8. SPT ve CPT deneylerinden elde edilen çeşitli zemin türlerine ait elastisite modülü denklemleri (Bowles, 1997)

Zemin	SPT	CPT
Kum (Normal konsolide)	$E_s = 500 (N + 15)$ $= 7000 \sqrt{N}$ $= 6000 N$ <hr/> # $E_s = (15000 \sim 22000) \times \ln N$	$E_s = (2 \sim 4) q_u$ $= 8000 \sqrt{q_c}$ <hr/> • $E_s = 1.2 (3D_r^2 + 2) q_c$ $E_s = F q_c$ $e = 1.0 \quad F = 3.5$ $e = 0.6 \quad F = 7.0$
Kum (Normal konsolide) Kum (Aşırı konsolide)	♣ $E_s = (2600 \sim 2900) N$ ♦ $E_s = 40000 + 1050 N$ $E_{s(OCR)} \approx E_{s,nc} \sqrt{OCR}$	$E_s = (6 \sim 30) q_c$
Çakılı kum	$E_s = 1200 (N + 6)$ $= 600 (N + 6) \quad N \leq 15$ $= 600 (N + 6) + 2000 \quad N > 15$	
Killi kum Silt, kumlu silt ve killi silt	$E_s = 320 (N + 15)$ $E_s = 300 (N + 6)$ $Q_c < 2500 \times 10^7 \text{ (kg/m}^2\text{)}$ \Rightarrow $2500 < q_c < 5000 \Rightarrow$ $E_s' : \text{sıkıştırılmış modül}$ $E_s' = \frac{E_s(1-\mu)}{(1+\mu)(1-2\mu)} = \frac{1}{m_v}$	$E_s = (3 \sim 6) q_c$ $E_s = (1 \sim 2) q_c$ ♥ $E_s = 2.5 q_c$ $E_s = 4 q_c + 5000$
Yumuşak kil ve killi silt		$E_s = (3 \sim 8) q_c$
<u>Birim s_u için drenajsız kesme gerilmesi s_u' yu kullanın</u>		
Kil ve silt Siltli yada kumlu kil	IP > 30 yada organik IP < 30 yada katı	$E_s = (100 \sim 500) s_u$ $E_s = (500 \sim 1500) s_u$ Tekrar $E_{s,OCR} \approx E_{s,nc} \sqrt{OCR}$ Yüksek plastisiteli killer için küçük s_u sabitini kullanın
Killerin genel uygulamalarında	$E_s = K s_u$ $K = 4200 - 142.54 IP + 1.73 IP^2 - 0.007 IP^3$ IP : Plastisite indeksi (%) $20 (\%) \leq IP \leq 100 (\%)$	

Vesic (1970), ♣ USSR, ♦ Japon standartlarından, ♥ Senneset et al. (1988), # D'

Appolonia et al. (1970)

Tablo 9. Çeşitli zemin türleri için gerilme-şekil değiştirme ilişkisine göre ortalama elastisite modülü değerleri (Bowles, 1997)

Zemin	$E_s , (\text{Kg/m}^2) \times 10^5$
Kil	
Çok yumuşak	2 – 15
Yumuşak	5 – 25
Orta	15 – 50
Sıkı	50 – 100
Kumlu	25 – 250
Buzlanma olması halinde	
Gevşek	10 – 150
Yoğun	150 – 720
Çok yoğun	500 – 1440
Lös	15 – 60
Kum	
Siltli	5 – 20
Gevşek	10 – 25
Yoğun	50 – 81
Kum ve çakıl	
Gevşek	50 – 150
Yoğun	100 – 200
Şeyl	150 – 5000
Silt	2 – 20

Tablo 10. Bazı zemin türleri için ortalama poisson değerleri (Bowles, 1999)

Zemin Türü	Poisson Oranı (μ)
Pek çok kil zeminler	0.4 - 0.5
Doygun haldeki kil zeminler	0.45 – 0.50
Kumlu kil	0.2 – 0.3
Silt	0.3 – 0.35
Kum, çakılı kum	0.1 – 1.0, sık kullanılan 0.3 – 0.4
Kohezyonsuz – orta ve yoğun	0.3 – 0.4
Kohezyonsuz – gevşek, orta	0.2 – 0.35

2. YAPILAN ÇALIŞMALAR

2.1. Şişen Zeminlerde Şekil Değişimleri ve Gerilmeler

Daha önceki bölümlerde tanımlandığı gibi, şişen zeminlerin su muhtevasında değişiklik olduğunda, hacimlerinde büyük miktarlarda değişiklik olur. Zeminin su muhtevası arttığında şişerken, azaldığında büzülür. Şişme deformasyonları, dış yüklerden, bitişik zeminlerden, dayanma yapıları ve temellerden dolayı, engellendiği zaman zemin kütlesinin içinde gerilmelerin doğmasına sebep olur. Pek çok zeminin, temellerdeki düşey basınçlar nedeniyle serbest bir şekilde deform olmasına engel olunur. Bundan dolayı, ortaya çıkan gerilmelerin miktarı ve deformasyonların tahmini şişen zeminlerde önemli bir problemdir. Genelde, gerilme ve deformasyon, sürşarj ve temel yükü gibi dış yüklerle karşı olmuş bir tepkidir. Buna ilave olarak şişen zeminlerde, zemin kütlesindeki emme gerilmesi ve su muhtevasına karşı gerilme ve deformasyon oluşur.

Bunlardan ayrı olarak, toprak basıncı hesabında, duvar sürtünmesinin hesaba alınıp alınmaması, daima tartışma konusu olmuştur. Bununla beraber, herkes tarafından benimsenen toprak basıncı teorilerinde, duvarın az bir miktar hareket ettiği kabulu yapıldığından, duvar ile toprak arasındaki sürtünme direncinin, zeminin kırılma düzlemleri arasındaki sürtünme gibi göz önüne alınması kabul edilmiştir. Her ne kadar bu direncin değerini tam olarak elde etmek zorsa da, genel olarak deneyler bu kabulu desteklemektedir. Packshaw (1946), duvar sürtünme açısı ile, içsel sürtünme açısı arasında direk bir bağıntı olmadığını göstermiş ve kohezyonsuz zeminler için, δ 'nın 17° ile 30° arasında bir değerlere denk geldiğini belirtmiştir. δ için $\frac{1}{2}\phi$ ile $\frac{3}{4}\phi$ arasında bir değer kabulu uygun görülebilir.

Deney neticelerinin bulunmaması halinde, δ , beton veya tuğla duvarlar için 20° , katran veya bitümle örtülü çelik paplanş'lar için 30° , ve örtüsüz paplanş'lar için 15° olarak alınabilir (Kumbasar, Kip, 1984).

Rankine teorisi duvar ile dolgu arasındaki sürtünmeyi gözönüne almamıştır (Kumbasar, Kip, 1984). Yatay yüzlü bir zeminde, düşey bir duvar yüzüne etkiyen basıncın yatay olarak etkidiği kabul edildiğinden sürtünme söz konusu değildir. Bununla beraber,

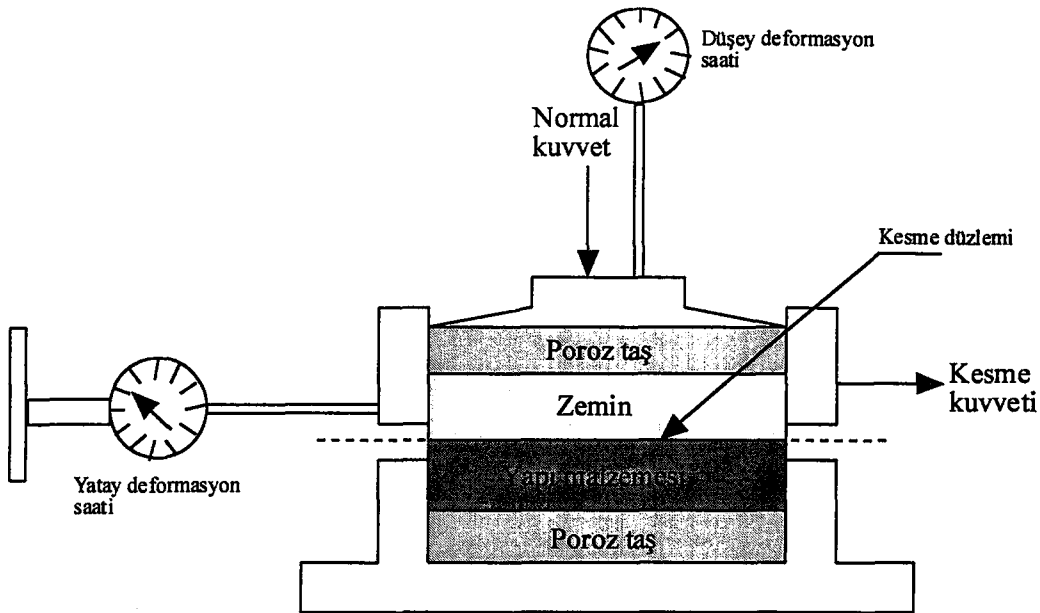
eğik zemin yüzeyleri için düşey bir duvara gelen basıncın, toprak yüzüne paralel olarak etkidiği kabul edildiğinden toprak basıncının hem normal hemde teğetsel bileşeni vardır.

Duvar sürtünmesinin göz önüne alınması halinde, toplam itkinin (aktif toprak basıncının) değeri azalır. Aynı zamanda duvar normali ile yaptığı açı artarak duvarın devrilme momentini azaltır. Duvar ile zemin arasında oluşan boşluk, zemin tabakalarında, daha çok kayalarda rastlanan süreksızlık veya çatlak olan bölgelere benzer. Kaya mekanığında süreksızlığın mekanik davranışları pek çok araştırmacı tarafından tartışılmıştır. Bu tartışmalardan yola çıkarak, şisen zeminlerde oluşan duvar ile zemin arasında veya herhangibir çatlakda, kaya mekanığında oluşan süreksizliklerle bir benzeşim kurulabilir. Dolayısı ile zeminlerde, genellikle zemin-yapı arasında süreksizlik yüzeyleri mevcuttur. Süreksizlik yüzeyleri yapı ile zemin arasında bir sürtünmeye sahiptir. Genellikle sürekli modeller kullanılarak analiz edilmiş olmasına rağmen bu çalışmada zemin-duvar, zemin-zemin arası süreksizlik bölgesi olarak göz önünde bulundurulacaktır. Bu süreksizlik olan kısım da sonlu elemanlar metodunda kullanılan “arakesit eleman” ile modellenecektir. Problemin çözümünde ihtiyaç duyulan parametreler, zemin mekanığında kullanılan deneysel metodlardan alınacaktır.

2.2. Süreksızlığın Mekanik Özellikleri

Süreksizlik yüzeylerini karakterize edebilmek için, zeminin detaylı bir şekilde incelenmesi ve testlere tabi tutulması gerekebilir. Bunun için bazı laboratuvar deneyleri kullanılabilir. Bazen de, arazide yapılan deneyler boşluk özelliklerini karakterize etmede daha uygun olabilir.

Düşük, normal doğrultusundaki basınçlarda direkt kesme deneyi süreksizlik parametrelerinin belirlenmesinde en çok kullanılan yoldur. Şekil 19. da kesme kutusu deney numunesi modeli gösterilmiştir.



Şekil 19. Direkt kesme düzeneği

2.3. Şişen Zemin Modeli ve Arakesit Davranışı

Zeminin içine veya üstüne yapılan yapıların tasarımlında ve hesabında zemin-yapı davranışının özelliklerinin bilinmesine ihtiyaç duyulur. Zemin - yapı etkileşiminden oluşan problemlerde (statik ve dinamik) sonlu elemanlar metodu (SEM) gerçekçi ve uygun çözümler ortaya koymuştur. Sayısal metodlar arasında sonlu elemanlar metodu ile, geniş bir alana yayılan problemlerde belirgin sonuçlar elde edilmiştir. Temeller, kazıklar, dayanma yapıları, zemin altına yapılan yapılar, binalar ve barajlar bu problemlerden bazalarıdır.

2.4. Zemin-Yapı Elemanları

Zemin - yapı elemanlarının rijitliği bünye denklemleri ya da gerilme-şekil değiştirme kanunlarının ortaya koyduğu şekilde tanımlanmıştır. Genellikle, yapı elemanları, zeminlere göre daha yüksek dayanıma sahiptir. Bu nedenle doğrusal-elastik davranışları kabul edilir. Zeminler ise genellikle doğrusal olmayan davranışlar sergilerler. En genel yaklaşım olarak elastik-plastik davranış kabul görür.

2.5. Arakesit Davranışı

Zemin-yapı arasında, yüklemeler ile belirli miktarlarda rölatif bir kayma oluşmuyor ise, ikisinin arasında tam bir uyumluluk var demektir. Ancak, pekçok durumda, arakesitin açılıp kapanması dönüşümünün ve zemin ile yapının veya zemin ile farklı diğer zeminin yapışıp açılması durumlarında rölatif kaymanın belirlenmesi gerekmektedir. Bu davranışın belirlenmesinde özel sonlu eleman modelleri önerilmiştir. Bu elemanlar “arakesit eleman” olarak adlandırılırlar. Arakesit elemanlarının rijitlik özelikleri, direkt kesme deneyinden yararlanarak bulunabilir. Yapı malzemesi ile zemin arasında direkt kesme deneyi bu özelliklerin belirlenmesi için kullanılmaktadır. (Gudehun, 1977)

Arakesit eleman için pekçok yaklaşım kullanılmıştır. En basit yöntemde göre, arakesit elemanın kesme doğrultusunda ve normal doğrultusundaki rijitliği aşağıdaki şekilde formülüze edilebilir. (Goodman, Taylor, 1968)

$$[K] = \begin{bmatrix} k_n & 0 \\ 0 & k_s \end{bmatrix} \quad (42)$$

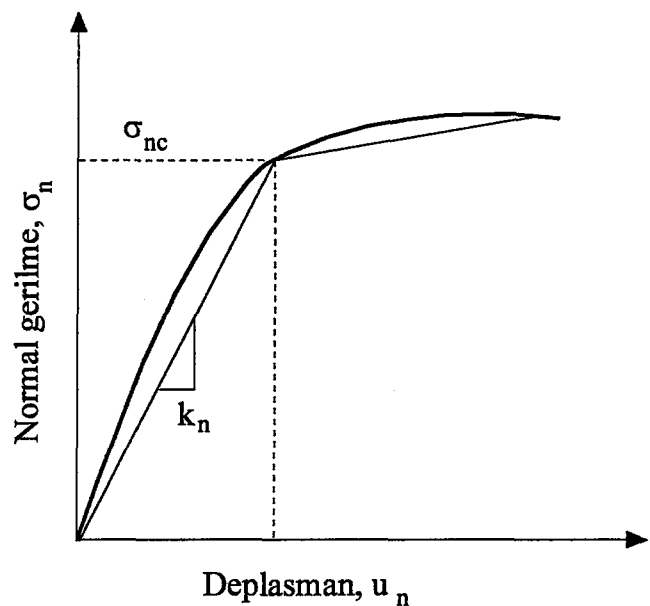
burada,

k_n = normal doğrultusundaki rijitlik

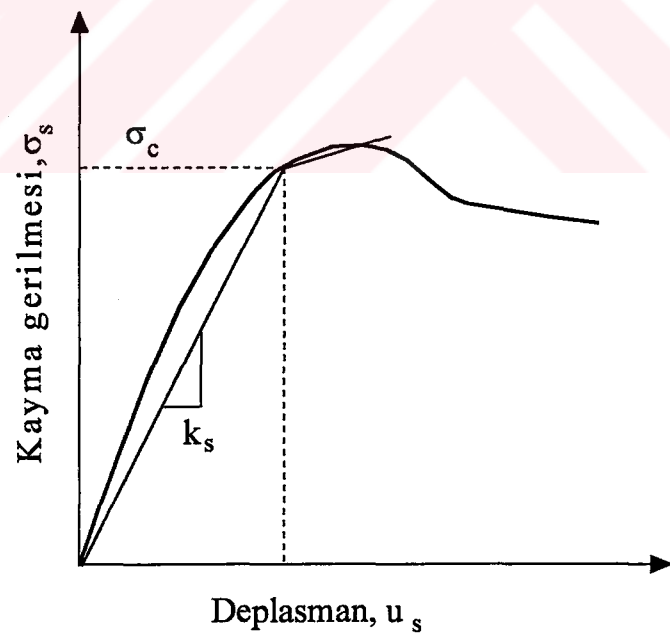
k_s = kesme doğrultusundaki rijitlik

Arakesitin gerilme-şekil değiştirme eğrilerinden Şekil 20.'deki gibi k_n ve k_s belirlenir.

Direkt kesme deneyine tabi tutulan zemin ve malzemenin tipik şekli Şekil 19. da gösterilmiştir. Yapı malzemesini temsil eden malzeme kesme düzlemine kadar bir yükseklikte deney düzeneğinin altına yerleştirilerek, üste şisen zemin veya dolgu zeminini temsil eden malzemeler belli bir sıklıkta yerleştirilerek direkt kesme deneyi yapılır. Normal doğrultuda ve yatay doğrultuda kuvvetler uygulanır. Normal yük altında, σ_n , düşey deformasyon eğrisi Şekil 20 (a).’daki gibi ve kesme doğrultusundaki yüklemeden de Şekil 20 (b).’deki gibi eğriler elde edilir.



(a)



(b)

Şekil 20. Arakesitin gerilme-deplasman eğrileri

2.6. Şişen Zemin Modeli

Sayısal metodlar kullanarak zeminin emme gerilmesini ve şişme büyüklüğünü bulmak amacıyla, emme gerilmesi değişiminden kaynaklanan zemin hacim değişimlerini hesaplamada pekçok faktör gözönünde bulundurulur. Zeminler üç genel bileşenden oluşur. Bunlar, daneler (katı), daneler arası boşluklarda bulunan su (sıvı) ve gaz (hava) dir. Klasik sürekli ortamlar mekanığı yaklaşımı bu bileşenleri ifade etmede uygun değildir. Çünkü bu yaklaşım ortamı sürekli olarak dikkate alır. (Sharabi 1975). Şişme olayı sırasındaki değişim doğrusal değildir. Zeminin şekil değiştirmesi, geçirimliliği ve bazı özelliklerindeki değişimler de doğrusal değildir. Dolayısı ile zemin davranışları ile ilgili bağıntılar elde etmek güçtür. Bunun için bazı basitleştirici kabuller yapılır. Örneğin, zeminin elastisite modülünü hesaplamak çok önemlidir. Elastisite modülünü belirleyen pek çok deney mevcuttur. Elastisite modülü E_s , zeminin gerilme geçmişinden, gerilme miktarından, zemin türünden, yükleme tipinden, zemin dağılımından ve zamandan etkilenir. (Gunalan, 1986). Bu nedenle elastisite modülünün E_s , her duruma göre ayrı ayrı çıkarılması gerekmektedir. E_s , değerinin derinliğe bağlı olarak değiştigini ilk ortaya koyan Gibson'dur (1967). E_s değerinin tahmini için Gibson aşağıdaki bağıntıyı önermiştir. Gibson modeli olarak da adlandırılır.

$$E_s = E_0 + m z \quad (43)$$

Burada,

E_s = zemin elastisite modülü

E_0 = yüzeydeki elastisite modülü

m = eğim

z = derinlik

Bu çalışmada, zemindeki deformasyon ve gerilme durumu, elastisite modülü derinlikle değişen, homojen, izotrop ve doğrusal elastik bir zemin olarak, basitleştirici matematik model ile modellenir. Ayrıca, bu çalışmada, E_s , Çok geniş ölçekli, derinlikle değişen zemin kayma gerilmesinin bir fonksiyonu olarak kabul edilir. (Katti, 1983). Çünkü zeminin kayma gerilmesi dağılımı bilinmemektedir.

2.7. Zemin Elemanın Yük-Rijitlik-Deplasman İlişkisi

Zemin kütlesinin herhangi bir bölgesindeki toplam şekil değiştirmeler iki bileşenden oluşmaktadır. Bunlardan birincisi, zemin emme gerilmesine bağlı olarak tüm doğrultularda oluşan uniform genleşmedir. Zeminin genleşmesi (şişmesi) tüm doğrultularda oluşan uniform genleşmedir. Zeminin genleşmesi (şişmesi) tüm doğrultularda aynı kabul edilebileceğinden, genleşmenin engellenmesi halinde sadece asal şekil değiştirmeler meydana gelecek, kayma şekil değiştirmeleri olmayacağıdır.

Düzlem şekil değiştirme durumu için zeminin şişmesinden dolayı, herhangi bir doğrultuda oluşacak birim boy değişimi aşağıdaki bağıntı ile verilmektedir. (Aytekin, Şenol, 2000)

$$\varepsilon_{\text{şişme}} = \frac{\gamma_h (\Delta p F)}{2} \quad (44)$$

burada,

$\varepsilon_{\text{şişme}}$ = şişme ile oluşan birim boy değişimi

γ_h = zemin emme gerilmesi sıkışma indisi

$\Delta p F$ = zemin emme gerilmesindeki değişim

Bu çalışmada şisen zeminlerde gerilme ve şekil değiştirmelerin tahmininde düzgün bir geometrik şekli olmayan ortamların çözümüne uygun olması nedeniyle sonlu elemanlar yöntemi (SEY) kullanılmıştır. Zemindeki şişmenin yatay ve düşey doğrultularda farklı olabileceği çeşitli çalışmalarla görülmüş ise dahi herhangi bir teoriye dayandırılmamıştır. Bunun için sayısal modelde yatay ve düşey doğrultulardaki şismeler sukunet halindeki zeminler için eşit alınmıştır. Modelde üç düğüm noktalı, orthotropik üçgen eleman kullanılmıştır. Zemin - yapı arasındaki süreksızlığı tanımlamada 4 noktalı, teorik olarak sıfır kalınlaklı kabul edilen doğrusal geçiş elemanı kullanılmıştır.

Sonlu elemanlar yönteminde yük-rijitlik-deplasman ilişkisi aşağıdaki gibidir.

$$\{F\} = [k] \{u\} \quad (45)$$

burada,

$\{F\}$ = düğüm noktaları yük vektörü

$[k]$ = eleman rijitlik matrisi

$\{u\}$ = eleman düğüm noktaları deplasman vektörü

Rijitlik matrisi için genel formül aşağıdaki gibidir (Zienkiewicz,1971)

$$K = \int_{\text{alan}} (L_o)^T (C) (L_o) da \quad (46)$$

burada,

L_o = düğüm noktalarındaki şekil değiştirme matrisi

C = gerilme-şekil değiştirme matrisi

K = rijitlik matrisi

2.8. Zemin Elemanın Birim Boy Kısalması – Deplasman İlişkisi

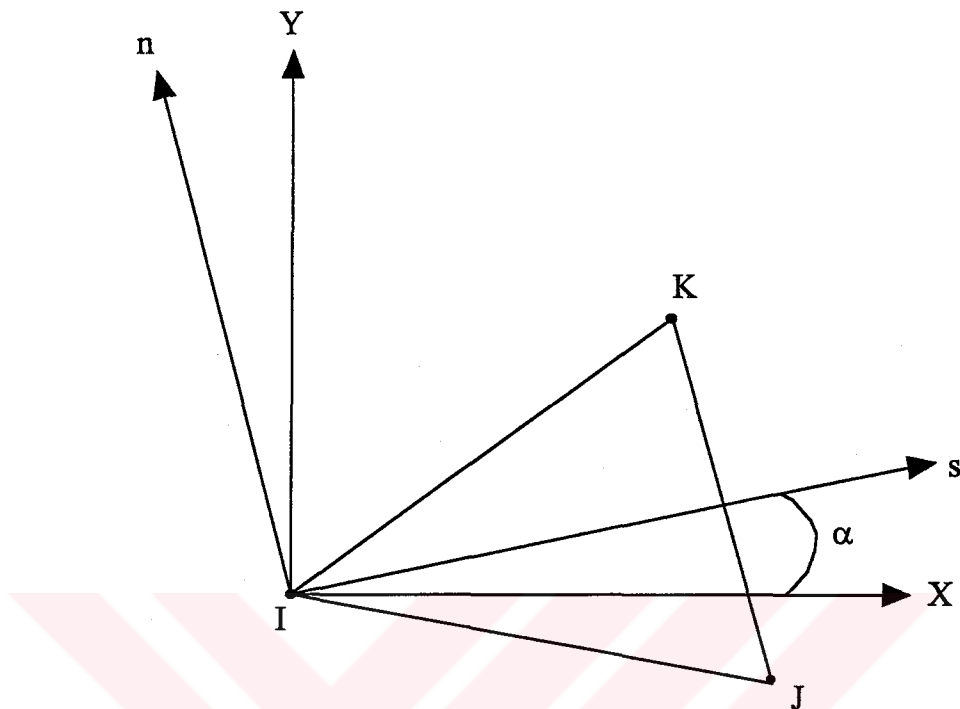
Şekil 21.'deki gibi üç düğüm noktalı bir üçgen elemanı dikkate alalım. Bu eleman için aşağıdaki bağıntılar yazılabilir. Şekil 21.'deki x-y global koordinatları, s-n ise doğal koordinatları göstermektedir. Üçgenin iç noktasında, x-y doğrultularındaki deplasmanlar sırasıyla u_x ve u_y olmak üzere şu biçimde yazılabilir.

$$\begin{aligned} u_x(x, y) &= a + a_1 + a_1x + a_2y \\ u_y(x, y) &= b + b_1 + b_1x + b_2y \end{aligned} \quad (47)$$

Bağıntı 47 aşağıdaki gibi de yazılabilir.

$$\begin{Bmatrix} u_x(x, y) \\ u_y(x, y) \end{Bmatrix} = \begin{pmatrix} 1 & 0 & x & 0 & y & 0 \\ 0 & 1 & 0 & x & 0 & y \end{pmatrix} \begin{Bmatrix} a_0 \\ b_0 \\ a_1 \\ b_1 \\ a_2 \\ b_2 \end{Bmatrix} \quad (48)$$

veya kısaca, $\{u(x, y)\} = \phi \{\alpha\}$ (49)
yazılabilir.



Şekil 21. Üç düğüm noktalı üçgen eleman

Düğüm noktalarındaki deplasmanlar ile ilgili olduğumuza göre, Bağıntı 48 bu noktalara uygulanır. I noktasının doğal başlangıç alınmasıyla sonuçlar basitleştirilir. Bu uygun bir adımdır çünkü, eleman rijitlik matrisi yapıdaki pozisyonundan bağımsız olmalıdır. Bu durumda aşağıdaki biçimde yazılabilir.

$$\begin{Bmatrix} u_{x,I} \\ u_{y,I} \\ u_{x,J} \\ u_{y,J} \\ u_{x,K} \\ u_{y,K} \end{Bmatrix} = \begin{pmatrix} 1 & 0 & 0 & 0 & 0 & 0 \\ 0 & 1 & 0 & 0 & 0 & 0 \\ 1 & 0 & x_J & 0 & y_J & 0 \\ 0 & 1 & 0 & x_J & 0 & y_J \\ 1 & 0 & x_K & 0 & y_K & 0 \\ 0 & 1 & 0 & x_K & 0 & y_K \end{pmatrix} \begin{Bmatrix} a_0 \\ b_0 \\ a_1 \\ b_1 \\ a_2 \\ b_2 \end{Bmatrix} \quad (50)$$

veya kısaca, $\{u\} = (\phi_0) \{\alpha\}$ (51)

yazılabilir.

Bundan sonra, düğüm noktalarındaki deplasmanlardan $\{\alpha\}$ 'yı elde edebiliriz.

$$\{\alpha\} = (\phi_o)^{-1}\{u\} \quad (52)$$

gerekli matrisin tersi,

$$(\phi_o)^{-1} = \frac{2}{x_J y_K - x_K y_J} \begin{pmatrix} x_J y_K - x_K y_J & 0 & 0 & 0 & 0 & 0 \\ 0 & x_J y_K - x_K y_J & 0 & 0 & 0 & 0 \\ y_J - y_K & 0 & y_K & 0 & -y_J & 0 \\ 0 & y_J - y_K & 0 & y_K & 0 & -y_J \\ x_K - x_J & 0 & -x_K & 0 & x_J & 0 \\ 0 & x_K - x_J & 0 & -x_K & 0 & x_J \end{pmatrix} \quad (53)$$

$$x_J - y_K - x_K y_J = 2a \quad (54)$$

burada, a = elemanın alanı.

Üçgen elemanın şekil değiştirme bileşenleri,

$$\begin{aligned} \varepsilon_x &= \frac{\partial u_x}{\partial x} \\ \varepsilon_y &= \frac{\partial u_y}{\partial y} \\ \gamma_{xy} &= \frac{\partial u_x}{\partial y} + \frac{\partial u_y}{\partial x} \end{aligned} \quad (55)$$

Bağıntı 55 aşağıdaki gibide yazılabilir.

$$\begin{pmatrix} \varepsilon_x \\ \varepsilon_y \\ \gamma_{xy} \end{pmatrix} = \begin{pmatrix} \frac{\partial}{\partial x} & 0 \\ 0 & \frac{\partial}{\partial y} \\ \frac{\partial}{\partial y} & \frac{\partial}{\partial x} \end{pmatrix} \begin{pmatrix} u_x(x, y) \\ u_y(x, y) \end{pmatrix} \quad (56)$$

Bağıntı 5'den $\{u(x, y)\}$ yukarıdaki Bağıntı 55'de yerine yazılırsa aşağıdaki hale gelir.

$$\{\varepsilon\} = (\psi) \{\alpha\} \quad (57)$$

burada, $(\psi) = \begin{pmatrix} 0 & 0 & 1 & 0 & 0 & 0 \\ 0 & 0 & 0 & 0 & 0 & 1 \\ 0 & 0 & 0 & 1 & 1 & 0 \end{pmatrix} \quad (58)$

son olarak Bağıntı 52'den $\{\alpha\}$ Bağıntı 57'de yerine konduğunda,

$$\{\varepsilon\} = (\psi) (\phi_o^{-1}) \{u\} = (L_o) \{u\} \quad (59)$$

olur. Şekil değiştirmeye-deplasman matrisi (L_o) aşağıdaki biçimde belirlenir.

$$(L_o) = (\psi) (\phi_o^{-1}) = \frac{1}{x_j y_k - x_k y_j} \begin{pmatrix} y_j - y_k & 0 & y_k & 0 & -y_j & 0 \\ 0 & x_k - x_j & 0 & -x_k & 0 & x_j \\ x_k - x_j & y_j - y_k & -x_k & y_k & x_j & -y_j \end{pmatrix} \quad (60)$$

veya,

$$(L_o) = \frac{1}{2a} (L_1) \quad (61)$$

olarak yazılabilir.

2.9. Zeminin Gerilme-Şekil Değiştirme İlişkisi

Şekil değiştirme ile gerilme arasındaki ilişkinin doğrusal olduğu kabul edilir. Poisson oranı v_{ij} , i doğrultusunda gerilmenden dolayı j yönünde ne kadar şekil değişimi olduğunu işaret eder. Şekil değiştirme-gerilme arasındaki ilişki,

$$\begin{aligned}
 \varepsilon_s &= \frac{1}{E_s} \Delta\sigma_s - \frac{\nu_{ns}}{E_n} \Delta\sigma_n - \frac{\nu_{ts}}{E_t} \Delta\sigma_t \\
 \varepsilon_n &= \frac{-\nu_{sn}}{E_s} \Delta\sigma_s + \frac{1}{E_n} \Delta\sigma_n - \frac{\nu_{tn}}{E_t} \Delta\sigma_t \\
 \varepsilon_t &= \frac{-\nu_{st}}{E_s} \Delta\sigma_s - \frac{\nu_{nt}}{E_n} \Delta\sigma_n + \frac{1}{E_t} \Delta\sigma_t
 \end{aligned} \tag{62}$$

Gerilme-şekil değiştirme ilişkisi simetiktir. Malzemenin düzlemde izotropik olmasından aşağıdaki bağıntı yazıılır.

$$\begin{aligned}
 E_s &= E_t \\
 \nu_{st} &= \nu_{ts} \\
 \nu_{sn} &= \frac{E_s}{E_n} \nu_{ns} \\
 \nu_{nt} &= \frac{E_n}{E_s} \nu_{sn} \\
 G_{st} &= \frac{E_t}{2(1+\nu_{ts})}
 \end{aligned} \tag{63}$$

Düzlem şekil değiştirme için, $\varepsilon_t = 0$, ve Bağıntı 62 ve Bağıntı 63 aşağıdaki gibi olur.

$$\Delta\sigma_t = \nu_{st} \Delta\sigma_s + \nu_{sn} \Delta\sigma_n \tag{64}$$

Şekil değiştirme-gerilme ilişkisi kısaca,

$$\{\varepsilon\} = (D) \{\Delta\sigma\} \tag{65}$$

olur, burada (D) ise,

$$(D) = \begin{pmatrix} \frac{1}{E_s}(1-\nu_{st}^2) & \frac{-\nu_{sn}}{E_s}(1+\nu_{st}) & 0 \\ \frac{-\nu_{sn}}{E_s}(1+\nu_{st}) & \frac{1}{E_n} - \frac{\nu_{sn}^2}{E_s} & 0 \\ 0 & 0 & \frac{1}{G_{sn}} \end{pmatrix} \tag{66}$$

Gerilme-şekil değiştirme ilişkisi,

$$\{\sigma\} = (C)\{\varepsilon\} \quad (67)$$

burada, $(C) = (D)^{-1}$

$$(C) = \frac{1}{m} \begin{pmatrix} E_s - E_n v_{sn}^2 & E_n v_{sn} (1 + v_{st}) & 0 \\ E_n v_{sn} (1 + v_{st}) & E_n (1 - v_{st}^2) & 0 \\ 0 & 0 & G_{sn} m \end{pmatrix} \quad (68)$$

burada,

$$m = (1 + v_{st}) [1 - v_{st} - (2E_n / E_s)v_{sn}^2]$$

burada,

v_{st} , v_{sn} , E_s , E_n ve G_{sn} zeminin deformasyon ve süreksizlik özelliklerinden hesaplanabilir. (Goodman and Duncan, 1971).

Boşuk mesafesi, h , ve izotrop zemin arasında,

$$\begin{aligned} E_n &= \frac{1}{\frac{1}{E} + \frac{1}{k_n h}} \\ E_s &= E \\ G_{sn} &= \frac{1}{\frac{2(1+v)}{E} + \frac{1}{k_s h}} \\ v_{sn} &= \frac{E_n}{E_s} v \\ v_{st} &= v \end{aligned} \quad (69)$$

burada, k_n ve k_s , zemin-yapı-zemin arasında oluşan normal ve kayma rijitliği dir.

E = zeminin elastisite modülü

v = Poisson oranı

Doğal koordinatlarda gerilme şekil değiştirme ilişkisi aşağıdaki gibi yazılabilir.

$$\{\Delta\sigma\}_{s,n} = (C) \{\varepsilon\}_{s,n} \quad (70)$$

Bu ilişki global koordinatlarda genelleştirilirse,

$$\{\varepsilon\}_{s,n} = (T_\varepsilon) \{\varepsilon\}_{x,y} \quad (71)$$

$$\text{ve } \{\Delta\sigma\}_{s,n} = (T_\sigma) \{\Delta\sigma\}_{x,y} \quad (72)$$

olur. Bu bağıntılar, Bağıntı 70'de yerine konduğunda aşağıdaki gibi olur,

$$(T\sigma)^{-1} = (T\varepsilon)^T \quad (73)$$

$$\{\Delta\sigma\}_{x,y} = (T\varepsilon)^T (C) (T\varepsilon) \{\varepsilon\}_{x,y} \quad (74)$$

burada, (T_ε) Jaeger ve Cook, (1969) tarafından tanımlanmıştır.

$$(T_\varepsilon) = \begin{pmatrix} \cos^2 \alpha & \sin^2 \alpha & \frac{1}{2} \sin 2\alpha \\ \sin^2 \alpha & \cos^2 \alpha & \frac{-1}{2} \sin 2\alpha \\ -\sin 2\alpha & \sin 2\alpha & \cos 2\alpha \end{pmatrix} \quad (75)$$

Izotrop zeminde, $E_s = E_n = E_t = E$, ve her yönde poisson oranı, ν , ve $G_{sn} = \frac{E}{2(1+\nu)}$ dir.

Düzlem şekil değiştirme hali için gerilme – şekil değiştirme ilişkisi,

$$(C) = \frac{E(1-\nu)}{(1+\nu)(1-2\nu)} \begin{pmatrix} 1 & \frac{\nu}{1-\nu} & 0 \\ \frac{\nu}{1-\nu} & 1 & 0 \\ 0 & 0 & \frac{1-2\nu}{2(1-\nu)} \end{pmatrix} \quad (76)$$

2.10. Eleman Rijitlik Matrisi

Şekil değiştirme - deplasman ilişkisi (L_o) Bağıntı 61, gerilme - şekil değiştirme ilişkisi Bağıntı 70'de yerine konur ve her iki bağıntı Bağıntı 46'ya göre de yerine yazabiliriz. Bu durumda rijitlik matrisi aşağıdaki şekli alır.

$$a = \frac{1}{2}(x_j y_k - x_k y_j) \text{ üçgen elementin alanı olmak üzere,}$$

$$(K) = \frac{1}{4a} (L_1)^T (T_e)^T (C) (T_e) (L_1) \quad (77)$$

elastik izotrop zeminler için,

$$(K) = \frac{1}{4a} (L_1)^T (C) (L_1) \quad (78)$$

olur.

2.11. Zemin Elemanın Etkiyen Kuvvetler

Bu çalışmada kullanılan üç düğüm noktalı isoparametrik eleman üzerine etkiyen kuvvetler; başlangıç gerilmeleri, öz ağırlıklar, şişme kuvvetleri ve eşdeğer düğüm noktası yükleri olarak adlandırılabilir.

$$(K) \{u\} = \{F_d\} - \{F_o\} + \{F_{ag}\} + \{F_s\} \quad (79)$$

burada,

$\{F_d\}$ = dış yük vektörü

$\{F_o\}$ = başlangıç yük vektörü

$\{F_{ag}\}$ = öz ağırlıklar yük vektörü

$\{F_s\}$ = şişme kuvvetleri vektörü

Başlangıç gerilmeleri yük vektörüne önemli bir katılım yaparlar. Başlangıç gerilmeleri altındaki denge komşu elemanların basıncıyla gerilen her bir elemanın başlangıç iç gerilmesini ifade eder. Toplam gerilme aşağıdaki gibi yazılabilir.

$$\{\sigma\} = \{\sigma_o\} + \{\Delta\sigma\}_{x,y} \quad (80)$$

burada, $\{\sigma_o\}$, başlangıç gerilmesi olup aşağıdaki şekilde ifade edilir.

$$\{\sigma_o\} = \begin{Bmatrix} \sigma_{x,o} \\ \sigma_{y,o} \\ \tau_{x,y} \end{Bmatrix} \quad (81)$$

İç gerilmelerle denge halindeki dış kuvvet vektörü, F_o ise,

$$\{F_o\} = \int_{\text{alan}} (L_o)^T \{\sigma_o\} \quad (82)$$

(L_o) 'ı Bağıntı 61'den alıp Bağıntı 82'de yerine koyduğumuzda,

$$\{F_o\} = \frac{1}{2} (L_1)^T \{\sigma_o\} \quad (83)$$

Elemanın kendi ağırlığından oluşan kuvvetler.

$$\begin{Bmatrix} F_{x,I} \\ F_{y,I} \\ F_{x,J} \\ F_{y,J} \\ F_{x,K} \\ F_{y,K} \end{Bmatrix} = \frac{ay}{3} \begin{Bmatrix} 0 \\ -1 \\ 0 \\ 0 \\ -1 \\ 0 \end{Bmatrix} \quad (84)$$

Zeminin şısmesinden doğan kuvvetlerin hesaplanması ise öncelikle zeminde meydana gelen şıisme sonucu oluşacak birim boy uzamalarının belirlenmesi gerekmektedir. Şıisme sonucu oluşacak birim boy uzamaları çevrede bulunan çeşitli yapılar veya

zeminlerin etkisinden dolayı engelleneneden ilave kuvvetler (şişme kuvvetleri) meydana gelecektir. Şişme sebebiyle meydana gelen birim boy uzamaları zemin emme gerilmesindeki değişimlerin değerine bağlı olarak bulunabilir (Aytekin, 1992). Mevsimlere bağlı olarak zemin elemanlarının su muhtevasında meydana gelen değişimlerden zemin elemanlarındaki emme gerilmesi değişimini veren zemin emme gerilmesi zarfinin elde edilmesi Aytekin(1995) tarafından ayrıntılı olarak açıklanmıştır. Zemin emme gerilmelerindeki değişim en kurak ve en yağışlı durumlarda bir eleman için aşağıdaki gibi hesaplanabilir (Aytekin, Şenol, 2000).

$$\Delta pF = \frac{1}{3} \sum_{k=1}^3 (h_b - h_s)_k \quad (85)$$

burada,

h_b = başlangıçtaki zemin emme gerilmesi

h_s = son (nihai) zemin emme gerilmesi

pF cinsinden ifade edilmektedir. Bağıntı 85'de bulunan ΔpF değeri Bağıntı 44'de yerine konularak $\varepsilon_{\text{şişme}}$ değeri hesaplanabilir. Şişme kuvvetleri vektörü ise,

$$\{F_{\text{şişme}}\} = \int_{\text{alan}} (L_o)^T (C) \{\varepsilon_{\text{şişme}}\} da \quad (86)$$

olarak bulunur.

Toplam yük ise aşağıdaki gibidir.

$$\{F_e\} - \{F_o\} + \{F_{ag}\} + \{F_{\text{şişme}}\} = (K) \{u\} \quad (87)$$

2.12. Arakesit Eleman

Blok yüzleri arasındaki süreksızlık, özel bir geçiş elemanı olarak düşünülebilir. Bloklardan biri, gerilmeye karşı bir tepki, kayma gerilmesine karşı bir kayma tepkisi, sıkıştırmaya karşı herhangi bir güç geçışı olarak ifade edilebilen tepkileri karşılar. Bu deformasyon modellerinden herbiri başlıca elastik olmayan deplasmanlar üzerine yayılır. Bu çalışmada elastik geçiş elamanı geliştirilecek ve iteratif çözüm yöntemi uygulanarak, süreksızlık bölgesi için uygun doğrusal olmayan deformasyon kurallarına ve elastik olmayan davranışa göre çözüm yapılmıştır.

Şekil 22 (b). dört düğüm noktalı arakesit elemanı, doğadaki halinden idealize edilmiş olarak göstermektedir. Blok yüzleri arasındaki mesafe, düzensiz ve değişen süreksızlık yüzeyleri ile benzerlik kurularak, çok az kalınlıkta kabul edilir ($e \approx 0$). Basitleştirici olarak, gerçekte doğrusal özelliklerini dikkate alınacaktır. Doğal koordinatlarda (s,n) arakesit elemanın rijitlik bağıntıları adım adım aşağıda çıkarılmıştır (Goodman, 1976).

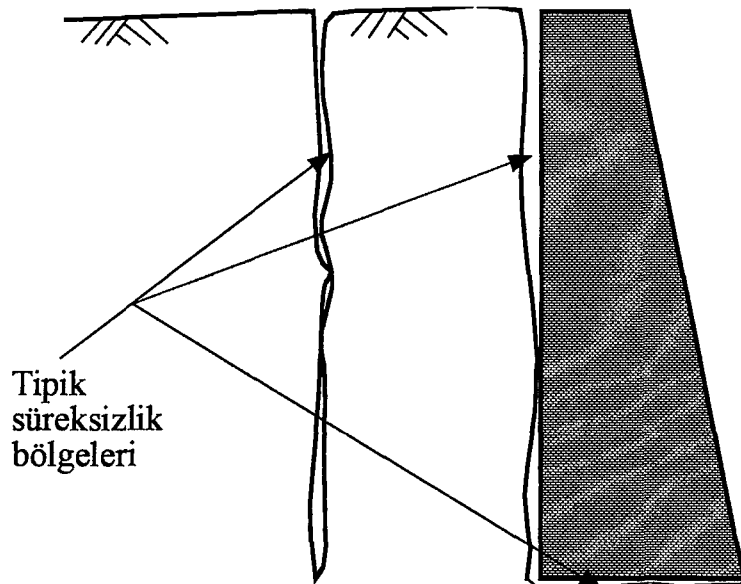
2.13. Arakesit Deformasyon Modeli

Şekil değiştirme-deplasman ilişkisi (L_o), düğüm noktalarının bir fonksiyonu olarak, iki blok yüzeyi arasındaki (K,L ve I,J) rölatif deplasmanı tanımlar.

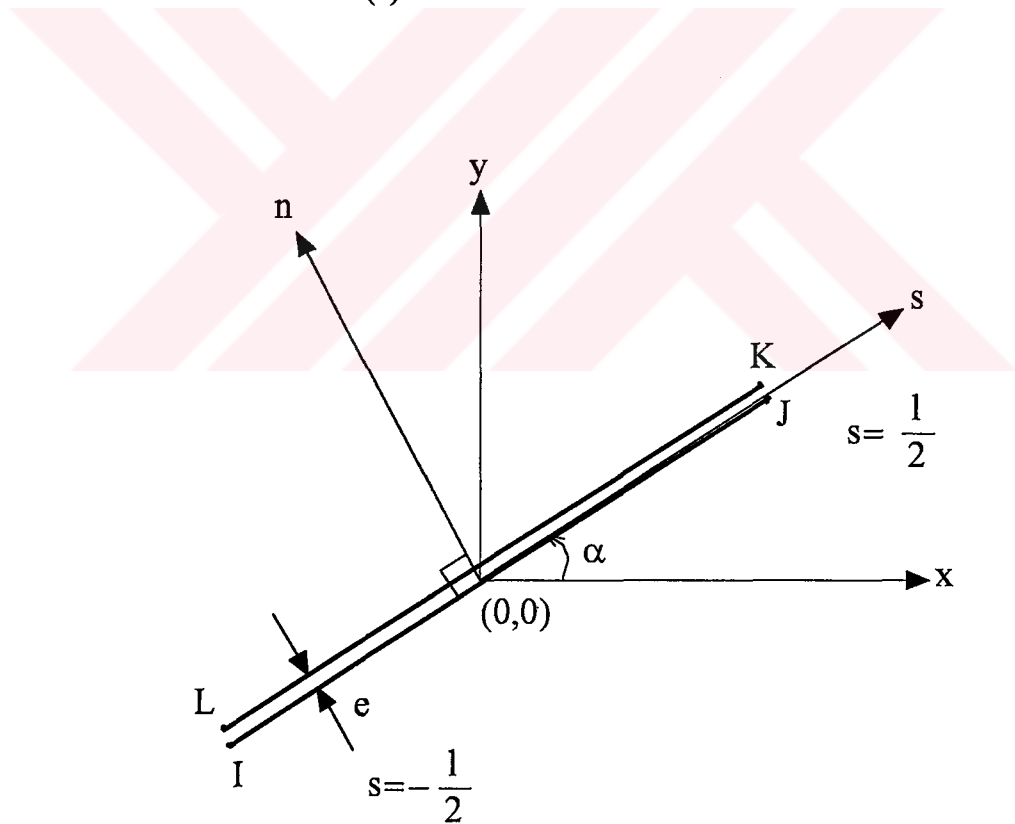
$$\{u\}_{s,n} = \langle u_I, v_I, u_J, v_J, u_K, v_K, u_L, v_L \rangle^T \quad (88)$$

burada, u_I ve v_I , I düğüm noktasının, doğal koordinatlarda (s,n) toplam deplasmanıdır.

$$\{\varepsilon_j\} = \begin{pmatrix} u_o \\ v_o \\ \omega \end{pmatrix} = \begin{pmatrix} \frac{u_K + u_L}{2} - \frac{u_I + u_J}{2} \\ \frac{v_K + v_L}{2} - \frac{v_I + v_J}{2} \\ \frac{v_K - v_L}{\ell} - \frac{v_J - v_I}{\ell} \end{pmatrix} \quad (89)$$



(a)



(b)

Şekil 22. Arakesit eleman

Şekil değiştirme-deplasman matrisi, (L_o)

$$\begin{Bmatrix} u_o \\ v_o \\ \omega \end{Bmatrix} = \begin{pmatrix} -\frac{1}{2} & 0 & -\frac{1}{2} & 0 & \frac{1}{2} & 0 & \frac{1}{2} & 0 \\ 0 & -\frac{1}{2} & 0 & -\frac{1}{2} & 0 & \frac{1}{2} & 0 & \frac{1}{2} \\ 0 & \frac{1}{\ell} & 0 & -\frac{1}{\ell} & 0 & \frac{1}{\ell} & 0 & -\frac{1}{\ell} \end{pmatrix} \begin{Bmatrix} u_I \\ v_I \\ u_J \\ v_J \\ u_K \\ v_K \\ u_L \\ v_L \end{Bmatrix} \quad (90)$$

yada kısaca aşağıdaki gibi olur.

$$\{\varepsilon\}_j = (L_o) \{u\}_{s,n} \quad (91)$$

2.14. Arakesitin Gerilme-Şekil Değiştirme İlişkisi

Temas noktalarında bir yük aktarımı oluyorsa, arakesit elemanın gerilmelerinin belirlenmesi gereklidir. Blok yüzeylerinde normal ve kayma doğrultularında, birim alandaki gerilmelerin toplamı aşağıdaki gibi tanımlanır.

$$\Delta\sigma = \Delta\sigma_n = \frac{1}{\ell}(\Delta F_{n,K} + \Delta F_{n,L}) \quad (92)$$

$$\Delta\tau = \Delta\tau_{n,s} = \frac{1}{\ell}(\Delta F_{s,K} + \Delta F_{s,L}) \quad (93)$$

buradaki delta (Δ) simbolü, deformasyona sebep olan, $\{u\}_{s,n}$, gerilme ve kuvvet artılarını ifade eder. Arakesit elemanın merkezinde, düğüm noktası kuvvetlerinden doğan moment (M_o) aşağıdaki şekilde ifade edilir.

$$M_o = \Delta F_{n,K} \frac{\ell}{2} - \Delta F_{n,L} \frac{\ell}{2} \quad (94)$$

Bağıntı 92 ve Bağıntı 94 arakesit elemanda normal kuvvetlerin belirli bir dağılımına ihtiyaç duyar. Bağıntı 92, Bağıntı 93 ve Bağıntı 94'den, $F_I = -F_L$ ve $F_J = -F_K$ olacak şekilde aşağıdaki bağıntılar türetilir.

$$\begin{Bmatrix} \Delta F_{s,I} \\ \Delta F_{n,I} \\ \Delta F_{s,J} \\ \Delta F_{n,J} \\ \Delta F_{s,K} \\ \Delta F_{n,K} \\ \Delta F_{s,L} \\ \Delta F_{n,L} \end{Bmatrix} = \begin{pmatrix} -\frac{\ell}{2} & 0 & 0 \\ 0 & -\frac{\ell}{2} & \frac{1}{2} \\ -\frac{\ell}{2} & 0 & 0 \\ 0 & -\frac{\ell}{2} & -\frac{1}{2} \\ \frac{\ell}{2} & 0 & 0 \\ 0 & \frac{\ell}{2} & \frac{1}{2} \\ \frac{\ell}{2} & 0 & 0 \\ 0 & \frac{\ell}{2} & -\frac{1}{2} \end{pmatrix} \begin{Bmatrix} \Delta \tau_{ns} \\ \Delta \sigma_n \\ M_o \end{Bmatrix} \quad (95)$$

yada kısaca,

$$\{\Delta F\}_{s,n} = (B) \{\Delta \sigma_J\}_{s,n} \quad (96)$$

Arakesit "gerilme" ve "şekil değiştirme" aşağıdaki şekilde arakesit rijitliği özelliğine dönüştürülür.

$$\begin{Bmatrix} \Delta \tau_{ns} \\ \Delta \sigma_n \\ M_o \end{Bmatrix} = \begin{pmatrix} k_s & 0 & 0 \\ 0 & k_n & 0 \\ 0 & 0 & k_\omega \end{pmatrix} \begin{Bmatrix} u_o \\ v_o \\ \omega \end{Bmatrix} \quad (97)$$

yada kısaca,

$$\{\Delta \sigma_J\} = (C_J) \{\varepsilon_J\} \quad (98)$$

burada,

$$(C_J) = \begin{pmatrix} k_s & 0 & 0 \\ 0 & k_n & 0 \\ 0 & 0 & \frac{1}{4} \ell^3 k_n \end{pmatrix} \quad (99)$$

2.15. Arakesit Elemanın Rijitlik Matrisi

Arakesit elemanın düğüm noktalarında ve dış kuvvet artımları arasındaki ilişki aşağıdaki şekilde ifade edilir.

$$\{\Delta F\}_{s,n} = (B) \{\Delta \sigma_J\} = (B) (C_J) \{\varepsilon_J\} \quad (100)$$

ve,

$$\{\Delta F\}_{s,n} = (B) (C_J) (L_o) \{u\}_{s,n} \quad (101)$$

burada,

(B), Bağıntı 95 ve Bağıntı 96 ile tanımlanmıştır.

(C_J), Bağıntı 99 ile tanımlanmıştır.

(L_o), Bağıntı 90 ve Bağıntı 91 ile tanımlanmıştır.

Bağıntı 101'deki çarpımlardan sonra arakesit eleman rrijitliği aşağıdaki şekilde yazılır

$$(K)_{s,n} = \frac{1}{4} \ell \begin{pmatrix} k_s & 0 & k_s & 0 & -k_s & 0 & -k_s & 0 \\ 0 & 2k_n & 0 & 0 & 0 & 0 & 0 & -2k_n \\ k_s & 0 & k_s & 0 & -k_s & 0 & -k_s & 0 \\ 0 & 0 & 0 & 2k_n & 0 & -2k_n & 0 & 0 \\ -k_s & 0 & -k_s & 0 & k_s & 0 & k_s & 0 \\ 0 & 0 & 0 & -2k_n & 0 & 2k_n & 0 & 0 \\ -k_s & 0 & -k_s & 0 & k_s & 0 & k_s & 0 \\ 0 & -2k_n & 0 & 0 & 0 & 0 & 0 & 2k_n \end{pmatrix} \quad (102)$$

Rijitlik matrisinden global koordinat sistemine geçerken aşağıdaki dönüşümler yapılır.

$$\begin{pmatrix} \Delta F_s \\ \Delta F_n \end{pmatrix} = \begin{pmatrix} \cos \alpha & \sin \alpha \\ -\sin \alpha & \cos \alpha \end{pmatrix} \begin{pmatrix} F_x \\ F_y \end{pmatrix} \quad (103)$$

$$\alpha = \arctan \frac{y_J - y_I}{x_J - x_I} \quad (104)$$

$$\{\Delta F\}_{s,n} = (T) \{\Delta F\}_{x,y} \quad (105)$$

$$\{u\}_{s,n} = (T) \{u\}_{x,y} \quad (106)$$

burada, (T), aşağıdaki şekilde olur.

$$(T) = \begin{pmatrix} \cos \alpha & \sin \alpha & 0 & 0 & 0 & 0 & 0 & 0 \\ -\sin \alpha & \cos \alpha & 0 & 0 & 0 & 0 & 0 & 0 \\ 0 & 0 & \cos \alpha & \sin \alpha & 0 & 0 & 0 & 0 \\ 0 & 0 & -\sin \alpha & \cos \alpha & 0 & 0 & 0 & 0 \\ 0 & 0 & 0 & 0 & \cos \alpha & \sin \alpha & 0 & 0 \\ 0 & 0 & 0 & 0 & -\sin \alpha & \cos \alpha & 0 & 0 \\ 0 & 0 & 0 & 0 & 0 & 0 & \cos \alpha & \sin \alpha \\ 0 & 0 & 0 & 0 & 0 & 0 & -\sin \alpha & \cos \alpha \end{pmatrix} \quad (107)$$

$(T)^{-1} = (T)^T$ olduğundan Bağıntı 101'i tekrar yazarsak,

$$\{\Delta F\}_{x,y} = (T)^T (K_{s,n}) (T) \{u\}_{x,y} \quad (108)$$

yada kısaca,

$$\{\Delta F\}_{x,y} = (K_{s,n}) \{u\}_{x,y} \quad (109)$$

olur.

2.16. Arakesitteki Başlangıç Gerilmeleri

Arakesit eleman kalınlığı çok ince olduğundan, normal ve kayma gerilmeleri komşu elemanlardaki gerilme bileşenleri ile aynıdır. Bu durumda arakesit elemanındaki gerilmeler aşağıdaki şekilde ifade edilir.

$$\{\sigma_{o,J}\}_{s,n} = \begin{pmatrix} \tau_{sn,o} \\ \sigma_{n,o} \\ 0 \end{pmatrix} = \begin{pmatrix} -\frac{1}{2} \sin 2\alpha & \frac{1}{2} \sin 2\alpha & \cos 2\alpha \\ \sin^2 \alpha & \cos^2 \alpha & -\sin 2\alpha \\ 0 & 0 & 0 \end{pmatrix} \begin{pmatrix} \sigma_{x,o} \\ \sigma_{y,o} \\ \tau_{xy,o} \end{pmatrix} \quad (110)$$

yada kısaca,

$$\{\sigma_{o,J}\}_{s,n} = (T_{\sigma,J}) \{\varepsilon_o\}_{x,y} \quad (111)$$

olur.

Arakesit gerilmeleri aşağıdaki gibi verilir,

$$\{\sigma_J\}_{s,n} = \{\sigma_{o,J}\}_{s,n} + \{\Delta\sigma_J\}_{s,n} \quad (112)$$

Başlangıç kuvvetleri, $\{F_{o,J}\}$, yapı dış yük vektörü, $\{F_e\}$ 'den çıkarılır.

$$\{F_{o,J}\} = \{F_{o,J}\}_{x,y} = (T)^T \{F_{o,J}\}_{s,n} = (T)^T (B) (T_{\sigma,J}) \{\sigma_o\}_{x,y} \quad (113)$$

burada,

(T), Bağıntı 107'da tanımlanmıştır.

(B), Bağıntı 95 ve Bağıntı 96 ile tanımlanmıştır

$(T_{\sigma,J})$, Bağıntı 110 ve Bağıntı 111 ile tanımlanmıştır

Sistem denklemlerinin toplamı ise aşağıdaki son hali alır.

$$\{F_e\} - \{F_{o,J}\} - (F_{o,R}) = (K) \{u\} \quad (114)$$

2.17. Bilgisayar Programı “SWELPRES”

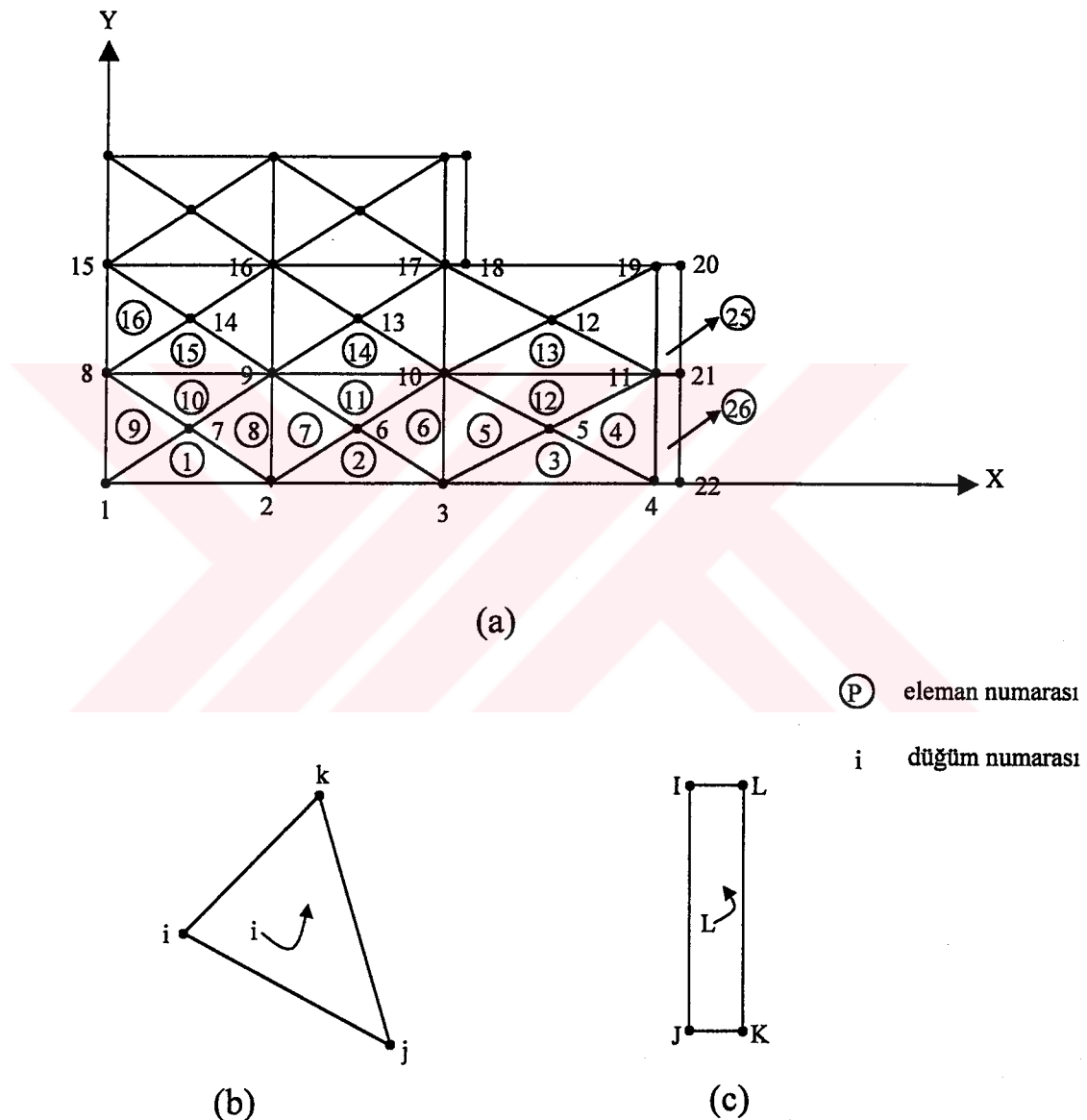
Düzlem şekil değiştirme şartları içinde temel duvarı ve istinat duvarı gibi dayanma yapılarının arkasında, kohezyonlu ve kohezyonsuz dolgulardan oluşan yüzeylerde, dayanma yapılarına yatay şişme gerilmelerinin aktarılması hesaplanırken, doğadaki gerçek durumu süreksizlik yüzeylerinde daha iyi yansıtacağını düşündüğümüz arakesit eleman kullanılarak SWELPRES adında, Fotran-90 diliinde program geliştirildi. Programda sonlu elemanlar modeli üç düğüm noktalı, orthotropik, üçgen elemanlar kullanılarak, zemin yapı arasındaki süreksizliğin 4 düğüm noktalı, teorik olarak kalınlığı sıfır kabul edilen arakesit eleman (doğrusal geçiş elemanı) kullanılarak oluşturuldu.

Programda her bir sonlu elemanın kendi elastisite modülü, Poisson oranı, birim hacim ağırlığı ve derinliğe bağlı olarak zemin emme gerilmesi, zemin sıkışma indisi ve elastisite modülü farklı alınabilmektedir. Program zeminin şişmesinden meydana gelen şekil değiştirmelerinin yanı sıra dış yüklerden gelecek şekil değiştirmeleri de dikkate alır. Kütle kuvvetleri, sürşarj sınır yükleri de ayrıca hesap edilir. Programın kullanımı ile ilgili olarak bir rehber EK- 4 de verilmiştir.

2.18. Programın Yapısı

Program, problemle ilgili olarak girdi dosyasından, geometrik ve malzeme özellikleri, başlangıç gerilmeleri, başlangıç ve son emme gerilmesi değerlerini okuduktan sonra ana program çalışarak alt programlar yardımcı ile çözüme gider. Eleman koordinat seçimi ve düğüm noktaları sırası Şekil 23. de açıklanmıştır. Ana program, girdileri okuduktan sonra yapısal rijitlik (KS) ve yük vektörü $\{R\}$ 'yi toplamak için alt program “*Sistem Katılık Matrisi*”nı çağırır. Burdaki işlemler “*Üçgen Eleman Katılık Matrisi*” ve “*Arakesit Eleman Katılık Matrisi*” alt programlarını çağırarak tamamlanır. Sistem rijitlik matrisinin Gauss Eliminasyon yöntemi kullanılarak tersi alınır. Gauss Eliminasyon yöntemi, kullanılan fortran derleyici programının kütüphanesinden çağırılarak kullanılabilir. Sınır şartlarını da içinde bulunduran rijitlik matrisinin tersi (KS) dizisi içinde depolanır. Programın ana iterasyonu ilk yer değiştirme sonuçları elde edildikten sonra başlar. Bu noktada toplam yer değiştirme $\{U\} = (KS) \times \{R\}$ olur. Bu yer değiştirmelerden sonra gerilmeler alt program “*Gerilmeler*” ile arakesit elemanındaki deformasyonlar alt

program “**Döngü.**” kullanarak hesap edilir. Başlangıç yük artımları yine alt program “**Döngü**” kullanılarak hesap edilir. İterasyon döngüsü başlangıç kuvvet artışlarını ve yer değiştirmeleri tekrar hesap eder. Yani, $\{U\} = (KS) \times \{R\} + \{U\}$ olarak tekrar bulunur.



Şekil 23. Düğüm noktaları ve eleman sayıları. (a) problemin koordinat akşları, (b) üçgen ve (c) arakesit elemanın lokal düğüm noktası sıralaması

2.19. Şişme Kuvvetleri

Önce, şişmeden kaynaklanan şekil değişimleri, herbir elemandaki şişme kuvvetlerinden hesaplanması için, belirlenmelidir. Herbir elemandaki şişme şekil değişimini hesaplamak için sınır (uç) durumda zemin emme gerilmesi değerlerinin bilinmesi gereklidir. Bu durum genelde mevsimin en yağışlı ve en kurak olduğu durumlarda ortaya çıkar. İlk önce başlangıç ve son emme gerilmesi değerleri Şekil 24. de görülen elemanın her bir düğüm noktası için hesaplanmalıdır. Ortalama zemin emme gerilmesi değişimi aşağıdaki gibi hesaplanabilir.

$$\begin{aligned} (\Delta pF) &= \frac{1}{3} [(h_b - h_s)_1 + (h_b - h_s)_2 + (h_b - h_s)_3] \\ (\Delta pF) &= \frac{1}{3} \sum_{k=1}^3 (h_b - h_s)_k \end{aligned} \quad (115)$$

burada,

$(h_b - h_s)$ = başlangıç ve son emme gerilmesi değerleri

Bağıntı 116 kullanılarak elemanın şekil değişimleri hesaplanabilir.

$$\varepsilon_{\text{şişme}} = \frac{\gamma_h (\Delta pF)}{2} \quad (116)$$

burada,

$\varepsilon_{\text{şişme}}$ = şişme ile oluşan birim boy değişimleri

γ_h = zemin emme gerilmesi sıkışma indisi

ΔpF = zemin emme gerilmesindeki değişim

Şişme kuvvetleri vektörü ise aşağıdaki şekilde hesap edilir,

$$\{f\}_{\text{şişme}} = \int_{\text{alan}} (L_0)^T (C) \{e_{\text{şişme}}\} da \quad (117)$$

olarak bulunur.

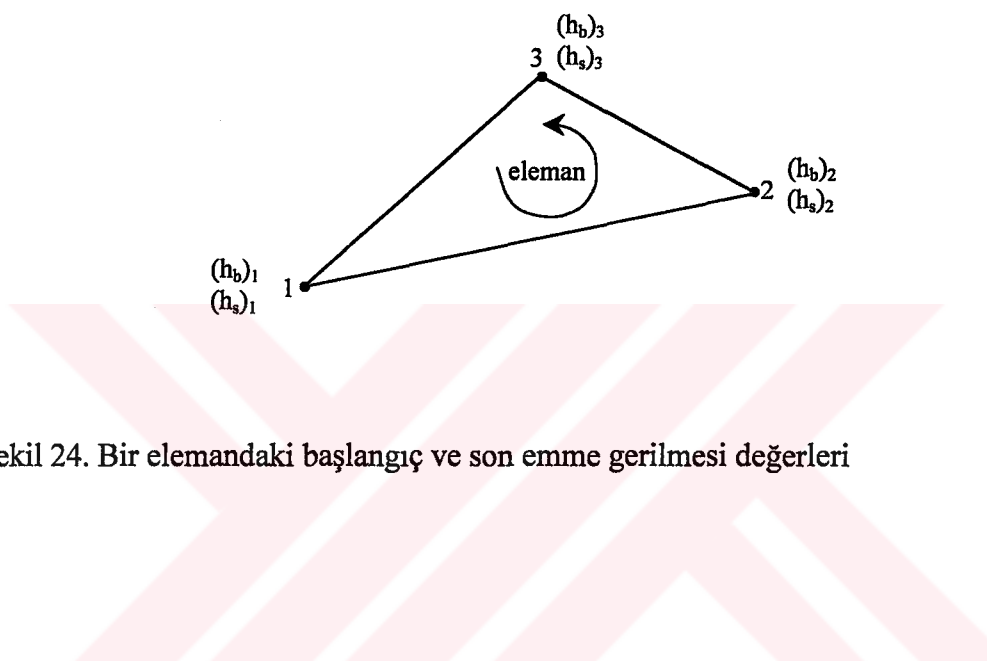
Burada,

$\{f\}_{\text{şişme}}$ = şişme kuvvet vektörü

(L_0) = şekil değiştirme deplasman matrisi

$\{\epsilon_{\text{şişme}}\}$ = şişme ile oluşan birim boy değişimi

(C) = düzlem şekil değiştirme matrisi



Şekil 24. Bir elemandaki başlangıç ve son emme gerilmesi değerleri

3. BULGULAR VE TARTIŞMA

3.1. Deneysel Çalışma İle Karşılaştırma

Bu bölümde, daha önce şisen zeminlerdeki yatay basınçların bulunması ile ilgili Katti (1983) tarafından yapılan deneysel çalışma ve Aytekin (1992) tarafından yapılan sayısal model göz önünde bulundurularak bu çalışmanın uygulaması ve geçerliliği araştırılmıştır. Katti'nin ve Aytekin'in bulduğu sonuçlar arakesit eleman kullanılarak oluşturulan sayısal modelin sonuçları ile karşılaştırılmıştır. Katti'nin deneysel çalışma modelinin bilgisayar programında kullanılmak üzere sayısal modeli çıkarılmıştır. Katti deneysel modelinde, yalnız şisen zemin ve şisen zeminle birlikte duvar arkasında sırasıyla, 20 cm, 40 cm, 60 cm, ve 100 cm kalınlıkta kohezyonlu şismeyen zemini dolgu olarak kullanmış ve bu kalınlıklardaki doğularda duvara gelen, derinlik boyunca değişen şisme basınçlarını ölçmüştür. Deneysel çalışma şartları arakesit elemanlı sayısal modelde oluşturularak bu şisme basınçları bilgisayar programı ile bulunmuştur. Arakesit elemanlı sayısal modelden bulunan sonuçlar, Katti'nin deneysel sonuçları ile Aytekin'in sayısal modelden bulduğu sonuçlarla karşılaştırılmıştır. Şisen zemin ve kohezyonlu şismeyen zemin özellikleri Tablo 11.'de verilmektedir. Katti çalışmalarını, yüksekliği 3m ~ 4m, genişliği 0.9m ~ 1.35m ve derinliği 1.25m ~ 2.45m olan rıjît bir tankta yaptı (Aytekin, 1992). Analizler aynı şartlar altında, yatay duvar hareketinin olmadığı varsayılarak sükunet halindeki zemin basıncı şartlarında kabul edildi.

Buna ilave olarak, dayanma yapısı arkasında dolgu olarak farklı kalınlıklardaki kohezyonlu şismeyen zemin ile gevşek kum kullanılarak, derinlik boyunca değişen emme gerilmesinden kaynaklanan yatay basınçlar dikkate alınan modeller üzerinde analiz edilmiştir.

Bilgisayar modelinde, herbir deneydeki gerçek boyutlar tam olarak bilinmediği için yükseklik 3.05m, genişlik 1.22m ve derinlik 1.22m olarak dikkate alınmıştır.

Tablo 11. Katti'nin deneysel çalışmalarında kullandığı zeminlerin Özellikleri (Wray, 1987a)

Seçilen Zemin Özellikleri	Şişen Zemin	Kohezyonlu şısmeyen zemin	Kum
Fiziksel Özellikler			
Likit Limit, %	71.4	48	-
Plastik Limit, %	42	24	-
Bütünlük Limiti, %	10.4	15	-
Özgül Kütle	2.64	2.74	2.8
Serbest Şişme, %	105	-	-
Serbest Şişme Farkı, %	137	-	-
Zemin Dokusu			
Çakıl, (>2.00 mm), %	4.8	16	18
Kum, (2.00 – 0.06 mm), %	11.2	29	81.5
Silt, (0.06 – 0.002 mm), %	29	20	0.5
Kil, (< 2.0), %	55	35	-
AASHTO Sınıflandırması	A - 7 - 6	A - 2 - 7	A - 1 - 6
Mühendislik Özellikleri			
Standart Prokтор Yoğunluğu, gr/cm ³	1.46	1.88	-
Optimum Su Muhtevası, %	29	15	-
Permeabilite, cm/sn	1 x 10 ⁻⁷	2 x 10 ⁻⁴	3 x 10 ⁻²
Kimyasal Özellikler			
PH	8.1	7	-
Organik madde muhtevası, %	0.63	0.25	-
Değişim Kapasitesi			
5m Kil Fraction, meq/100 mg	97	35	-
2m Kil Fraction, meq/100 mg	124	37	-

3.2. Dolgu Malzemesi : Şişen Zemin

Katti'nin deneylerinde, zeminin sükunet halinde kabul eden, yatay bir hareketin olmadığı durumda, yatay şışme basınçlarını bulurken Hindistan'ın Karnataka eyaletinde "Malaprabha Right Bank Canal KM. No: 76 (MRBC-76)" adında veya "Hindistan Siyah Pamuk Zemini" olarak da bilinen zemini kullanmıştır (Katti ve Katti, 1987). Bu zeminin

TC YÖNETİM KURULU
DOKÜMAN İSTİHRAZ MƏRKƏZİ

suya tam doygun hale gelmesi için belli bir süre suda bekletilmiştir. Bu süre boyunca, 60 cm düşey aralıklarla yükleme ve deformasyon halkaları yerleştirilerek yatay basınçlar ölçülmüştür.

Sayısal modelde, elastisite modülü, E_s ve Poisson oranı, μ her eleman için ayrı ayrı belirtilmiştir. Ancak, MRBC-76'nın bu özellikleri Katti'nin çalışmalarında belirtilmemiştir. Bundan dolayı, E_s ve μ_s , MRBC-76'nın bilinen bazı özelliklerinden tahmin edilmiştir. Örneğin, elastisite değeri, E_s MRBC-76'nın kayma direnci, C'den hesap edilmiştir. Derinliğe bağlı olarak MRBC-76'nın vane kayma direnci (C_v) dağılımı Şekil 25. de görülmektedir. Bağıntı 41 den derinliğe bağlı E_s değerleri hesaplanarak kullanılmıştır. Zeminin Şekil 25. de verilen vane kayma direnci ve plastisite indisinin bir fonksiyonu olan düzeltme faktörü, λ dizayn kayma direncinin hesabında kullanılmak zorundadır (Bowles, 1988). Bu nedenle Bağıntı 118 kayma direncinin hesabında kullanılmaktadır. Derinliğe bağlı elastisite modülü, E_s ise kayma direnci C, değerleri kullanılarak hesap edilmektedir.

$$C = \lambda C_v \quad (118)$$

burada,

C = proje kayma direnci

C_v = Vane kayma direnci

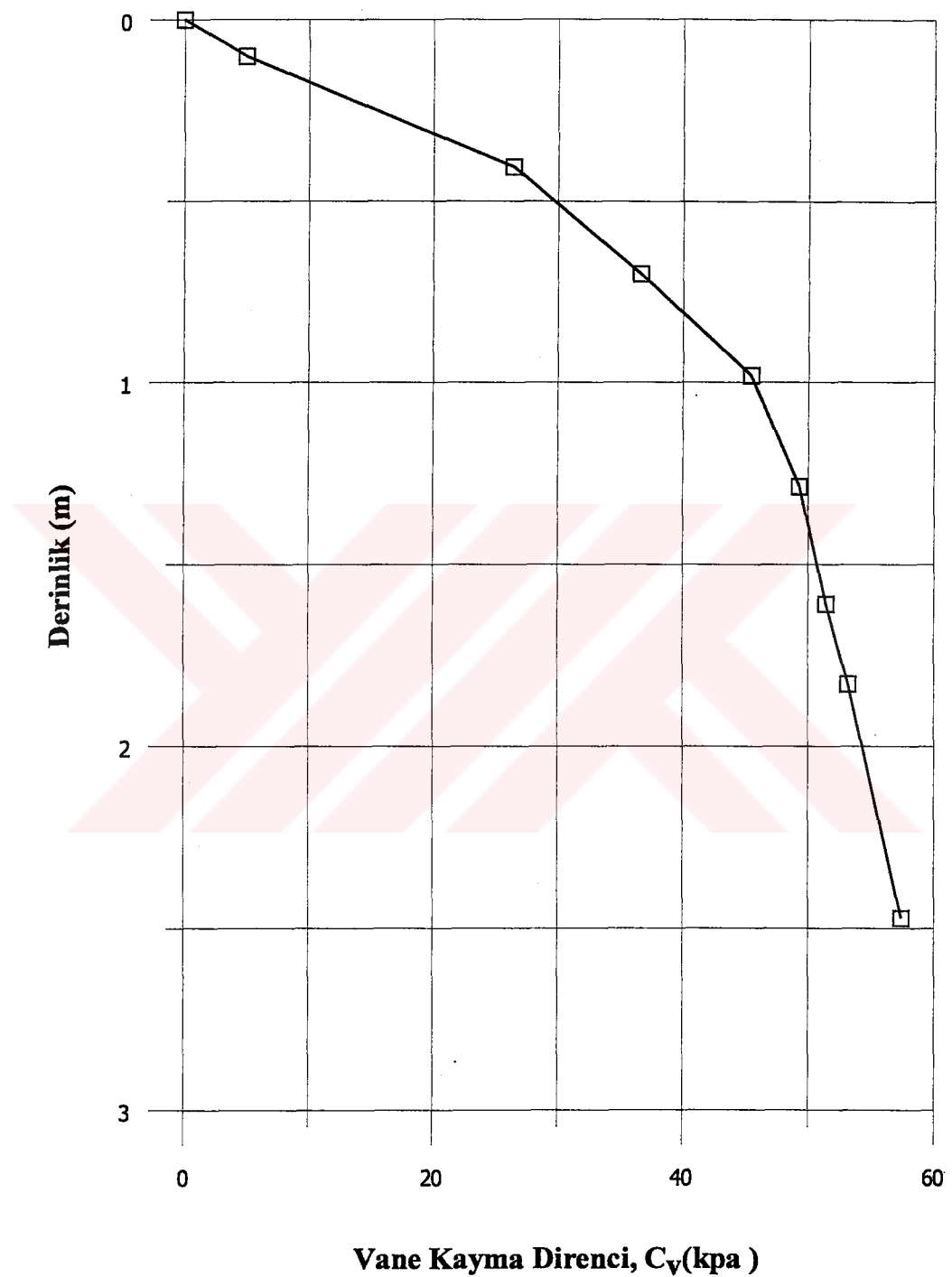
λ = düzeltme faktörü PI'nin bir fonksiyonudur. MRBC-76 için $\lambda = 0.92$ 'dir. Şişen zemin için tipik Poisson oranı, $\mu_s = 0.3$ kullanılmıştır (Amir ve Sokolov, 1980).

Dayanma yapısına aktarılan yatay basınçların hesaplanması için, bilgisayar programı, zemin derinliği boyunca başlangıç ve son emme gerilmesine gerek duymaktadır. Zemin oda sıcaklığında kurutulduğundan ve sonra Katti'nin deneyindeki şartların olması için zemin doygun hale gelinceye kadar su emdirildiğinden zemin derinliği boyunca başlangıç ve son emme gerilmesi değerlerinin sabit olduğu kabul edilir. İki ekstrem (uç) şart olan zemin yüzeyindeki emme gerilmesi değerleri, kuru iken = 6.0 pF (Russam ve Coleman, 1961) ve yaş iken = 2.0 pF (Aitchison ve Richards, 1969) olarak alınır. Bundan dolayı emme gerilmesi değerleri arasındaki en büyük fark 4.0 pF'dır, (6.0pF-2.0pF). Bu deneysel çalışmada derinliğe bağlı emme gerilmesi değişimi, 3.0pF olarak alınmıştır,

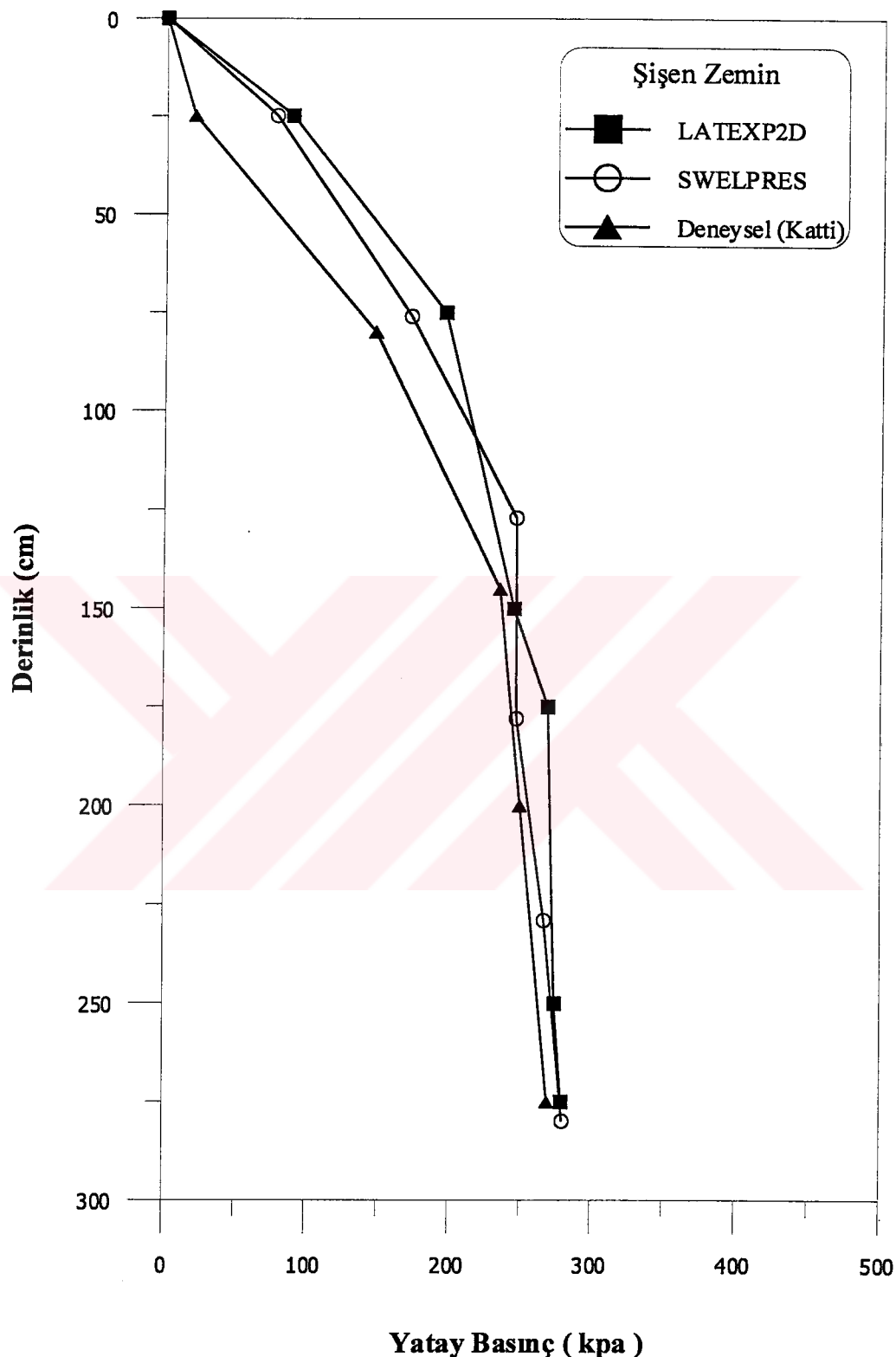
çünkü Katti'nin deneyindeki zemin için deney boyunca ekstrem şartlar kontrol edilememiş olabilir.

Bilgisayar programında kullanılan bir diğer parametre emme gerilmesi sıkışma katsayısıdır. Bu değer, (γ_h) "Genel Bilgiler" bölümünde Bağıntı 16-17-18 kullanılarak, zeminin kil miktarının ve tipinin bir fonksiyonu olarak hesaplanabilir. Bazı araştırmacılar, McKeen ve Hamberg (1981) gibi bu sabiti "suction compression index", (SCI) olarak da tarif eder. Katti'nin deneylerinde MRBC-76 şişen zemini, %55 kil içermektedir. Ayrıntılar Tablo 11. de görülebilir. Bu %55'lik kil miktarındaki bileşkeler, γ_h değeri sırasıyla, 0.0098 kaolinite, 0.022 illit ve 0.026 simektit'den oluşmaktadır. Kil mineralojisinin komposisyonu bilinmediği için, simektit, illit ve kaolinitin bir karışımı olarak kabul edilir. Bu nedenle emme gerilmesi sıkışabilirlik katsayıısı, γ_h veya SCI, ortalama 0.020 olarak alınır.

MRBC-76 şişen zemini için, deneysel (Katti), LATEXP2D (Aytekin) sayısal ve arakesit elemanlı sayısal modelden (SWELPRES) elde edilen sonuçlar arasındaki karşılaştırma Şekil 26. da verilmektedir. Deneysel sonuçlar ile LATEXP2D sonuçları arasında bir miktar fark vardır bulunmaktadır. SWELPRES'den elde edilen sonuçlar ise deneysel ve LATEXP2D'den elde edilen eğriler arasında bulunmaktadır. Deneysel sonuçlara göre ortaya çıkan bu fark, Katti'nin deneylerindeki tank duvarının yatay yönde biraz sehim yapabileceği ihtimalinden kaynaklanmaktadır (Aytekin, 1992). Eğrilerden de anlaşılmacı üzere yüzeye yakın kısımlarda sehimin arttığını derinlik boyunca da azaldığını söyleyebiliriz. Her iki sayısal modelde ise derinlik boyunca sehim sıfır kabul edilmiştir. Sonuçları etkileyebilecek bir diğer fark da Katti'nin deneysel modeli ile sayısal modelin boyutlarında küçük farklılıkların olabileceğiidir. Ayrıca, Katti'nin deneylerinde derinlik boyunca zemin emme gerilmesi değişimi belirtilmemiştir, yani derinlik boyunca sabit olmayabilir olsa zemin emme gerilmesi değişimi sayısal modellerde sabit kabul edilmiştir. Sayısal model ile elde edilen gerilmeler ile deneysel sonuçlar arasında ortaya çıkan bazı farklılıklar yukarıda açıklanan sebeplerden kaynaklanabilir.



Şekil 25. MRBC-76'ya ait derinliğe bağlı kayma direnci dağılımı



Şekil 26. Şişen zemin kullanılması halinde Katti'nin deneysel verileri, Aytekin'in sayısal verileri ve arakesit kullanılmış olarak bulunan sayısal veriler arasındaki yatay şışme basıncı karşılaştırması.

3.3. Dolgu Malzemesi : Kohezyonlu Şişmeyen Zemin

Kattı şişen zeminler için kullandığı deney tankını, kohezyonlu şişmeyen zemin ve duvar arkasında dolgu kalınlıklarını değiştirmekle oluşturduğu deney modellerinin hepsinde kullanmıştır. Bundan dolayı tüm sayısal analizlerde deney tankının boyutları sabittir. Sayısal modelde zeminin elastisite modülü E_s , zemin derinliği boyunca değişmektedir. Kohezyonlu şişmeyen zeminlerde (KSZ) zeminin elastisite modülü derinlik boyunca yüzeyde 0 (sıfır) dan başlayarak 3 metre derinlikte 8.6 Mpa olacak şekilde doğrusal olarak değişmektedir. Kohezyonlu şişmeyen zeminin, şişen zemin aksine elastisite modülünün dağılımı ile ilgili veri olmadığı için E_s derinlik boyunca hesaplanmıştır. Poisson oranı $\mu = 0.3$ olarak şişen zemininkine aynı alındı.

Su muhtevası ile emme gerilmesi arasındaki ilişkiden faydalananarak Şekil 27. SUCENV programı kullanılarak oluşturulmuştur (Aytekin, 1992). Genelde, kuru durumda zemin emme gerilmesi değeri yaklaşık 6.0 pF'dir (Russam ve Coleman, 1961). Ayrıca, zemin emme gerilmesi değeri yaklaşık olarak plastik limite 3.3 pF, likit limite 0.1 pF'dir (Croney ve Coleman, 1954). Bundan dolayı, Tablo 11.'den kohezyonlu şişmeyen zemin ile Kattı'nın kullandığı şişen zemin özellikleri ve yukarıdaki zemin emme gerilmesi değerleri kullanılarak, Şekil 27. oluşturulmuştur (Aytekin, 1992). Bundan dolayı, zeminin 2.0 pF'lik emme gerilmesi Bağıntı 119'dan elde edilebilir.

$$(\Delta pF)_{KSZ} = pF_{w15} - 2.5pF \quad (119)$$

burada,

$(\Delta pF)_{KSZ}$ = kohezyonlu şişmeyen zeminde emme gerilmesi değişimi, pF

pF_{w15} = %15 su içeren kohezyonlu şişmeyen zeminde zemin emme gerilmesi,

SWELPRES, zemin derinliği boyunca değişen başlangıç ve son emme gerilmesi değişimine ($pF_{baş} - pF_{son}$) gerek duymaktadır. Kattı'nın deneyinde dayanma yapısına aktarılan yatay basınçların hesaplanması için başlangıç ve son emme gerilmesinin tahmin edilmesine gerek yoktur. Kattı'nın deneylerinde iki zemin emme gerilmesinin ($pF_{baş}$ ve pF_{son}) tahmininin yerine, bu iki dağılım arasındaki fark Şekil 27. ve Bağıntı 119 kullanılarak bulunur.

Emme gerilmesi indisi (γ_h) parametresinin, kohezyonlu şısmeyen zemin için tahmin edilmesi gerekmektedir. Katti'nin deneylerinde kohezyonlu şısmeyen zeminin %35 kil içerdiği belirtilmektedir. Ancak, kilit mineralojik yapısı belirtilmemiştir. Bu nedenle kohezyonlu şısmeyen zeminin γ_h değeri, bağıntılar (16), (17) ve (18) de verildiği gibi, kaolin için 0.006, illit için 0.013 ve montmorillonit için 0.015 olarak hesaplanır.

Kaolinit:

$$\gamma_h = 0.00018 \times 35 - 0.000098 = 0.0062$$

İllit:

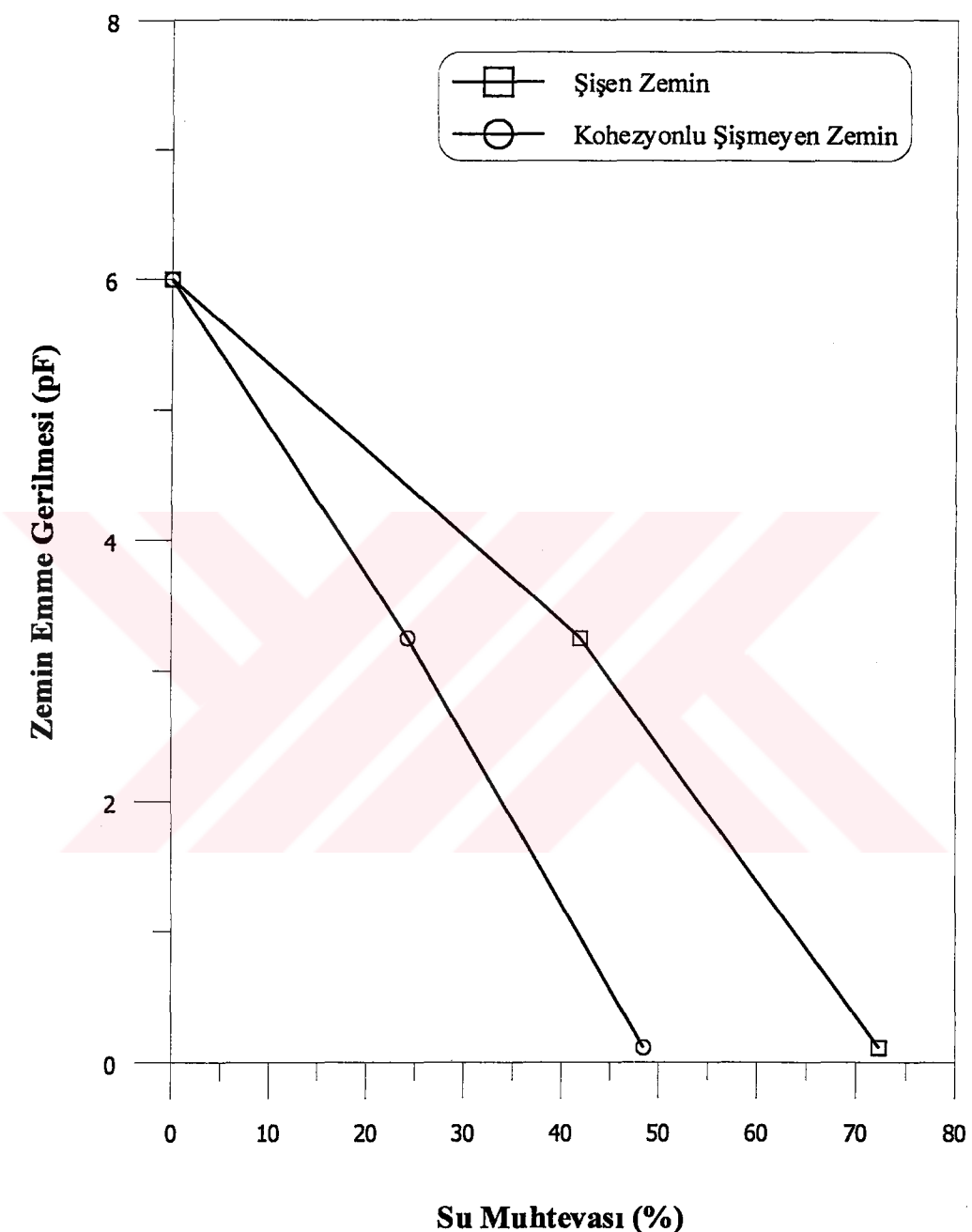
$$\gamma_h = 0.00047 \times 35 - 0.00351 = 0.00129$$

Montmorillonit:

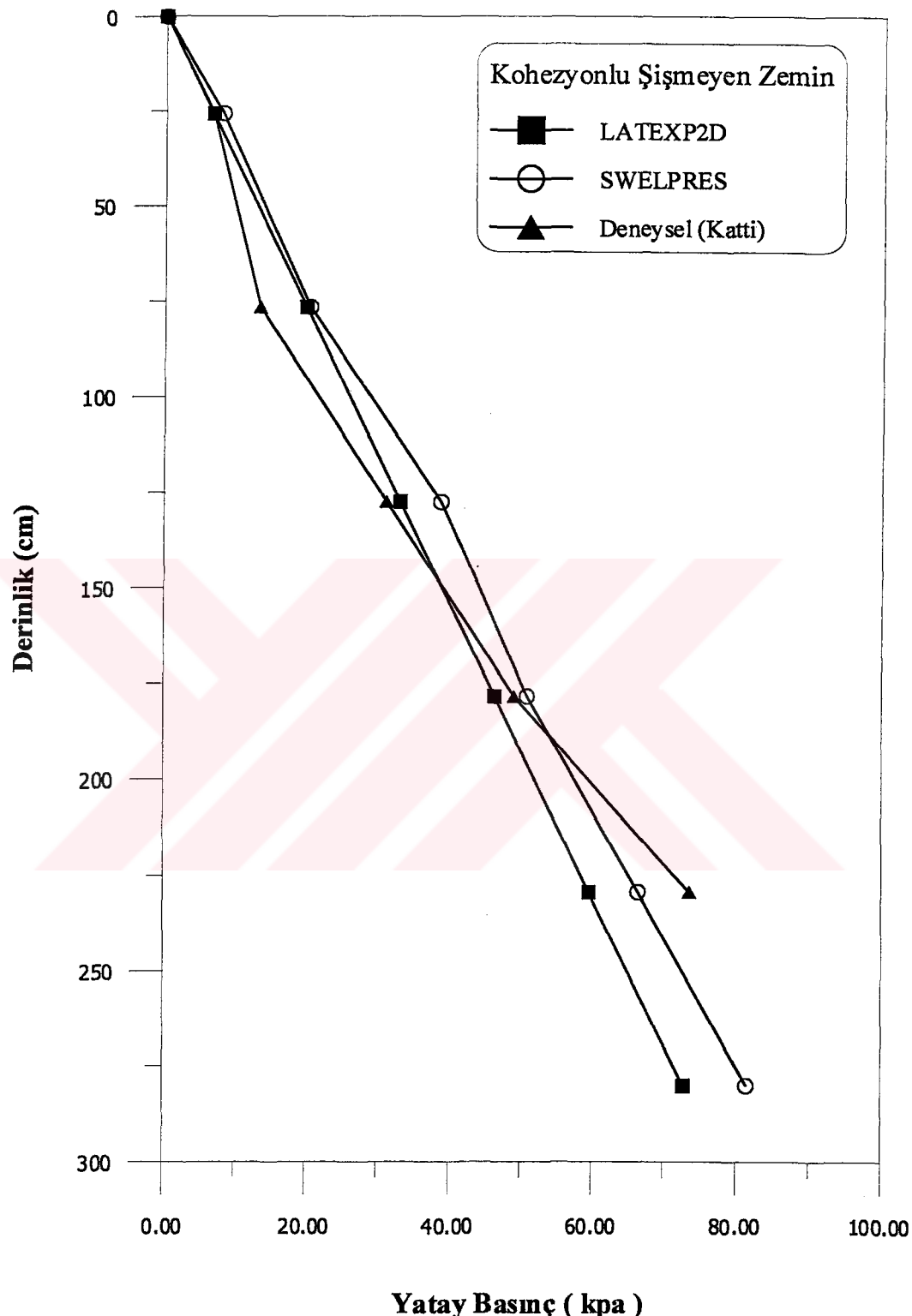
$$\gamma_h = 0.00056 \times 35 - 0.00433 = 0.01527$$

Bundan dolayı, kohezyonlu şısmeyen zemin için, zemin emme katsayısı, $\gamma_h = 0.006$ alınmıştır. Çünkü Katti'nin deneylerinin amacı için seçilen zeminin potansiyel hacim değişimi, su muhtevası değişiminden oluşan hacim değişiminden daha az olması gerektiği tahmin edilmektedir (Aytekin, 1992).

Kohezyonlu şısmeyen zemin için, arakesit elemanlı sayısal modelden bulunan yatay şışme basınçlarının, deneysel ve LATEXP2D modeli sonuçları ile karşılaştırılması Şekil 28.'de verilmiştir. Şekilden görüldüğü gibi deneysel çalışma ile LATEXP2D sonuçları birbirine çok yakındır. Arakesit eleman kullanılarak elde edilen sonuçlar ise deneysel sonuçlara LATEXP2D den elde edilenden daha yakındır.



Şekil 27. Şişen zemin ve kohezyonlu şismeyen zemin için emme gerilmesi – su muhtevası arasındaki ilişki



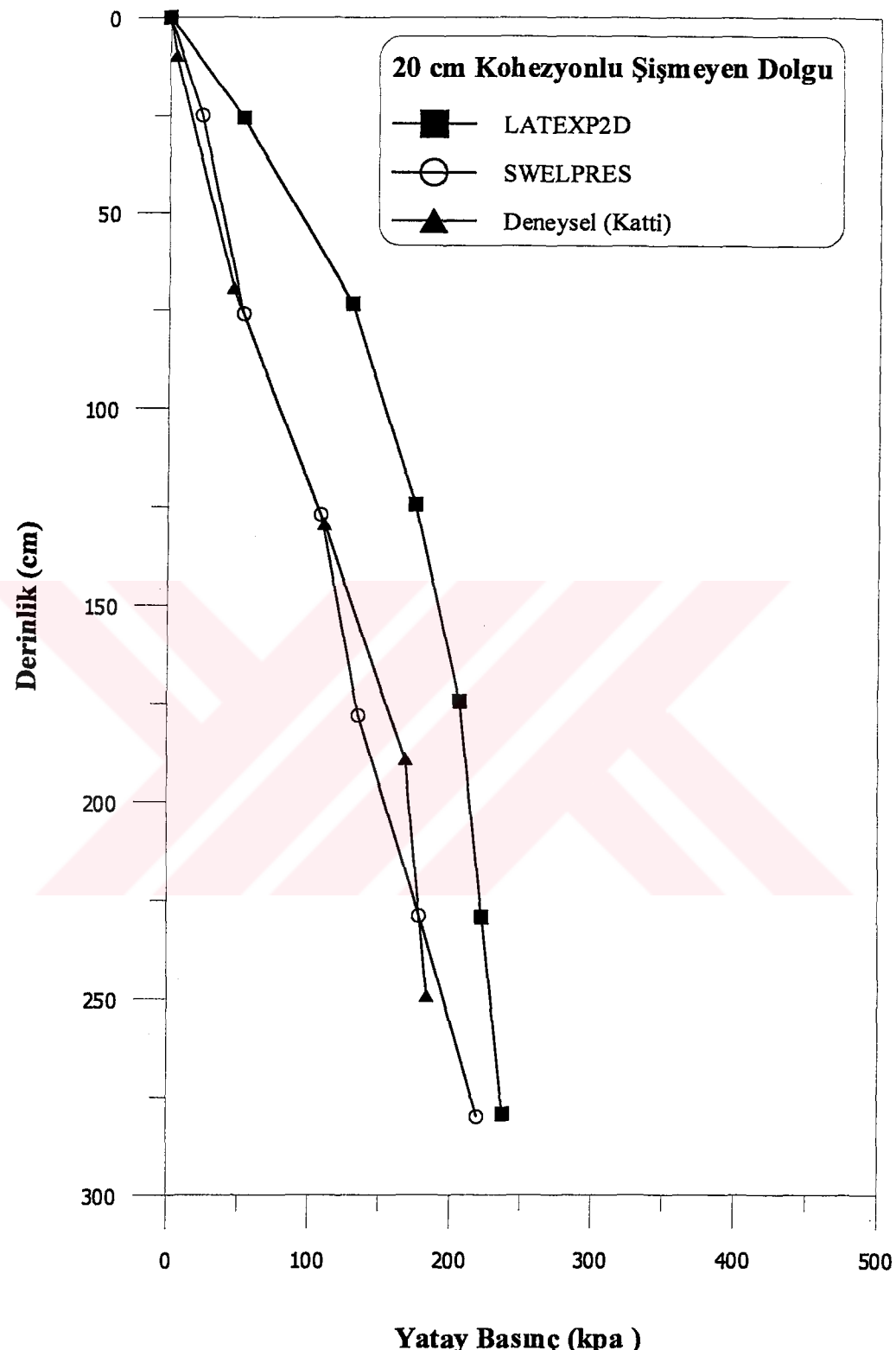
Şekil 28. Kohezyonlu şısmeyen zemin kullanılması halinde Katti'nin deneysel verileri, Aytekin'in sayısal verileri ve arakesit kullanılmış olarak bulunan sayısal veriler arasındaki yatay şışme basıncı karşılaştırması.

3.4. Dolgu Malzemesi: Farklı Kalınlıklarda Kohezyonlu Şişmeyen Dolgu Zemini İle Birlikte Şişen Zemin

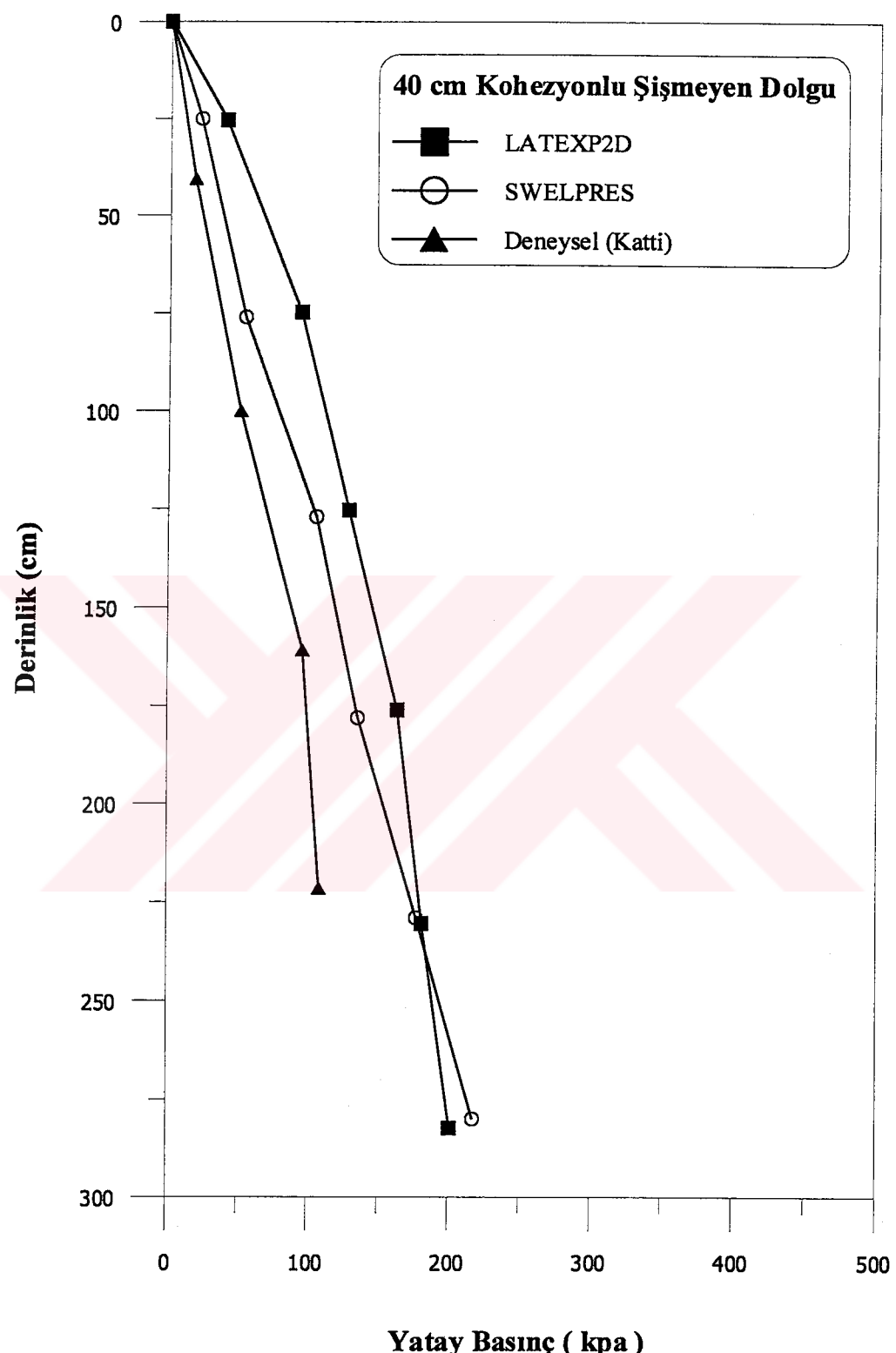
Katti laboratuar çalışmalarında 4 farklı kalınlıkta kohezyonlu şişmeyen zeminin duvar arkasında dolgu malzemesi olarak kullanılmıştır. Şişen zemin ile tank duvarı arasındaki kohezyonlu şişmeyen zemin kalınlıkları sırası ile 100 cm, 60 cm, 40 cm ve 20 cm'dir. Bu çalışmada, aynı kalınlıkta dolgular arakesit elemanlı sayısal modelde incelenmiştir.

LATEXP2D ile Katti'nin 100 cm, 60 cm, 40 cm ve 20 cm kalınlıktaki dolgular kullanarak deneysel olarak ölçüdüğü yatay şışme basıncı sonuçları, arakesit elemanının kullanılması durumundaki sonuçlar ile karşılaştırılarak Şekil 29., Şekil 30., Şekil 31. ve Şekil 32. de verilmektedir.

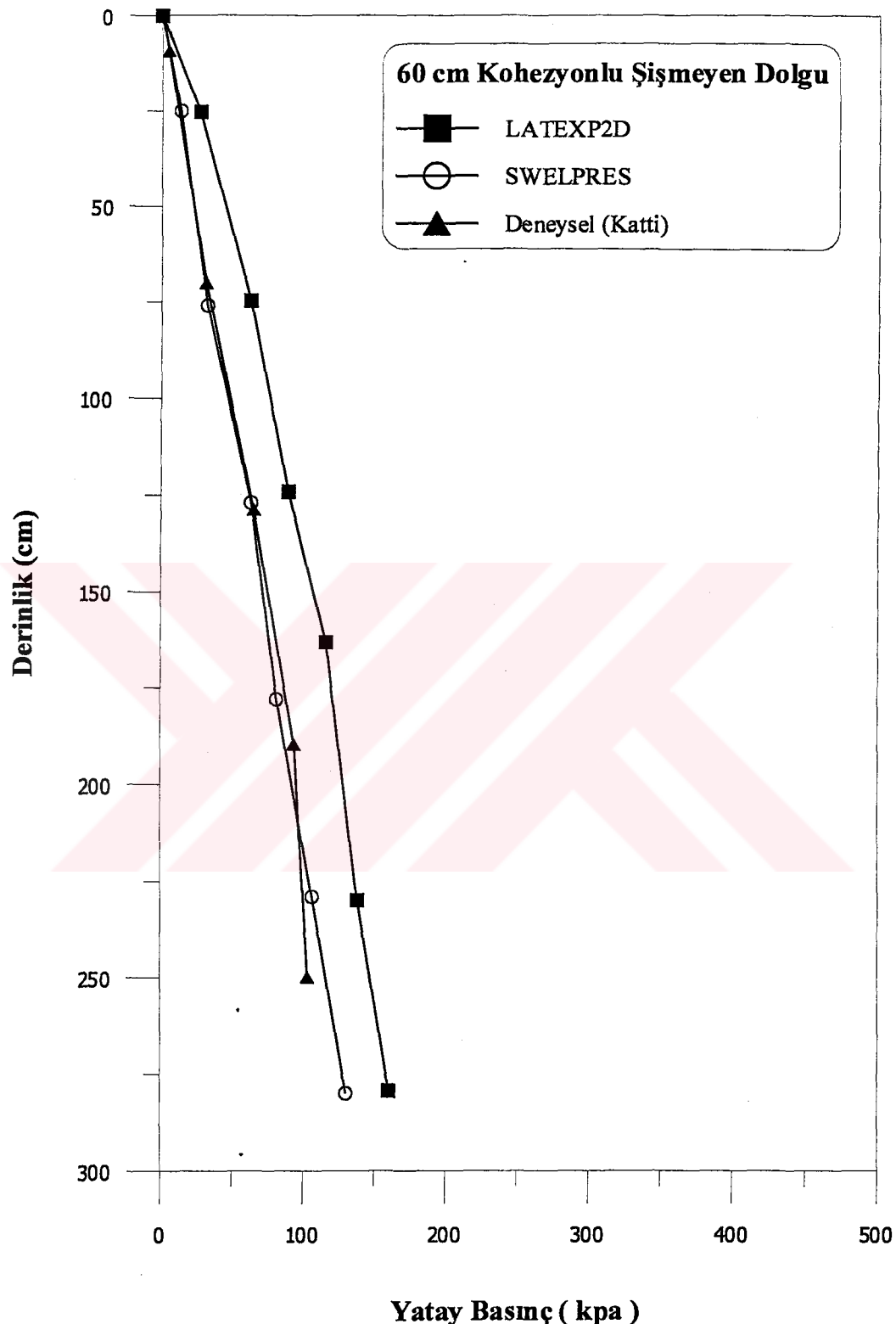
Şekil 32. de görüldüğü gibi, 100 cm kohezyonlu şişmeyen zeminin dolgu malzemesi olarak kullanıldığı durumda LATEXP2D ve SWELPRES'den elde edilen eğriler ile deneysel sonuçlardan elde edilen eğriler birbirine çok yakın değerdedirler. SWELPRES'den elde edilen eğri LATEXP2D'den elde edilen eğriye göre deneysel çalışmadan elde edilen sonuçlara daha yakındır. Ancak, derinlik boyunca 20 cm, 40 cm ve 60 cm kalınlıkta dolgu malzemeli deneysel çalışmaya göre LATEXP2D ve SWELPRES'den elde edilen sonuçlar daha büyük yatay basınçlar vermektedir. Maksimum yatay basınç için sayısal modeller ile deneysel sonuçlar arasındaki en büyük fark 40 cm kalınlıklı arka dolgu malzemesinin olması durumunda olmuştur. Arka dolgu malzemesinin 40 cm kalınlıkta olduğu modelde 220 cm derinlikte aktarılan yatay basınç, deneysel çalışmada $1,14 \text{ kg/cm}^2$, LATEXP2D'de $1,85 \text{ kg/cm}^2$ iken SWELPRES'de $1,71 \text{ kg/cm}^2$ olarak elde edilmiştir. Bu fark diğer deneysel çalışmalarдан bulunanlara göre daha fazladır yani diğer deneylerde fark bu miktara ulaşmamaktadır. Buna sebep olan parametrelere bakacak olursak, sayısal modelde zemin emme gerilmesinin deneydekinden farklı olabileceği ihtimalidir. Öte yandan deneyde kullanılan tankın yatay basınç doğrultusunda sehim yapmış olabileceğidir. Ayrıca, duvarın yapabileceğini düşündüğümüz bu sehim her deneyde farklı olabilir. Ek olarak Şekil 28., Şekil 29., Şekil 30., Şekil 31., Şekil 32.'den de anlaşılacağı gibi arakesit elemanı kullanılan durumlarda bulunan sonuçlar deneysel sonuçlara daha fazla yaklaşmıştır.



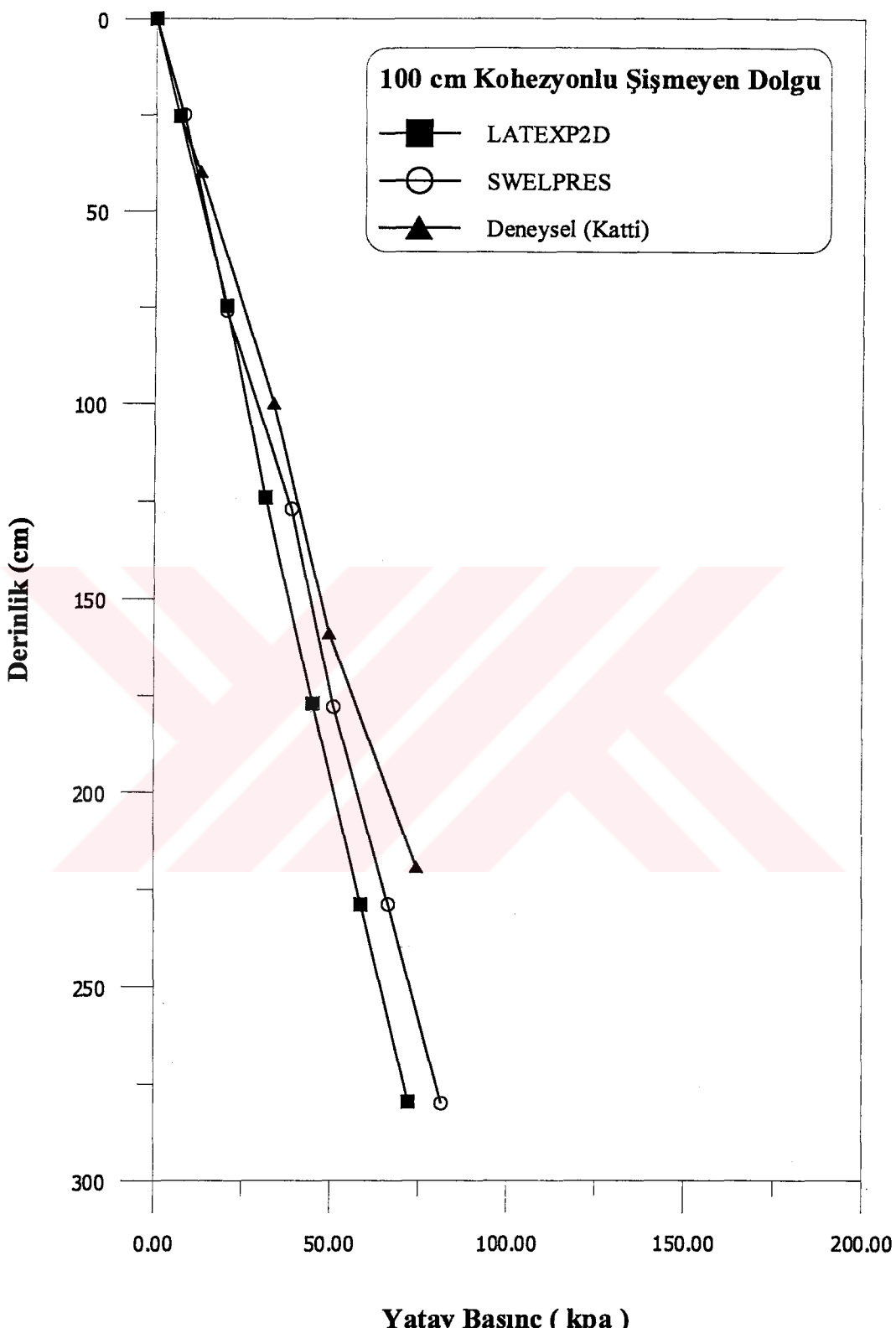
Şekil 29. Arka dolgu olarak 20 cm kohezyonlu şişmeyen zemin kullanılması halinde Kattı'nın deneysel verileri, Aytekin'in sayısal verileri ve arakesit kullanılmış olarak bulunan sayısal veriler arasındaki yatay şışme basıncı karşılaştırması.



Şekil 30. Arka dolgu olarak 40 cm kohezyonlu şişmeyen zemin kullanılması halinde Katti'nin deneysel verileri, Aytekin'in sayısal verileri ve arakesit kullanılmış olarak bulunan sayısal veriler arasındaki yatay şişme basıncı karşılaştırması.



Şekil 31. Arka dolgu olarak 60 cm kohezyonlu şişmeyen zemin kullanılması halinde Kattı'nın deneysel verileri, Aytekin'in sayısal verileri ve arakesit kullanılmış olarak bulunan sayısal veriler arasındaki yatay şişme basıncı karşılaştırması.



Şekil 32. Arka dolgu olarak 100 cm kohezyonlu şişmeyen zemin kullanılması halinde Katti'nin deneysel verileri, Aytekin'in sayısal verileri ve arakesit kullanılmış olarak bulunan sayısal veriler arasındaki yatay şışme basıncı karşılaştırması

3.5. İncelenen Durumlar

Bu kısımda varsayımlarla üretilen pekçok problem tipi dikkate alınabilir. Üretilen problemin amacı, dayanma yapılarına gelen yatay basıncın değişimini, istinat duvarı arkasında, doğal zemin üzerinde serilmiş veya her iki durumun bir kombinezonu olarak kullanılan dolguların, su muhtevasının, malzeme tipinin ve boyutlarının değişimine bağlı olarak elde etmektir. Bu amaçla üç model dikkate alınmıştır. Dolgu şekli olarak daha önce Aytekin'in (1992) de belirlemiş olduğu dikdörtgen dolgu tipinin en uygun olduğu bulgusunu dikkate alarak, birinci model olarak istinat duvarı arkasında 0.5 m, 1 m, 2 m ve 3 m, ikinci model olarak doğal zemin üzerine 0.5 m, 1 m, 2 m ve 3 m kohezyonlu şısmeyen zemin dolgular serilerek ve üçüncü model olarak istinat duvarı arkasında gevşek sıkılıkta kum dolgu malzemesi kullanılarak, değişen yatay şışme basınç dağılımları incelenmiştir.

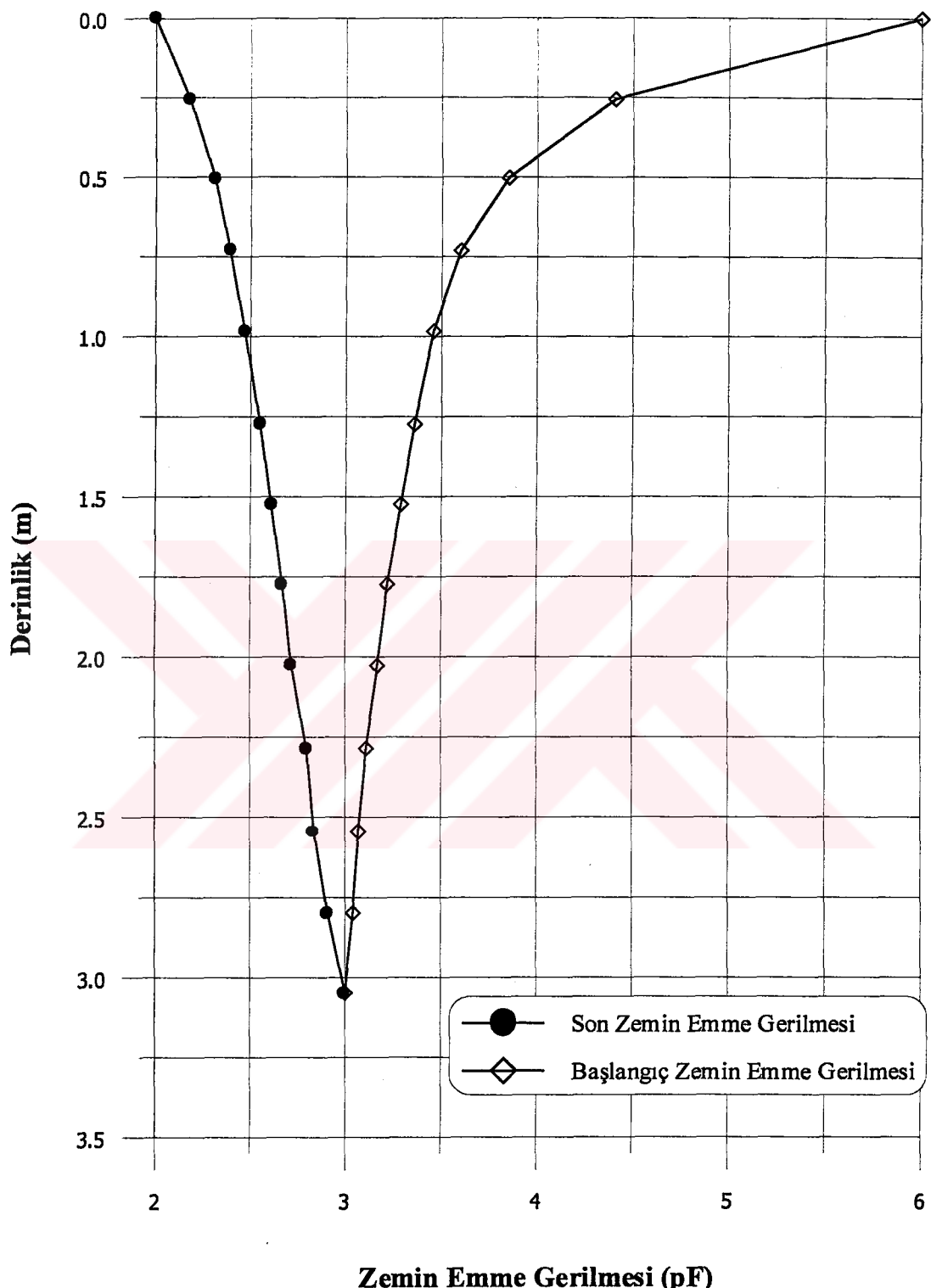
Doğal şartlarda, killerin elastisite modülü, E_s , zeminin su muhtevasına (Barkan, 1967) ve dikkate alınan derinliğe (Gibson, 1967) bağlıdır. Bu nedenle hesaplamalarda, zemin yaşı durumdayken en büyük şışme basıncının olacağından, zeminin yaşı iken sahip olacağı elastisite modülü dikkate alınmalıdır. Elastisite modülü, E_s , aktif bölgedeki su muhtevasının ve derinliğin bir fonksiyonu olarak değişir. Bu çalışmada E_s , değerleri hesaplanırken, zemin elastisite modülünü belirlemekte kullandığımız zemin su muhtevası değeri, Şekil 33.'deki yatay basınç dağılımının hesabında kullanılan son zemin emme gerilmesi eğrisi ve farklı zeminler için değişen zemin emme gerilmesi ile su muhtevası arasındaki ilişkiyi gösteren Şekil 27. kullanılarak hesap edilir.

Statik denge halindeki zemin emme gerilmesi sınır değerleri, zeminin kuru durumundaki sınır şartı için 6.0pF değerini (Russam ve Coleman, 1961) ve doygun durumdaki sınır şartı ise 2.0 pF (Aitchison ve Richards, 1969) değerlerini aldığı belirtilmektedir. Bunlardan dolayı, bu değerleri ve aktif bölgede denge halindeki emme gerilmelerini kullanarak statik dengede zemin emme gerilmesi zarfi hazırlanabilir (Wray, 1992). Sayısal modelde incelenecek olan dolgu varsayımları için tipik zemin emme gerilmesi zarfları statik emme gerilmesi teorisi kullanılarak üretilir. Zemin emme gerilmesi zarfları zemin derinlik artışı, Δx , boyunca hassas bir şekilde değiştiği için, Δx derinlik artışı çok hassas bir şekilde yapılmalıdır. Yaklaşık $30 \text{ cm}'lik \Delta x$ artımı kabul edilebilir

sonuçlar vermektedir (Wray, 1989). Dikkate alınan dolgu durumlarında, aktif bölge derinliği 3 m olarak alınmıştır.

Emme gerilmesi ile su muhtevası arasındaki ilişki Şekil 27.'den faydalı olarak bulunur. Buraya kadar yapılan kabuller ve tahminler tüm dikkate alınan dolgu durumlarında kullanılmıştır. Ancak gerçek durumda, emme gerilmesi ile su muhtevası arasındaki ilişki laboratuvar deneylerinden elde edilmelidir. Çünkü her zemin kendine ait bir su tutma eğrisine (zemin suyu karakteristik eğrisi) sahiptir. Bu amaçla "saykrometre, filtre kağıdı, ısı transferi sensörleri, camlıflı nem hücresi, basınçlı hücre, jips bloku ve Agwa-II" olarak bilinen deneylerden faydalı olabilir (Aytekin, 1992). Bu ilişki zemininin kurumakta veya doygun olup olmamasına bağlıdır. Bu ilişki zeminin su tutma eğrisi olarak adlandırılmaktadır. Günümüzde bu ilişkinin belirlenmesi için yoğun çalışmalar sürmektedir. Zemin artan miktarlarda ıslandığı zaman, tersi olarak kurumakta olan bir zemine göre, aynı su muhtevasında şişme basıncı daha yüksektir çünkü, zeminin ıslanması süresince zemine daha fazla enerji uygulanmaktadır. Daha fazla enerji gereksiniminin sebeplerinden birisi, kuruyan zeminin aksine ıslanmakta olan zeminin boşluklardaki hava kabarcıkları zemini dışarıya doğru iter. Bu ilişki histerisis olarak adlandırılan kuruma-ıslanma döngüsüne de bağlıdır. Kuruma ve ıslanma döngüsü çok sayıda olduğu zaman, ıslanma ile kuruma eğrileri arasındaki fark küçülür (Croney ve Coleman, 1954).

Doğal zemin için statik dengedeki zemin emme gerilmesi zarfi Şekil 33. de görülmektedir. Derinlik boyunca zeminin elastisite modülü dağılımı Şekil 27.'deki zemin emme gerilmesi ile su muhtevası arasındaki ilişkiden ve Bağıntı 120' deki şartı sağlayan, su muhtevası-elastisite modülü arasındaki ilişkiden faydalı olarak hesap edilebilmektedir. Hesap edilmiş elastisite modülü değerleri Şekil 34. de görülmektedir. Derinlikle, elastisite modülü, E_s 'nin hesaplanması Bağıntı 33 ile Bağıntı 43'deki Gibson (1967) modeli de hesaba katılarak bir denklemde birleştirilir. Ek olarak derinlik boyunca zemin su muhtevasının etkileri de dikkate alınır. Birleşimden oluşan denklem aşağıdaki gibidir (Aytekin, 1992).



Şekil 33. İki ekstrem statik şart için emme gerilmesi zarfı (kuru ve doygun),
(Aytekin, 1992)

$$E_{s(z)} = E_{d(z)} \left(1 - \frac{w_{(z)}^2}{w_0^2} \right) \quad (120)$$

burada,

$E_{s(z)}$ = z derinliğinde $w_{(z)}$ su muhtevasına sahip zeminin elastisite modülü

$E_{d(z)}$ = Kuru durumda, z derinliğindeki zeminin elastisite modülü (Gibson denkleminden elde edilir)

$w_{(z)}$ = z derinliğindeki zeminin su muhtevası

w_0 = elastisite modülünün teorik olarak sıfır olduğu yerdeki su muhtevası

Gibson modeli, derinliğin, zeminin elastisite modülüne etkisini dikkate alır. Gibson modelinin denklemi aşağıda gösterilmiştir.

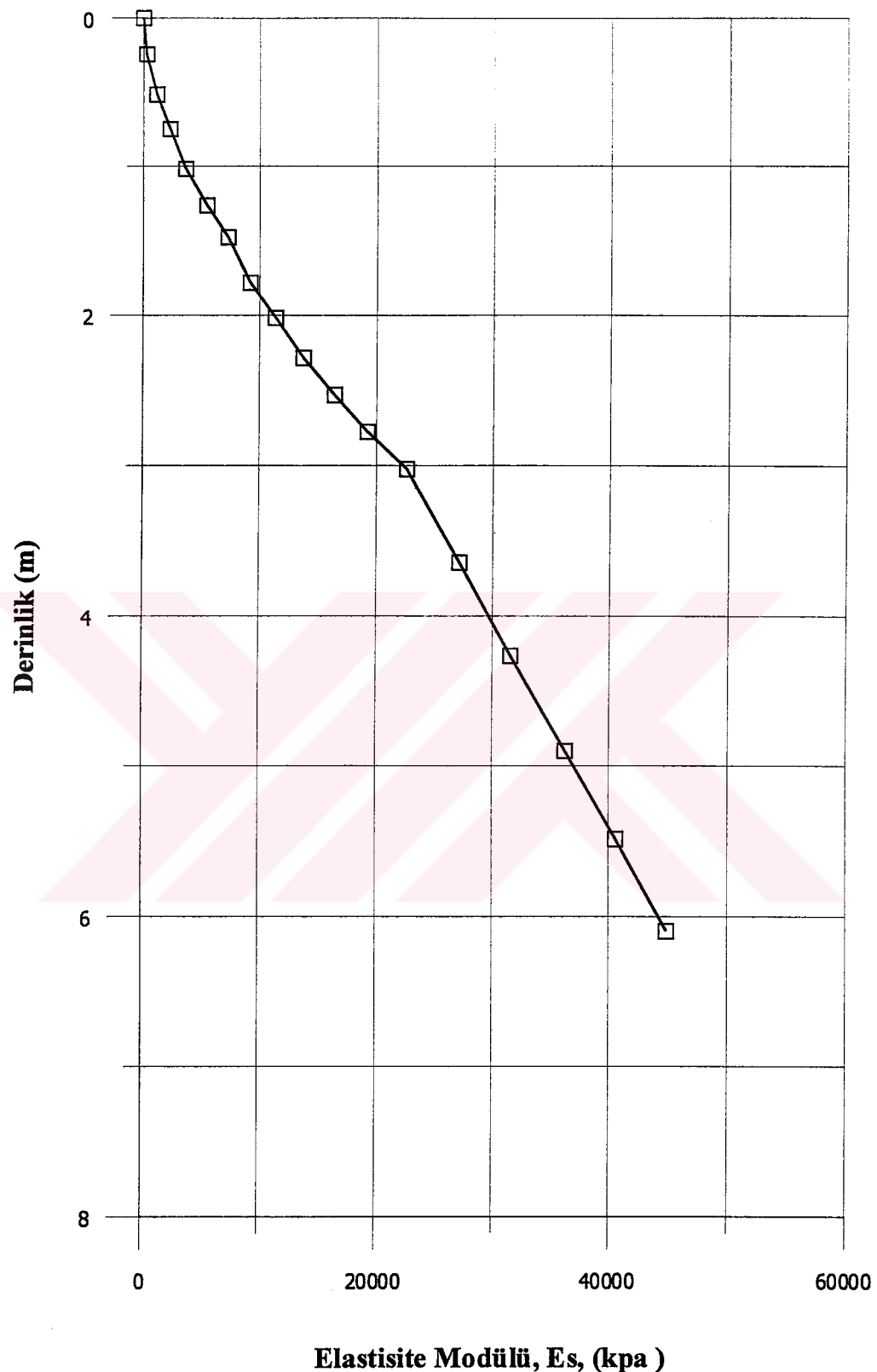
$$E_s = E_0 + mz \quad (121)$$

Gibson, (1967) bağıntısındaki m sabitinin, temel zemini yatak katsayısının yarısına eşit olduğunu göstermiştir.

$$m = \frac{k_s}{2} \quad (122)$$

Teknik literatürde farklı tür ve koşullardaki zeminlerin tipik k_s değerleri verilmektedir (McCarthy, 1988). Bazı k_s değerleri Tablo 12. de zemin tür ve koşulların bir fonksiyonu olarak verilmektedir. Örneğin, zemin yoğunluğunun 1.44 gr/cm^3 ile 1.76 gr/cm^3 arasında olduğu zeminlerde temel zemini yatak katsayı, k_s , $2.4 \times 10^4 \text{ kN/m}^3$ ile $4.8 \times 10^4 \text{ kN/m}^3$ arasında değişmektedir. Bu çalışmada örneklerde ise $k_s = 1.6 \times 10^4 \text{ kN/m}^3$ alınmıştır. Çünkü zeminin doygun durumda yatak katsayı küçük olmaktadır (McCarthy, 1988). k_s değerindeki azalmalar yeraltı su seviyesinin temele yakın olması durumunda önerilmektedir.

Buraya kadar bahsedilen parametreler ve denklemelerden faydalı olarak dikkate alınan dolgu kalınlıklarında incelediğimiz modeller çözülmüştür. Tüm incelenen durumlarda dikkate alınan dolguların istinat duvarı ile birleştiği süreksizlik



Şekil 34. Zemin derinliğinin ve su muhtevasının fonksiyonu olarak şişen zeminin elastisite modülünün değişimi

Tablo 12. Zemin türü ve koşullarına bağlı yatak katsayısı değerleri

Zemin	k_s , kN/m ³
Gevşek kum	4800 - 16 000
Orta yoğunlukta kum	9600 – 80 000
Yoğun kum	64 000 – 128 000
Killi orta yoğunlukta kum	32 000 – 80 000
Siltli orta yoğunlukta kum	24 000 - 48 000
Killi zemin	
$q_{em} \leq 200$ kPa	12 000 – 24 000
$200 < q_{em} \leq 800$ kPa	24 000 – 48 000
$q_{em} > 800$ kPa	> 48000

yüzeylerinde arakesit elemanlar dikkate alınmıştır. İncelenen durumların hepsinde dayanma yapısı, istinat duvarı veya temel duvarı olarak kabul edilebilir. Dikkate alınan problemdeki sistemin geometrisi ve boyutları Şekil 35. de verilmiştir. Dayanma yapısına aktarılan yatay basınçlar için Şekil 35. de görülen istinat duvarı arkasındaki arakesit eleman yüzeyine gelen yatay basınçlar çeşitli dolgu kalınlıkları için hesap edilmiştir. Şişen zeminin ve kohezyonlu şişmeyen zeminin özellikleri Katti'nin deneysel çalışmasında kullandıkları ile aynıdır. Şişen zeminin ve kohezyonlu şişmeyen zeminin birim hacim ağırlıkları 1.76 gr/cm³ olarak aynı alınmıştır. Örneklerin sonuçları değerlendirilmiş ve bazı sonuçlara ulaşılmıştır.

3.5.1. İncelenen Durum .I Dolgular İstinat Duvarı Arkasında, Dolgu Malzemesi : KŞZ

Bu bölümde, şişen bir zemin içindeki istinat duvarı ve duvar arkasında KŞZ dolgusunun var olduğu düşünülmektedir. Aktif ve pasif zemin basınç dağılımları şişen zeminde herhangibir şışme olmadığı düşünülerek gösterilmiştir. Daha sonra, istinat duvarı arkasında çeşitli kalınlıklarda KŞZ'nin dolgu malzemesi olarak kullanılması ile istinat duvarına aktarılan yatay basınç dağılımları hesap edilmiştir. Tüm varsayımlarda istinat

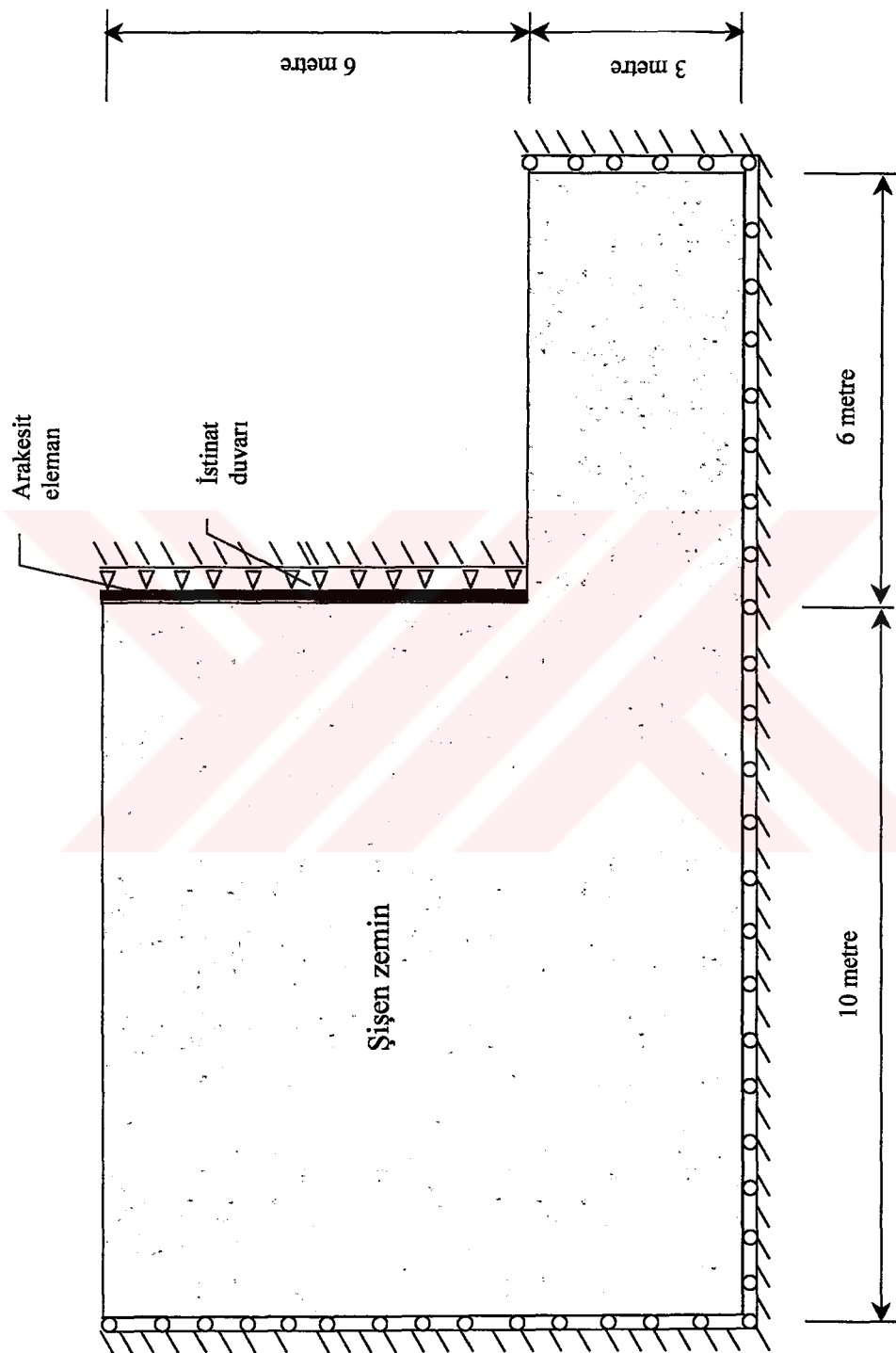
duvarının hareket etmediği kabul edilmiştir ve sayısal modelimizin hepsinde dolgu malzemesi ile istinat duvarı arasındaki süreksizlik yüzeylerinde, arakesit eleman vardır.

Önce herhangi bir dolgu malzemesi kullanmadan, yalnızca şişen zemin olması durumunda istinat duvarına aktarılan yatay basınçlar hesap edilmiştir. Sonra istinat duvarı arkasında sırasıyla, 0.5 m, 1 m, 1.5 m, 2 m, 3 m KŞZ kullanılarak istinat duvarına aktarılan yatay basınçlar hesap edilmiştir. Sonlu elemanlar modeli ve istinat duvarı dolgu kalınlıkları Şekil 36. da verilmektedir. Dolgu kalınlıklarına göre, derinlik boyunca istinat duvarına aktarılan yatay basınç dağılımları ile aktif ve pasif basınç dağılımları Şekil 37., Şekil 38., Şekil 39., Şekil 40, Şekil 41. ve Şekil 42. de verilmektedir.

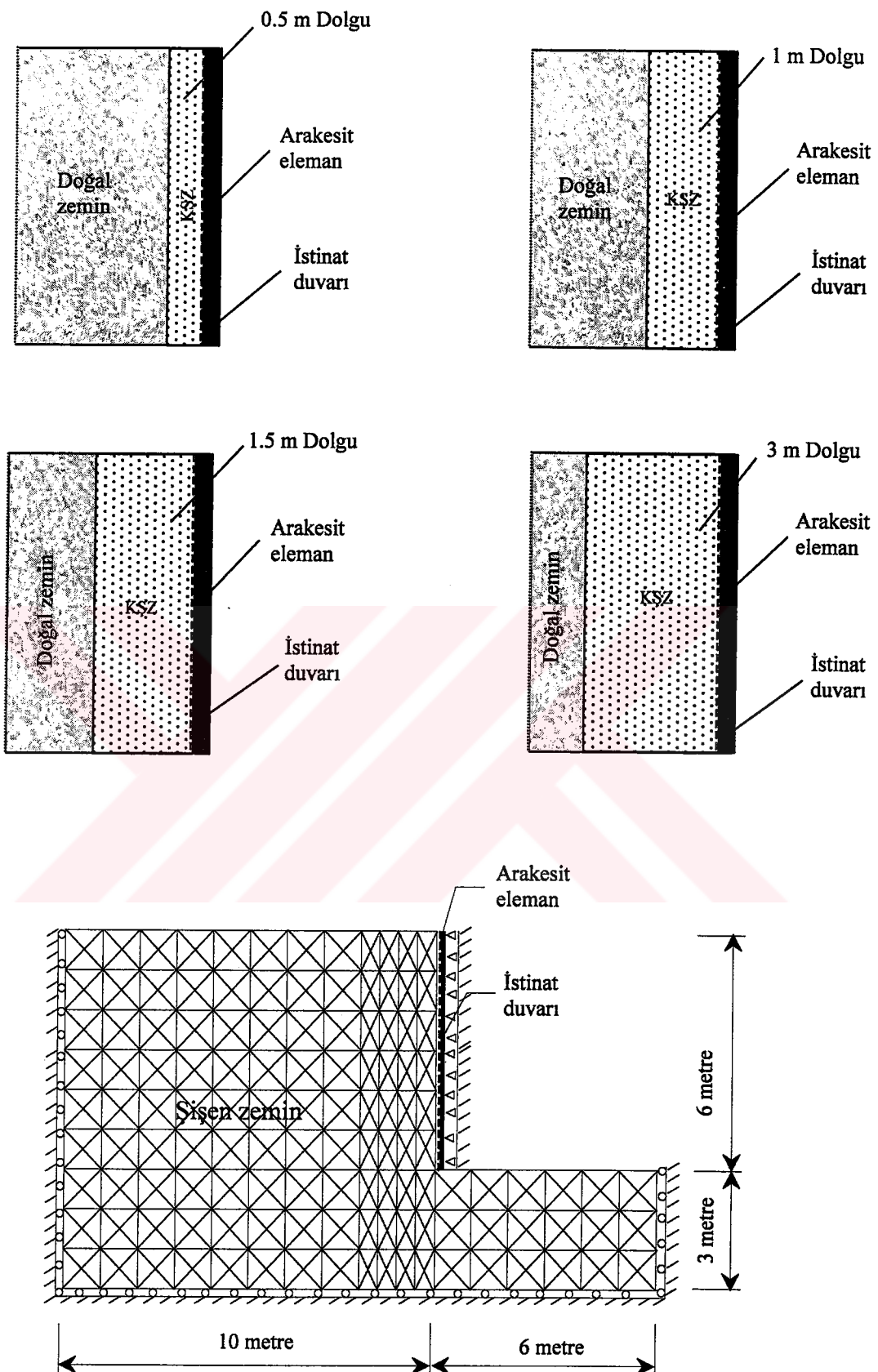
Şekil 37.'den görüleceği üzere hiçbir dolgu malzemesinin olmaması durumunda şışme basınçları yüzeyden itibaren yaklaşık 1.5 metre derinliğe kadar pasif toprak basınçlarına çok yakındır. Bu derinlikten itibaren pasif toprak basıncından uzaklaşmıştır. Dolgu olmadığı zaman, maksimum yatay şışme basıncı 0.8 kg/cm^2 iken, istinat duvarı arkasında 0.5 metre kohezyonsuz dolgu olması halinde Şekil 38.'den de görüldüğü gibi maksimum yatay şışme basıncı 0.32 kg/cm^2 'ye düşmektedir, pasif toprak basıncından da uzaklaşmaktadır. Artan dolgu kalınlıklarında yatay şışme basınçları düşmeye devam ederken belli bir kalınlıktan sonra etkisini yitirmekte ve aktif toprak basıncının üstünde artmaya devam etmektedir.

Herbir dolgu kalınlığındaki maksimum yatay basınç değerleri ile dolgu kalınlığı arasında Şekil 43.'deki gibi ilişki bulunmaktadır. Grafikteki eğrinin şeklindeki de anlaşılacağı üzere dolgu kalınlığına bağlı olarak yatay şışme basınçlarında belli bir düşüş görülmektedir. Şekil 43.'den görüldüğü gibi şişen zemin ile istinat yapısı arasında konulan dolgu, istinat yapısına aktarılan yatay basınçları hızla azaltmaktadır, ancak dolgu kalınlığı artırıldığında bu azalma daha düşük olmaktadır.

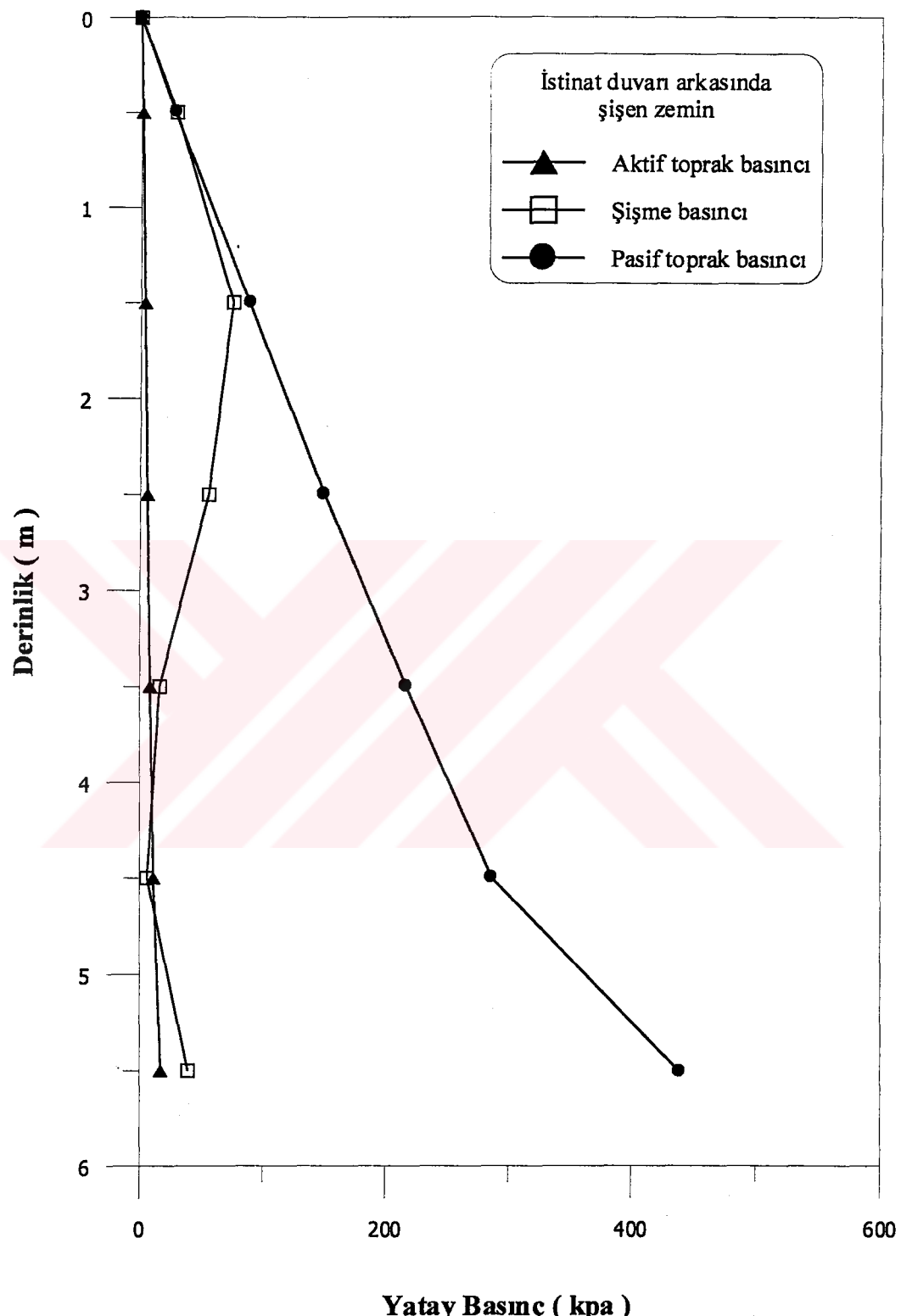
Sayısal çalışmalarında anı sınır değişiklikleri, sonuçlar da anı değişimler verebilmektedir. Ayrıca seçilen elaman tipi, sonlu elemanlar ağı ve eleman sayısı da anı değişimler üzerinde etkili olabilmektedir. Bu nedenle istinat duvarının zeminle birleştiği yerdeki sınır şartının verebileceği olumsuzlukları gidermek için istinat duvarının zemine 1 metre gömülü olduğu varsayılmaktadır.



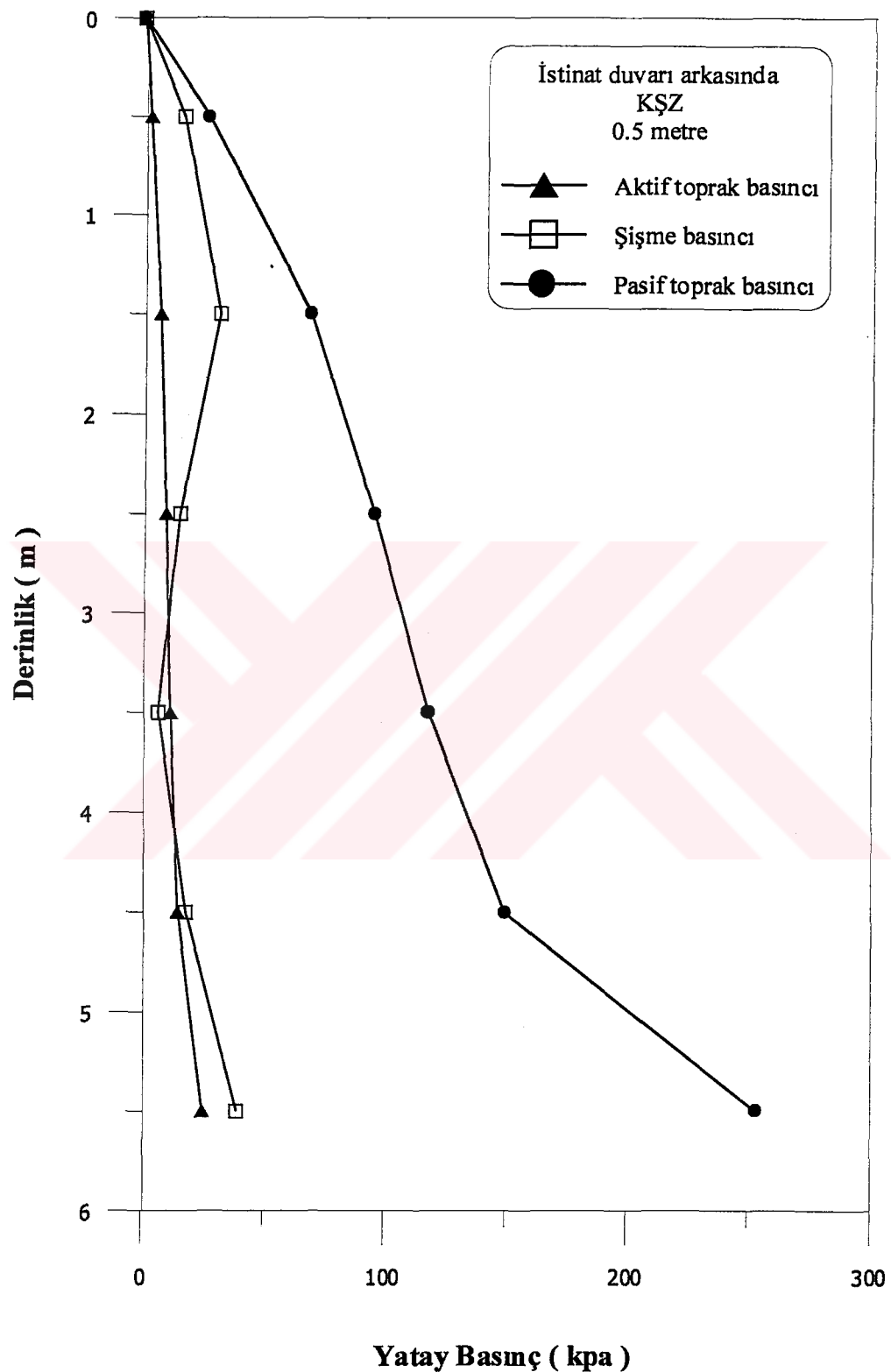
Şekil 35. İncelenen durumlar için zemin sisteminin boyutları ve sınır şartları



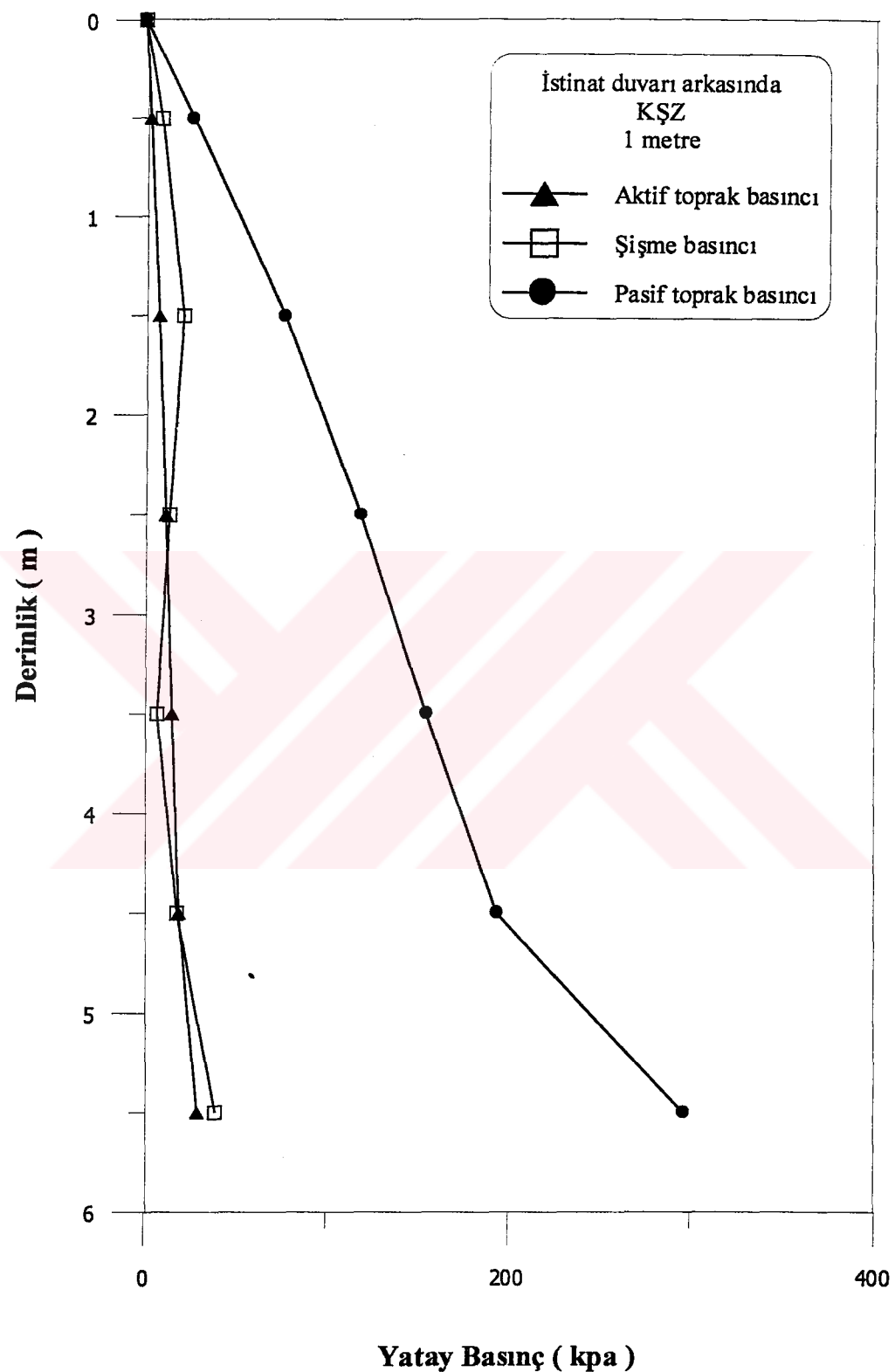
Şekil 36. İstinat duvari dolgu kalınlıkları ve sonlu elemanlar modeli



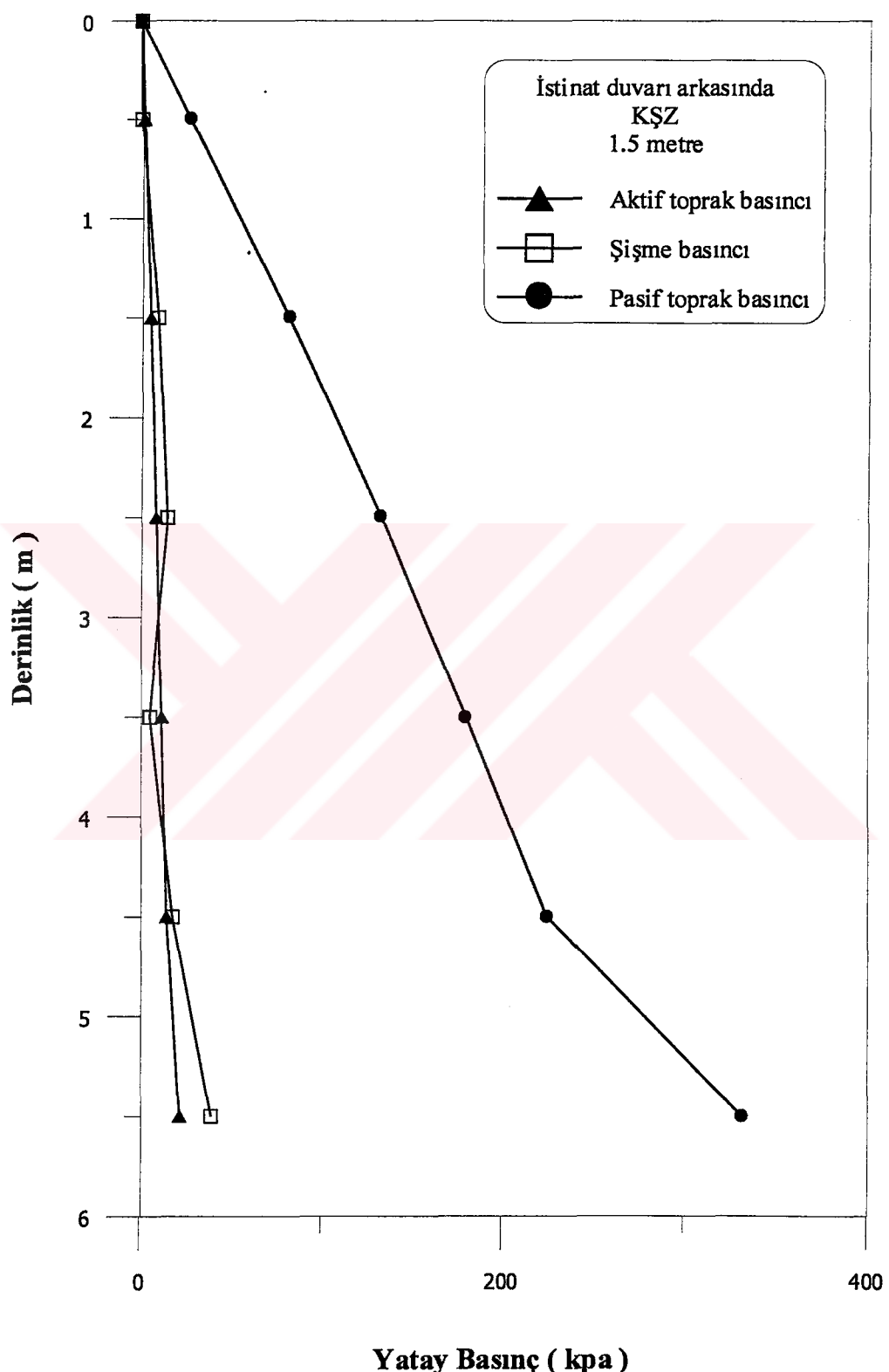
Şekil 37. İstinat duvarı arkasında yalnızca şişen zemin (dolgu yok) olması halinde derinlik boyunca aktif, pasif ve şişme basıncı dağılımı



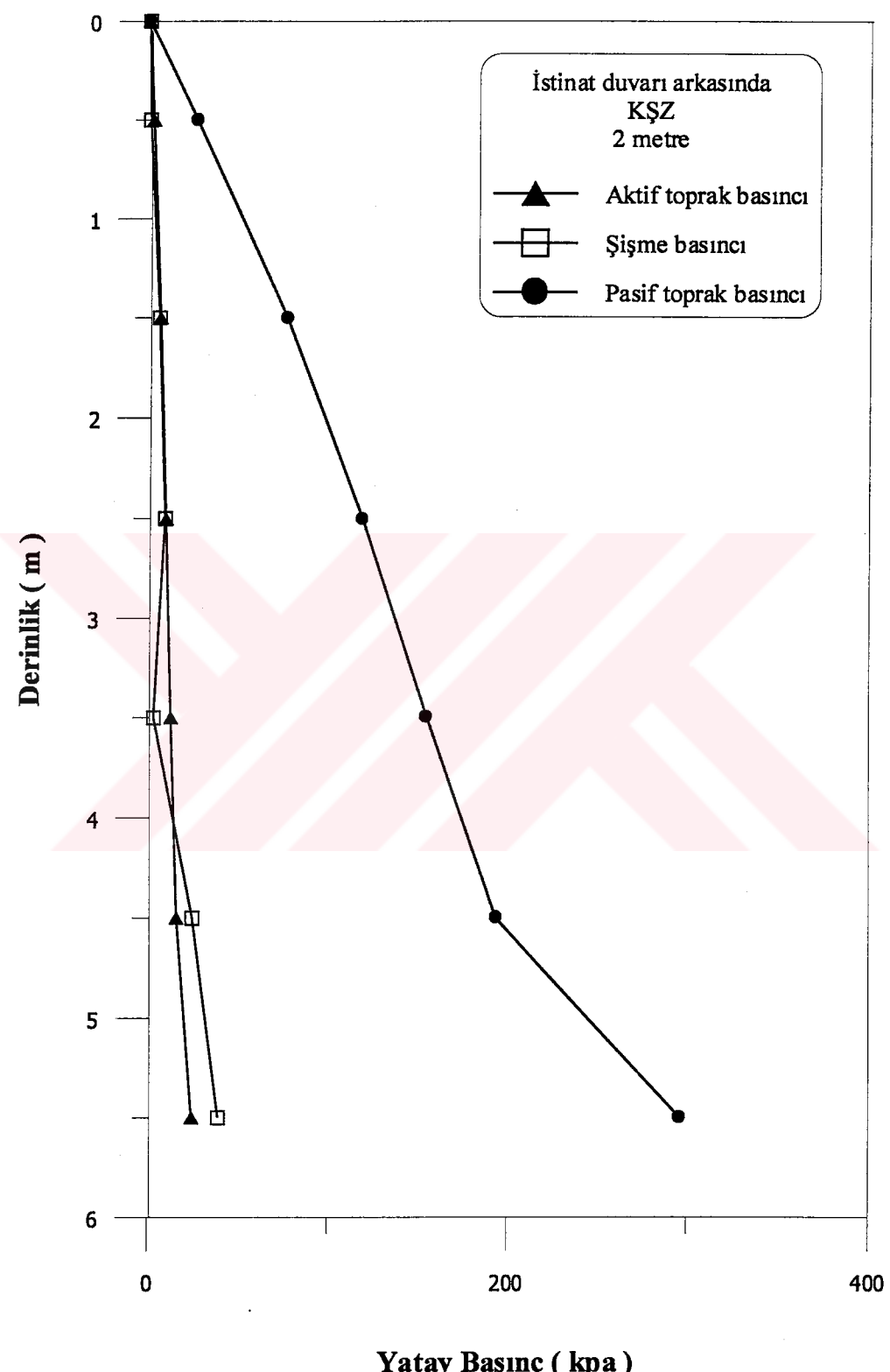
Şekil 38. İstinat duvarı arkasında 0.5 metre KŞZ olması halinde derinlik boyunca aktif, pasif ve şişme basıncı dağılımı



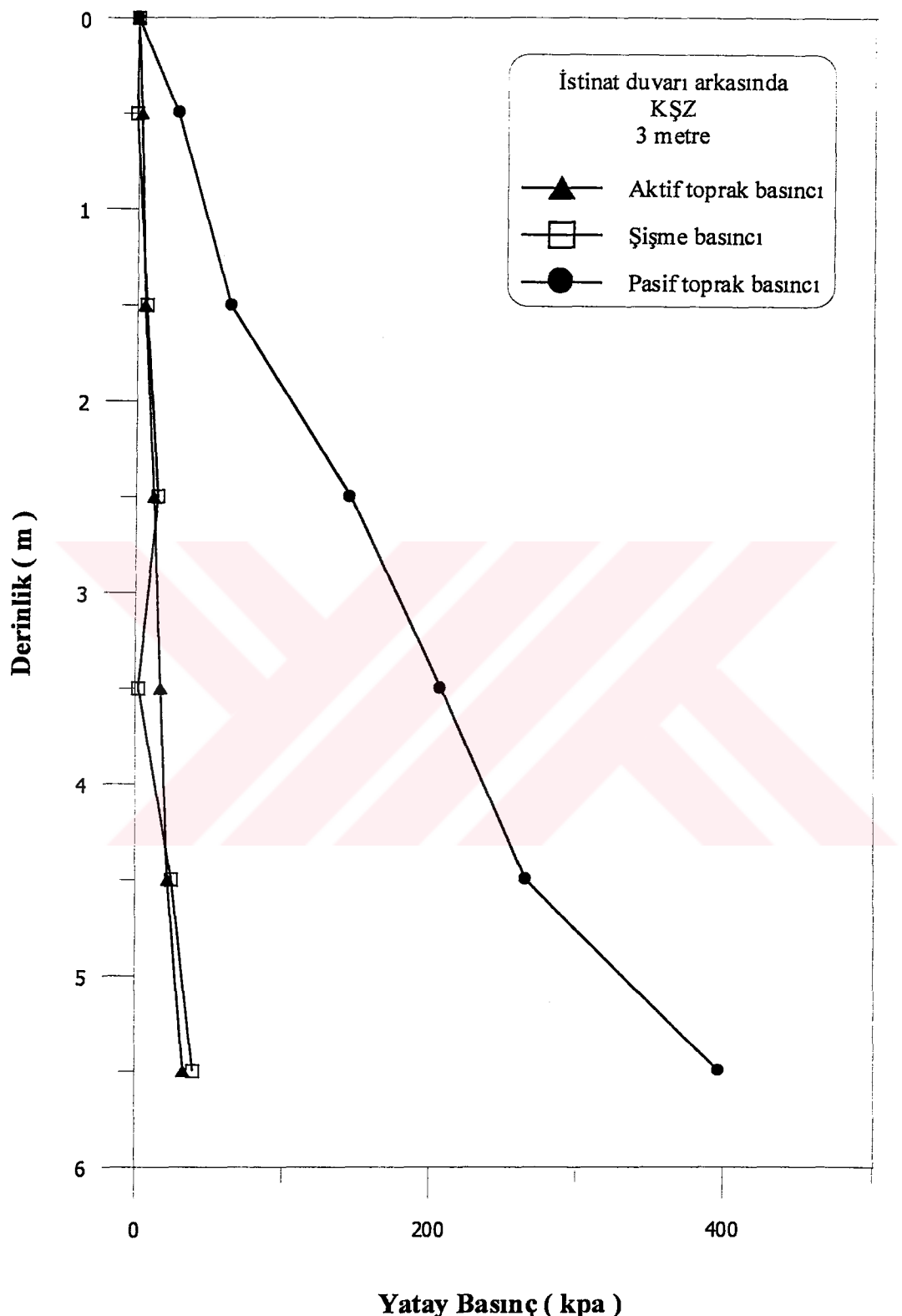
Şekil 39. İstinat duvarı arkasında 1 metre K SZolması halinde derinlik boyunca aktif, pasif ve şişme basıncı dağılımı



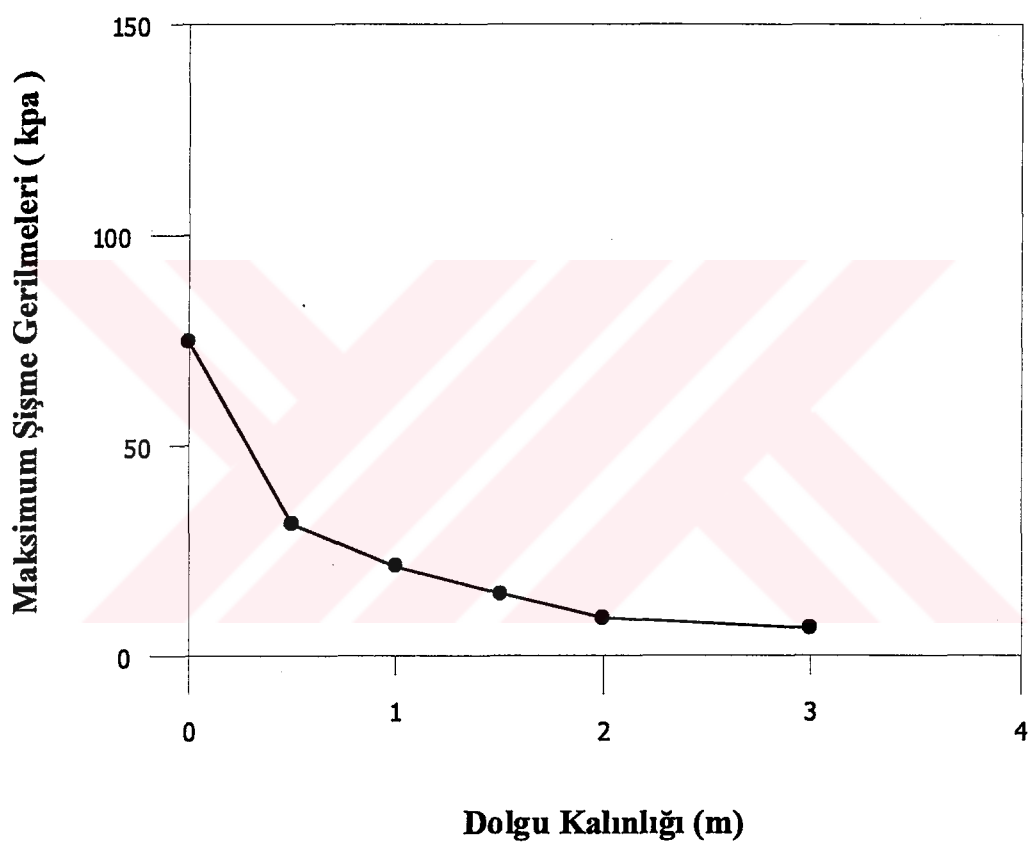
Şekil 40. İstinat duvarı arkasında 1.5 metre K SZ olması halinde derinlik boyunca aktif, pasif ve şişme basıncı dağılımı



Şekil 41. İstinat duvarı arkasında 2 metre KŞZ olması halinde derinlik boyunca aktif, pasif ve şişme basıncı dağılımı



Şekil 42. İstinat duvarı arkasında 3 metre K SZ olması halinde derinlik boyunca aktif, pasif ve şişme basıncı dağılımı



Şekil 43. Maksimum şişme gerilmesi – Dolgu kalınlığı ilişkisi

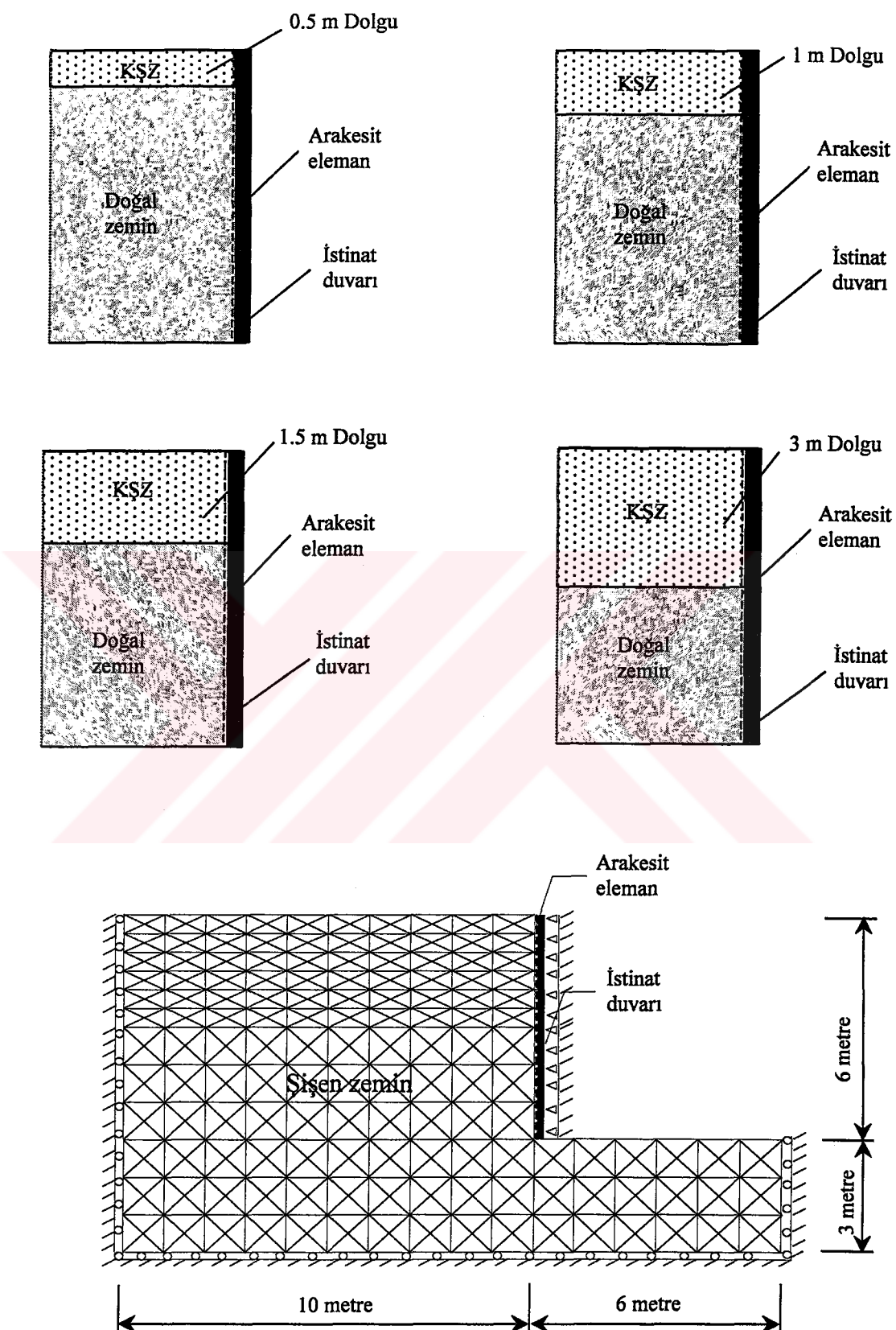
3.5.2. İncelenen Durum .II Dolgular Doğal Zemin Üzerine Serilmiş, Dolgu Malzemesi : KŞZ

Bu incelenen durumda, şişen bir zemin içindeki istinat duvarı ve doğal zemin üzerine serili KŞZ dolgusunun var olduğu düşünülmektedir. Aktif ve pasif zemin basınç dağılımları şişen zeminde herhangibir şişme olmadığı düşünülerek gösterilmiştir. Daha sonra, doğal zemin üzerine çeşitli kalınlıklarda KŞZ dolgu malzemesi olarak çeşitli kalınlıklarda serilmiştir. İstinat duvarına aktarılan yatay basınç dağılımları hesap edilmiştir. Tüm varsayımlarda istinat duvarının hareket etmediği kabul edilmiştir ve sayısal modelimizin hepsinde dolgu malzemesi ile istinat duvari arasındaki süreksizlik bölgesinde, arakesit eleman vardır.

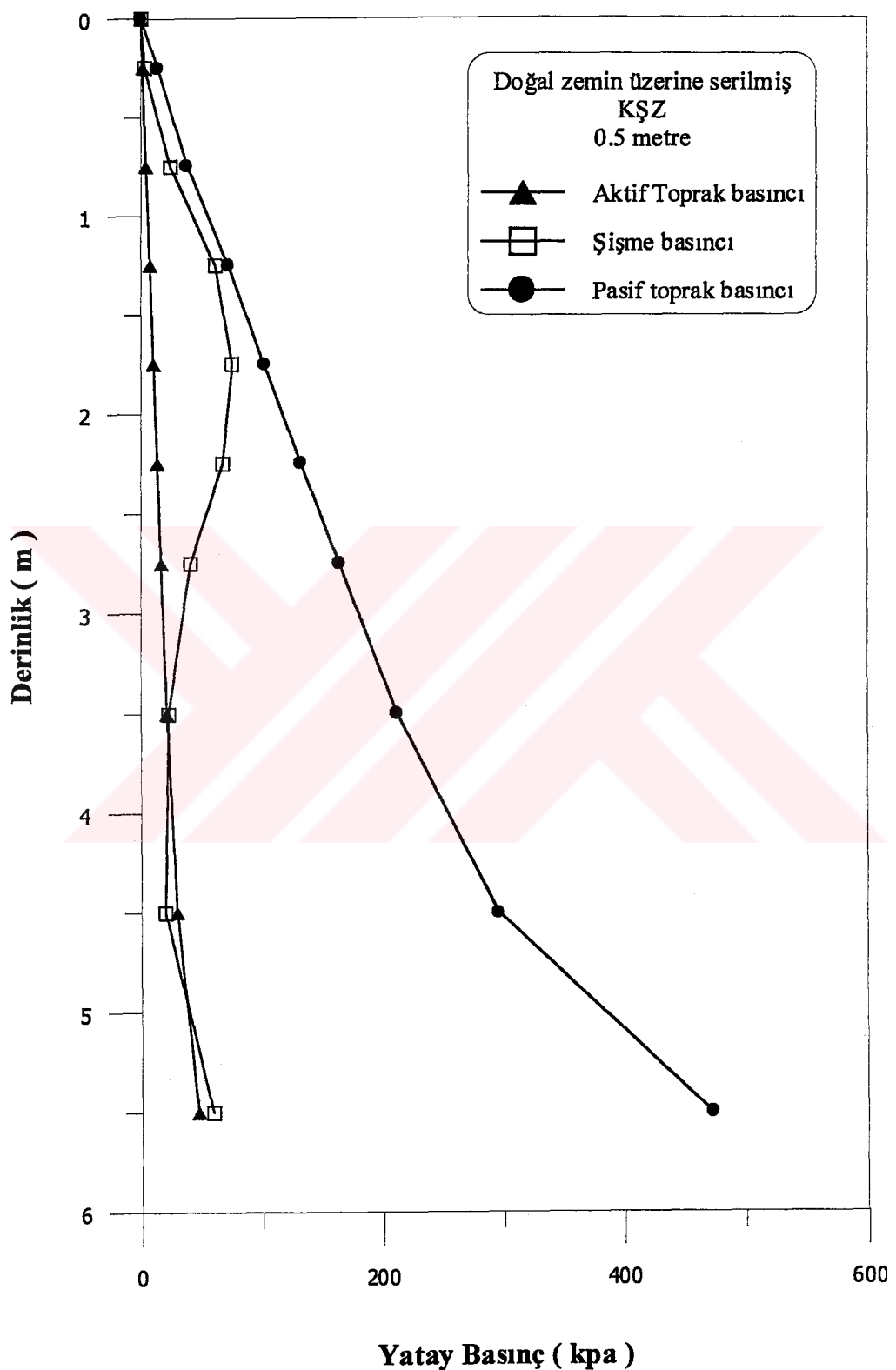
Doğal zemin üzerine sırasıyla, 0.5 m, 1 m, 1.5 m, 2 m, 3 m kalınlıklarında KŞZ serilmiştir. Herbir dolgu kalınlığına ait derinlik boyunca değişen yatay basınç dağılımı hesaplanmıştır. Sonlu elemanlar modeli ve doğal zemin üzerine serilen dolgu kalınlıkları Şekil 44. de verilmektedir.

Dolgu kalınlıklarına göre, derinlik boyunca istinat duvarına aktarılan yatay basınç dağılım eğrileri ile aktif ve pasif basınç dağılımları Şekil 45., Şekil 46., Şekil 47., Şekil 48. ve Şekil 49. da verilmektedir.

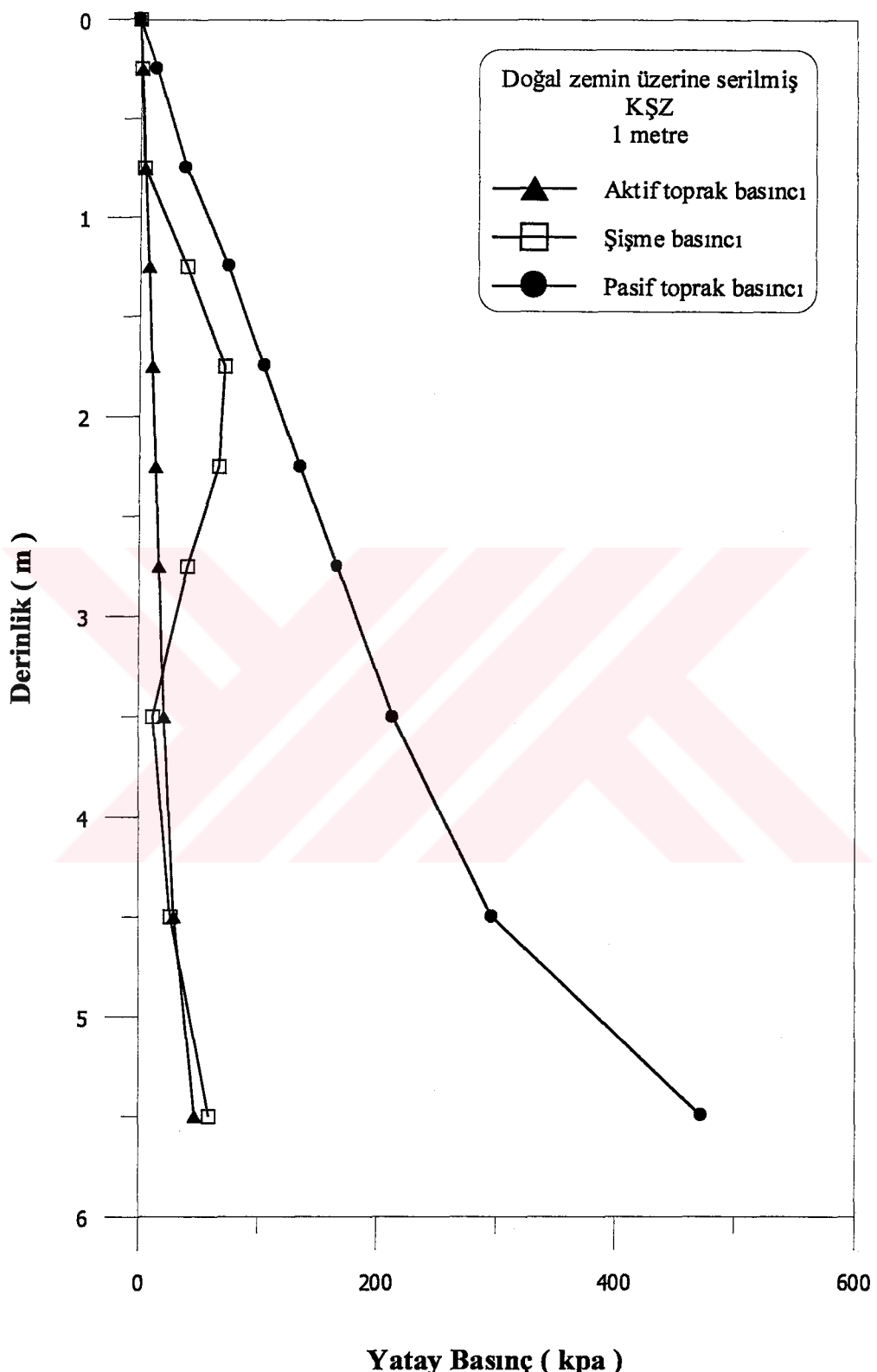
Doğal zemin üzerine serilen 0.5 metre kalınlığındaki kohezyonlu şişmeyen zemin için elde edilen Şekil 45. 'deki eğriye baktığımızda, yüzeyden itibaren 0.5 metre için yatay şişme basıncında ani bir düşüş olmuştur. Bu derinlikten sonra emme gerilmesinin etkili olduğu derinliğe kadar şişen zemin de yatay şişme basınçları 0.8 kg/cm^2 seviyesine aynı derinlikte ulaşmış emme gerilmesinin aktif olduğu derinliğe kadar azalarak gitmiştir. Bu derinlikten sonra tekrar aktif toprak basıncını üzerinde artmasına devam etmiştir. Serilen dolgu kalınlığı kadar derinlikte yatay şişme basınçları etksini tamamen kaybedip bu kalınlıktan sonra zeminin sukunet halindeki yatay basınçlarıyla eşitlenmiştir.



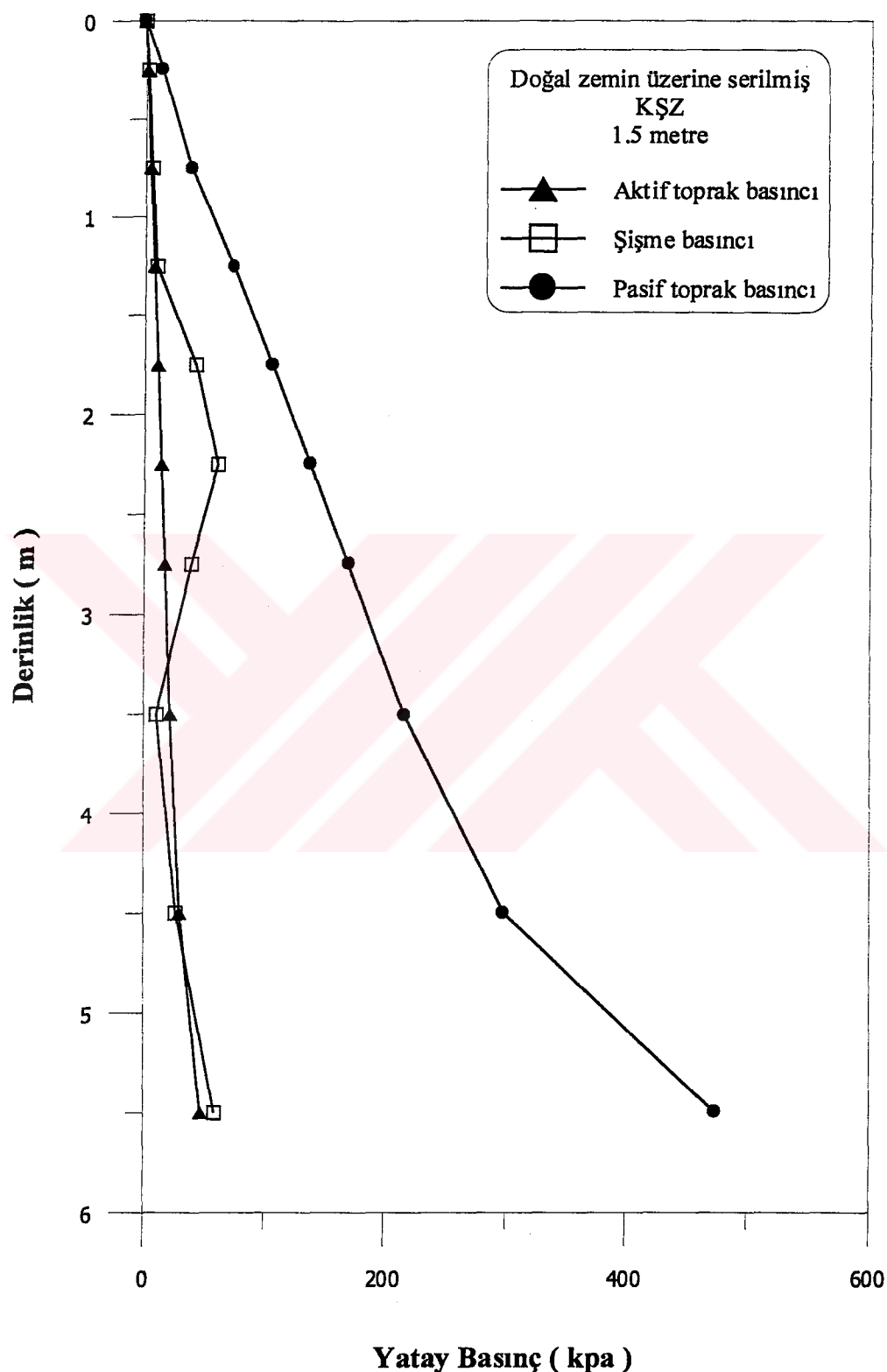
Şekil 44. Doğal zemin üzerine serilen dolgu kalınlıkları ve sonlu elemanlar modeli



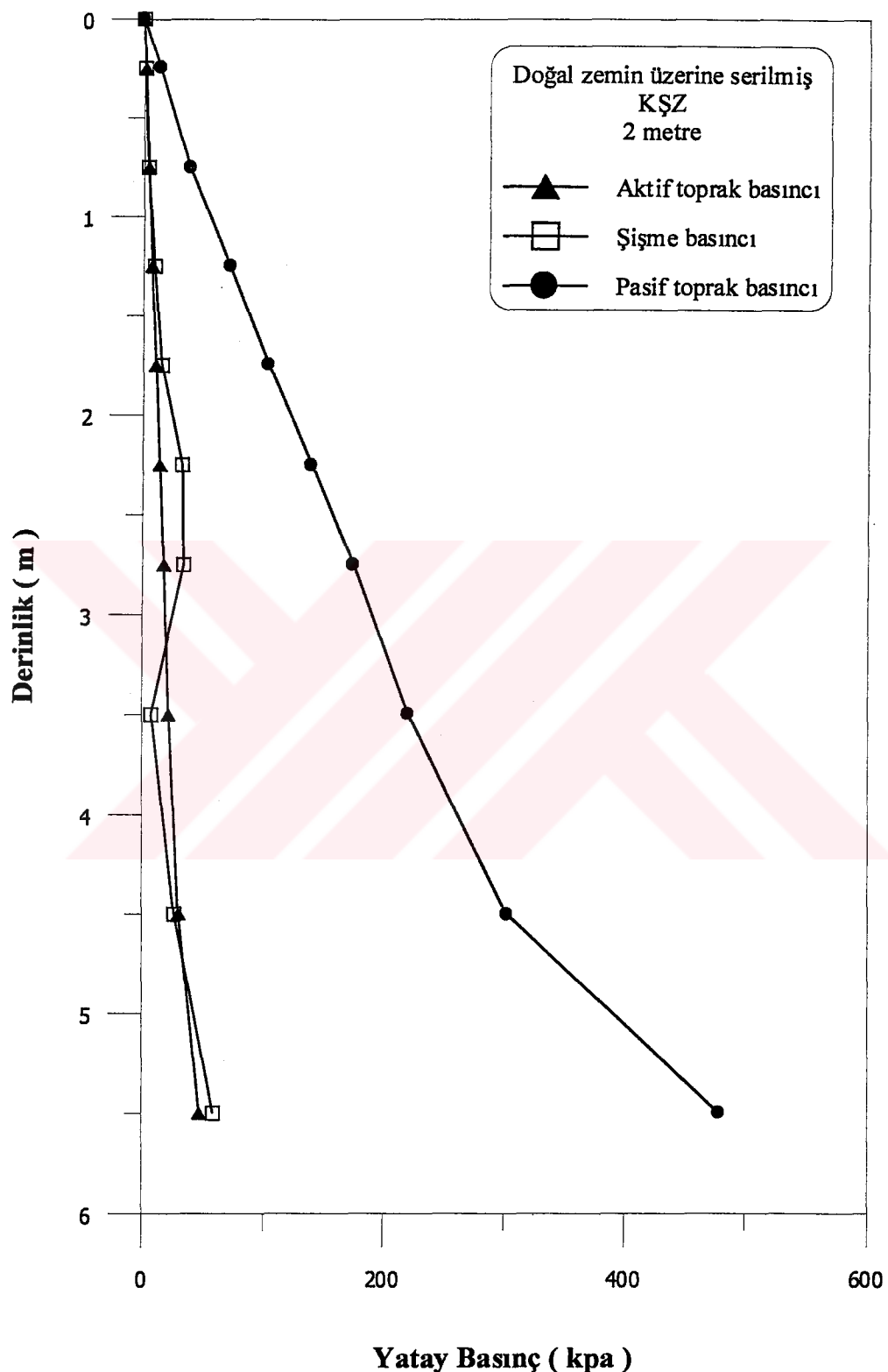
Şekil 45. Doğal zemin üzerine serilmiş 0.5 metre K SZ olması halinde derinlik boyunca aktif, pasif ve şişme basınçları dağılımı



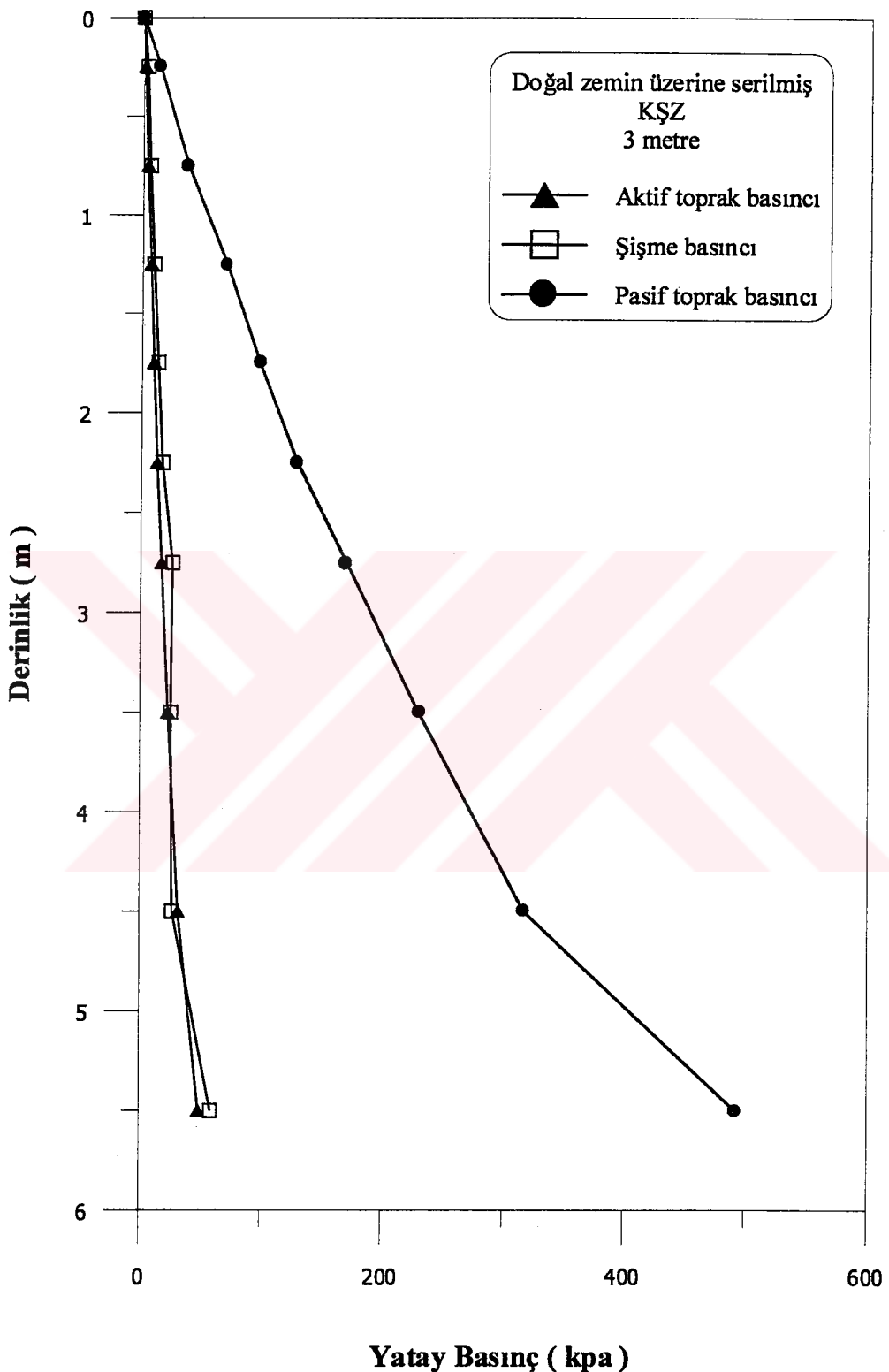
Şekil 46. Doğal zemin üzerine serilmiş 1 metre K SZ olması halinde derinlik boyunca aktif, pasif ve şişme basınçları dağılımı



Şekil 47. Doğal zemin üzerine serilmiş 1.5 metre K SZ olması halinde derinlik boyunca aktif, pasif ve şişme basınçları dağılımı



Şekil 48. Doğal zemin üzerine serilmiş 2 metre K SZ olması halinde derinlik boyunca aktif, pasif ve şişme basınçları dağılımı



Şekil 49. Doğal zemin üzerine serilmiş 3 metre K SZ olması halinde derinlik boyunca aktif, pasif ve şişme basınçları dağılımı

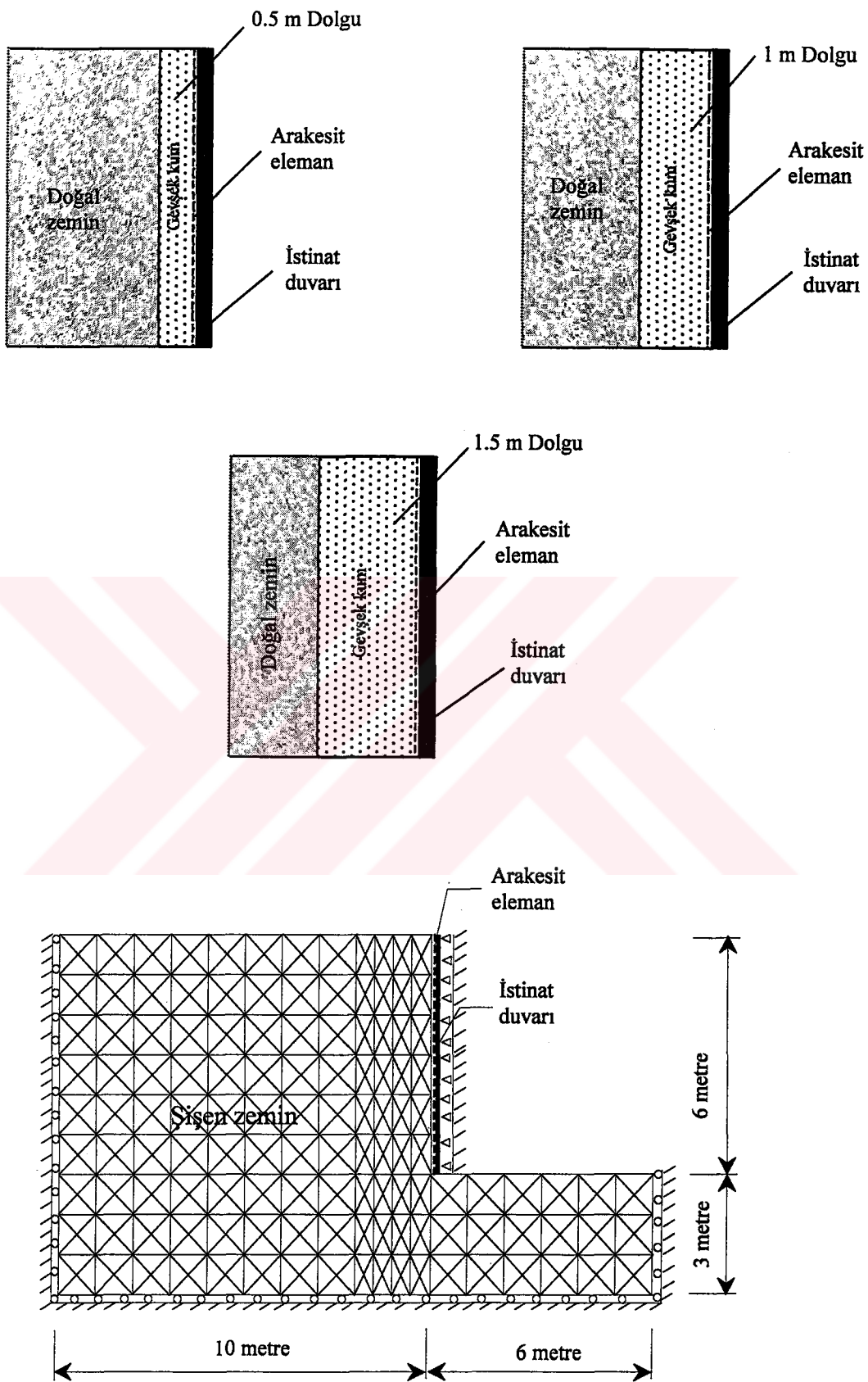
3.5.3. İncelenen Durum .III Dolgular İstinat Duvarı Arkasında, Dolgu Malzemesi : Gevşek Kum

Bu bölümde, şisen bir zemin içinde istinat duvari ve duvar arkasında gevşek kum zemin dolgusunun var olduğu düşünülmektedir. Aktif ve pasif zemin basınç dağılımları şisen zeminde herhangibir şişme olmadığı düşünülerek gösterilmiştir. Daha sonra, istinat duvarı arkasında çeşitli kalınlıklarda gevşek kum dolgu malzemesi kullanılması ile istinat duvarına aktarılan yatay basınç dağılımları hesap edilmiştir. Tüm varsayımlarda istinat duvarının hareket etmediği kabul edilmiş ve sayısal modelimizin hepsinde dolgu malzemesi ile istinat duvari arasındaki süreksizlik bölgesinde, arakesit eleman vardır.

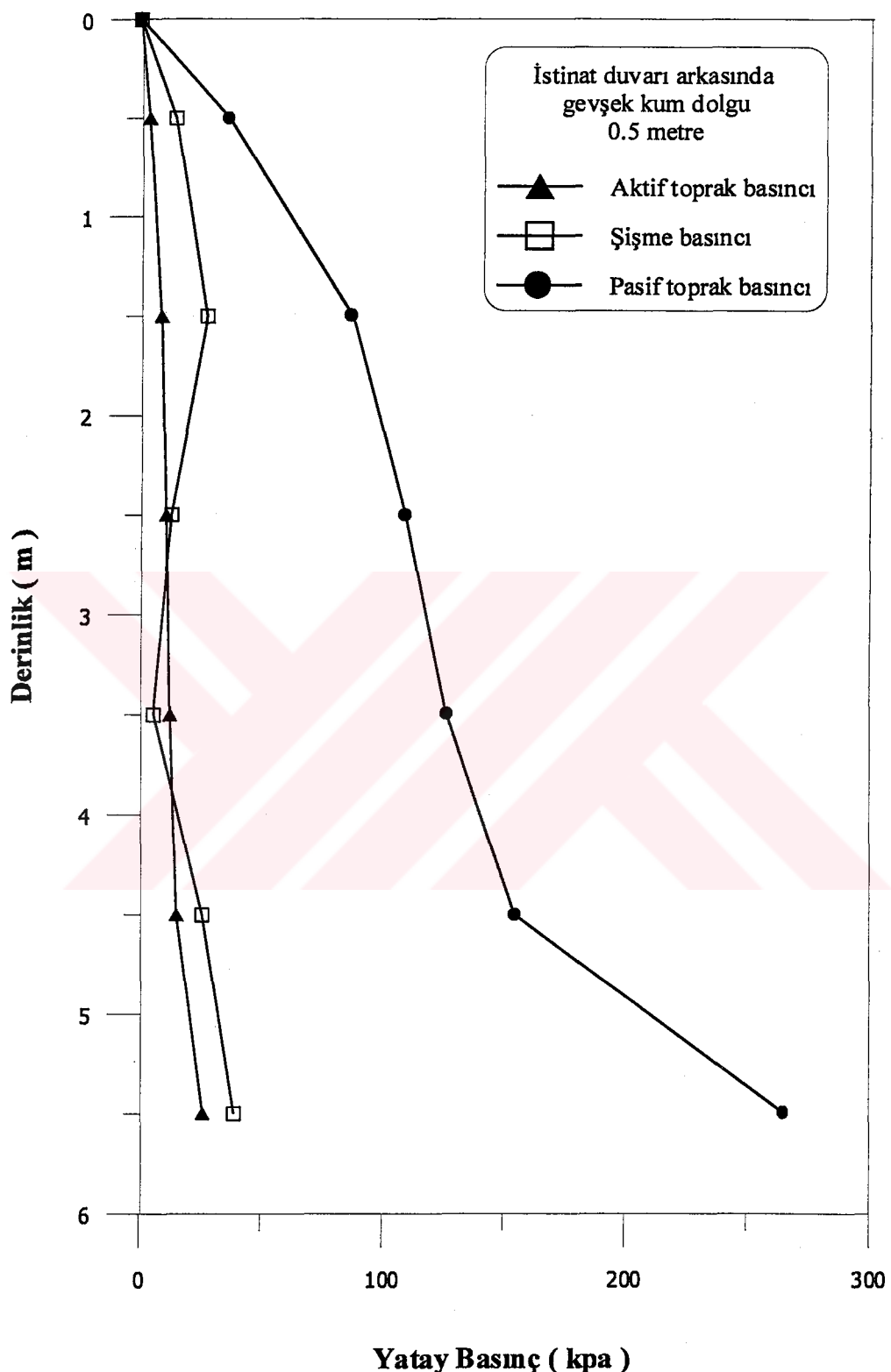
İstinat duvarı arkasında sırasıyla, 0.5 m, 1 m, 1.5 m, kalınlıklarında gevşek kum zemin kullanılarak istinat duvarına geçen yatay basınçlar hesap edilmiştir. Sonlu elemanlar modeli ve istinat duvarı dolgu kalınlıkları Şekil 50. de verilmektedir.

Dolgu kalınlıklarına göre, derinlik boyunca istinat duvarına aktarılan yatay basınç dağılımları ile aktif ve pasif basınç eğrileri Şekil 51., Şekil 52., ve Şekil 53.'de verilmektedir.

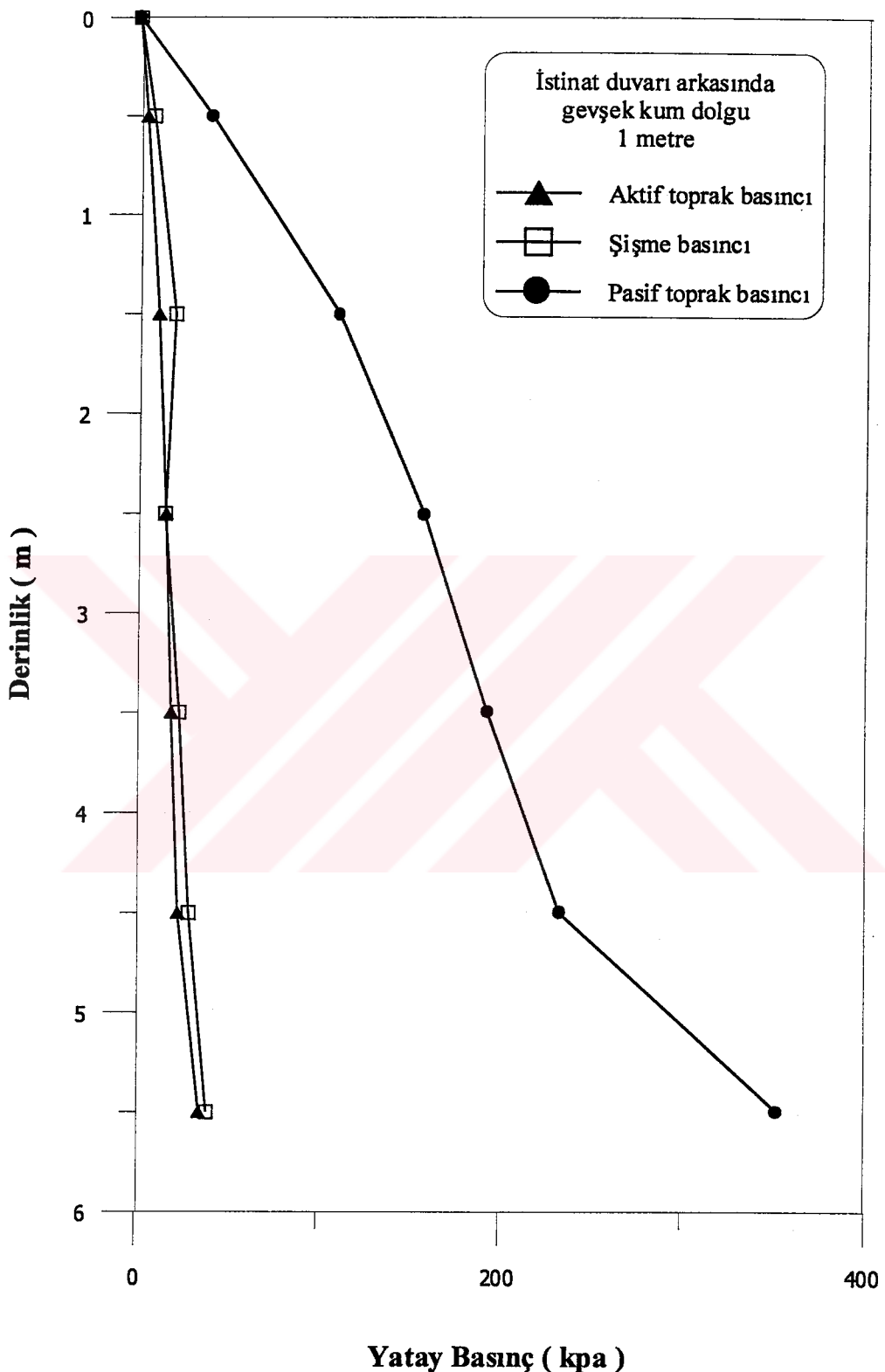
Şekillerden görüldüğü üzere, kohezyonlu şişmeyen dolgu zeminde olduğu gibi gevşek kum dolguda da 1.5 metre derinlikten itibaren pasif toprak basıncından uzaklaşmıştır. Dolgu olmadığı zaman, maksimum yatay şişme basıncı 0.8 kg/cm^2 iken, istinat duvarı arkasında 0.5 metre gevşek kum dolgu olması halinde Şekil 51.'den de görüldüğü gibi maksimum yatay şişme basıncı 0.28 kg/cm^2 'ye düşmekte, pasif toprak basıncından da uzaklaşmaktadır. Artan dolgu kalınlıklarında yatay şişme basınçları düşmeye devam ederken belli bir kalınlıktan sonra etkisini yitirmekte ve sükunet halindeki toprak basıncı ile üstüste düşmektedir.



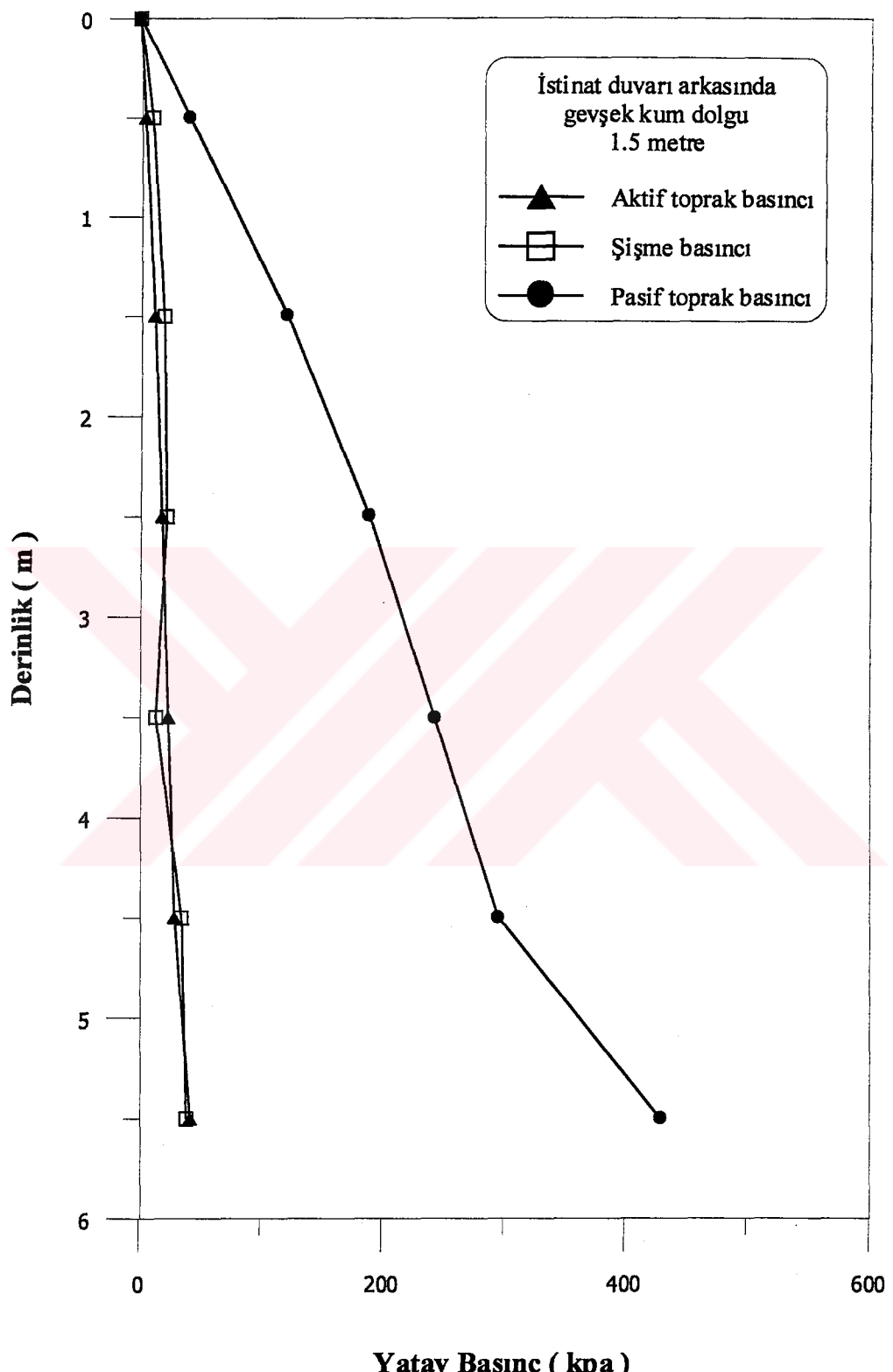
Şekil 50. Doğal zemin üzerine serilen dolgu kalınlıkları ve sonlu elemanlar modeli



Şekil 51. İstinat duvarı arkasında 0.5 metre gevşek kum dolgu zemini olması halinde derinlik boyunca aktif, pasif ve şişme basıncı dağılımı



Şekil 52. İstinat duvarı arkasında 1 metre gevşek kum dolgu zemini olması halinde derinlik boyunca aktif, pasif ve şişme basıncı dağılımı



Şekil 53. İstinat duvarı arkasında 1 metre gevşek kum dolgu zemini olması halinde derinlik boyunca aktif, pasif ve şişme basıncı dağılımı

3.5.4. İncelenen Durum .IV KŞZ ile Gevşek Kum Dolgunun Karşılaştırılması

Şekil 55. ve Şekil 56. da 0.5 metre ve 1 metre istinat duvarı arkasına konan kohezyonsuz şişmeyen zemin dolgusu ile gevşek kum zemin dolguları arasındaki farklar görülmektedir. Gevşek kumda aktif ve pasif basınçlar KŞZ göre daha fazla çıkarken yatay şişme basınçlarında azalmalar olmaktadır. Maksimum yatay şişme basınçları 0.5 m KŞZ için 31.38 kpa iken gevşek kum için 27.46 kpa, 1 m KŞZ için 21.57 kpa iken gevşek kum için 19.61 kpa olmaktadır. Dolayısı ile yatay şişme basınçları için gevrek kum KŞZ oranla daha güvenlidir.

3.5.5. İncelenen Durum .V Dolgu Malzemesi : Expanded Polistiren (EPS)

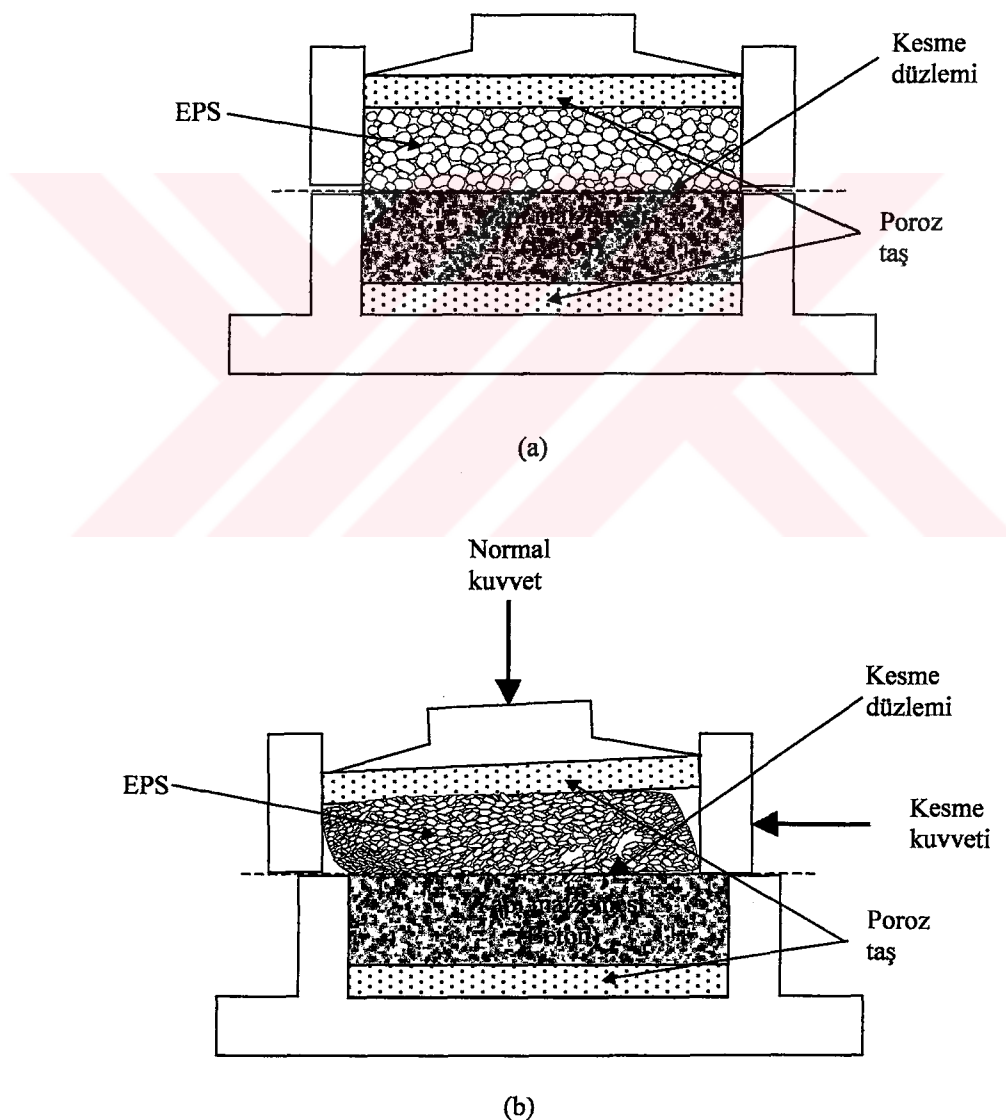
Sert Köpük Styropor

Bu malzeme petrolden elde edilen termoplastik bir yalıtım malzemesidir. Bünyesinde bulunan çok sayıdaki (1m^3 EPS Styropor da 3- 6 milyar) küçük kapalı gözenekli hücrelerinde durgun hava hapsolmuştur. Isı yalıtımını bu gözenekler sağlar. Malzemenin % 98' i havadır. Bu nedenle çok hafif bir malzemedir. Genel olarak 10-30 kg/ m^3 yoğunlukta üretilir. Dünyada mevcut en iyi ısı yalıtımı sağlayan birkaç malzemeden biri olan EPS (Sytropor), öteki malzemelerden çok daha ekonomik olan tek malzemedir. Levha, boru ve form verilmiş elemanlar halinde yapıların ısı yalıtımında ve ambalaj sanayiinde kullanılır.

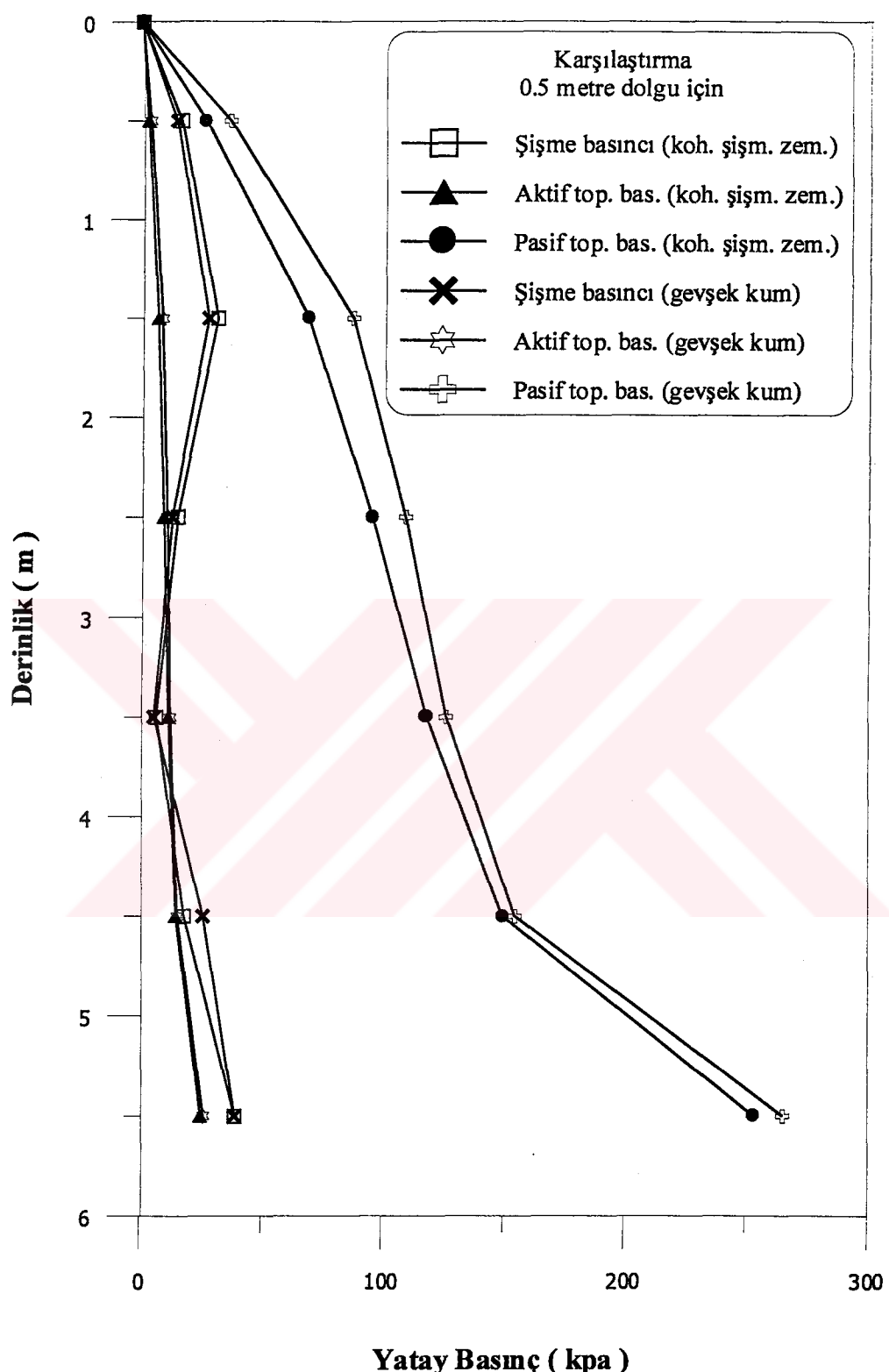
EPS'nin başlıca tercih edilme nedenleri ; Yüksek ısı yalıtımı sağlar. En ekonomik yalıtım malzemesidir. Basınca çok dayanıklıdır. Yoğunluk arttıkça basınç dayanımı artar. Kapalı gözenekli olduğu için pratik olarak ıslanmaz, yalıtımı sürekli yapar. Kapiler ve higroskopik değildir. Kalınlığı zamanla incelmez, sabit kalır. Çevre dostu bir malzemedir. İçinde ozon tabakasına zarar verici CFC (kloroflorokarbon) yoktur. Geri dönüşümlü (Recycle) bir malzeme olup, üretim sonrası çevreyi kirletecek atık çıkarmaz. Sonsuz ömürlüdür. Bina durdukça yalıtım görevine devam eder. Çok hafiftir, kolay taşınır, kolay uygulanır. Buhar geçirimsizliği yüksektir. Yoğunluk arttıkça buhar geçirimsizliği de artar.

Yukarıda teknik özelliklerinden bahsedilen malzemenin, beton yapı malzemesi ile arasındaki sürtünmenin belirlenmesi için kesme kutusu deneyi

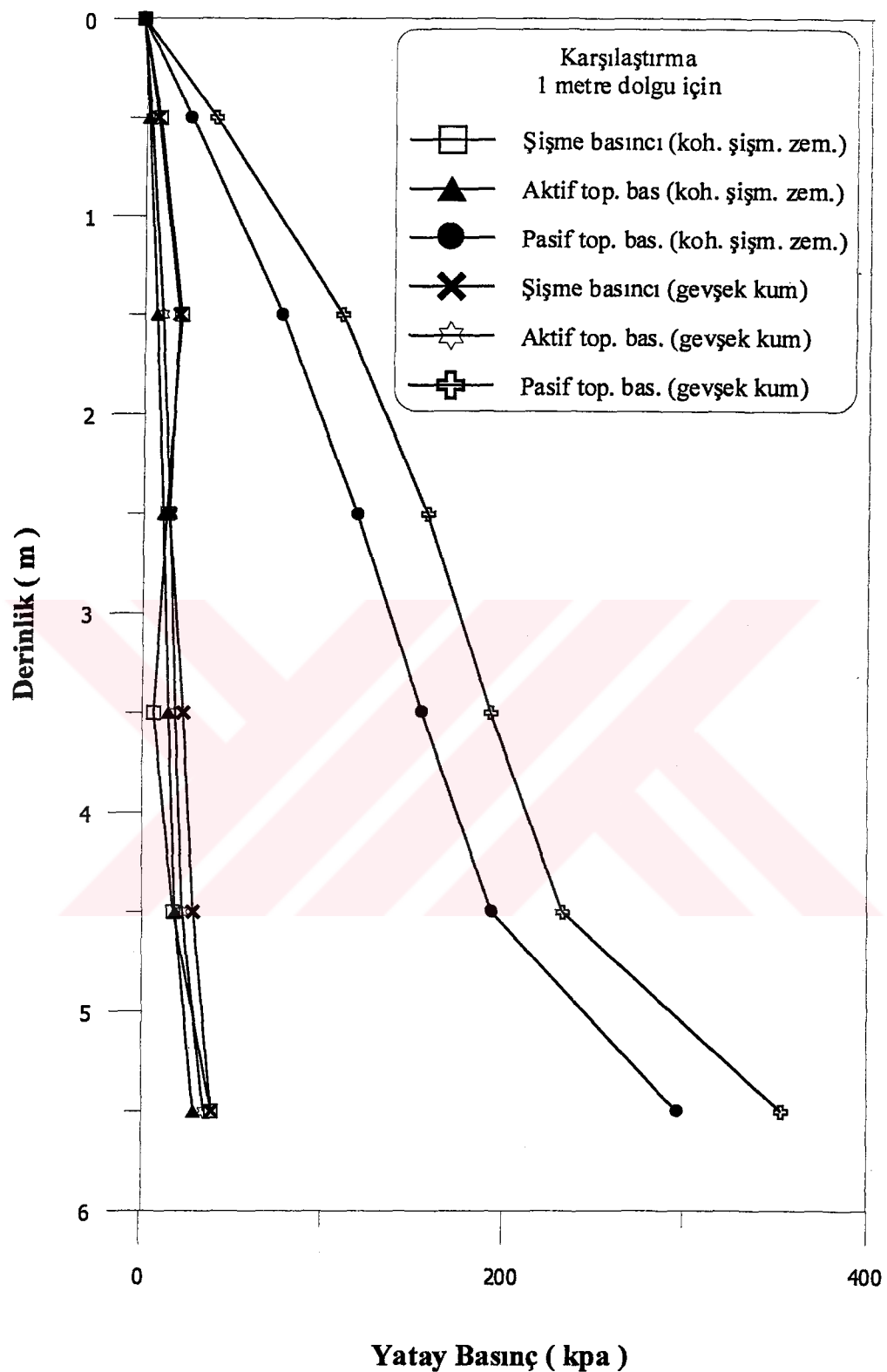
yapılmıştır. Beton malzeme ile çok iyi bir aderans sağlayarak bütün yük kademelerinde sürtünme gözlenmemiştir. Sürekli olarak yük almış ve yükün uygulandığı tarafta deformasyonlar olmuştur. Beton üzerinde kaymadan kendi içinde sıkışmış, yük kaldırıldığında ise hemen hemen eski haline geri dönmüştür. Dolayısı ile dolgu malzemesi olarak kullanılması halinde istinat duvarı ile arasında, sayısal modelimizde süreksızlığı tanımlamak için kullandığımız arakesit elemanın kullanılmasını gerektirmemektedir. İstinat duvarı ile arasındaki süreksızlık yüzeyinde çok iyi aderans sağladığı için LATEXP2D ile çözülmesi daha uygundur. Direkt kesme deneyinden elde edilen durum Şekil 54. de gösterilmektedir.



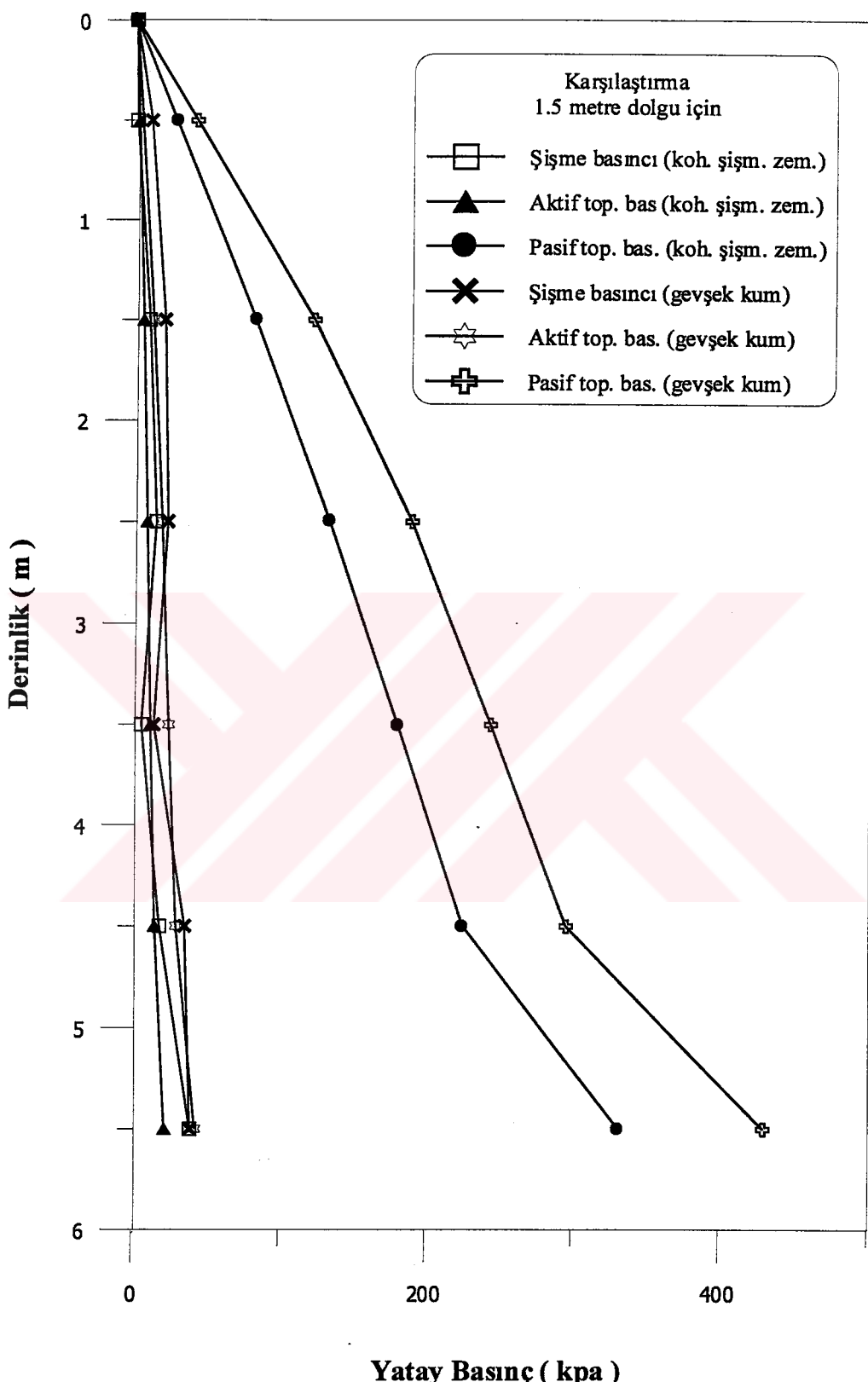
Şekil 54. EPS için direkt kesme deneyi (a) deneyden önce (b) deneyden sonra



Şekil 55. İstinate duvarı arkasında 0.5 metre kohezyonlu şişmeyen zemin ile gevşek kum dolgusu arasındaki basınç dağılımı farkları



Şekil 56. İstinat duvarı arkasında 1 metre kohezyonlu şısmeyen zemin ile gevşek kum dolgusu arasındaki basınç dağılımı farkları



Şekil 57. İstinat duvarı arkasında 1.5 metre kohezyonlu şismeyen zemin ile gevşek kum dolgusu arasındaki basınç dağılımı farkları

4. SONUÇLAR VE ÖNERİLER

Bu çalışmada, arakesit elemanlı sonlu elemanlar yöntemini kullanarak, şisen zeminlerdeki yatay şişme basınçlarını belirlemek için yeni bir sayısal model oluşturulmuştur. Sayısal modele SWELPRES adı verilmiştir. Programın akış diyagramı ve Fortran kodu EKLER kısmında verilmiştir. Bulgular ve tartışmalar kısmında ayrıntılı olarak açıklanan bilgilerin ışığında, bu çalışmanın sonunda aşağıdaki sonuçlara ulaşılmıştır.

- Sayısal modelden bulunan sonuçlarla, başka araştırmacılar tarafından laboratuvar şartlarında yapılan deneylerden bulunmuş sonuçlar ile arasında yeterince uyum vardır.
- Genelde sürekli yüzeylermiş gibi dikkate alınan zemin ve duvar arasındaki yüzey, sayısal modelde arakesit eleman kullanarak deneysel sonuçlara arakesit elemansız diğer sayısal modellere göre daha uygun sonuçlar vermiştir.
- Şisen zeminlerde dayanma yapılarına aktarılan yatay basıncın hesaplanması, zeminin elastisite modülü ile zemin emme gerilmelerinin önemi büyüktür.
- Geliştirilen program SWELPRES, zeminin elastisite modülü ve emme gerilmelerine karşı hassastır. Dolayısı ile bu değerler iyi belirlenmelidir.
- İncelenen dolgu modellerinde, istinat duvarları arkasında kohezyonlu şişmeyen zemine oranla gevşek kum zemin kullanılması istinat yapısına aktarılan basınçları azalttığı için kumlu zeminlerin dolgu olarak kullanılması tavsiye edilir.
- İstinat duvarı arkasında dolgu kalınlığı arttıkça istinat duvarına aktarılan yatay şişme basınçlarında azalmalar olmakta ve $0.5 H$ (H : istinat duvarı yüksekliği) dolgu kalınlığından sonra yatay şişme basınçları önemini kaybetmektedir.
- İstinat duvarı arkasına yerleştirilen dolgu, doğal zemin üzerine serilen dolguya oranla daha uygun sonuçlar vermiştir. Doğal zemin üzerine serilen dolgu derinliği boyunca

yatay şişme basınçlarında azalma olmaktadır. Dolgu kalınlığı emme gerilmesi aktif derinliğinden az ise dolgu kalınlığının altında aktif derinliğe kadar yatay şişme basıncı olacaktır. İstinat duvarı arkasına yerleştirilen dolgularda ise emme gerilmesi aktif derinliğine kadar yatay şişme basınçlarında azalma devam etmektedir. Ancak emme gerilmesi aktif derinliği yüzeye yakın ise yüzeye serilen dolgular daha ekonomik olabilir.

- Maksimum yatay şişme basınçlarının bilinmesi durumunda, istinat duvarı arkasında ne kadarlık bir dolgu yapılmasının uygun olabileceği Şekil 43.'de elde edilen eğriye benzer eğriler kullanılarak dolgu malzemesi özelliklerine bağlı olarak elde edildikten sonra belirlenebilir.
- İstinat duvarı arkasında doğal zemindeki yatay şişme basınçları derinlik boyunca pasif toprak basıncına kohezyonlu şismeyen zemin ve gevşek zemine oranla daha yakındır.
- Dolgu malzemesi olarak kullanmak üzere incelenen genleştirmiş polyester (EPS) sert köpük styropor ayrı bir inceleme konusu olabilir. Sürtünmeye karşı gösterdiği direnç farklıdır. Beton üzerinde rölatif hareket etmeyen EPS kendi içinde sıkışmakta ve elastik bir davranış göstermektedir. Normal yük ve kesme yükü kaldırıldığında eski haline hemen hemen geri dönmektedir.
- Bu çalışmanın devamı olarak, dayanma yapılarına gelen şişme basınçlarının EPS veya Geofam türü malzemeler kullanılarak azaltılması incelenebilir.
- Üçgen eleman tipinin dışında dörtgen veya prizmatik elemanlar da kullanılarak yine sonlu elemanlar metodu ile sayısal model oluşturularak karşılaştırılabilir.
- Diğer sayısal metodlar denenerek, sınır değer elemanlar metodu ve yapay sinir ağları gibi, karşılaştırmalar yapılabilir

5. KAYNAKLAR

Aitchison, G. D., and Richards, B. G., 1969, The Fundamental Mechanisms Involved in Heave and soil Moisture Movement and The Engineering Properties of Soils Which are Important in Such Movement, Proceedings, 2nd International Conference on Expansive Soils.

Aitchison, G. D., and Woodburn, J. A., 1969, Soil Suction in Foundation Design, Proceedings, 7th International Conference on soil Mechanics and Foundation Engineering, Vol. 2, pp. 1-9.

Andy, B.F., 1989, Laboratory Evaluation of Lateral Swelling Pressure, Journal of Geotechnical Engineering, ASCE, Vol.115, No.10, pp.1481-1486.

Aytekin, M., 1992, Finite Element Modeling of Lateral Swelling Pressures Behind Retaining Structures, PhD Thesis, Texas Tech University, Lubbock.

Aytekin, M., 1995, Zemin Emme Basıncı Zarflarının Belirlenmesi, Teknik Dergi, TMMOB İnşaat Mühendisleri Odası, Cilt6, Sayı 2, sayfa.937-945.

Aytekin, M., Şenol, A., 1998, Zeminlerde Su Muhtevası-Emme Gerilmesi İlişkisi, Zemin Mekanığı ve Temel Mühendisliği 7. Ulusal Kongresi Bildiriler Kitabı, Yıldız Teknik Üniversitesi, İstanbul, sayfa.210-215.

Aytekin, M., Şenol, A., 2000, Finite Element Modeling of Swelling Behaviour of Soils, Advances in Civil Engineering 4th International Conf., Turkish Republic of Northern Cyprus, Gazimağusa, Vol.3, pp.1353-1362.

Beer, G., 1985, Isoparametric Joint/Interface Element for Finite Element Analysis, Int. Journal for Numerical Methods in Engineering, Vol.21, pp.585-600.

Blight, G. E., 1967, Horizontal Stresses in Stiff and Fissured Lacustrine Clays, Proceedings, 5th European Conference of soil Mechanics and Foundation Engineering, Cape Town, South Africa, December, pp. 95-99.

Bolt, G.H., 1956, Physico-Chemical Analysis of The Compressibility of Pure Clays, Geotechnique, Vol.6, No.1, pp.86-93.

Bowles, J.E., 1997, Foundation Analysis and Design, McGraw-Hill Companies, Inc., New York.

Bowles, J.E., 1997, Foundation Analysis and Design, McGraw-Hill Companies, Inc., New York.

Brackely, I.J.A., 1980, Prediction of Soil Heave From Suction Measurements, 7th Regional Conf. for African SMFE, pp.159-166.

- Brackley, I. J. A., 1973, Swell Pressure and Free Swelling a Compacted Clay, Proceedings, 3rd International Conference on Expansive Soils, Vol. 1, Haifa, Israel, pp. 169-176
- Brackley, I.J.A., 1983, An Empirical Equation for The Prediction of Clay Heave, Proc. 7th Asian Reg. Conf. on SMFE, Vol.107, No.1, pp.8-14.
- Bratton, W.L., 1991, Slab-on-Ground Foundations Constructed Over Expansive Clay; Parameters to Predict Volume Change Potential, PhD. Dissertation, Texas Tech University, Lubbock.
- Brooker E.W., Ireland, H.O., 1965, Earth Pressure at Rest Related to Stress History, Canadian Geotechnical Journal, Vol.2, No.1, pp.1-15.
- Chen, F.H., 1975, Foundation on Expansive Soil, Elsevier, New York.
- Chen, F.H., 1988, Foundation on Expansive Soils, Elsevier Scientific Publishing CO., Amsterdam.
- Chen, F.N., 1983, Behaviour Soils Under Influence of Temperature Gradient, Research Report, Science of Architecture.
- Clayton, C.R.I., Symons, I.F., Hiedra-Cobo, J.C., 1991, The Pressure of Clay Backfill Against Retaining Structure, Canadian Geotechnical Journal, Vol.28, pp.282-297.
- Coduto, D.P., 1998, Geotechnical Engineering Principles and Practices, Prentice Hall, USA.
- Cooling, L. F., and Skempton, A.W., 1942, A Laboratory Study of London Clay, Journal of Institution of Civil Engineers, Vol.17, pp. 251-276.
- Croney, D., and Coleman, J. D., 1954, Soil Structure in Relation to Soil Suction (pF), Journal of Soil Science, Vol. 5, No. 1, pp. 75-84
- Crossley, R. W., and Beckwith, G. H., 1978, Subgrade Elastic Modulus for Arizona Pavements, Executive summary submitted to Arizona Department of Transportation, highways Division.
- Day, R.A., Potts, D.M., 1994, Zero Thickness Interface Elements-Numerical Stability and Application, Int. Journal For Numerical and Analytical Methods in geomechanics, Vol.18, pp.689-708.
- Day, R.W., 1991, Expansion of Compacted Gravelly Clay, Journal of Geotechnical Engineering ASCE, Vol.117, No.6, pp.968-972.
- Day, R.W., 1994, Swell-Shrinking Behaviour of Compacted Clay, Journal of Geotechnical Engineering ASCE, Vo.120, No.3.
- Dhowian, A.W., 1990, Simplified Heave Prediction Model for Expansive Shales, Geotechnical Testing Journal, Vol.13, No.4, pp.323-333.

Dhowian, A.W., Ruwaih, I.E., Youssef, A., Erol, A.O., 1984, Evaluation of Expansive Soils and Foundation Methodology in Kingdom of Saudi Arabia, Research Report SANCST, AT-5-88.

Dorn, W.S., and McCracken, D.D., 1972, Numerical Methods With Fortran IV Case Studies, John Wiley and Sons, New York

Duncan, J.M., Seed, R.B., 1986, Compaction-induced Earth Pressures under K_0 -Conditions, Journal of Geotechnical Engineering, ASCE, Vol.112, No.1, pp.1-21.

Edil, T.B., Motan, S.E., 1984, Laboratory Evaluation of Soil Suction Components, Geotechnical Testing Journal, GTJODJ, Vol.7, No.4, pp.173-181.

Erol, O., Ergun, U., 1994, Lateral swell pressures in expansive soils, XIII ICSMFE, New Delhi, India, pp. 1511-1514

Fredlund, D.G., Rahardjo, H., 1991, Stress State Variable Approach to the Prediction of Heave , International Workshop on Cornell University, Ithaca, New York.

Gibson, R.E., 1967, Some Results Concerning Displacements and Stress in a Non Homogeneous Elastic Half-Space, Geotechnique, Vol.17, No.1, pp.58-67.

Gillot, J.E., 1963, Clay in Engineering Geology, Elsevier, Amsterdam.

Goodman, R.E, 1976, Methods of Geological Engineering, West Publishing Company, New york, 1976.

Goodman, R.E., Taylor, R.L., Brekke, T., 1968, A Model for The Mechanics of Jointed Rock, J.SMFD, ASCE, NO.SM3, pp.94.

Grim, R.E., 1962, Applied Clay Minerology, McGraw Hill, New York.

Gudehus, G., 1977, Finite Elements in Geomechanics, John Wiley and Sons, New York.

Gunalan, K. N., 1986, Analysis of Industrial Floor Slabs-on-ground for Design Purposes, Ph.D. Dissertation, Departmant of Civil engineering, Texas Tech University, Lubbock, TX.

Hekimoğlu, S., 1996, Kil Zeminlerin Şişme Davranışının İncelenmesi, Osmangazi Üniversitesi Yüksek lisans Tezi.

Holtz, W.G., Gibbs, H.J., 1956, Engineering Properties of Expansive Clays, Transactions ASCE121, pp.641-663.

Jones, D.E., Hotz, W.G., 1973, Expansive Soils-The Hidden Disaster, Civil Enginnering, ASCE, pp.87-89.

Joshi, R. P., and Katti, R. K., 1980, Lateral Pressure Development Under Surcharges, Proceedings, 4th International Conference on Expansive Soils, Denver, CO, pp. 227-241

- Joshi, R.P., Katti, R.K., 1980, Lateral Pressure Development Under Surcharges, Proc. 4th. Int. Conf. on Expansive Soils, Denver, CO, pp.227-241.
- K.L.A.Ng., Small, C., 1997, Behaviour of Joints and Interfaces Subjected to Water Pressure, Elsevier, Computer and Geotechnics, Vol.20, No.1, pp.71-93.
- Kandemir, A.Ö., Erol, O., 1996, Emme Basıncı-Şişme Parametreleri İlişkileri, Zemin Mekanığı ve Temel Mühendisliği 6. Ulusal Kongresi, Dokuz Eylül Üniversitesi, İzmir, sayfa.98-100.
- Katti, R. D., and Katti, R. K., 1987, Studies on Passive Resistance Devolopment in Saturated Expansive Soil, Proceedins, 6th International Conference on Expansive Soils, New Delhi, India, Vol. 1, pp. 61-66.
- Katti, R. K., Bhangle, E. S., and Moza, K. K., 1983, Lateral Pressure of Expansive Soil With and Without a Cohesive Non-swelling Soil Layer- Applications to Earth Pressures of Cross Drainage Structures of Canals and Key Walls of Dams, Central Board of Irrigation and Power, Technical Report No.32, New Delhi, India.
- Keskin, S.N., 1993, İstanbul Neojen Kilinin Şişme Davranışlarına Önkonsolidasyonun , Minerolojik Özelliklerinin ve Çevresel Faktörlerin Etkisi, İTÜ Doktora Tezi.
- Komornik, A., David, D., 1969, Prediction of Swelling Potential of Clays, Proc. ASCE, JSMFD, Vol.95, SM.1, pp.209-225.
- Komornik, A., David, D., 1969, Prediction of Swelling Pressure of Clays, Journal of the Soil mechanics and Foundation Engineeringh Div. ASCE, Vol.95, No.SM1, pp.209-225.
- Komornik, A., and Livneh, M., 1968, The Effect of Anisotropy on Swelling of a Compacted Clay, Proceedings, 3rd Asian Regional Conference on soil Mechanics and Foundation Enghineering, Vol. 2, pp. 181-185.
- Komornik, A., and Zeithlen, J. G., 1970, Laboratory Determination of Lateral and Vertical Stresses of Compacted Swelling Clay, Journal of Materials, vol. 5, No. 1, March, pp. 108-128.
- Krahn, J., Fredlund, D.G., 1972, Total Matric and Osmotic Suction, J. Soil SCI, Vol.114, No.5, pp.339-348.
- Krumbein, W.C., Sloss, L.L., 1963, Stratigraphy and Sedimentation, Department of Geology, North Western University.
- Kumbasar V., Kip, F., 1984, İnşaat Mühendisliğinde Zemin Mekanığı, Çağlayan Kitapevi, İstanbul
- Lambe, T.W., Whitman, R.V., 1969, Soil Mechanics, John Wiley and Sons, New York.

- Lee, H.C., Wray, W.K. 1995, Techniques to Evaluate Soil Suction-a Vital Unsaturated Soil Water Variable, Proc. of the First Cong. On Unsaturated Soils, Paris, pp.615-622.
- Lucas, R. G., and Bussey, B. L., 1976, Pressuremeter and Laboratory test correlations for Clays, proceeding of ASCE, Journal of the Geotechnical Engineering Division, No. GT9, Vol. 102, pp. 945-962.
- McKeen, R. G., and Hamberg, D. J., 1981, Characterization of Expansive Soils, Transportation Research Record No. 790, Transportation Research Board, Washington D. C., pp. 73-78.
- Millot, G., 1970, Geology of Clays, Masson et Cie, Paris.
- Moore, D.M., Reynolds, R.C.Jr., 1989, X-Ray Diffraction and The Identification and Analysis of Clay Minerals, Oxford University Press.
- Nagaraj, T.S., Srinivasamurthy, B.R., 1983, An Approach for Prediction of Swelling Soil Behaviour, Proc. 7th Asian Reg. Conf. on Smfe, Haifa, Isreal, Vol.1, pp.52-55.
- Nayak, V., Christensen, R.W., 1971, Swelling Characteristics of Compacted Expansive Soils, Clays and Clay Minerals, Vol.19, No.19, pp.251-261.
- Önalp, A., 1997, Geoteknik Bilgisi I Zeminler ve Mekanığı, Sakarya Üniversitesi, Yayın No: 27.
- Packshow, S., 1946, Earth Pressure and Earth Resistance, Journal. I.C.E., pp.233.
- Paige-Green, P., 1980, The Clay Mineralogy of Dwyka Tillite in Southern Africa and Its Effect on The Geotechnical Properties, Nat. Inst. For Transport and Road Res. CSIR, Pretoria and Trans. Geol. Soc. S.A, Vol.83, pp.291-296.
- Park, S-wan., Lytton, R.L., Button, J.W., 1998, Identifying The Cause of Swelling Soils Using Soil Suctions, The 77th Annual Meeting transportation Research Board, Washington, D.C., No.980579.
- Pufahl, D.E., Fredlund, D.G., Rahardjo, H., 1983, Lateral Earth Pressure in Expansive Clay Soils, Canadian Geotechnical Journal, Vol.20, No.2, pp.228-241.
- Russam, K., and Coleman, J. D., 1961, The Effect of Climatic Factors on Subgrade Moisture Conditions, Geotechnique, Vol. 2, No. 1, pp. 22-28.
- Saito, T., and Yanai, k., 1969, some Swelling Characteristics of Compacted Soils, Transactions, Japanese Society of Civil Engineers, Vol. 1, Part 2, pp. 397-404.
- Satyanarayana, B., 1969, Behavior of Expansive Soil Treated or Cushioned With Sand, Proceedings, 2nd International Conference on Expansive Clay Soils, Texas A&M University, College Station, TX, pp. 308-316.

Schmertmann, J. H., 1970, Static Cone to Compute Static Settlement Over Sand, Proceedings, Journal of Soil Mechanics and Foundations, ASCE, Vol. 96, pp. 1011.

Schofield, R.K., 1935, The pF of The Water in Soil, Transaction 3rd Int. Cong. Of Soil Science, pp.37-48.

Schreiner, H.D., 1987, State of The Art Review on Expansive Soils, Transported and Road Research Laboratory Report, Ministry of Transport Crowfthorne Berkshire, England.

Seed, H.B., Woodward, R.J., Lungren, R., 1962, Prediction of Swelling Potential for Compacted Clays, Journal of Soil Mechanicis and Foundation Division, ASCE, Vol.88, pp.35-41

Sherif, M.A., Ishibashi, I., 1982, Swell of Wyoming Montmorillonite and Sand Mixtures, Journal of Geotechnical Engineering, ASCE, Vol.108, No.GT1, pp.33-45.

Simons, N., 1957, Settlement Studies on Two Structures in Norway, Proceedings, 4th international conference on Soil Mechanicis and Foundation Engineering, London, pp.431.

Skempton, A.W., 1961, Horizontal Stresses in an Over Consilidated Eocene Clay, Proc. 5th Int. Conf. on Soil Mechanics and Foundation Engineering, Paris, France, Vol.1, pp.351-357.

Skempton, A.W., Henkel, D.J., 1957, Tests on London Clay from Deep Borings at Paddington, Victoria and South Bank, Proc. 4th Int. Conf. on Soil Mechanics and Foundation Engineering, London.

Skempton, A.W., Henkel, D.J., 1957, Tests on London Clay from Deep Borings at Paddington, Victoria and South Bank, Proc. 4th Int. Conf. on Soil Mechanics and Foundation Engineering, London.

Snethen, D.R., 1979, Technical Guidelines for Expansive Soils in Highway Subgrades, FWHA-RD-79-51, Federal Highway Administration, Washington D.C.

Snethen, D.R., 1980, Characterization of Expansive Soils Using Soil Suction Data, Proceedings of the 4th Int. Conf. on Expansive Soils, Denver, Vol.1, pp.54-75.

Snethen, D.R., 1984, Evaluation of Expedient Methods for Identifacation on Classification of Potentially Expansive Soils, Proc. 5th Int. Conf. on Expansive Soils, Adelaide, pp.2226.

Sowers, G.B., Sowers, G.F., 1970, Introductory Soil Mechanics and Foundations, Macmillan Publishing CO., New York.

Sudhindra, C., Moza, K.K., 1987, An Approach for Lateral Pressure Assesment in Expansive Soils, Proc. 6th Int. Conf. of Expansive Soils, New Delhi, India, Vol.1, pp.67-70

Sullivan, R.A., McCleland, B., 1969, Predicting Heave of Buildings on Unsaturated Clay, Colage Station, Texas, pp.404-420.

- Tuncan, A., 1995, Bazı Kil Minerallerinin Fizikokimyasal Özelliklerinin Laboratuvara Tayini, VII.Uluslararası Kil Sempozyumu, Ankara, pp.187-200.
- Van Der Merwe, D.H., 1964, The Prediction of Heave from The Plasticity Index and Percentage Clay Friction, Trans SAICE, Vol6, No.5, pp.103-107.
- Vijayvergiya, U.N., Ghazzaly, O.I., 1973, Prediction of Swelling Potential for Natural Clays, Proc. 3rd Conf. on Expansive Soils, Haifa, Israel, Vol.1, pp.227-236.
- Wayne, A.C., Osman, M.A., Elfatih, M.A., 1984, Construction on Expansive Soils in Sudan, Journal of Construction Engineering and Management, ASCE, Vol.110, No.3, pp.359-379.
- White, R.E., 1979, Introduction to The Principles and Practice of Soil Science, John Wiley and Sons, New York.
- Wray, W. K., 1987a, A study of lateral pressure on basement walls due to swelling soils, Department of the Army US Army Corps of Engineers, Washington, D.C.
- Wray, W. K., 1989, Mitigation of damage to structures supported on expansive soils, Final Report, NSF Critical Engineering systems Natural and Man-Made Hazard Mitigation, Washington, D.C., Vol.1, pp.249-271
- Wray, W. K., 1992, Comparison of predicted heave to field measurements, poceedings, 6th international conference of expansive soils, New Delhi, India, December, pp.235-240
- Wray, W. K., 1995, So Your Home Is Built on Expansive Soils: A Discussion of How Expansive Soils Affect Buildings. New York, NY: American Society of Civil Engineers.
- Xin, J.Z., Ling, Q.X., 1997, A New Method for Calculating Lateral Swelling Pressure in Expansive Soils, Proc. 7th Int. Conf. on Expansive Soils, Dallas, Vol.1, pp.233-238.
- Yıldırım, H., Keskin, S.N., Çimen, Ö., Kara, H.B., 1999, Zeminlerde Farklı Başlangıç Kuru Birim Hacim Ağırlık-Emme Kapasitesi- Şişme Basıncı ilişkisi, X. Mühendislik Sempozyumu, Süleyman Demirel Üniversitesi, Isparta.
- Zienkiewicz, O.C., 1971, The Finite Element Method in Engineering Science, McGraw-Hill , Inc., New York.

6. EKLER

EK - 1

SWELPRES PROGRAMININ LİSTESİ


```

C   *          (ARAKESİT ELEMAN ÖZELLİKLERİ HESAPLARKEN DE      *
C   *          KULLANILMIŞTIR)                                *
C   *          RO      = FARKLI MALZEME TİPLERİNİN KÜTLE YOĞUNLUK VEKTÖRÜ *
C   *          G       = YERÇEKİMİ AKTİF DEĞİL İSE SIFIR (0)        *
C   *          = YERÇEKİMİ AKTİF İSE BİR (1)                      *
C   *          KJS      = ARAKESİT ELE. KESME DOĞRUL. RİJİTLİK VEKTÖRÜ *
C   *          KJN      = ARAKESİT ELE. NORMAL DOĞRUL. RİJİTLİK VEKTÖRÜ *
C   *          KJSNU    = YENİ ARAKESİT ELEMAN KESME DOĞRUL. RİJİTLİĞİ *
C   *          KJNNU    = YENİ ARAKESİT ELEMAN NORMAL DOĞRUL. RİJİTLİĞİ *
C   *          ITER1    = İLK İTERASYON NUMARASI                  *
C   *          ITERS    = SON İTERASYON NUMARASI                  *
C   *          DNSAY    = DÜĞÜM NOKTALARI SAYISI                  *
C   *          ELSAY    = ELEMAN SAYISI                         *
C   *          SDSAY    = DÜĞÜM NOKTASI SINIR DEĞERİ SAYISI      *
C   *          RETS     = RİJİT KATI) ELEMAN TİPİ SAYISI      *
C   *          ARETS    = ARAKESİT ELEMAN TİPİ SAYISI      *
C   *          ITER     = İTERASYON SAYISI                   *
C   *          YIVM    = YERÇEKİMİNDEN DOĞAN İVME            *
C   *          ACCEL    = YERÇEKİMİNDEN OLМАYAN İVME --- G      *
C   *          NUM      = SINIR ŞARLARINDAKİ DÜĞÜM NOKTALARI VEKTÖRÜ *
C   *          HEAD     = 1.0 KATI ELEMAN YASS'NİN ÜSTÜNDE      *
C   *          = 0.0 KATI ELEMAN YASS'NİN ALTINDA             *
C
C*****                                                 *
C

```

COMMON /ELMOZ/ ES(900), EN(900), GSN(900), PRSN(900), PRST(900),
 *SCI(900)

COMMON /EMMEGER/ SUCI(900), SUCF(900)

COMMON /MESH/ X(900), Y(900), R(900), U(900), KS(1800,1800),
 1 EDNM(1500,4), ARGEM(1500,3), BAGEM(1500,3), MTIPI(900),
 2 DNSAY, ELSAY, RETS, NFREE
 REAL*8 KS

DIMENSION B(900), SCRTCH(3000)

COMMON/KJRV/KJS(900), KJN(900), KJSNU(900), KJNNU(900), ITER1, ITERS, IT
 REAL KJS, KJN, KJSNU, KJNNU

COMMON /SINIR/NUM(900), SINIR(900), SDSAY

COMMON /EE/ E(3,3)

COMMON /ACXY/RO(1500), ACELX, ACELY, NRES, INTER, C(3,3,1500)

DIMENSION IDAT(13), ICARD(9), T(3,3), H(3,6),
 1 RXY(2,1500), UXY(2,1500), CJ(9,1500)

EQUIVALENCE (R(1),RXY(1,1)),(U(1),UXY(1,1)),(CJ(1,1),C(1,1,1))
 CHARACTER*20 INPUT,OUTPUT

COo-----OOo-----O-----oOO-----0000
 WRITE(*,*)'*****' *'
 WRITE(*,*)'*' *'
 WRITE(*,*)'*' *'
 WRITE(*,*)'*' *'
 WRITE(*,*)'*' *'
 SWELPRES *'
 PROGRAMINA HOS GELDINIZ *'

COo-----OOo-----O-----oOO-----0000

C BAŞLIK KARTINI OKU VE YAZ
C
READ (5,1000) ICARD
WRITE (6,2000) ICARD
C
C TEMEL KONTROL VERİLERİNİ OKU VE YAZ
C
READ(5,1001)DNSAY,EL SAY,SD SAY,RE TS,ARE TS,ITER1,ITER,G,YIV M
IF(ITER1.EQ.0) ITER1 = 1
WRITE(6,2001)DNSAY,EL SAY,SD SAY,RE TS,ARE TS,ITER1,ITER,G,YIV M
ITERS=ITER1+ITER-1
C
C BAZI BAŞLANGIÇ DEĞERLERİ
C
NTOT= RETS+ARETS
NRES=0
LBAD=0
INTER=1
PI=ATAN(1.0)*4.0
C
C BASLAMADAN ÖNCE BAZI DİZİNLERİN BASLANGIC DEĞERLERİ

```

C
NFREE =DNSAY+DNSAY
DO 1 I=1,200
R(I)=0.0
U(I)=0.0
1 CONTINUE
DO 2 I=1,EL SAY
KJS(I )=0.0
KJN(I )=0.0
KJNNU(I )=0.0
KJSNU(I ) =0.0
DO 2 J=1,3
ARGEM(I,J)=0.0
BAGEM(I,J)=0.0
2 CONTINUE
DIR=DIR*PI/180.
ACELX=ACCEL*COS(DIR) *YIVM

C
C YERÇEKİMİ VAR İSE G=1.0 YERÇEKİMİ YOK İSE G=0.0 OLMALIDIR
C
ACELY= (-G+ACCEL*SIN(DIR))*YIVM
C
C VERİ KARTINI OKU
C
100 READ(5,1000)ICARD
C
C VERİLERİN BELİRLENMESİ
C
DO 130 I=1,13
IF(ICARD(1).EQ.IDAT(I)) GO TO 150
130 CONTINUE
WRITE(6,2002) ICARD
LBAD=LBAD+1
GO TO 100
150 GO TO (10,20,30,40,50,60,70,80,700,95,5,600,650),I
C
C
5 INTER=1
GO TO 100
C
C DÜĞÜM NOKTALARI BİLGİLERİİNİ OKU
C
10 L=0
11 READ(5,1007) N,X(N),Y(N),RXY(1,N),RXY(2,N),SUCI(N),SUCF(N)
C
C BASIT DÜĞÜM NOKTASI OLUSTURMA VE HATA ARASTIRMASI
C
IF (L.EQ.0 ) GO TO 12
ZX=N-L
DY=(Y(N)-Y(L))/ZX
DX=(X(N)-X(L))/ZX
12   L=L+1
IF(N-L)15,14,13
13   X(L)=X(L-1)+DX
Y(L)=Y(L-1)+DY
GOTO 12
14   IF(DNSAY-N)15,16,11
C

```

```

C      DÜĞÜM NOKTALARI BİLGİLERİNDE HATA VAR İSE --- HATA MESAJINI YAZ
C
C      15    WRITE (6,2004)N
          LBAD=LBAD+1
          IF (N.LT.DNSAY) GO TO 11
C
C      ÇIKTIYA DÜĞÜM NOKTASI BİLGİLERİNİ YAZ
C
C      16 WRITE (6,2003)
          WRITE (6,2222) (K,X(K),Y(K),RXY(1,K),RXY(2,K),
          &SUCI(K),SUCF(K),K=1,DNSAY)
          WRITE (6,*)
          GO TO 100
C
C      ELEMAN BİLGİLERİ - MALZEME TİPİ VE DÜĞÜM NOKTALARI
C
C      20    N=0
C      21    READ(5,1005) K,MAT,(EDNM(K,I),I=1,4)
C
C      BASIT DÜĞÜM NOKTASI OLUŞTURMA VE HATA ARAŞTIRMASI
C
C      MTIPI(K)=MAT
          IF (MAT.GT.NTOT ) GO TO 27
C      22    N=N+1
          IF (K-N)27,26,23
C      23    N1=N-1
          MAT=MTIPI(N1)
          MTIPI(N)=MAT
          EDNM(N,1)=EDNM(N1,1)+1
          EDNM(N,2)=EDNM(N1,2)+1
          EDNM(N,3)=EDNM(N1,3)+1
          IF(MAT.GT.RETS) GO TO 24
          EDNM(N,4)=0
          GO TO 25
C      24    EDNM(N,4)=EDNM(N1,4) +1
C      25    IF(K-N)27,26,22
C      26    IF(ELSAY-N)27,29,21
C
C      ELEMAN BİLGİLERİNDE HATA VAR İSE --HATA MESAJI YAZ
C
C      27    WRITE( 6,2007) K
          LBAD=LBAD+ 1
          IF(K.LT.ELSAY) GO TO 21
C
C      ÇIKTIYA ELEMAN BİLGİLERİNİ YAZ
C
C      29 WRITE(6,2006)
          WRITE (6,2223) (K,MTIPI(K),(EDNM(K,I),I=1,4),K=1,ELSAY)
          WRITE (6,*)
          GO TO 100
C
C      HİDROLİK BİLGİLERİ OKU
C
C      30    L=0
C      31    READ(5,1004)N,HEAD,DHDX,DHDY

          GW=YIVM*HEAD*RW
          UXY(1,N)=DHDX*GW
          UXY(2,N)=(DHDY-1.0)*GW

```

```

C      VERİ BİLGİLERİNİ KONTROL ET, EKSİK VARSA -- HATA MESAJI YAZ
C
 32    L=L+1
        IF(N-L) 35, 34, 33
 33    L1=L-1
        UXY(1,L) =UXY( 1,L1 )
        UXY(2,L) =UXY( 2,L1 )
        GOTO 32
 34    IF(ELSAY-N) 35, 36, 31
C
C      HİDROLİK EĞİM BİLGİLERİNDE HATA VARSA ---HATA MESAJI YAZ
C
 35    WRITE(6,2010 ) N
        LBAD=LBAD+ 1
        IF(N.LT.ELSAY) GO TO 31
 36    WRITE(6,2009) (K,UXY(1,K),UXY(2,K),K=1,ELSAY)
        GO TO 100
C
C      ARTIK GERİLMELERİ OKU
C
 40    NRES=1
        L=0
 41    READ(5,1004) N,ARGEM(N,1),ARGEM(N,2),ARGEM(N,3)
C
C      KAYBOLMUŞ VERİLERİ OLUŞTUR VE SONRA HATALARI KONTROL ET
C
 42    L=L+1
        IF(N-L) 45, 44, 43
 43    L1=L-1
        ARGEM(L,1)=ARGEM(L1,1)
        ARGEM(L,2)=ARGEM(L1,2)
        ARGEM(L,3)=ARGEM(L1,3)
        GOTO 42
 44    IF(ELSAY -N) 45, 46, 41
C
C      ARTIK GERİLMELER LİSTESİ HATALI İSE - HATA MESAJI YAZ
C
 45    WRITE(6,2013) N
        LBAD=LBAD+ 1
        IF(N.LT.ELSAY) GO TO 41
C
C      ÇIKTIYA ARTIK GERİLME VERİLERİNİ YAZ
C
 46    WRITE(6,2012)
        WRITE(6,2224) (K,ARGEM(K,1),ARGEM(K,2),ARGEM(K,3),K=1,ELSAY)
        WRITE(6,*)
        GO TO 100
C
C      SINIRLANDIRILMIŞ DÜĞÜM NOKTALARI LİSTESİ OKU VE YAZ
C
 50    READ(5,*) (NUM(K),SINIR(K),K=1,SDSAY)
        WRITE(6,2015)
        WRITE(6,2225) (NUM(K),SINIR(K),K=1,SDSAY)
        GO TO 100
C
C      KATI (ZEMİN) ELEMAN ÖZELLİKLERİNİ OKU VE YAZ
C
 60    WRITE(6,2017)

```

```

DO 69 K=1,RETS
  READ(5,1006)mot,MAT,RO(MAT),ES(K),EN(K),GSN(K),
  1PRSN(K),PRST(K),ALPHA,SCI(k)
  WRITE(6,1066)mot,MAT,RO(MAT),ES(K),EN(K),GSN(K),
  1PRSN(K),PRST(K),ALPHA,SCI(k)

C
C   LOKAL KOORDİNALarda GERİLME--ŞEKİL DEĞİŞTİRME MATRİSİ
C
  RAT=EN(K)/ES(K)
  CONST=1.0/((1.0+PRST(K))*(1.0-PRST(K)-2.0*RAT*PRSN(K)*PRSN(K)))
  E(1,1)=(ES(K)-EN(K)*PRSN(K)*PRSN(K))*CONST
  E(2,1)=EN(K)*PRSN(K)*(1.0+PRST(K))*CONST
  E(3,1)=0.0
  E(1,2)=E(2,1)
  E(2,2)=EN(K)*(1.0-PRST(K)*PRST(K))*CONST
  E(3,2)=0.0
  E(1,3)=0.0
  E(2,3)=0.0
  E(3,3)=GSN(K)

  IF (INTER.EQ.0)WRITE(6,999)((E(J,L),L=1,3),J=1,3)
999 FORMAT(55H LOKAL KOORDİNALarda GERİLME-ŞEKİL DEĞİŞTİRME MATRİSİ/
1           (5X,3E15.5) )

C
C   TRANSFORMASYON MATRİSİ
C
  ALPHA= ALPHA*PI/180.0
  COSA=COS(ALPHA)
  SINASIN(ALPHA)
  T(1,1)=COSA*COSA
  T(2,1)=SINA*SINA
  T(3,1)=-2.0*SINA*COSA
  T(1,2)=T(2,1)
  T(2,2)=T(1,1)
  T(3,2)=-T(3,1)
  T(1,3)=SINA*COSA
  T(2,3)=-T(1,3)
  T(3,3)=T(1,1)-T(2,1)

C
  IF( INTER .EQ. 0)  WRITE (6,998) ((T(J,L),L=1,3),J=1,3)
998 FORMAT(24H TRANSFORMASYON MATRİSİ/(5X,3E15.5))

DO 66 N=1,3
DO 66 J=1,3
  H( J,N)=0.0
  DO 66 L=1,3
    H(J,N)=H(J,N)+E(J,L)*T(L,N)
66  CONTINUE
DO 67 N=1,3
DO 67 J=1,3
  C(J,N,MAT)=0.0
  DO 67 L=1,3
    C(J,N,MAT)=C(J,N,MAT)+T(L,J)*H(L,N)
67  CONTINUE

C
  IF(INTER.EQ.0)WRITE (6,997)((C(J,N,MAT),N=1,3),J=1,3)
997 FORMAT(55H GLOBAL KOORDİNALarda GERİLME-ŞEKİL DEĞİŞTİRME MATRİSİ/
1           (5X,3E15.5))
C

```

```

C HATALARI KONTROL ET
C
C     IF( RETS.GE.MAT ) GO TO 69
C     WRITE(6,2019)
C         LBAD=LBAD+1
69    CONTINUE
C         GO TO 100
C
C     ARAKESIT ÖZELLİKLERİ OKU VE C'YE DEPOLA
C
70    WRITE (6,2020 )
NTOT=RETS+ ARETS
DO 75 J=1,ARETS
READ(5,1004)MAT, (CJ(K,MAT),K=1,8)
CJ(1,MAT)==ABS(CJ(1,MAT))
CJ(2,MAT)= ABS(CJ(2,MAT))
CJ(5,MAT)= ABS(CJ(5,MAT))
CJ(6,MAT)==ABS(CJ(6,MAT))
WRITE(6,2021)MAT, (CJ(K,MAT),K=1,8)
C
C     HATALARI KONTROL ET
C
C     IF(NTOT.GE.MAT)GO TO 75
C     WRITE(6,2022 )
C         LBAD=LBAD+1
75    CONTINUE

C     IF(ITER1.GT.1)READ(7)KJS,KJN
C     GO TO 100
C
C     VERİ GİRİŞİ TAMAM - İŞLEM HATASIZ
C
C
80    IF(LBAD.EQ.0)GO TO 300
C
C     HATA BULUNDU - HATA YAZ
C
C     WRITE (6,2023)
C     STOP
C
C     BANT7' DEN İTİBAREN VERİLERİN OKUNMASINA TEKRAR BAŞLAR
C
95    READ(7)C,X,Y,R,U,KS,NUM,EDNM,ARGEM,BAGEM,MTIPI,SINIR,KJS,KJN
C     GO TO 375
C
C     KATILIK MATRİSİNİN TOPLANMASI İÇİN ALT PROGRAM "SKT" İ ÇAĞIR
C     SKT = SİSTEM KATILIK MATRİSİ
C
300    CALL SKT
C
C     KATILIK MATRİSİNİN TERSİNİ ALMAK İÇİN FORTRAN ALT PROGRAM KÜTÜPHANESİNI
C     KULLAN
C     NFREE : KATILIK MATRİSİNİN BOYUTU
C     ÇOK GENİŞ PROGRAMLarda, KATILIK MATRİSİ "NARROW BANDED" OLMALIDIR
C
C     IF(INTER.NE.0 ) GO TO 350
C     WRITE (6,996)
996    FORMAT (34H YÜK VEKTÖRÜ VE KATILIK MATRİSİ )
C     DO 995 I=1,NFREE
C         WRITE(6,994) (KS(I,J),J=1,NFREE)

```

```

994      FORMAT (2X,14E12.4)
995      CONTINUE
      WRITE(6,994) (R(I),I=1,NFREE)

C
350      CALL INVERS(KS,8,1,NFREE,1800,-1.0,D2,SCRTCH,IER)
C
C      KS : KATILIK MATRİSİNİN TERSİ
C
C
      IF(INTER.NE.0)GO TO 359

      WRITE ( 6,993)
993      FORMAT( 29H KATILIK MATRISININ TERSI )
      DO 992 I=1,NFREE
992      WRITE(6,994) ( ks(I,J) ,J=1,NFREE )

      WRITE(6,*)
      WRITE(6,*)
      WRITE(6,*)

C      BAŞLAMADAN ÖNCE ARTIK GERİLMELERİ BAŞLANGIÇ GERİLMESİ OLARAK
YERLEŞTİR
C
359      DO 360 M=1,ELSAY
      BAGEM(M, 1)=ARGEM(M, 1)
      BAGEM(M, 2)=ARGEM(M, 2)
      BAGEM(M, 3)=ARGEM(M, 3)
360      CONTINUE
C      BAŞLANGIÇ ŞEKİLDEĞİŞTİRMELERİNİ SIFIR (0) OLARAK YERLEŞTİR
C
      DO 370 J=1,NFREE
      U(J) =0.0

370      CONTINUE
C      İLK İTERASYONU YAP
C
      WRITE(*,*)"-----hesaplama baslamistir :-) ....."
      WRITE(*,*)"-----"

375      DO 500 IT=ITER1, ITERS
      WRITE (*,*)"Iterasyon No. ",IT
      WRITE (6,2026 )IT
C
C      YER DEĞİŞTİRMELER HESAPLANIR - HERBİR İTERASYON YENİ BİR ARTIŞ
VERİR
C      YERDEĞİŞTİRME VEKTÖRÜ (U) = U + KS*LOAD VEKTOR
C

      DO 400 J=1,NFREE
      DO 400 K=1,NFREE
      U(J)=U(J)+KS(J,K)*R(K)
400      CONTINUE

C
C      DÜĞÜM NOKTASI YER DEĞİŞTİRMELERİNİ ÇIKTIYA YAZ
C
      WRITE(6,2024)

```

```

        WRITE(6,2226)(J,UXY(1,J),UXY(2,J),J=1,DNSAY)

C      ARTAN YÜKLER İÇİN YÜK VEKTÖRÜNÜ SIFIRLA
C
C      DO 450 J=1,NFREE
C          R(J)=0.0
C      450  CONTINUE
C      KATI (ZEMİN) ELEMAN GERİLMELERİNİ HESAPLAMAK İÇİN ALT PROGRAM
C      "GERİLMELER"'İ ÇAĞIR
C
C      CALL GERİLMELER
C
C      IF(ARETS.GT.0 )CALL DONGU
C
C      500  CONTINUE
C
C      GO TO 100
C
C      600  WRITE (7) KJSNU, KJNNU
C          GO TO 700

650 WRITE(7)C,X,Y,R,U,KS,NUM,EDNM,ARGEM,BAGEM,MTIPI,SINIR,KJS,KJN
C
C      700  STOP
C
C      GİRİŞ FORMAT BİLGİLERİ
C      51 FORMAT(A20)
C      1000 FORMAT(9A8)
C      1001 FORMAT(7I5/2F10.0)
C      1004 FORMAT(I5,7F10.3,F5.1)
C      1005 FORMAT(6I5)
C      1006 FORMAT(2I5,8F10.3)
C      1007 FORMAT(I5,6F10.3)
C      1066 FORMAT(2X,I5,5X,I5,3X,3F12.3,1X,5F12.3)
C
C      ÇIKTI FORMAT BİLGİLERİ
C
C      2000 FORMAT ( 1H ,10X,9A8)
C      2001 FORMAT ( 40H DÜĞÜM NOKTALARI SAYISI.....,I3 /
C                  1      40H ELEMAN SAYISI.....,I3 /
C                  2      40H SINIRLAN.DÜĞÜM. NOK. SAYISI.....,I3 /
C                  3      40H KATI MATERYAL SAYISI.....,I3 /
C                  4      40H ARAKESİT TİPİ SAYISI.....,I3 /
C                  +      40H İLK İTERASYON SAYISI.....,I3 /
C                  5      40H İTERASYONLARIN SAYISI.....,I3 /
C                  6      40H YERCEKIMI - VAR/YOK.....,F4.0/
C                  7      40H YERCEKIMI IVMESİ.....,E12.4/
C                  8      40H STATİK IVME.....,E12.4/
C                  9      40H YERCEKIMI DOGRULTUSU.....,E12.4/
C                  A      40H SUYUN BİRİM HACIM AĞIRLIĞI.....,F12.4)
C      2002 FORMAT ( 30H VERİ LİSTESİNDEN HATA VAR 9A8 )
C      2003 FORMAT(
C          1// '-DÜĞÜM NOKTALARI KOORDİNATI, YÜKLER VE EMME BASINÇLARI',//,
C          2 '   ELEMAN      X-          Y-          X-          Y-
C          3BAŞ.EMME    SON EMME.',//,
C          4 '   NUM.       KOORD.      KOORD.    (YÜKÜ)      (YÜKÜ)
C          5 GERİLMESİ GERİLMESİ '//,
C          6 '   --        (M)         (M)         (Kg)        (Kg)
C          7(pF)      (pF)'//)

```

```

2222 FORMAT ((I7,2F12.2,2E12.4,2X,2F12.2))
2004 FORMAT (19H HATALI VERİ - EDNME15 )
2006 FORMAT(
1/' -ELEMAN TIPI VE DÜĞÜM NUMARALARI'/
2   /' ELEMAN      MATER.      1.DÜĞÜM     2.DÜĞÜM     3.DÜĞÜM
34.DÜĞÜM'
4   /'      NUM.      TIPI      NOK.      NOK.      NOK.
5 NOK.'/)
2223 FORMAT ((I7,I10,1X,4I11))
2007 FORMAT (22H HATALI VERİ - ELEMAN I5 )
2009 FORMAT (1H 2(2X,7HELEMAN 7X,5HDP/DX6X,10HDP/DY DR P)/
1           ( 2(I9,2E14.4)))
2010 FORMAT (47H HATALI VERİ - HİDROLİK EGİM LİSTESİ,ELEMAN I5)
2012 FORMAT(
1/// -ARTIK GERİLMELER'//,
2   ' ELEMAN          XX-          YY-          XY- '/',
4   '      NUM.        (Kg/M^2)    (Kg/M^2)    (Kg/M^2)'/)

2224 FORMAT ((I7,4X,3E15.4))
2013 FORMAT (44H HATALI VERİ - ARTIK GERİLME LİSTESİ,ELEMAN I5)
2015 FORMAT(
1/// -DÜĞÜM NOKYASI YER DEĞİŞTİRME KODU'//,
2   ' DÜĞÜM          KOD'//,
4   '      NOKTASI.'/)

2225 FORMAT (I7,I15)
2017 FORMAT(
1/// -KATI ELEMAN ÖZELLİKLERİ'//,
2   ' ELEMAN      ELEMAN      YOĞUNLUK      ELAS.(S)      ELAS.(N)
3KESME      POISSON      POISSON      AÇI.          SCI'/,
4   '      NUM.      TIPI.      (Kg/M^3)      MODÜLÜ      MODÜLÜ
5MODÜLÜ      ORANI      ORANI'/
6   '      --          (Kg/M^2)      (Kg/M^2)
7(--)(ST)      (SN)  '/)

2018 FORMAT (2X,40HMALZEME      TIPI          =,I3/
1           2X,40HBİRİM HACİM AĞIRLIK      =,E12.4/
2           2X,40HELASTİSİTE MODÜLÜ - KESME DOĞRULTUSUNDA =,E12.4/
3           2X,40HELASTİSİTE MODÜLÜ - NORMAL DOĞRULTUSUNDA =,E12.4/
+           2X,40HKESME MODÜLÜ - GSN      =,E12.4/
4           2X,40HPOISSON ORANI - SN      =,F8.4/
5           2X,40HPOISSON ORANI - ST      =,F8.4/
7           2X,40HORIENTATION OF LAYERS(ANGLE S-X)      =,F8.4)

2019 FORMAT (37H DATA HATALI - MALZEME OZELLİK LİSTESİ)
2020 FORMAT(/1H ,23HARAKESİT ÖZELLİKLERİ  )
2021 FORMAT(1X,41HARAKESİT TIPI NO.....=,I3 /
1           1X,41HMAKSİMUM KAYMA GERİLMESİ.....=,E12.4/
2           1X,41HÇEKME-BASINÇ GERİLMESİ ORANI.....=,F8.4 /
3           1X,41HKESME RİJİTLİĞİ.....=,E12.4/
4           1X,41HARTIK-MAKSİMUM KESME GERİLMESİ ORANI....=,E12.4/
5           1X,41HMAKSİMUM NORMAL YAKINSAKLIK.....=,E12.4/
V           1X,41HOTURMA YÜKÜ.....=,E12.4/
6           1X,41HARAKESİT YÜZEYİNİN SÜRTÜNME AÇISI.....=,E12.4/
7           1X,41HDİLATASYON AÇISI.....=E12.4)

2022 FORMAT ( 42H HATALI VERİ - ARAKESİT ÖZELLİKLERİ )
2023 FORMAT ( 44H HATALI VERİLER BULUNDU - PROGRAM SONA ERDİ)
2024 FORMAT(
1/' -DÜĞÜM NOKTASI -X- VE -Y- YER DEĞİŞTİRMELERİ'/
2   /' DÜĞÜM          X-YER DEĞİŞTİRMEsi    Y-YER DEĞİŞTİRMEsi
4   /'      NOKTASI.        (METRE)          (METRE)  '/')

```

```

2226 FORMAT (I7,2F21.6)
2026 FORMAT ( 18H İTERASYON NUMARASI I5// )
STOP 'LOL,NORMAL END,ÇAY İÇMELYE GİDEBİLİRSİNİZ!'
C
END

CC-----OO-----O-----OO-----0000
C
C          ALT PROGRAM "SKM"
C          SKT = SİSTEM KATILIK MATRİSİ
C
SUBROUTINE SKT
COMMON /ELMOZ/ ES(900),EN(900),GSN(900),PRSN(900),PRST(900),
*SCI(900)
COMMON /EMMEGER/ SUCI(900),SUCF(900)
COMMON /MESH/ X(900),Y(900),R(900),U(900),KS(1800,1800),
1           EDNM(1500,4),ARGEM(1500,3),BAGEM(1500,3),MTIPI(900),
2           DNSAY,ELSAY,RETS,NFREE
REAL*8 KS,DSUC
COMMON /SINIR/NUM(900),SINIR(900),SDSAY
COMMON /FORC/ KSUB(8,8),F(8),LBAD,M,H(3,6)
REAL*8 KSUB
DIMENSION RES(3),XT(4),YT(4),LAB(4),DSUC(900),E(3,3)
LBAD=0
DO 100 J=1,NFREE
DO 100 I=1,NFREE
KS(I,J)=0.0
100 CONTINUE
C
C HERBİR ELEMANIN GLOBAL RİJİTLİK VE YÜK DAĞILIMINI HESAPLA
C
DO 450 M=1,ELSAY
MAT=MTIPI(M)
DSUC(M)=0
C
C ARAKİT YADA ÜÇGEN ELEMANMI?
C
NUMB=3
IF(MAT.GT.RETS) NUMB=4
C
C DÜĞÜM KOORDİNAT VEKTÖRLERİNDEN DÜĞÜM KOORDİNATLARINI AÇ
C
DO 250 I=1,NUMB
N=EDNM(M,I)
XT(I)=X(N)
YT(I)=Y(N)
250 CONTINUE
C
C ARAKİT YADA ÜÇGEN ELEMAN KATILIK MATRİSİ ALTPROGRAMINI SEÇ
C
M2 =M+M
RES(1)=ARGEM(M,1)
RES(2)=ARGEM(M,2)
RES(3)=ARGEM(M,3)
IF(MAT.GT.RETS )GO TO 270
RAT=EN(M)/ES(M)
CONST=1.0/((1.0+PRST(M))*(1.0-PRST(M)-2.0*RAT*PRSN(M)*PRSN(M)))
E(1,1)=(ES(M)-EN(M)*PRSN(M)*PRSN(M))*CONST
E(2,1)=EN(M)*PRSN(M)*(1.0+PRST(M))*CONST
E(3,1)=0.0

```

```

E(1,2)= E(2,1)
E(2,2)=EN(M) *(1.0-PRST(M) *PRST(M) ) *CONST
E(3,2)= 0.0
E(1,3)= 0.0
E(2,3)= 0.0
E(3,3)=GSN(M)

DO 8 N=1,3
MM=EDNM(M,N)
DSUC(M)=DSUC(M)+(SUCI(MM)-SUCF(MM) )
8 CONTINUE

CALL UEKM(EL SAY,0,MAT,XT,YT,RES,DPDX,DPDY,DSUC(m),SISME,E)

IF(LBAD.NE.0) THEN
GO TO 450
ELSE
GO TO 280
END IF

C
CC ELSE STOP "Katı eleman rijitlik matrisi hesaplandıktan sonra hata
oluşt
C
270 CALL AEKM(MAT,XT,YT,RES)
IF(LBAD.GT.0)GO TO 450
ARGEM(M,1)=RES(1)
ARGEM(M,2)=RES(2)
ARGEM(M,3)=RES(3)

280 DO 300 I=1,NUMB
J=EDNM(M,I)
LAB(I) =J+J-1
300 CONTINUE
C
DO 400 I=1,NUMB
II=LAB(I)
IK=I+I-1
I2=II+1
C
C YÜK DAĞILIMI
C
R(II)=R(II)+F(IK)
R(I2)=R(I2)+F(IK+1)
DO 400 J=1,NUMB
JJ=LAB(J)
JK=J+J-1
J2=JJ+1
C
C GLOBAL KATILIK MATRİSİ
C
KS(II,JJ)=KS(II,JJ)+KSUB(IK,JK)
KS(II,J2)=KS(II,J2)+KSUB(IK,JK+1)
KS(I2,JJ)=KS(I2,JJ)+KSUB(IK+1,JK)
KS(I2,J2)=KS(I2,J2)+KSUB(IK+1,JK+1)
400 CONTINUE
450 CONTINUE
IF(LBAD.GT.0)GO TO 600
C
C DÜĞÜM NOKTASI SINIR ŞARTLARI

```

```

C
C SINIR = 1 - X DOĞRULTUSUNDA YER DEĞİŞTİRME SIFIR (0)
C SINIR = 2 - Y DOĞRULTUSUNDA YER DEĞİŞTİRME SIFIR (0)
C SINIR = 3 - X VE Y DOĞRULTUSUNDA YER DEĞİŞTİRME SIFIR (0)
C

DO 500 I=1,SDSAY
L=SINIR(I)
IF(L.EQ.0)GO TO 500
J=NUM(I)
JJ=J+J
IF(L.EQ.2)GO TO 470
KS(JJ-1,JJ-1)=KS(JJ-1,JJ-1)+1.0E20
IF(L.EQ.1)GO TO 500
470 KS(JJ,JJ)=KS(JJ,JJ) + 1.0E20
500 CONTINUE
RETURN
C
C HATA KONROLÜ
C
600 WRITE(6,2000)
2000 FORMAT (46H HATA OLUŞTUĞU İÇİN PROGRAM DURDU )
C
STOP
END

```

```

CC-----OO-----O-----OO-----OOOO
C
C          ALT PROGRAM
C          ÜÇGEN ELEMANIN KATILIK MATRİSİ
C
        SUBROUTINE UEKM(ELSAY,KUT,MAT,X,Y,ARGEM,DPDX,
*DPDY,DSUC,SISME,E)
        COMMON /ELMOZ/ ES(900),EN(900),GSN(900),PRSN(900),PRST(900),
*SCI(900)
        COMMON /ACXY/RO(1500),ACELX,ACELY,NRES,INTER,C(3,3,1500)
        COMMON /FORC/ KSUB(8,8),F(8),LBAD,M,H(3,6)
        REAL*8      KSUB,EV,DSUC
        REAL*8      KACT,KPAS,KNOT
        COMMON /pp/knot(900),kpas(900),kact(900),ex(900),epx(900),epy(900)
        COMMON /pr/ST(900),SA(900),SR(900),SP(900),SV(900),SSISME(900)
        DIMENSION X(4),Y(4),ARGEM(3),F1(900),E(3,3),EV1(900)
        REAL LNORT(3,7)
        REAL LT(6,3)
        REAL LTD(6,3)
        PI=ATAN(1.0)*4.0

        XJ=X(2)-X(1)
        YJ=Y(2)-Y(1)
        XK=X(3)-X(1)
        YK=Y(3)-Y(1)
C
C ÜÇGEN ELEMANIN ALANINI HESAPLA
C.
        ALAN= XJ*YK-XK*YJ
C
C ALAN SIFIR VEYA NEGATİF İSE VERİLERDE HATA VAR
C HATA VAR İSE GERİ DÖN
C

```

```

IF(ALAN.GT.0.0)GO TO 10
LBAD=LBAD+ 1
WRITE(6,2000)LBAD,M
2000 FORMAT(7H HATA I3,9H,ELEMAN I5,22H NEGATIF ALANDADIR)
RETURN

C
C      GERİLME-ŞEKİL DEĞİŞTİRME MATRİSİ -LNORT
C
C
10 XK=-XK/ALAN
    YK= YK/ALAN
    XJ= XJ/ALAN
    YJ=-YJ/ALAN
    XKJ=-XK-XJ
    YJK=-YJ-YK
C
LNORT(1,1)= YJK
LNORT(2,1)= 0.0
LNORT(3,1)= XKJ
LNORT(1,2)= 0.0
LNORT(2,2)= XKJ
LNORT(3,2)= YJK
LNORT(1,3)= YK
LNORT(2,3)= 0.0
LNORT(3,3)= XK
LNORT(1,4)= 0.0
LNORT(2,4)= XK
LNORT(3,4)= YK
LNORT(1,5)= YJ
LNORT(2,5)= 0.0
LNORT(3,5)= XJ
LNORT(1,6)= 0.0
LNORT(2,6)= XJ
LNORT(3,6)= YJ
LNORT(1,7)= EV/2
LNORT(2,7)= EV/2
LNORT(3,7)= 0
C
IF(INTER.EQ.0)WRITE(6,999)((LNORT(I,J),J=1,6),I=1,3)
999 FORMAT(28H GERİLME-ŞEKİL DEĞİŞTİRME MATRİSİ/(5X,6E12.4))

C      SİSME GERİLMELERİ

      IF(SİSME.EQ.1)THEN
      DSUC=DSUC/3
      EV=SCI(M)*DSUC

      LT(1,1)=LNORT(1,1)
      LT(1,2)=LNORT(2,1)
      LT(1,3)=LNORT(3,1)
      LT(2,1)=LNORT(1,2)
      LT(2,2)=LNORT(2,2)
      LT(2,3)=LNORT(3,2)
      LT(3,1)=LNORT(1,3)
      LT(3,2)=LNORT(2,3)
      LT(3,3)=LNORT(3,3)
      LT(4,1)=LNORT(1,4)
      LT(4,2)=LNORT(2,4)
      LT(4,3)=LNORT(3,4)

```

```

LT(5,1)=LNORT(1,5)
LT(5,2)=LNORT(2,5)
LT(5,3)=LNORT(3,5)
LT(6,1)=LNORT(1,6)
LT(6,2)=LNORT(2,6)
LT(6,3)=LNORT(3,6)

CALL GMPRD(LT,E,LTD,6,3,3)

C     SISME KUVVETLERİ HESABI

      F1=0
      DO 881 NROW=1,6
      DO 882 J=1,3
882   F1(NROW)=F1(NROW)+LTD(NROW,J)*LNORT(J,7)*ALAN/2
881   CONTINUE
      END IF

C
C     GERİLME-ŞEKİL DEĞİŞTİRME TRANSFORMASYON MATRİSİNİ HESAPLA (H)
C     C*LNORT,  C =  GERİLME-SEKİLDÉĞİŞTİRME MATRİSİ
C
      DO 100      J=1,6
      DO 100      I=1,3
      H(I,J)=0.0
      DO 100      K=1,3
      H(I,J)=H(I,J)+C(I,K,MAT)*LNORT(K,J)
100    CONTINUE
C
      IF(INTER.EQ.0)WRITE(6,998)((H(I,J),J=1,6),I=1,3 )
998    FORMAT(43H  GERİLME-ŞEKİL DEĞİŞTİRME TRANSFORMASYON MATRİSİ/
1           (5X,6E12.4))
C     BU ALT PROGRAM 'GERİLMELER' ALT PROGRAMINDAN ÇAĞRILDI İSE GERİ DÖN
C
      IF(KUT.EQ.1)RETURN
C     RIJİTLİK MATRİSİ (KSUB)'UN OLUŞUMUNU TAMAMLA
C     İLK ÖNCE ELEMAN ALANI İLE LNORT 'U ÇARP
C
      ALAN=ALAN/2.0
      DO 200  J=1,6
      DO 200  I=1,3
          LNORT(I,J)=LNORT(I,J)*ALAN
200    CONTINUE
C. TARANPOZUNU HESAPLA (LNORT) * H

      DO 300  J=1,6
      DO 300  I=1,6
      KSUB(I,J)=0.0
      DO 300  K=1,3
          KSUB(I,J)=KSUB(I,J)+LNORT(K,I)*H(K,J)
300    CONTINUE
C     YÜK VEKTÖRLERİNİN DAĞILIMINI HESAPLA
      CONST=ALAN/3.0
      XCOMP=(RO(MAT)*ACELX-DPDX)*CONST
      YCOMP=(RO(MAT)*ACELY-DPDY)*CONST
      F(1)=XCOMP
      F(2)=YCOMP
      F(3)=XCOMP
      F(4)=YCOMP
      F(5)=XCOMP
      F(6)=YCOMP

```

C ARTIK GERİMLERİN DAĞILIMINI EKLE

```
IF(NRES.EQ.0)GO TO 500
DO 400 J=1,6
DO 400 I=1,3
F(J)=F(J)-LNORT(I,J)*ARGEM(I)
400 CONTINUE
```

C ŞİŞME KUVVETLERİNİN DAĞILIMINI EKLE

```
DO 4000 J=1,6
F(J)=F(J)+F1(J)
4000 CONTINUE
```

WRITE(6,*) (F(J),J=1,6)

C

C 500 CONTINUE

```
500 IF(INTER.EQ.0)WRITE(6,997)M,((KSUB(I,J),J=1,6),F(I),I=1,6)
997 FORMAT(28H RİJİTLİK MATRİSİ - ELEMAN I3,73X,11HYÜK VEKTÖRÜ/
1 (2X,6E12.4,28X,E12.6) )
```

C

COo-----OOo-----O-----OOO-----0000

C

C ARAKİT ELEMANIN KATILIK MATRİSİ ALT PROGRAMI
C AEKM =ARAKİT ELEMANIN KATILIK MATRİSİ

SUBROUTINE AEKM(MATT,X,Y,ARGEM)

```
COMMON/KJRV/KJS(900),KJN(900),KJSNU(900),KJNNU(900),ITER1,ITERS,IT
REAL KJS,KJN,KJSNU,KJNNU
COMMON /ACXY/RO(1500),ACELX,ACELY,NRES,INTER,C(3,3,1500)
COMMON /FORC/ KSUB(8,8),F(8),LBAD,M,H(3,6)
REAL*8 KSUB
DIMENSION X(4),Y(4),ARGEM(3)
REAL L,KSO,KNO
```

C

C ARAKİT ELEMANI KONTROL ET

C

```
IF (X(1).NE.X(4)) GO TO 10
IF (X(2).NE.X(3)) GO TO 10
IF (Y(1).NE.Y(4)) GO TO 10
IF (Y(2).NE.Y(3)) GO TO 10
GO TO 50
```

C

C HATA VARSA GERİYE DÖN

C

```
10 WRITE (6,2000) M
2000 FORMAT(32H ARAKİT ELEMAN VERİLERİ -ELEMAN I5)
      LBAD=LBAD+1
      RETURN
      50 MAT=MATT
```

C

C ARAKİT ELEMAN BOYUTLARINI HESAPLA

C

```

DX=X(2)-X(1)
DY=Y(2)-Y(1)
L=SQRT(DX*DX+DY*DY)

C      BAZI SABİTLER

COSA=DX/L
SINA=DY/L
S2=COSA*SINA
CC=COSA*COSA
SS=SINA*SINA
C2=CC-SS

IF(NRES.GT.0 )GO TO 80

TORSN=0.0
SIGMA=0.0
GO TO 90
80 TORSN=-S2*ARGEM(1)+S2*ARGEM(2)+C2*ARGEM(3)
SIGMA= SS*ARGEM(1)+CC*ARGEM(2)-2.0*S2*ARGEM(3)
90 ARGEM(1)=TORSN
ARGEM(2)=SIGMA
ARGEM(3)=0.0

C      IF(INTER.EQ.0)WRITE(6,999)TORSN,SIGMA

IF(ITER1.GT.1) GO TO 95

KJN(M)=-SIGMA*SIGMA/(C(2,2,MAT)*C(3,2,MAT))

SLOMIN=-0.01*C(1,1,MAT)*C(2,2,MAT)
SLOMAX= 10000.*SLOMIN
IF(KJN(M).GT.SLOMAX) KJN(M)=SLOMAX
IF(KJN(M).LT.SLOMIN) KJN(M)=SLOMIN

KJS(M) =C(3,1,MAT)

C      LOKAL KOORDİNATLARDA ARAKİSİT ELEMANIN RİJİTLİĞİ
C

95 KSO=KJS(M)*L/4.0
KNO=KJN(M)*L/2.0
DO 100 J=1,8
DO 100 I=1,8
KSUB(I,J)=0.0
100 CONTINUE

C      ARAKİSİT ELEMANIN KATILIK MATRİSİ
C

KSUB(1,1) = KSO
KSUB(3,1) = KSO
KSUB(5,1) = -KSO
KSUB(7,1) = -KSO
KSUB(1,3) = KSO
KSUB(3,3) = KSO
KSUB(5,3) = -KSO
KSUB(7,3) = -KSO
KSUB(1,5) = -KSO
KSUB(3,5) = -KSO

```

```

      KSUB(5,5) = KSO
      KSUB(7,5) = KSO
      KSUB(1,7) = -KSO
      KSUB(3,7) = -KSO
      KSUB(5,7)= KSO
      KSUB(7,7) = KSO
      KSUB(2,2) = KNO
      KSUB(2,8) = -KNO
      KSUB(4,4) = KNO
      KSUB(4,6) = -KNO
      KSUB(6,4) = -KNO
      KSUB(6,6) = KNO
      KSUB(8,2) = -KNO
      KSUB(8,8) = KNO
C
      IF(INTER.EQ.0)WRITE(6,998)((KSUB(I,J),J=1,8),I=1,8)
998    FORMAT(37H ARAKESIT ELM. - LOKAL KOORDINATLARI/(2X,8E12.4))

      DO 200 I=1,4
      IK=I+I
      II=IK-1
      DO 200 J=1,4
      JK= J+J
      JJ=JK-1
      T11=KSUB(II,JJ)*COSA-KSUB(II,JK)*SINA
      T12=KSUB(II,JJ)*SINA+KSUB(II,JK)*COSA
      T21=KSUB(IK,JJ)*COSA-KSUB(IK,JK)*SINA
      T22=KSUB(IK,JJ)*SINA+KSUB(IK,JK)*COSA

      KSUB(II,JJ) =COSA*T11-SINA*T21
      KSUB(II,JK) =COSA*T12-SINA*T22
      KSUB(IK,JJ) =SINA*T11+COSA*T21
      KSUB(IK,JK) =SINA*T12+COSA*T22
200 CONTINUE

      SIGMA=ARGEM(2)
      L=L/2.0
      FXI=-L*TORSN*COSA+L*SIGMA*SINA
      FYI=-L*TORSN*SINA-L*SIGMA*COSA
      F(1)==FXI
      F(2)==FYI
      F(3)==FXI
      F(4)==FYI
      F(5)= FXI
      F(6)= FYI
      F(7)= FXI
      F(8)= FYI

C
      IF(INTER.EQ.0)WRITE(6,997)M,((KSUB(I,J),J=1,8),F( I),I=1,8)

      RETURN
      END

```

COo-----OOo-----O-----oOO-----0000
 C ALT PROGRAM GMPRD
 C MATRIS ÇARPIM ALT PROGRAMI

```

SUBROUTINE GMPRD(A,B,R,N,M,L)
DIMENSION A(1500),B(1500),R(1500)
C
IR=0
IK=-M
DO 10 K=1,L
IK=IK+M
DO 10 J=1,N
IR=IR+1
JI=J-N
IB=IK
R(IR)=0
DO 10 I=1,M
JI=JI+N
IB=IB+1
10 R(IR)=R(IR)+A(JI)*B(IB)
RETURN
END

```

COo-----OOo-----O-----OO-----0000-----0000

```

C
C          ALT PROGRAM GERİLMELER

```

```

SUBROUTINE GERİLMELER
COMMON /ELMOZ/ ES(900),EN(900),GSN(900),PRSN(900),PRST(900),
*SCI(900)
COMMON /ACXY/ RO(1500),ACELX,ACELY,NRES,INTER,C(3,3,1500)
REAL*8      KACT,KPAS,KNOT
COMMON /pp/knot(900),kpas(900),kact(900),ex(900),epx(900),epy(900)
COMMON /pr/ ST(900),SA(900),SR(900),SP(900),SV(900),SSISME(900)
COMMON /MESH/ X(900),Y(900),R(900),U(900),KS(1800,1800),
1           EDNM(1500,4),ARGEM(1500,3),BAGEM(1500,3),MTIPI(900),
2           DNSAY,ELSAY,RETS,NFREE
REAL KS*8
COMMON /FORC/ KSUB(8,8),F(8),LBAD,M,H(3,6)
REAL KSUB*8
DIMENSION DISP(6),DUMMY(3),XT(4),YT(4),SIG(6)

WRITE(6,2000)
C
C          HERBİR ELEMANDAKİ GERİLMELERİ HESAPLA
C
DO 400 M=1,ELSAY
C
C          KATI ELEMANMI? ARAKİT ELEMANMI?
C
MAT=MTIPI(M)
IF(MAT.GT.RETS)GO TO 400
C
C          XT VE YT DÜĞÜM NOKTALARI VEKTÖRLERİNİ TOPLA
C          ELEMAN DÜĞÜM NOKTALARI YER DEĞİŞTİRMЕ VEKTÖRLERİNİ TOPLA
C
DO 250 I=1,3
II=I+I-1
N=EDNM(M,I)
JJ=N+N-1
XT(I)=X(N)
YT(I)=Y(N)
DISP(II)=U(JJ)

```

```

DISP(II+1)=U(JJ+1)
250 CONTINUE

C
CALL UEKM(ELSAY,1,MAT,XT,YT,DUMMY,DUM1,DUM2,DSUC,SISME,E)
C
DO 300 I=1,3
SIG(I)=ARGEM(M,I)
DO 300 J=1,6
SIG(I)=SIG(I)+H(I,J)*DISP(J)
300 CONTINUE
C
C BAŞLICA GERİLMELERİ HESAPLAE XX(SIG(1)),YY(SIG(2)),XY(SIG(3))
C
CC=(SIG(1)+SIG(2))/2.0
BB=(SIG(1)-SIG(2))/2.0
CR=SQRT(BB*BB+SIG(3)*SIG(3))
SIG(4)=CC+CR
SIG(5)=CC-CR
SIG(6)=28.698*ATAN2(SIG(3),BB)
C
C ELEMANDAKİ GERİLMELERİ YAZ
C
WRITE(6,2001)M,SIG
400 CONTINUE
C
C      RETURN
C

2000 FORMAT(
1//' -ZEMİN ELEMANINDAKİ GERİLMELER',//,
2 '     ELEMAN      XX-          YY-          XY-
3 '     NUM.        GERİLM.      GERİLM.      GERİLM.
5 '     --          (Kg/M^2)      (Kg/M^2)      (Kg/M^2)

2001 FORMAT (I7,5E16.4,F14.2)
WRITE(6,1025)
WRITE(6,899)
DO 401 M=1,ELSAY

MAT=MTIPI(M)

IF(MAT.GT.RETS )GO TO 401

DO 251 I=1,3
II=I+I-1
N=EDNM(M,I)
JJ=N+N-1
XT(I)=X(N)
YT(I)=Y(N)
DISP(II)=U(JJ)
DISP(II+1)=U(JJ+1)
251 CONTINUE

CALL UEKM(ELSAY,1,MAT,XT,YT,DUMMY,DUM1,DUM2,DSUC,SISME,E)

DO 301 I=1,3
SIG(I)=ARGEM(M,I)
DO 301 J=1,6

```

```

      SIG(I)=SIG(I)+H(I,J)*DISP(J)
301 CONTINUE

      CC=(SIG(1)+SIG(2))/2.0
      BB=(SIG(1)-SIG(2))/2.0
      CR=SQRT(BB*BB+SIG(3)*SIG(3))
      SIG(4)=CC+CR
      SIG(5)=CC-CR
      SIG(6)=28.698*ATAN2(SIG(3),BB)

      KNOT(M)=PRSN(M)/(1-PRSN(M))
      PHI = ASIN(0.95-KNOT(M))
      SA(M)=Sig(2)*KACT(M)
      SR(M)=Sig(2)*KNOT(M)
      SP(M)=Sig(2)*KPAS(M)
      IF(SISME.EQ.0)THEN
      SV(M)=ST(2)
      SSISME(M)=Sig(1)
      ELSE

      SV(M)=ST(2)
      SSISME(M)=ST(1)
      END IF

909 FORMAT(5X,I5,3X,8E13.4)
1025 FORMAT(
1//' - AKTİF, PASİF, SUKUNET HALİNDEKİ TOPRAK BASINCLARI VE ŞİŞME
*BASINCLARI '/)

899 FORMAT(/2X,' ELEMENT NO.      EPS.X          EPS.Y      ',
1'SIG.Y      SIG.ACT.      SIG.RST.      ','SIG.PAS      ',
2,'SIG.SISME',' MOD.OF ELAS. ',
3 /43X,'(Kg/M^2) (Kg/M^2) (Kg/M^2) ',
3'           (Kg/M^2) (Kg/M^2) (Kg/M^2)',/)

      WRITE(6,909)M,EPX(M),EPY(M),
*SV(M),SA(M),SR(M),SP(M),SSISME(M),ES(M)
401 CONTINUE
      RETURN
C
      END

COo-----OOo-----O-----OO-----0000
C
C      ALT PROGRAM DÖNGÜ
C      ARAKESİT ELEMANINDAKİ DEFORMASYONLARIN HESABI

      SUBROUTINE DONGU
C

      COMMON /MESH/ X(900),Y(900),R(900),U(900),KS(1800,1800),
1             EDNM(1500,4),ARGEM(1500,3),BAGEM(1500,3),MTIPI(900),
2             DNSAY,ELSAY,RETS,NFREE
      REAL    KS*8
      COMMON/KJRV/KJS(900),KJN(900),KJSNU(900),KJNNU(900),ITER1,ITERS,IT
      REAL   KJS, KJN,KJSNU,KJNNU
      COMMON /ACXY/RO(1500),ACELX,ACELY,NRES,INTER,C(3,3,1500)
      DIMENSION LAB(4),USN(8),CJ(9,900),F(8)
      EQUIVALENCE (CJ(1,1),C(1,1,1))
      REAL    L,LHLF, KSO,KNO,MO

```

```

      WRITE (6,2000)
      CONV= ATAN(1.0)/45.0
      MAT=MTIPI(M)
      IF(MAT.LE.RETS)GO TO 800

      II=EDNM(M,1 )
      JJ=EDNM(M,2 )
      DX=X(JJ)-X(II)
      DY=Y(JJ)-Y(II)
      L= SQRT(DX*DX+DY*DY)
      COSA=DX/L
      SIN=SY/L

      DO 200 I=1,4
      J=EDNM(M,I)
      JJ=J+J-1
      LAB(I)=JJ
      II=I+I

C
C   YERDEĞİŞTİRMELERİN LOKAL KOORDİNALARA TRANSFORMU
C

      USN(II-1)= U(JJ)*COSA+U(JJ+1)*SIN
      USN(II)=-U(JJ)*SIN+U(JJ+1)*COSA
      200 CONTINUE

C

      IF(INTER.EQ.0)WRITE(6,999)USN
999      FORMAT(47H ARAKESIT YERDEGISTIRME VEKTORU - LOKAL KOORDINATLAR/
1                           (2X,8E12.4))

      VM=-CJ(5,MAT)
      IF(ARGEM(M,2).LT.0.)VM= -CJ(5,MAT)*CJ(6,MAT)*ARGEM(M,2)

      KNO = KJN(M)
      KSO = KJS(M)
      QU =CJ(1,MAT)
      RAT=1/CJ(2,MAT)
      TANTH=TAN(CJ(7,MAT)*CONV)
      TANI=TAN(CJ(8,MAT)*CONV)

      UO=(-USN(1)-USN(3)+USN(5)+USN(7))/2.0
      VO=(-USN(2)-USN(4)+USN(6)+USN(8))/2.0
      W =( USN(2)-USN(4)+USN(6)-USN(8))/L

      TNS =KSO*UO          +BAGEM(M,1)
      SN  =KNO*VO          +BAGEM(M,2)
      MO  =L*L*L*KNO*W/4.0+BAGEM(M,3)

C
      WRITE(6,2001)M,UO,VO,W,TNS,SN,MO
      WRITE(6,*)
      WRITE(6,*)
      WRITE(6,*)

      LHLF =L/2.0
      SIGNE =1.0
      TORM =0.0

```

```

FNOM =0.0
FNIM =0.0
C
DO 550 I=1,2
SIGNE ==SIGNE
C
C İLK İTERASYON İÇİN DÜĞÜM KUVVETLERİNİN HESABI

C FNIL = SON İTERASYON İÇİN NORMAL KUVVET
C FSO = BAŞLANGIÇ KESME KUVVETİ
C FNO = BAŞLANGIÇ NORMAL KUVVETİ
C FSI = MEVCUT KESME KUVVETİ
C FNI = MEVCUT NORMAL KUVVET
C
FNIL = BAGEM(M,2)*LHLF + SIGNE*BAGEM(M,3)/L
FNO = ARGEM(M,2)*LHLF + SIGNE*ARGEM(M,3)/L
FSO = ARGEM(M,1)*LHLF
FSI = TNS*LHLF
FNI = SN*LHLF + SIGNE*MO/L
SIGMA = FNI/LHLF

IF(SIGMA.LT.0.0) GO TO 305
TORP=0.0
TORR=0.0
TOR =0.0
UP =0.0
UR =0.0
DILAT=0.0
GO TO 460
305 IF(QU.LT.SIGMA)GO TO 320

AS=1.0
VDOT=0.0
RATIO= 1.0
GO TO 330

320 RATIO=SIGMA/QU
AS=1.0-SQRT((1.0-RATIO)**3)
VDOT=(1.0-RATIO)**4*TANI
330 TERM1 = SIGMA*(1.0-AS)*(VDOT+TANTH)
TERM2 = AS*QU*(SQRT(RAT+1.0)-1.0)/RAT*SQRT(1.0+RAT*RATIO)
TERM3 = 1.0-(1.0-AS)*VDOT*TANTH
TORP=ABS(TERM1+TERM2)/TERM3
TORR=TORP
IF(QU.LT.SIGMA) TORR=TORP*(BO+(1.0-BO)*SIGMA/QU)
AUO=ABS(UO)
SEL=UO/AUO

UP = (SEL*TORP-ARGEM(M,1))/KSO
UR = (SEL*4.0*TORP-ARGEM(M,1))/KSO
IF(AUO.GT.ABS(UP))GO TO 400
TOR=KSO*UO + ARGEM(M,1)
GO TO 450
400 IF ( AUO.GE.ABS(UR) ) GO TO 430
TOR=SEL*(TORP-(UO-UP)/(UR-UP)*( TORP-TORR ))
GO TO 450
430 TOR= SEL*TORR
AUO=ABS(UR)
450 DILAT =(FNIL/(LHLF*QU)-1.0)**4*TANI*(AUO+ABS(FSO)/(KSO*LHLF))
460 DELS = TOR*LHLF - FSI

```

```

II=I+I
IJ=10-II
DELV=-USN(II) +USN(IJ)
IF(DELV) 520,510,500
500 DELN = (DELV/(VM-DELV)+1.0)*FNO - FNI
GO TO 530
510 DELN=0.0
GO TO 530
520 DELN =(DELV-VM* (FNI-FNO)/FNI)*KNO*LHLF
530 DILN ==DILAT*FNI/(VM)
F(II ) ==DELN-DILN
F(II-1 )==DELS
F(IJ) = DELN+DILN
F(IJ-1) = DELS
IF (INTER .EQ. 0)WRITE (6,998) UP,UR,TORP,TORR,TOR,DILAT,DELV
998 FORMAT(5H UP=E12.4,4H UR=F12.4,6H TORP=E12.4,6H TORR=E12.4,
1           5H TOR=E12.4,8H DILAT=E12.4,6H DELV=E12.4)
TORM =TORM+TOR/2.0
FNIM =FNIM+FNI
FNOM =FNOM+FNO
550 CONTINUE
IF(INTER.EQ.0)WRITE(6,997)F
997 FORMAT(/30H ARAKESİT İCİN KUVVET ARTISI/2X,8E12.4)

BAGEM(M, 1)=BAGEM(M, 1)+(F(5)+F(7))/L
BAGEM(M, 2)=BAGEM(M, 2)+(F(6)+F(8))/L
BAGEM(M, 3)=BAGEM(M, 3)+(F(6)-F(8))*LHLF
DO 600 I=1,4
II=I+I-1
JJ=LAB(I)
R(JJ)=R(JJ)- F(II)*COSA+F(II+1)*SINA
R(JJ+1)=R(JJ+1)-F(II)*SINA- F(II+1)*COSA
600 CONTINUE
C
IF(IT.LT.ITER) GO TO 800
KJSNU(M) = (TORM-ARGEM(M,1))/UO
IF(DELV) 700,800,750
700 KJNNU(M)=FNIM/(VM*L)
GO TO 800

750 KJNNU(M)=FNOM/((VM-DELV)*L)
800 CONTINUE
C
IF(INTER.NE.0)GO TO 900
WRITE(6,994)(KJS(I),KJN(I),I=1,EL SAY)
994 FORMAT(/19H ARAKESİT RİJİTLİĞİ/(2X,10E12.4))
995
C
WRITE(6,996)(BAGEM(I,1),BAGEM(I,2),BAGEM(I,3),I=1,EL SAY)
996 FORMAT(/38H ARTIMLARIN SONUNDA BAŞLANGIC GERİLMELERİ/
1           2(6X,5HKESME6X,6HNORMAL6X ,6HMOMENT11X )/
2           (2X,3E12.4,10X,3E12.4))

C
WRITE (6,995)(R(I),I=1,NFREE)
995 FORMAT(/25H ARTIMSAL YUK VEKTORU/(2X,10E12.4))
C
900 RETURN
C
END

```



EK - 2

GİRDİ VERİLERİ LİSTESİ

ŞİŞEN ZEMİN					
92	150	20	144	6	1
1 1					
DÜĞÜM NOKTASI VERİLERİ					
1	0.0	0.0		6.0	3.0
2	0.2	0.0		6.0	3.0
3	0.4	0.0		6.0	3.0
4	0.6	0.0		6.0	3.0
5	0.8	0.0		6.0	3.0
6	1.0	0.0		6.0	3.0
7	1.22	0.0		6.0	3.0
8	0.1	0.25		6.0	3.0
9	0.3	0.25		6.0	3.0
10	0.5	0.25		6.0	3.0
11	0.7	0.25		6.0	3.0
12	0.9	0.25		6.0	3.0
13	1.11	0.25		6.0	3.0
14	0.	0.51		6.0	3.0
15	0.2	0.51		6.0	3.0
16	0.4	0.51		6.0	3.0
17	0.6	0.51		6.0	3.0
18	0.8	0.51		6.0	3.0
19	1.	0.51		6.0	3.0
20	1.22	0.51		6.0	3.0
21	0.1	0.76		6.0	3.0
22	0.3	0.76		6.0	3.0
23	0.5	0.76		6.0	3.0
24	0.7	0.76		6.0	3.0
25	0.9	0.76		6.0	3.0
26	1.11	0.76		6.0	3.0
27	0.	1.02		6.0	3.0
28	0.2	1.02		6.0	3.0
29	0.4	1.02		6.0	3.0
30	0.6	1.02		6.0	3.0
31	0.8	1.02		6.0	3.0
32	1.	1.02		6.0	3.0
33	1.22	1.02		6.0	3.0
34	0.1	1.27		6.0	3.0
35	0.3	1.27		6.0	3.0
36	0.5	1.27		6.0	3.0
37	0.7	1.27		6.0	3.0
38	0.9	1.27		6.0	3.0
39	1.11	1.27		6.0	3.0
40	0.	1.53		6.0	3.0
41	0.2	1.53		6.0	3.0
42	0.4	1.53		6.0	3.0
43	0.6	1.53		6.0	3.0
44	0.8	1.53		6.0	3.0
45	1.	1.53		6.0	3.0
46	1.22	1.53		6.0	3.0
47	0.1	1.78		6.0	3.0
48	0.3	1.78		6.0	3.0
49	0.5	1.78		6.0	3.0
50	0.7	1.78		6.0	3.0
51	0.9	1.78		6.0	3.0
52	1.11	1.78		6.0	3.0
53	0.	2.04		6.0	3.0
54	0.2	2.04		6.0	3.0
55	0.4	2.04		6.0	3.0
56	0.6	2.04		6.0	3.0

57	0.8	2.04		6.0	3.0
58	1.	2.04		6.0	3.0
59	1.22	2.04		6.0	3.0
60	0.1	2.29		6.0	3.0
61	0.3	2.29		6.0	3.0
62	0.5	2.29		6.0	3.0
63	0.7	2.29		6.0	3.0
64	0.9	2.29		6.0	3.0
65	1.11	2.29		6.0	3.0
66	0.	2.55		6.0	3.0
67	0.2	2.55		6.0	3.0
68	0.4	2.55		6.0	3.0
69	0.6	2.55		6.0	3.0
70	0.8	2.55		6.0	3.0
71	1.	2.55		6.0	3.0
72	1.22	2.55		6.0	3.0
73	0.1	2.8		6.0	3.0
74	0.3	2.8		6.0	3.0
75	0.5	2.8		6.0	3.0
76	0.7	2.8		6.0	3.0
77	0.9	2.8		6.0	3.0
78	1.11	2.8		6.0	3.0
79	0.	3.05		6.0	3.0
80	0.2	3.05		6.0	3.0
81	0.4	3.05		6.0	3.0
82	0.6	3.05		6.0	3.0
83	0.8	3.05		6.0	3.0
84	1.	3.05		6.0	3.0
85	1.22	3.05		6.0	3.0
86	1.22	3.05		6.0	3.0
87	1.22	2.55		6.0	3.0
88	1.22	2.04		6.0	3.0
89	1.22	1.53		6.0	3.0
90	1.22	1.02		6.0	3.0
91	1.22	0.51		6.0	3.0
92	1.22	0.		6.0	3.0

ELEMAN VERİLERİ

1	1	1	2	8
2	2	2	3	9
3	3	3	4	10
4	4	4	5	11
5	5	5	6	12
6	6	6	7	13
7	7	7	20	13
8	8	6	13	19
9	9	6	19	12
10	10	5	12	18
11	11	5	18	11
12	12	4	11	17
13	13	4	17	10
14	14	3	10	16
15	15	3	16	9
16	16	2	9	15
17	17	2	15	8
18	18	1	8	14
19	19	14	8	15
20	20	15	9	16
21	21	16	10	17
22	22	17	11	18
23	23	18	12	19

24	24	19	13	20
25	25	19	20	26
26	26	18	19	25
27	27	17	18	24
28	28	16	17	23
29	29	15	16	22
30	30	14	15	21
31	31	14	21	27
32	32	15	28	21
33	33	15	22	28
34	34	16	29	22
35	35	16	23	29
36	36	17	30	23
37	37	17	24	30
38	38	18	31	24
39	39	18	25	31
40	40	19	32	25
41	41	19	26	32
42	42	20	33	26
43	43	32	26	33
44	44	31	25	32
45	45	30	24	31
46	46	29	23	30
47	47	28	22	29
48	48	27	21	28
49	49	27	28	34
50	50	28	29	35
51	51	29	30	36
52	52	30	31	37
53	53	31	32	38
54	54	32	33	39
55	55	33	46	39
56	56	32	39	45
57	57	32	45	38
58	58	31	38	44
59	59	31	44	37
60	60	30	37	43
61	61	30	43	36
62	62	29	36	42
63	63	29	42	35
64	64	28	35	41
65	65	28	41	34
66	66	27	34	40
67	67	40	34	41
68	68	41	35	42
69	69	42	36	43
70	70	43	37	44
71	71	44	38	45
72	72	45	39	46
73	73	45	46	52
74	74	44	45	51
75	75	43	44	50
76	76	42	43	49
77	77	41	42	48
78	78	40	41	47
79	79	40	47	53
80	80	41	54	47
81	81	41	48	54
82	82	42	55	48
83	83	42	49	55

84	84	43	56	49
85	85	43	50	56
86	86	44	57	50
87	87	44	51	57
88	88	45	58	51
89	89	45	52	58
90	90	46	59	52
91	91	58	52	59
92	92	57	51	58
93	93	56	50	57
94	94	55	49	56
95	95	54	48	55
96	96	53	47	54
97	97	53	54	60
98	98	54	55	61
99	99	55	56	62
100	100	56	57	63
101	101	57	58	60
102	102	58	59	65
103	103	59	72	65
104	104	58	65	71
105	105	58	71	60
106	106	57	64	70
107	107	57	70	63
108	108	56	63	69
109	109	56	69	62
110	110	55	62	68
111	111	55	68	61
112	112	54	61	67
113	113	54	67	60
114	114	53	60	66
115	115	66	60	67
116	116	67	61	68
117	117	68	62	69
118	118	69	63	70
119	119	70	60	71
120	120	71	65	72
121	121	71	72	78
122	122	70	71	77
123	123	69	70	76
124	124	68	69	75
125	125	67	68	74
126	126	66	67	73
127	127	66	73	79
128	128	67	80	73
129	129	67	74	80
130	130	68	81	74
131	131	68	75	81
132	132	69	82	75
133	133	69	76	82
134	134	70	83	76
135	135	70	77	83
136	136	71	84	77
137	137	71	78	84
138	138	72	85	78
139	139	84	78	85
140	140	83	77	84
141	141	82	76	83
142	142	81	75	82
143	143	80	74	81

144	144	79	73	80	
145	145	87	86	85	72
146	146	88	87	72	59
147	147	89	88	59	46
148	148	90	89	46	33
149	149	91	90	33	20
150	150	92	91	20	7

SINIR ŞARTLARI

1	3
2	2
3	2
4	2
5	2
6	2
7	2
14	1
27	1
40	1
53	1
66	1
79	1
86	3
87	3
88	3
89	3
90	3
91	3
92	3

KATI ELEMAN ÖZELLİKLERİ

1	1	1.76	770350.	770350.	296289.	0.3	0.3	0.02
2	2	1.76	770350.	770350.	296289.	0.3	0.3	0.02
3	3	1.76	770350.	770350.	296289.	0.3	0.3	0.02
4	4	1.76	770350.	770350.	296289.	0.3	0.3	0.02
5	5	1.76	770350.	770350.	296289.	0.3	0.3	0.02
6	6	1.76	770350.	770350.	296289.	0.3	0.3	0.02
7	7	1.76	770350.	770350.	296289.	0.3	0.3	0.02
8	8	1.76	770350.	770350.	296289.	0.3	0.3	0.02
9	9	1.76	770350.	770350.	296289.	0.3	0.3	0.02
10	10	1.76	770350.	770350.	296289.	0.3	0.3	0.02
11	11	1.76	770350.	770350.	296289.	0.3	0.3	0.02
12	12	1.76	770350.	770350.	296289.	0.3	0.3	0.02
13	13	1.76	770350.	770350.	296289.	0.3	0.3	0.02
14	14	1.76	770350.	770350.	296289.	0.3	0.3	0.02
15	15	1.76	770350.	770350.	296289.	0.3	0.3	0.02
16	16	1.76	770350.	770350.	296289.	0.3	0.3	0.02
17	17	1.76	770350.	770350.	296289.	0.3	0.3	0.02
18	18	1.76	770350.	770350.	296289.	0.3	0.3	0.02
19	19	1.76	770350.	770350.	296289.	0.3	0.3	0.02
20	20	1.76	770350.	770350.	296289.	0.3	0.3	0.02
21	21	1.76	770350.	770350.	296289.	0.3	0.3	0.02
22	22	1.76	770350.	770350.	296289.	0.3	0.3	0.02
23	23	1.76	770350.	770350.	296289.	0.3	0.3	0.02
24	24	1.76	770350.	770350.	296289.	0.3	0.3	0.02
25	25	1.76	735762.	735762.	282985.	0.3	0.3	0.02
26	26	1.76	735762.	735762.	282985.	0.3	0.3	0.02
27	27	1.76	735762.	735762.	282985.	0.3	0.3	0.02
28	28	1.76	735762.	735762.	282985.	0.3	0.3	0.02
29	29	1.76	735762.	735762.	282985.	0.3	0.3	0.02
30	30	1.76	735762.	735762.	282985.	0.3	0.3	0.02
31	31	1.76	735762.	735762.	282985.	0.3	0.3	0.02
32	32	1.76	735762.	735762.	282985.	0.3	0.3	0.02
33	33	1.76	735762.	735762.	282985.	0.3	0.3	0.02
34	34	1.76	735762.	735762.	282985.	0.3	0.3	0.02
35	35	1.76	735762.	735762.	282985.	0.3	0.3	0.02
36	36	1.76	735762.	735762.	282985.	0.3	0.3	0.02
37	37	1.76	735762.	735762.	282985.	0.3	0.3	0.02
38	38	1.76	735762.	735762.	282985.	0.3	0.3	0.02

114	114	1.76	510946.	510946.	196518.	0.3	0.3	0.02
115	115	1.76	510946.	510946.	196518.	0.3	0.3	0.02
116	116	1.76	510946.	510946.	196518.	0.3	0.3	0.02
117	117	1.76	510946.	510946.	196518.	0.3	0.3	0.02
118	118	1.76	510946.	510946.	196518.	0.3	0.3	0.02
119	119	1.76	510946.	510946.	196518.	0.3	0.3	0.02
120	120	1.76	510946.	510946.	196518.	0.3	0.3	0.02
121	121	1.76	196518.	196518.	75584.	0.3	0.3	0.02
122	122	1.76	196518.	196518.	75584.	0.3	0.3	0.02
123	123	1.76	196518.	196518.	75584.	0.3	0.3	0.02
124	124	1.76	196518.	196518.	75584.	0.3	0.3	0.02
125	125	1.76	196518.	196518.	75584.	0.3	0.3	0.02
126	126	1.76	196518.	196518.	75584.	0.3	0.3	0.02
127	127	1.76	196518.	196518.	75584.	0.3	0.3	0.02
128	128	1.76	196518.	196518.	75584.	0.3	0.3	0.02
129	129	1.76	196518.	196518.	75584.	0.3	0.3	0.02
130	130	1.76	196518.	196518.	75584.	0.3	0.3	0.02
131	131	1.76	196518.	196518.	75584.	0.3	0.3	0.02
132	132	1.76	196518.	196518.	75584.	0.3	0.3	0.02
133	133	1.76	196518.	196518.	75584.	0.3	0.3	0.02
134	134	1.76	196518.	196518.	75584.	0.3	0.3	0.02
135	135	1.76	196518.	196518.	75584.	0.3	0.3	0.02
136	136	1.76	196518.	196518.	75584.	0.3	0.3	0.02
137	137	1.76	196518.	196518.	75584.	0.3	0.3	0.02
138	138	1.76	196518.	196518.	75584.	0.3	0.3	0.02
139	139	1.76	196518.	196518.	75584.	0.3	0.3	0.02
140	140	1.76	196518.	196518.	75584.	0.3	0.3	0.02
141	141	1.76	196518.	196518.	75584.	0.3	0.3	0.02
142	142	1.76	196518.	196518.	75584.	0.3	0.3	0.02
143	143	1.76	196518.	196518.	75584.	0.3	0.3	0.02
144	144	1.76	196518.	196518.	75584.	0.3	0.3	0.02

ARAKESİT ELEMAN ÖZELLİKLERİ

145	-100.	0.100	100.	0.6	0.05	-0.1	30.
146	-100.	0.100	100.	0.6	0.05	-0.1	30.
147	-100.	0.100	100.	0.6	0.05	-0.1	30.
148	-100.	0.100	100.	0.6	0.05	-0.1	30.
149	-100.	0.100	100.	0.6	0.05	-0.1	30.
150	-100.	0.100	100.	0.6	0.05	-0.1	30.

START

STOP

EK - 3

ÇIKTI VERİLERİ LİSTESİ

SİŞEN ZEMİN

DÜĞÜM NOKTALARI SAYISI.....= 92
 TOPLAM ELEMAN SAYISI.....=150
 SINIRLAN.DÜĞÜM. NOK. SAYISI.....= 20
 ZEMİN ELEMAN SAYISI.....=144
 ARAKESİT ELEMAN SAYISI.....= 6
 BAŞLANGIÇ İTERASYON SAYISI.....= 1
 İTERASYON SAYISI.....= 15
 YERÇEKİMİ - VAR(1)/YOK(0).....= 1.
 YERÇEKİMİ İVMESİ.....= .1000E+02

-DÜĞÜM NOKTALARI KOORDİNATI, YÜKLER VE EMME GERİLMELERİ

ELEMAN NUM.	X- KOORD. -- (M)	Y- KOORD. -- (M)	X- (YÜKÜ) -- (Kg)	Y- (YÜKÜ) -- (Kg)	BAS.EMME BASINCI (pF)	SON EMME. BASINCI (pF)
1	.00	.00	.0000E+00	.0000E+00	6.00	3.00
2	.20	.00	.0000E+00	.0000E+00	6.00	3.00
3	.40	.00	.0000E+00	.0000E+00	6.00	3.00
4	.60	.00	.0000E+00	.0000E+00	6.00	3.00
5	.80	.00	.0000E+00	.0000E+00	6.00	3.00
6	1.00	.00	.0000E+00	.0000E+00	6.00	3.00
7	1.22	.00	.0000E+00	.0000E+00	6.00	3.00
8	.10	.25	.0000E+00	.0000E+00	6.00	3.00
9	.30	.25	.0000E+00	.0000E+00	6.00	3.00
10	.50	.25	.0000E+00	.0000E+00	6.00	3.00
11	.70	.25	.0000E+00	.0000E+00	6.00	3.00
12	.90	.25	.0000E+00	.0000E+00	6.00	3.00
13	1.11	.25	.0000E+00	.0000E+00	6.00	3.00
14	.00	.51	.0000E+00	.0000E+00	6.00	3.00
15	.20	.51	.0000E+00	.0000E+00	6.00	3.00
16	.40	.51	.0000E+00	.0000E+00	6.00	3.00
17	.60	.51	.0000E+00	.0000E+00	6.00	3.00
18	.80	.51	.0000E+00	.0000E+00	6.00	3.00
19	1.00	.51	.0000E+00	.0000E+00	6.00	3.00
20	1.22	.51	.0000E+00	.0000E+00	6.00	3.00
21	.10	.76	.0000E+00	.0000E+00	6.00	3.00
22	.30	.76	.0000E+00	.0000E+00	6.00	3.00
23	.50	.76	.0000E+00	.0000E+00	6.00	3.00
24	.70	.76	.0000E+00	.0000E+00	6.00	3.00
25	.90	.76	.0000E+00	.0000E+00	6.00	3.00
26	1.11	.76	.0000E+00	.0000E+00	6.00	3.00
27	.00	1.02	.0000E+00	.0000E+00	6.00	3.00
28	.20	1.02	.0000E+00	.0000E+00	6.00	3.00
29	.40	1.02	.0000E+00	.0000E+00	6.00	3.00
30	.60	1.02	.0000E+00	.0000E+00	6.00	3.00
31	.80	1.02	.0000E+00	.0000E+00	6.00	3.00
32	1.00	1.02	.0000E+00	.0000E+00	6.00	3.00
33	1.22	1.02	.0000E+00	.0000E+00	6.00	3.00
34	.10	1.27	.0000E+00	.0000E+00	6.00	3.00
35	.30	1.27	.0000E+00	.0000E+00	6.00	3.00
36	.50	1.27	.0000E+00	.0000E+00	6.00	3.00
37	.70	1.27	.0000E+00	.0000E+00	6.00	3.00
38	.90	1.27	.0000E+00	.0000E+00	6.00	3.00
39	1.11	1.27	.0000E+00	.0000E+00	6.00	3.00
40	.00	1.53	.0000E+00	.0000E+00	6.00	3.00
41	.20	1.53	.0000E+00	.0000E+00	6.00	3.00
42	.40	1.53	.0000E+00	.0000E+00	6.00	3.00
43	.60	1.53	.0000E+00	.0000E+00	6.00	3.00
44	.80	1.53	.0000E+00	.0000E+00	6.00	3.00
45	1.00	1.53	.0000E+00	.0000E+00	6.00	3.00
46	1.22	1.53	.0000E+00	.0000E+00	6.00	3.00
47	.10	1.78	.0000E+00	.0000E+00	6.00	3.00
48	.30	1.78	.0000E+00	.0000E+00	6.00	3.00
49	.50	1.78	.0000E+00	.0000E+00	6.00	3.00
50	.70	1.78	.0000E+00	.0000E+00	6.00	3.00

51	.90	1.78	.0000E+00	.0000E+00	6.00	3.00
52	1.11	1.78	.0000E+00	.0000E+00	6.00	3.00
53	.00	2.04	.0000E+00	.0000E+00	6.00	3.00
54	.20	2.04	.0000E+00	.0000E+00	6.00	3.00
55	.40	2.04	.0000E+00	.0000E+00	6.00	3.00
56	.60	2.04	.0000E+00	.0000E+00	6.00	3.00
57	.80	2.04	.0000E+00	.0000E+00	6.00	3.00
58	1.00	2.04	.0000E+00	.0000E+00	6.00	3.00
59	1.22	2.04	.0000E+00	.0000E+00	6.00	3.00
60	.10	2.29	.0000E+00	.0000E+00	6.00	3.00
61	.30	2.29	.0000E+00	.0000E+00	6.00	3.00
62	.50	2.29	.0000E+00	.0000E+00	6.00	3.00
63	.70	2.29	.0000E+00	.0000E+00	6.00	3.00
64	.90	2.29	.0000E+00	.0000E+00	6.00	3.00
65	1.11	2.29	.0000E+00	.0000E+00	6.00	3.00
66	.00	2.55	.0000E+00	.0000E+00	6.00	3.00
67	.20	2.55	.0000E+00	.0000E+00	6.00	3.00
68	.40	2.55	.0000E+00	.0000E+00	6.00	3.00
69	.60	2.55	.0000E+00	.0000E+00	6.00	3.00
70	.80	2.55	.0000E+00	.0000E+00	6.00	3.00
71	1.00	2.55	.0000E+00	.0000E+00	6.00	3.00
72	1.22	2.55	.0000E+00	.0000E+00	6.00	3.00
73	.10	2.80	.0000E+00	.0000E+00	6.00	3.00
74	.30	2.80	.0000E+00	.0000E+00	6.00	3.00
75	.50	2.80	.0000E+00	.0000E+00	6.00	3.00
76	.70	2.80	.0000E+00	.0000E+00	6.00	3.00
77	.90	2.80	.0000E+00	.0000E+00	6.00	3.00
78	1.11	2.80	.0000E+00	.0000E+00	6.00	3.00
79	.00	3.05	.0000E+00	.0000E+00	6.00	3.00
80	.20	3.05	.0000E+00	.0000E+00	6.00	3.00
81	.40	3.05	.0000E+00	.0000E+00	6.00	3.00
82	.60	3.05	.0000E+00	.0000E+00	6.00	3.00
83	.80	3.05	.0000E+00	.0000E+00	6.00	3.00
84	1.00	3.05	.0000E+00	.0000E+00	6.00	3.00
85	1.22	3.05	.0000E+00	.0000E+00	6.00	3.00
86	1.22	3.05	.0000E+00	.0000E+00	6.00	3.00
87	1.22	2.55	.0000E+00	.0000E+00	6.00	3.00
88	1.22	2.04	.0000E+00	.0000E+00	6.00	3.00
89	1.22	1.53	.0000E+00	.0000E+00	6.00	3.00
90	1.22	1.02	.0000E+00	.0000E+00	6.00	3.00
91	1.22	.51	.0000E+00	.0000E+00	6.00	3.00
92	1.22	.00	.0000E+00	.0000E+00	6.00	3.00

-ELEMAN TİPİ VE DÜĞÜM NUMARALARI

ELEMAN NUM.	1.DÜĞÜM NOK.	2.DÜĞÜM NOK.	3.DÜĞÜM NOK.
1	1	2	8
2	2	3	9
3	3	4	10
4	4	5	11
5	5	6	12
6	6	7	13
7	7	20	13
8	6	13	19
9	6	19	12
10	5	12	18
11	5	18	11
12	4	11	17
13	4	17	10
14	3	10	16
15	3	16	9
16	2	9	15
17	2	15	8
18	1	8	14

19	14	8	15
20	15	9	16
21	16	10	17
22	17	11	18
23	18	12	19
24	19	13	20
25	19	20	26
26	18	19	25
27	17	18	24
28	16	17	23
29	15	16	22
30	14	15	21
31	14	21	27
32	15	28	21
33	15	22	28
34	16	29	22
35	16	23	29
36	17	30	23
37	17	24	30
38	18	31	24
39	18	25	31
40	19	32	25
41	19	26	32
42	20	33	26
43	32	26	33
44	31	25	32
45	30	24	31
46	29	23	30
47	28	22	29
48	27	21	28
49	27	28	34
50	28	29	35
51	29	30	36
52	30	31	37
53	31	32	38
54	32	33	39
55	33	46	39
56	32	39	45
57	32	45	38
58	31	38	44
59	31	44	37
60	30	37	43
61	30	43	36
62	29	36	42
63	29	42	35
64	28	35	41
65	28	41	34
66	27	34	40
67	40	34	41
68	41	35	42
69	42	36	43
70	43	37	44
71	44	38	45
72	45	39	46
73	45	46	52
74	44	45	51
75	43	44	50
76	42	43	49
77	41	42	48
78	40	41	47
79	40	47	53
80	41	54	47
81	41	48	54
82	42	55	48
83	42	49	55
84	43	56	49
85	43	50	56

86	44	57	50
87	44	51	57
88	45	58	51
89	45	52	58
90	46	59	52
91	58	52	59
92	57	51	58
93	56	50	57
94	55	49	56
95	54	48	55
96	53	47	54
97	53	54	60
98	54	55	61
99	55	56	62
100	56	57	63
101	57	58	60
102	58	59	65
103	59	72	65
104	58	65	71
105	58	71	60
106	57	64	70
107	57	70	63
108	56	63	69
109	56	69	62
110	55	62	68
111	55	68	61
112	54	61	67
113	54	67	60
114	53	60	66
115	66	60	67
116	67	61	68
117	68	62	69
118	69	63	70
119	70	60	71
120	71	65	72
121	71	72	78
122	70	71	77
123	69	70	76
124	68	69	75
125	67	68	74
126	66	67	73
127	66	73	79
128	67	80	73
129	67	74	80
130	68	81	74
131	68	75	81
132	69	82	75
133	69	76	82
134	70	83	76
135	70	77	83
136	71	84	77
137	71	78	84
138	72	85	78
139	84	78	85
140	83	77	84
141	82	76	83
142	81	75	82
143	80	74	81
144	79	73	80

--ARAKESİT ELEMAN

145	87	86	85	72
146	88	87	72	59
147	89	88	59	46
148	90	89	46	33
149	91	90	33	20
150	92	91	20	7

-DÜĞÜM NOKYASI YER DEĞİŞTİRME KODU

DÜĞÜM KOD
NOKTASI.

1	3
2	2
3	2
4	2
5	2
6	2
7	2
14	1
27	1
40	1
53	1
66	1
79	1
86	3
87	3
88	3
89	3
90	3
91	3
92	3

- KATI ELEMAN ÖZELLİKLERİ

ELEMAN NUM.	ELEMAN TIPI.	YOĞUNLUK (Kg/m^3)	ELAS. MODÜLÜ (Kg/m^2)	ELAS. (S) (Kg/m^2)	KAYMA MODÜLÜ (Kg/m^2)	Poisson ORANI (ST)	Poisson ORANI (SN)	SCI
--								
1	1	1.760	770350.000	770350.000	296289.000	.300	.300	.020
2	2	1.760	770350.000	770350.000	296289.000	.300	.300	.020
3	3	1.760	770350.000	770350.000	296289.000	.300	.300	.020
4	4	1.760	770350.000	770350.000	296289.000	.300	.300	.020
5	5	1.760	770350.000	770350.000	296289.000	.300	.300	.020
6	6	1.760	770350.000	770350.000	296289.000	.300	.300	.020
7	7	1.760	770350.000	770350.000	296289.000	.300	.300	.020
8	8	1.760	770350.000	770350.000	296289.000	.300	.300	.020
9	9	1.760	770350.000	770350.000	296289.000	.300	.300	.020
10	10	1.760	770350.000	770350.000	296289.000	.300	.300	.020
11	11	1.760	770350.000	770350.000	296289.000	.300	.300	.020
12	12	1.760	770350.000	770350.000	296289.000	.300	.300	.020
13	13	1.760	770350.000	770350.000	296289.000	.300	.300	.020
14	14	1.760	770350.000	770350.000	296289.000	.300	.300	.020
15	15	1.760	770350.000	770350.000	296289.000	.300	.300	.020
16	16	1.760	770350.000	770350.000	296289.000	.300	.300	.020
17	17	1.760	770350.000	770350.000	296289.000	.300	.300	.020
18	18	1.760	770350.000	770350.000	296289.000	.300	.300	.020
19	19	1.760	770350.000	770350.000	296289.000	.300	.300	.020
20	20	1.760	770350.000	770350.000	296289.000	.300	.300	.020
21	21	1.760	770350.000	770350.000	296289.000	.300	.300	.020
22	22	1.760	770350.000	770350.000	296289.000	.300	.300	.020
23	23	1.760	770350.000	770350.000	296289.000	.300	.300	.020
24	24	1.760	770350.000	770350.000	296289.000	.300	.300	.020
25	25	1.760	735762.000	735762.000	282985.000	.300	.300	.020
26	26	1.760	735762.000	735762.000	282985.000	.300	.300	.020
27	27	1.760	735762.000	735762.000	282985.000	.300	.300	.020
28	28	1.760	735762.000	735762.000	282985.000	.300	.300	.020
29	29	1.760	735762.000	735762.000	282985.000	.300	.300	.020
30	30	1.760	735762.000	735762.000	282985.000	.300	.300	.020
31	31	1.760	735762.000	735762.000	282985.000	.300	.300	.020
32	32	1.760	735762.000	735762.000	282985.000	.300	.300	.020

33	1.760	735762.000	735762.000	282985.000
34	1.760	735762.000	735762.000	282985.000
35	1.760	735762.000	735762.000	282985.000
36	1.760	735762.000	735762.000	282985.000
37	1.760	735762.000	735762.000	282985.000
38	1.760	735762.000	735762.000	282985.000
39	1.760	735762.000	735762.000	282985.000
40	1.760	735762.000	735762.000	282985.000
41	1.760	735762.000	735762.000	282985.000
42	1.760	735762.000	735762.000	282985.000
43	1.760	735762.000	735762.000	282985.000
44	1.760	735762.000	735762.000	282985.000
45	1.760	735762.000	735762.000	282985.000
46	1.760	735762.000	735762.000	282985.000
47	1.760	735762.000	735762.000	282985.000
48	1.760	735762.000	735762.000	282985.000
49	1.760	694258.000	694258.000	267022.000
50	1.760	694258.000	694258.000	267022.000
51	1.760	694258.000	694258.000	267022.000
52	1.760	694258.000	694258.000	267022.000
53	1.760	694258.000	694258.000	267022.000
54	1.760	694258.000	694258.000	267022.000
55	1.760	694258.000	694258.000	267022.000
56	1.760	694258.000	694258.000	267022.000
57	1.760	694258.000	694258.000	267022.000
58	1.760	694258.000	694258.000	267022.000
59	1.760	694258.000	694258.000	267022.000
60	1.760	694258.000	694258.000	267022.000
61	1.760	694258.000	694258.000	267022.000
62	1.760	694258.000	694258.000	267022.000
63	1.760	694258.000	694258.000	267022.000
64	1.760	694258.000	694258.000	267022.000
65	1.760	694258.000	694258.000	267022.000
66	1.760	694258.000	694258.000	267022.000
67	1.760	694258.000	694258.000	267022.000
68	1.760	694258.000	694258.000	267022.000
69	1.760	694258.000	694258.000	267022.000
70	1.760	694258.000	694258.000	267022.000

71	71	1.760	694258.000	694258.000	267022.000	.300
72	72	1.760	694258.000	694258.000	267022.000	.300
73	73	1.760	644578.000	644578.000	247914.000	.300
74	74	1.760	644578.000	644578.000	247914.000	.300
75	75	1.760	644578.000	644578.000	247914.000	.300
76	76	1.760	644578.000	644578.000	247914.000	.300
77	77	1.760	644578.000	644578.000	247914.000	.300
78	78	1.760	644578.000	644578.000	247914.000	.300
79	79	1.760	644578.000	644578.000	247914.000	.300
80	80	1.760	644578.000	644578.000	247914.000	.300
81	81	1.760	644578.000	644578.000	247914.000	.300
82	82	1.760	644578.000	644578.000	247914.000	.300
83	83	1.760	644578.000	644578.000	247914.000	.300
84	84	1.760	644578.000	644578.000	247914.000	.300
85	85	1.760	644578.000	644578.000	247914.000	.300
86	86	1.760	644578.000	644578.000	247914.000	.300
87	87	1.760	644578.000	644578.000	247914.000	.300
88	88	1.760	644578.000	644578.000	247914.000	.300
89	89	1.760	644578.000	644578.000	247914.000	.300
90	90	1.760	644578.000	644578.000	247914.000	.300
91	91	1.760	644578.000	644578.000	247914.000	.300
92	92	1.760	644578.000	644578.000	247914.000	.300
93	93	1.760	644578.000	644578.000	247914.000	.300
94	94	1.760	644578.000	644578.000	247914.000	.300
95	95	1.760	644578.000	644578.000	247914.000	.300
96	96	1.760	644578.000	644578.000	247914.000	.300
97	97	1.760	510946.000	510946.000	196518.000	.300
98	98	1.760	510946.000	510946.000	196518.000	.300
99	99	1.760	510946.000	510946.000	196518.000	.300
100	100	1.760	510946.000	510946.000	196518.000	.300
101	101	1.760	510946.000	510946.000	196518.000	.300
102	102	1.760	510946.000	510946.000	196518.000	.300
103	103	1.760	510946.000	510946.000	196518.000	.300
104	104	1.760	510946.000	510946.000	196518.000	.300
105	105	1.760	510946.000	510946.000	196518.000	.300
106	106	1.760	510946.000	510946.000	196518.000	.300
107	107	1.760	510946.000	510946.000	196518.000	.300
108		1.760	510946.000	510946.000	196518.000	.300

109	109	510946.000	510946.000	196518.000	.300	.020
110	110	510946.000	510946.000	196518.000	.300	.020
111	111	510946.000	510946.000	196518.000	.300	.020
112	112	510946.000	510946.000	196518.000	.300	.020
113	113	510946.000	510946.000	196518.000	.300	.020
114	114	510946.000	510946.000	196518.000	.300	.020
115	115	510946.000	510946.000	196518.000	.300	.020
116	116	510946.000	510946.000	196518.000	.300	.020
117	117	510946.000	510946.000	196518.000	.300	.020
118	118	510946.000	510946.000	196518.000	.300	.020
119	119	510946.000	510946.000	196518.000	.300	.020
120	120	510946.000	510946.000	196518.000	.300	.020
121	121	510946.000	510946.000	196518.000	.300	.020
122	122	510946.000	510946.000	196518.000	.300	.020
123	123	510946.000	510946.000	196518.000	.300	.020
124	124	510946.000	510946.000	196518.000	.300	.020
125	125	510946.000	510946.000	196518.000	.300	.020
126	126	510946.000	510946.000	196518.000	.300	.020
127	127	510946.000	510946.000	196518.000	.300	.020
128	128	510946.000	510946.000	196518.000	.300	.020
129	129	510946.000	510946.000	196518.000	.300	.020
130	130	510946.000	510946.000	196518.000	.300	.020
131	131	510946.000	510946.000	196518.000	.300	.020
132	132	510946.000	510946.000	196518.000	.300	.020
133	133	510946.000	510946.000	196518.000	.300	.020
134	134	510946.000	510946.000	196518.000	.300	.020
135	135	510946.000	510946.000	196518.000	.300	.020
136	136	510946.000	510946.000	196518.000	.300	.020
137	137	510946.000	510946.000	196518.000	.300	.020
138	138	510946.000	510946.000	196518.000	.300	.020
139	139	510946.000	510946.000	196518.000	.300	.020
140	140	510946.000	510946.000	196518.000	.300	.020
141	141	510946.000	510946.000	196518.000	.300	.020
142	142	510946.000	510946.000	196518.000	.300	.020
143	143	510946.000	510946.000	196518.000	.300	.020
144	144	510946.000	510946.000	196518.000	.300	.020

ARAKESİT ÖZELLİKLERİ

ARAKESİT ELEMAN TİPİ NO.....	=145
MAKSİMUM KAYMA GERİLMESİ.....	= -.1000E+03
MİNİMUM-MAKSİMUM KAYMA GERİLMESİ ORAN.....	= .1000
KAYMA RİJİTLİĞİ.....	= .1000E+03
ARTIK-MAKSİMUM KESME GERİLMESİ ORANI.....	= .6000E+00
NORMAL DOĞ. MAKSİMUM YAKINSAKLIK.....	= .5000E-01
ARAKESİT YÜZEVİNİN SÜRTÜNME AÇISI.....	= .3000E+02
DİLATASYON AÇISI.....	= .0000E+00
ARAKESİT ELEMAN TİPİ NO.....	=146
MAKSİMUM KAYMA GERİLMESİ.....	= -.1000E+03
MİNİMUM-MAKSİMUM KAYMA GERİLMESİ ORAN.....	= .1000
KAYMA RİJİTLİĞİ.....	= .1000E+03
ARTIK-MAKSİMUM KESME GERİLMESİ ORANI.....	= .6000E+00
NORMAL DOĞ. MAKSİMUM YAKINSAKLIK.....	= .5000E-01
ARAKESİT YÜZEVİNİN SÜRTÜNME AÇISI.....	= .3000E+02
DİLATASYON AÇISI.....	= .0000E+00
ARAKESİT ELEMAN TİPİ NO.....	=147
MAKSİMUM KAYMA GERİLMESİ.....	= -.1000E+03
MİNİMUM-MAKSİMUM KAYMA GERİLMESİ ORAN.....	= .1000
KAYMA RİJİTLİĞİ.....	= .1000E+03
ARTIK-MAKSİMUM KESME GERİLMESİ ORANI.....	= .6000E+00
NORMAL DOĞ. MAKSİMUM YAKINSAKLIK.....	= .5000E-01
ARAKESİT YÜZEVİNİN SÜRTÜNME AÇISI.....	= .3000E+02
DİLATASYON AÇISI.....	= .0000E+00
ARAKESİT ELEMAN TİPİ NO.....	=148
MAKSİMUM KAYMA GERİLMESİ.....	= -.1000E+03
MİNİMUM-MAKSİMUM KAYMA GERİLMESİ ORAN.....	= .1000
KAYMA RİJİTLİĞİ.....	= .1000E+03
ARTIK-MAKSİMUM KESME GERİLMESİ ORANI.....	= .6000E+00
NORMAL DOĞ. MAKSİMUM YAKINSAKLIK.....	= .5000E-01
ARAKESİT YÜZEVİNİN SÜRTÜNME AÇISI.....	= .3000E+02
DİLATASYON AÇISI.....	= .0000E+00
ARAKESİT ELEMAN TİPİ NO.....	=149
MAKSİMUM KAYMA GERİLMESİ.....	= -.1000E+03
MİNİMUM-MAKSİMUM KAYMA GERİLMESİ ORAN.....	= .1000
KAYMA RİJİTLİĞİ.....	= .1000E+03
ARTIK-MAKSİMUM KESME GERİLMESİ ORANI.....	= .6000E+00
NORMAL DOĞ. MAKSİMUM YAKINSAKLIK.....	= .5000E-01
ARAKESİT YÜZEVİNİN SÜRTÜNME AÇISI.....	= .3000E+02
DİLATASYON AÇISI.....	= .0000E+00
ARAKESİT ELEMAN TİPİ NO.....	=150
MAKSİMUM KAYMA GERİLMESİ.....	= -.1000E+03
MİNİMUM-MAKSİMUM KAYMA GERİLMESİ ORAN.....	= .1000
KAYMA RİJİTLİĞİ.....	= .1000E+03
ARTIK-MAKSİMUM KESME GERİLMESİ ORANI.....	= .6000E+00
NORMAL DOĞ. MAKSİMUM YAKINSAKLIK.....	= .5000E-01
ARAKESİT YÜZEVİNİN SÜRTÜNME AÇISI.....	= .3000E+02
DİLATASYON AÇISI.....	= .0000E+00

-DÜĞÜM NOKTASI -X- VE -Y- YER DEĞİŞTİRMELERİ

DÜĞÜM NOKTASI.	X-YER DEĞİŞTİRMEŞİ (METRE)	Y-YER DEĞİŞTİRMEŞİ (METRE)
1	.000000	.000000
2	.004377	.000000
3	.008745	.000000
4	.013094	.000000
5	.017420	.000000
6	.021727	.000000
7	.025846	.000000
8	.002187	.005132
9	.006555	.005151
10	.010908	.005189
11	.015237	.005238
12	.019536	.005290
13	.023716	.005335
14	.000000	.010354
15	.004365	.010375
16	.008718	.010435
17	.013050	.010531
18	.017350	.010644
19	.021612	.010753
20	.025645	.010849
21	.002170	.015474
22	.006504	.015541
23	.010822	.015663
24	.015127	.015832
25	.019404	.016029
26	.023549	.016235
27	.000000	.020672
28	.004308	.020724
29	.008603	.020865
30	.012888	.021051
31	.017173	.021316
32	.021419	.021625
33	.025450	.021926
34	.002075	.025837
35	.006261	.025931
36	.010503	.026134
37	.014698	.026431
38	.018871	.026841
39	.022921	.027346
40	.000000	.031170
41	.003996	.031181
42	.008139	.031251
43	.012309	.031643
44	.016348	.032080
45	.020435	.032659
46	.024144	.033611
47	.001925	.036590
48	.005795	.036415
49	.009579	.036591
50	.013531	.037314
51	.017195	.038068
52	.020880	.038672
53	.000000	.042391
54	.003824	.041947
55	.007212	.041973
56	.010663	.042160
57	.014417	.043779
58	.017387	.044720
59	.022180	.043197
60	.002753	.047635
61	.005562	.047608
62	.008888	.047376

63	.012205	.046825
64	.016983	.046388
65	.019906	.046311
66	.000000	.052919
67	.004007	.053555
68	.007299	.053256
69	.010665	.052381
70	.014391	.049092
71	.016862	.047306
72	.022024	.049744
73	.002008	.058883
74	.006095	.059065
75	.010049	.058357
76	.014168	.056489
77	.017656	.054615
78	.021160	.053134
79	.000000	.064487
80	.004215	.064436
81	.008858	.064148
82	.013498	.062828
83	.017606	.061413
84	.021784	.059553
85	.025491	.056886
86	.000000	.000000
87	.000000	.000000
88	.000000	.000000
89	.000000	.000000
90	.000000	.000000
91	.000000	.000000
92	.000000	.000000

-ZEMİN ELEMANINDAKİ GERİLMELER

ELEMAN NUM.	XX- GERİLM. (Kg/m^2)	YY- GERİLM. (Kg/m^2)	XY- GERİLM. (Kg/m^2)
1	.3182E+05	.3101E+05	-.2065E+01
2	.3180E+05	.3107E+05	-.6882E+01
3	.3177E+05	.3119E+05	-.1300E+02
4	.3175E+05	.3134E+05	-.2416E+02
5	.3174E+05	.3152E+05	-.4519E+02
6	.2890E+05	.3045E+05	-.8335E+02
7	.2860E+05	.3027E+05	-.1617E+03
8	.2865E+05	.3013E+05	.1050E+03
9	.3151E+05	.3136E+05	-.1229E+03
10	.3157E+05	.3120E+05	.1744E+03
11	.3156E+05	.3119E+05	-.1030E+03
12	.3162E+05	.3103E+05	.2009E+03
13	.3162E+05	.3103E+05	-.1048E+03
14	.3167E+05	.3089E+05	.2028E+03
15	.3166E+05	.3089E+05	-.1223E+03
16	.3169E+05	.3080E+05	.1860E+03
17	.3169E+05	.3080E+05	-.1432E+03
18	.3170E+05	.3077E+05	.1658E+03
19	.3158E+05	.3057E+05	.2533E+02
20	.3155E+05	.3063E+05	.7246E+02
21	.3151E+05	.3074E+05	.1141E+03
22	.3144E+05	.3089E+05	.1256E+03
23	.3135E+05	.3104E+05	.1002E+03
24	.2835E+05	.2995E+05	.2947E+02
25	.2738E+05	.2931E+05	.3271E+02
26	.3016E+05	.3017E+05	.6786E+02
27	.3020E+05	.2991E+05	.7754E+02
28	.3025E+05	.2972E+05	.6560E+02
29	.3028E+05	.2959E+05	.4320E+02

30	.3029E+05	.2951E+05	.1583E+02
31	.3008E+05	.2925E+05	.1747E+03
32	.3007E+05	.2929E+05	-.1051E+03
33	.3008E+05	.2930E+05	.2328E+03
34	.3004E+05	.2941E+05	-.4643E+02
35	.3008E+05	.2943E+05	.2630E+03
36	.3004E+05	.2955E+05	-.2012E+02
37	.3012E+05	.2959E+05	.3189E+03
38	.3004E+05	.2979E+05	.2441E+02
39	.3008E+05	.2981E+05	.3376E+03
40	.2998E+05	.3009E+05	.4386E+02
41	.2734E+05	.2895E+05	.2842E+03
42	.2724E+05	.2923E+05	.5755E+01
43	.2719E+05	.2888E+05	.2630E+03
44	.2991E+05	.2974E+05	.3197E+03
45	.2996E+05	.2948E+05	.2705E+03
46	.2987E+05	.2927E+05	.1801E+03
47	.2985E+05	.2913E+05	.1457E+03
48	.2986E+05	.2904E+05	.5471E+02
49	.2836E+05	.2784E+05	-.1587E+02
50	.2830E+05	.2781E+05	-.2000E+02
51	.2832E+05	.2793E+05	-.9645E+01
52	.2843E+05	.2820E+05	-.1124E+01
53	.2844E+05	.2858E+05	-.4250E+02
54	.2605E+05	.2816E+05	-.1837E+03
55	.2523E+05	.2829E+05	.6478E+02
56	.2552E+05	.2744E+05	.2415E+03
57	.2797E+05	.2849E+05	-.4296E+00
58	.2810E+05	.2814E+05	.2302E+03
59	.2781E+05	.2802E+05	-.1878E+01
60	.2789E+05	.2780E+05	.1999E+03
61	.2795E+05	.2782E+05	-.1232E+02
62	.2805E+05	.2756E+05	.2326E+03
63	.2792E+05	.2750E+05	-.1774E+03
64	.2789E+05	.2759E+05	.5529E+02
65	.2765E+05	.2749E+05	-.1301E+03
66	.2764E+05	.2755E+05	.5057E+02
67	.2690E+05	.2719E+05	-.6488E+02
68	.2750E+05	.2729E+05	-.1041E+03
69	.2767E+05	.2745E+05	.2358E+03
70	.2724E+05	.2761E+05	.2041E+03
71	.2762E+05	.2806E+05	.2801E+03
72	.2468E+05	.2756E+05	.5074E+03
73	.2287E+05	.2549E+05	-.3245E+03
74	.2621E+05	.2738E+05	-.4686E+03
75	.2563E+05	.2643E+05	-.2485E+03
76	.2574E+05	.2561E+05	-.1534E+03
77	.2571E+05	.2575E+05	-.1830E+03
78	.2539E+05	.2622E+05	-.5930E+02
79	.2489E+05	.2625E+05	-.2000E+03
80	.2509E+05	.2570E+05	-.4099E+03
81	.2419E+05	.2532E+05	-.1906E+03
82	.2421E+05	.2527E+05	-.2236E+03
83	.2426E+05	.2529E+05	-.2422E+03
84	.2435E+05	.2504E+05	-.2864E+03
85	.2527E+05	.2544E+05	.4788E+03
86	.2476E+05	.2686E+05	.3030E+03
87	.2410E+05	.2657E+05	-.3112E+03
88	.2394E+05	.2701E+05	-.2339E+03
89	.2409E+05	.2708E+05	-.1255E+04
90	.2514E+05	.2409E+05	-.1770E+04
91	.2647E+05	.2575E+05	-.2762E+04
92	.2172E+05	.2615E+05	-.6680E+02
93	.2437E+05	.2585E+05	.1062E+04
94	.2281E+05	.2469E+05	-.3808E+03
95	.2263E+05	.2480E+05	-.2324E+03
96	.2457E+05	.2573E+05	-.5628E+03

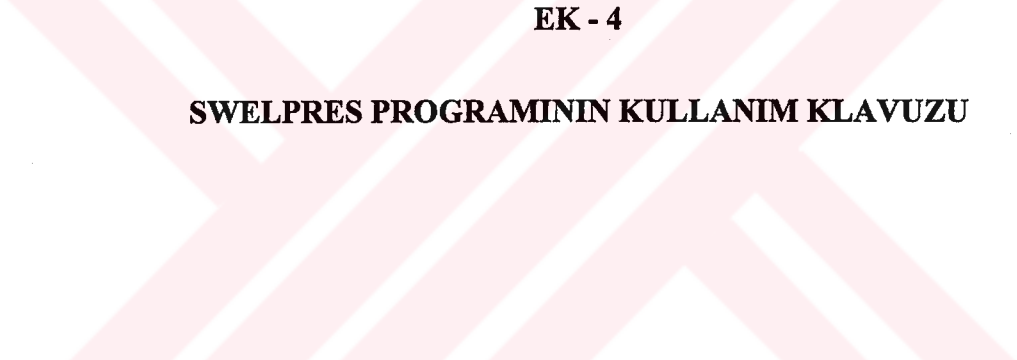
97	.1960E+05	.2068E+05	.2254E+03
98	.1831E+05	.2053E+05	.6025E+02
99	.1813E+05	.1970E+05	.1446E+03
100	.1746E+05	.1614E+05	.1327E+04
101	.1864E+05	.2405E+05	-.7415E+02
102	.1776E+05	.1290E+05	-.1264E+04
103	.1752E+05	.1472E+05	.1096E+03
104	.1886E+05	.1093E+05	.3762E+03
105	.1248E+05	.8197E+04	-.5617E+03
106	.2081E+05	.1477E+05	-.3809E-01
107	.1820E+05	.1365E+05	-.8781E+03
108	.1651E+05	.1833E+05	-.6768E+03
109	.1813E+05	.1902E+05	-.4049E+03
110	.1776E+05	.2003E+05	-.2174E+03
111	.1816E+05	.2021E+05	-.1713E+03
112	.1805E+05	.2051E+05	.1363E+02
113	.1469E+05	.1908E+05	.7436E+02
114	.2502E+05	.2231E+05	.1644E+03
115	.2013E+05	.2072E+05	.5829E+02
116	.1789E+05	.2019E+05	-.2248E+03
117	.1775E+05	.1936E+05	-.7895E+03
118	.1725E+05	.1584E+05	-.2987E+04
119	.1724E+05	.2403E+05	.5055E+03
120	.1865E+05	.1277E+05	.1828E+04
121	.8297E+04	.7537E+04	.1357E+04
122	.6178E+04	.8189E+04	-.6151E+02
123	.7538E+04	.8200E+04	-.7470E+03
124	.6965E+04	.7769E+04	-.8190E+01
125	.6921E+04	.7855E+04	.2102E+02
126	.7860E+04	.8246E+04	.2420E+03
127	.7936E+04	.8398E+04	.1357E+03
128	.8029E+04	.8141E+04	.1169E+03
129	.7717E+04	.8007E+04	.8414E+02
130	.7716E+04	.8011E+04	-.3877E+02
131	.7684E+04	.7997E+04	-.2505E+02
132	.7744E+04	.7831E+04	-.1409E+03
133	.7889E+04	.7893E+04	-.4143E+03
134	.7637E+04	.8594E+04	-.4490E+03
135	.7178E+04	.8398E+04	.3655E+01
136	.7187E+04	.8370E+04	-.1517E+03
137	.7195E+04	.8373E+04	.5406E+03
138	.7866E+04	.6456E+04	.6486E+03
139	.6764E+04	.7292E+04	-.1674E+03
140	.8187E+04	.8578E+04	-.8651E+02
141	.7988E+04	.8287E+04	-.1163E+03
142	.8464E+04	.8059E+04	-.1577E+03
143	.8512E+04	.8163E+04	.2434E+02
144	.8105E+04	.8293E+04	.1056E+02

-AKTİF, PASİF, SÜKUNET HALİNDEKİ TOPRAK BASINCLARI VE ŞİŞME BASINCLARI

ELEMAN NO.	SIG. AKT. (Kg/m^2)	SIG. SUK. (Kg/m^2)	SIG. PAS (Kg/m^2)	SIG. ŞİŞME (Kg/m^2)	ELAST. MOD. (Kg/m^2)
1	.9755E+04	.1329E+05	.9859E+05	.3182E+05	.7704E+06
2	.9774E+04	.1332E+05	.9878E+05	.3180E+05	.7704E+06
3	.9810E+04	.1337E+05	.9915E+05	.3177E+05	.7704E+06
4	.9859E+04	.1343E+05	.9965E+05	.3175E+05	.7704E+06
5	.9913E+04	.1351E+05	.1002E+06	.3174E+05	.7704E+06
6	.9578E+04	.1305E+05	.9680E+05	.2890E+05	.7704E+06
7	.9521E+04	.1297E+05	.9622E+05	.2860E+05	.7704E+06
8	.9477E+04	.1291E+05	.9578E+05	.2865E+05	.7704E+06
9	.9863E+04	.1344E+05	.9968E+05	.3151E+05	.7704E+06
10	.9813E+04	.1337E+05	.9918E+05	.3157E+05	.7704E+06
11	.9812E+04	.1337E+05	.9917E+05	.3156E+05	.7704E+06
12	.9761E+04	.1330E+05	.9865E+05	.3162E+05	.7704E+06

13	.9761E+04	.1330E+05	.9865E+05	.3162E+05	.7704E+06
14	.9717E+04	.1324E+05	.9821E+05	.3167E+05	.7704E+06
15	.9716E+04	.1324E+05	.9820E+05	.3166E+05	.7704E+06
16	.9689E+04	.1320E+05	.9793E+05	.3169E+05	.7704E+06
17	.9689E+04	.1320E+05	.9793E+05	.3169E+05	.7704E+06
18	.9680E+04	.1319E+05	.9783E+05	.3170E+05	.7704E+06
19	.9616E+04	.1310E+05	.9719E+05	.3158E+05	.7704E+06
20	.9634E+04	.1313E+05	.9737E+05	.3155E+05	.7704E+06
21	.9670E+04	.1318E+05	.9773E+05	.3151E+05	.7704E+06
22	.9716E+04	.1324E+05	.9820E+05	.3144E+05	.7704E+06
23	.9765E+04	.1330E+05	.9869E+05	.3135E+05	.7704E+06
24	.9421E+04	.1284E+05	.9521E+05	.2835E+05	.7704E+06
25	.9219E+04	.1256E+05	.9317E+05	.2738E+05	.7358E+06
26	.9489E+04	.1293E+05	.9590E+05	.3016E+05	.7358E+06
27	.9407E+04	.1282E+05	.9507E+05	.3020E+05	.7358E+06
28	.9348E+04	.1274E+05	.9448E+05	.3025E+05	.7358E+06
29	.9307E+04	.1268E+05	.9407E+05	.3028E+05	.7358E+06
30	.9281E+04	.1265E+05	.9380E+05	.3029E+05	.7358E+06
31	.9201E+04	.1254E+05	.9299E+05	.3008E+05	.7358E+06
32	.9214E+04	.1255E+05	.9313E+05	.3007E+05	.7358E+06
33	.9216E+04	.1256E+05	.9315E+05	.3008E+05	.7358E+06
34	.9251E+04	.1260E+05	.9350E+05	.3004E+05	.7358E+06
35	.9256E+04	.1261E+05	.9355E+05	.3008E+05	.7358E+06
36	.9295E+04	.1266E+05	.9395E+05	.3004E+05	.7358E+06
37	.9306E+04	.1268E+05	.9406E+05	.3012E+05	.7358E+06
38	.9372E+04	.1277E+05	.9472E+05	.3004E+05	.7358E+06
39	.9378E+04	.1278E+05	.9478E+05	.3008E+05	.7358E+06
40	.9464E+04	.1289E+05	.9565E+05	.2998E+05	.7358E+06
41	.9106E+04	.1241E+05	.9204E+05	.2734E+05	.7358E+06
42	.9195E+04	.1253E+05	.9293E+05	.2724E+05	.7358E+06
43	.9086E+04	.1238E+05	.9183E+05	.2719E+05	.7358E+06
44	.9355E+04	.1275E+05	.9455E+05	.2991E+05	.7358E+06
45	.9274E+04	.1263E+05	.9373E+05	.2996E+05	.7358E+06
46	.9205E+04	.1254E+05	.9304E+05	.2987E+05	.7358E+06
47	.9162E+04	.1248E+05	.9259E+05	.2985E+05	.7358E+06
48	.9136E+04	.1245E+05	.9233E+05	.2986E+05	.7358E+06
49	.8757E+04	.1193E+05	.8850E+05	.2836E+05	.6943E+06
50	.8746E+04	.1192E+05	.8840E+05	.2830E+05	.6943E+06
51	.8786E+04	.1197E+05	.8880E+05	.2832E+05	.6943E+06
52	.8871E+04	.1209E+05	.8965E+05	.2843E+05	.6943E+06
53	.8990E+04	.1225E+05	.9085E+05	.2844E+05	.6943E+06
54	.8858E+04	.1207E+05	.8953E+05	.2605E+05	.6943E+06
55	.8899E+04	.1213E+05	.8994E+05	.2523E+05	.6943E+06
56	.8633E+04	.1176E+05	.8725E+05	.2552E+05	.6943E+06
57	.8963E+04	.1221E+05	.9059E+05	.2797E+05	.6943E+06
58	.8853E+04	.1206E+05	.8947E+05	.2810E+05	.6943E+06
59	.8813E+04	.1201E+05	.8907E+05	.2781E+05	.6943E+06
60	.8743E+04	.1191E+05	.8837E+05	.2789E+05	.6943E+06
61	.8752E+04	.1192E+05	.8845E+05	.2795E+05	.6943E+06
62	.8668E+04	.1181E+05	.8761E+05	.2805E+05	.6943E+06
63	.8651E+04	.1179E+05	.8744E+05	.2792E+05	.6943E+06
64	.8680E+04	.1183E+05	.8773E+05	.2789E+05	.6943E+06
65	.8649E+04	.1178E+05	.8741E+05	.2765E+05	.6943E+06
66	.8665E+04	.1181E+05	.8758E+05	.2764E+05	.6943E+06
67	.8553E+04	.1165E+05	.8644E+05	.2690E+05	.6943E+06
68	.8584E+04	.1170E+05	.8676E+05	.2750E+05	.6943E+06
69	.8634E+04	.1176E+05	.8726E+05	.2767E+05	.6943E+06
70	.8684E+04	.1183E+05	.8776E+05	.2724E+05	.6943E+06
71	.8826E+04	.1202E+05	.8920E+05	.2762E+05	.6943E+06
72	.8670E+04	.1181E+05	.8763E+05	.2468E+05	.6943E+06
73	.8017E+04	.1092E+05	.8102E+05	.2287E+05	.6446E+06
74	.8612E+04	.1173E+05	.8703E+05	.2621E+05	.6446E+06
75	.8315E+04	.1133E+05	.8404E+05	.2563E+05	.6446E+06
76	.8055E+04	.1097E+05	.8141E+05	.2574E+05	.6446E+06
77	.8099E+04	.1103E+05	.8186E+05	.2571E+05	.6446E+06
78	.8248E+04	.1124E+05	.8337E+05	.2539E+05	.6446E+06
79	.8257E+04	.1125E+05	.8345E+05	.2489E+05	.6446E+06

80	.8085E+04	.1102E+05	.8172E+05	.2509E+05	.6446E+06
81	.7965E+04	.1085E+05	.8050E+05	.2419E+05	.6446E+06
82	.7948E+04	.1083E+05	.8033E+05	.2421E+05	.6446E+06
83	.7955E+04	.1084E+05	.8040E+05	.2426E+05	.6446E+06
84	.7877E+04	.1073E+05	.7961E+05	.2435E+05	.6446E+06
85	.8001E+04	.1090E+05	.8087E+05	.2527E+05	.6446E+06
86	.8448E+04	.1151E+05	.8539E+05	.2476E+05	.6446E+06
87	.8359E+04	.1139E+05	.8448E+05	.2410E+05	.6446E+06
88	.8496E+04	.1158E+05	.8587E+05	.2394E+05	.6446E+06
89	.8517E+04	.1160E+05	.8608E+05	.2409E+05	.6446E+06
90	.7577E+04	.1032E+05	.7658E+05	.2514E+05	.6446E+06
91	.8098E+04	.1103E+05	.8185E+05	.2647E+05	.6446E+06
92	.8226E+04	.1121E+05	.8314E+05	.2172E+05	.6446E+06
93	.8132E+04	.1108E+05	.8219E+05	.2437E+05	.6446E+06
94	.7767E+04	.1058E+05	.7849E+05	.2281E+05	.6446E+06
95	.7802E+04	.1063E+05	.7885E+05	.2263E+05	.6446E+06
96	.8093E+04	.1103E+05	.8180E+05	.2457E+05	.6446E+06
97	.6503E+04	.8861E+04	.6573E+05	.1960E+05	.5109E+06
98	.6459E+04	.8800E+04	.6528E+05	.1831E+05	.5109E+06
99	.6196E+04	.8441E+04	.6262E+05	.1813E+05	.5109E+06
100	.5077E+04	.6918E+04	.5132E+05	.1746E+05	.5109E+06
101	.7565E+04	.1031E+05	.7645E+05	.1864E+05	.5109E+06
102	.4057E+04	.5527E+04	.4100E+05	.1776E+05	.5109E+06
103	.4630E+04	.6308E+04	.4679E+05	.1752E+05	.5109E+06
104	.3438E+04	.4684E+04	.3475E+05	.1886E+05	.5109E+06
105	.2579E+04	.3513E+04	.2606E+05	.1248E+05	.5109E+06
106	.4645E+04	.6329E+04	.4695E+05	.2081E+05	.5109E+06
107	.4293E+04	.5850E+04	.4339E+05	.1820E+05	.5109E+06
108	.5765E+04	.7854E+04	.5826E+05	.1651E+05	.5109E+06
109	.5983E+04	.8152E+04	.6047E+05	.1813E+05	.5109E+06
110	.6302E+04	.8586E+04	.6369E+05	.1776E+05	.5109E+06
111	.6356E+04	.8659E+04	.6424E+05	.1816E+05	.5109E+06
112	.6453E+04	.8792E+04	.6522E+05	.1805E+05	.5109E+06
113	.6000E+04	.8175E+04	.6064E+05	.1469E+05	.5109E+06
114	.7019E+04	.9563E+04	.7094E+05	.2502E+05	.5109E+06
115	.6519E+04	.8882E+04	.6588E+05	.2013E+05	.5109E+06
116	.6350E+04	.8652E+04	.6418E+05	.1789E+05	.5109E+06
117	.6089E+04	.8297E+04	.6154E+05	.1775E+05	.5109E+06
118	.4982E+04	.6788E+04	.5035E+05	.1725E+05	.5109E+06
119	.7559E+04	.1030E+05	.7640E+05	.1724E+05	.5109E+06
120	.4018E+04	.5474E+04	.4061E+05	.1865E+05	.5109E+06
121	.2371E+04	.3230E+04	.2396E+05	.8297E+04	.1965E+06
122	.2576E+04	.3510E+04	.2603E+05	.6178E+04	.1965E+06
123	.2579E+04	.3514E+04	.2607E+05	.7538E+04	.1965E+06
124	.2444E+04	.3330E+04	.2470E+05	.6965E+04	.1965E+06
125	.2471E+04	.3366E+04	.2497E+05	.6921E+04	.1965E+06
126	.2594E+04	.3534E+04	.2621E+05	.7860E+04	.1965E+06
127	.2642E+04	.3599E+04	.2670E+05	.7936E+04	.1965E+06
128	.2561E+04	.3489E+04	.2588E+05	.8029E+04	.1965E+06
129	.2519E+04	.3432E+04	.2546E+05	.7717E+04	.1965E+06
130	.2520E+04	.3433E+04	.2547E+05	.7716E+04	.1965E+06
131	.2516E+04	.3427E+04	.2542E+05	.7684E+04	.1965E+06
132	.2463E+04	.3356E+04	.2490E+05	.7744E+04	.1965E+06
133	.2483E+04	.3383E+04	.2509E+05	.7889E+04	.1965E+06
134	.2703E+04	.3683E+04	.2732E+05	.7637E+04	.1965E+06
135	.2641E+04	.3599E+04	.2670E+05	.7178E+04	.1965E+06
136	.2633E+04	.3587E+04	.2661E+05	.7187E+04	.1965E+06
137	.2634E+04	.3588E+04	.2662E+05	.7195E+04	.1965E+06
138	.2031E+04	.2767E+04	.2052E+05	.7866E+04	.1965E+06
139	.2294E+04	.3125E+04	.2318E+05	.6764E+04	.1965E+06
140	.2698E+04	.3676E+04	.2727E+05	.8187E+04	.1965E+06
141	.2607E+04	.3552E+04	.2635E+05	.7988E+04	.1965E+06
142	.2535E+04	.3454E+04	.2562E+05	.8464E+04	.1965E+06
143	.2568E+04	.3498E+04	.2595E+05	.8512E+04	.1965E+06
144	.2609E+04	.3554E+04	.2636E+05	.8105E+04	.1965E+06



EK - 4

SWELPRES PROGRAMININ KULLANIM KLAVUZU

EK4.1 Giriş

SWELPRES programını bilgisayarda çalıştırmadan önce veri dosyasının aşağıda sırası ile açıklandığı şekilde hazırlanması gerekmektedir. Veri dosyası hazırlanırken format bilgilerine gerek duyulmaktadır. Formatın dışında bir değerin girilmesi programın doğru bir şekilde çalışmasını engeller. SWELPRES programı, fortran derleyici programın yüklü olduğu herhangibir kişisel bilgisayarda ve VAX terminalinde kullanılabilir. Fortran derleyicileri arasında küçük farklılıklar olabilir bu nedenle derleyici farklılıklarından doğabilecek sorunlar programı çalıştırmadan önce giderilmelidir.

EK 4.2 Programın Yapısı

Aşağıdaki verilen adımlar doğrultusunda programın yapısı açıklanmıştır.

- Veriler okunur
- Malzeme özelliklerinden gerilme-şekil değiştirme matrisi hazırlanır
- Katılık matrisini düzelte : Alt program **SKM** (Sistem Katılık Matrisi)' yi çağır
 - Alt program **SKM**
 - Her eleman için eleman katılık matrisini ve başlangıç yüklerini hesapla:
 - Zemin için Alt program **UEKM** (Üçgen Eleman Katılık Matrisi)' ni çağır, arakesit eleman için alt program **AEKM** (Arakesit Eleman Katılık Matrisi)'ni çağır.
 - Yapısal katılık matrisini ve başlangıç yük vektörünü $\{R\}$, topla
 - Sınır şartlarını oku
 - Geri dön
- Yer değiştirmeleri hesapla : Katılık matrisinin tersini al ve matrisin tersi (KS) ile geri dön
 - Yer değiştirmeleri başlangıç durumuna getir $\{u\}$
 - İterasyon döngüsüne gir
 - Artımsal yer değiştirmeleri hesapla ve $\{u\}$ 'ya ekle $\{u\} = (KS)\{R\} + \{u\}$

- Bu yer değiştirmelerden gerilmeleri hesapla : Alt program **GERILMELER**'i çağır
 - Alt program **GERILMELER**
 - Herbir eleman için dön
 - Toplam düğüm noktası yer değiştirmelerini hesapla
 - Eleman gerilme-yer değiştirme matrisini oluştur
 - Eleman gerilme değişimlerini hesapla ve eleman başlangıç gerilmelerine ekle
 - Geri dön
- Arakesit gerilmelerini ve başlangıç yük artımlarını hesapla $\{R\}$: Alt program **DONGU**'yu çağır
 - Alt program **DONGU**
 - Herbir eleman için dön
 - Toplam düğüm noktası yer değiştirmelerini hesapla
 - Lokal koordinatlarda arakesit deformasyonlarını hesapla
 - Arakesit eleman modeli ile karşılaşır
 - Kuvvet artımlarını hesapla ve bir sonraki iterasyon için depola
 - Kuvvet artımlarını global koordinatlara dönüştür ve $\{R\}$ 'de depola
 - Geri dön
 - Yer değiştirmeleri ve gerilmeleri çıktıya yaz
 - Son iterasyonda iteratif döngüsünü bırak
 - SON

EK 4.3 İteratif Çözüm

Arakesit elemanlarının gerçek davranışını en yakın bir şekilde gösterebilmek için iteratif çözüm yapılır. İlk önce düğüm noktalarındaki yer değiştirmeler lineer denklemler yardımıyla belirlenir. Ancak, belirlenen yer değiştirmeler arakesit elemana gerilmeler oluşmasına sebep olabilir ya da çok büyük kayma gerilmeleri ortaya çıkabilir ve herbir durumda kayma gerilmesi büyümeye eğilimi gösterecektir. Bundan dolayı ilk çözüm, arakesit elemanın herbir düğüm noktasında incelenmelidir ve gerçek davranış ile karşılaştırılmalıdır. Bu karşılaştırma tamamen kabul edilebilir bir sonuç elde edilene kadar devam ettirilir. Bu şekilde yapılan iteratif metodlar diferansiyel denklemlerin sayısal

çözümleri için kullanılan “deneme-yanılma” metotları ile benzerlik gösterirler (Dorn, McCracken, 1972).

EK 4.3.1 Yük Transfer Metodu ve Değişebilir Rijitlik Metodu

İteratif metotlara değişebilir rijitlik metodu ve yük transfer metodu örnek olarak verilebilir. Bunlardan değişebilir rijitlik metodunda işlem akışı şöyledir. Öncelikle iteratif çözümle malzemenin gerçek davranışını temsil eden yük-deformasyon eğrisi idealleştirilerek doğrulara indirgenir. Arakesit elemanın yük-deformasyon eğrisinin elastik kısmını temsil edecek şekilde bir başlangıç rijitliği, (k_1) seçilir. Ek Şekil 1.'de bir arakesit elemana ait yük-deformasyon eğrisi temsili olarak gösterilmektedir. Başlangıçta uygulanan kayma yükünden (F_0) dolayı, arakesit eleman ile gerilme, R_1 noktasında dengeye gelirler. Bu durum arakesit elemanın gerçek yük-deformasyon davranışını tam olarak yansıtmez. Bu durumda yük-deformasyon eğrisine daha yakın bir noktadan (R_1^c)'den geçen yeni bir ideal doğru için tekrar bir rijitlik (k_2) hesaplanır. Bu rijitlige göre de ($R_{2,VS}$) noktasında yeni bir çözüm elde edilir. Bu çözüm hala kabul edilemez olmakla beraber doğru çözüme (R_∞) biraz daha yakındır.

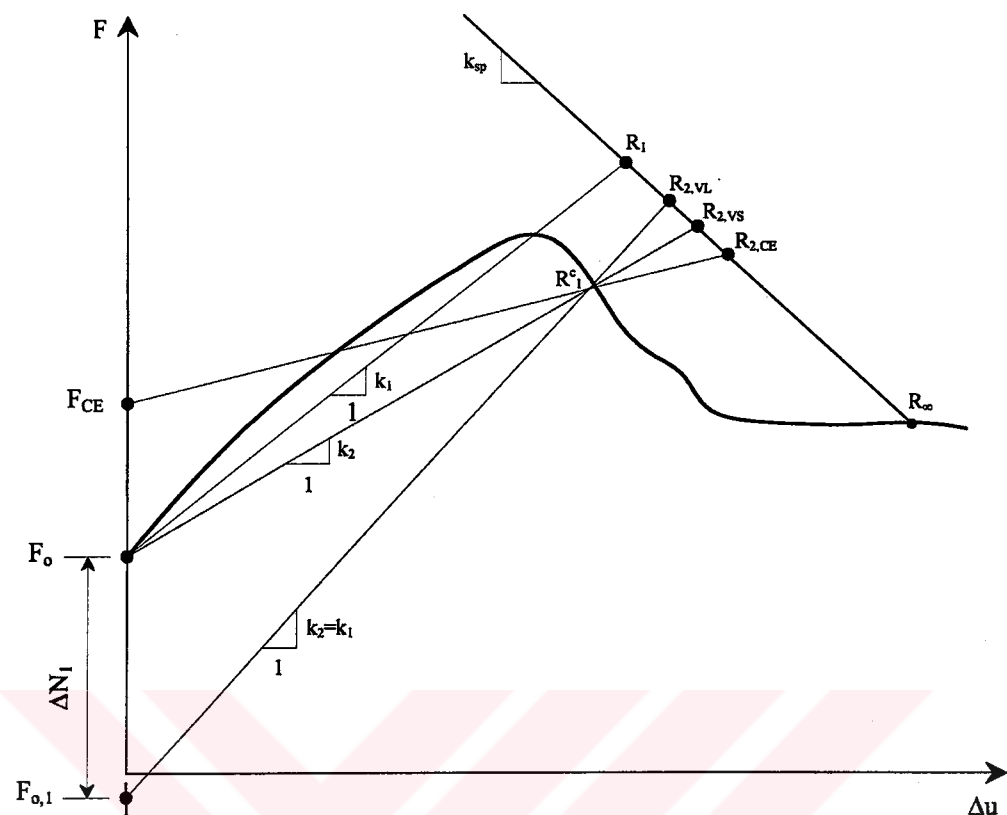
SWELPRES' de kullanılan yük transfer metodu, değişebilir rijitlik metoduna göre daha fazla iterasyonla yakınsamasına rağmen bu metotda her iterasyondaki işlem yükü daha azdır. Her iterasyonda rijitlik matrisini değiştirmek yerine yük vektörünü değiştirmek daha kolay olduğundan yük transfer metodunu kullanmak bilgisayara yaptırılacak işlerin yükünü azaltması nedeniyle tercih edilmiştir. Zienkiewicz (1971), rijitlik matrisini yeniden hesaplamak yerine aynı rijitlik ($k_2 = k_1$) fakat yeni bir başlangıç yükü ile, ($F_{0,1}$) yeni iterasyona başlanması esas alan yeni bir yük transfer metodunu önermiştir. Bu metotda,

$$F_{0,1} = F_{x,0} + \Delta N_1 \text{ ' dir.}$$

Burada,

$$\Delta N_1 = R_1^c - R_1$$

Bu şekilde $R_{2,VL}$ çözüm noktasına ulaşılır. Yük transfer metodunda başlangıç yükü ise şöyle seçilir : $F_{CE} R_1^c$ doğrusu altında kalan alan, gerçek yük-deformasyon eğrisinin R_1^c noktasına kadar altında kalan alana eşit olacak şekilde başlangıç yükü (F_{CE}), seçilir. Sonuçta ($R_{2,CE}$) çözümü elde edilir. Bu çözüm daha önce bulunan çözümlere göre daha uygundur.



Ek Şekil 1. Arakesit elamanının gerçek davranışını idealize eden alternatif iteratif çözüm şekilleri

EK 4.4 Başlangıç Bilgileri

Bir kullanıcı SWELPRES programını çalıştırduğunda ilk önce aşağıdaki sorulara cevap vermelidir.

- Adım 1 : PROGRAM İÇİN VERİ DOSYANIZIN ADINI GİRİNİZ
- Adım 2 : PROGRAM İÇİN ÇIKTı DOSYANIZIN ADINI GİRİNİZ
- Adım 3 : ŞİSME VARSA (1) YAZINIZ
- Adım 4 : ŞİSME YOKSA (0) YAZINIZ
-VERILER OKUNUYOR.....

Program çalışmaya başlamıştır.

EK 4.5 Veri Listesi Oluşturma

Veri dosyası oluşturulurken format bilgilerini kullanmak gerekmektedir. Programın doğru bir şekilde çalışması için veri dosyası aşağıdaki şekilde hazırlanmalıdır.

1- Başlık (9A8)

2- Kontrol listesi (7I5/2F10.0)

- (1) Düğüm noktası sayısı
- (2) Eleman sayısı
- (3) Sınırlandırılmış düğüm noktası sayısı
- (4) Katı eleman sayısı
- (5) Arakesit eleman sayısı
- (6) İlk iterasyon sayısı
- (7) Son iterasyon sayısı
- (8) Yerçekimi ivmesi var ise 1- yaz yok ise boşluk bırak
- (9) Yerçekimi ivmesi

3- Düğüm noktası koordinatı, yükler ve emme gerilmeleri (I5,6F10.3)

- (1) Düğüm noktası numarası
- (2) X koordinatı (metre)
- (3) Y koordinatı (metre)
- (4) Başlangıç X doğrultusundaki yük
- (5) Başlangıç Y doğrultusundaki yük
- (6) Başlangıç emme gerilmesi (pF)
- (7) Son emme gerilmesi (pF)

4- Eleman tipi ve düğüm numaraları (6I5)

- (1) Eleman numarası
- (2) Malzeme tipi
- (3) 1. Düğüm noktası (i)
- (4) 2. Düğüm noktası (j)
- (5) 3. Düğüm noktası (k)
- (6) 4. Düğüm noktası (l) , katı (zemin) eleman için boşluk bırakınız

Düğüm noktaları saat yönünün tersi yönde sıralanmıştır. Arakesit eleman için Şekil 23. (c)'de görüldüğü gibi uzun kenarlar IJ ve KL şeklinde olmalıdır.

5- Düğüm noktası sınır şartları (serbest format)

- (1) Düğüm noktası numarası

- (2) Sınır şartı kodu

$$X = 0 \Rightarrow 1$$

$$Y = 0 \Rightarrow 2$$

$$X=Y=0 \Rightarrow 3$$

6- Katı eleman özellikleri (2X,I5,5X,I5,3X,3F12.3,1X,4F12.3)

- (1) Eleman numarası

- (2) Eleman tipi

- (3) Birim hacim ağırlık (gr/cm^3)

- (4) Elastisite modülü (s) (kg/m^2)

- (5) Elastisite modülü (n) (kg/m^2)

- (6) Kesme modülü

- (7) Poisson oranı (sn)

- (8) Poisson oranı (st)

- (9) Zemin emme değişimi indeksi SCI

7- Arakesit eleman özellikleri (I5,7F10.3,F5.1)

- (1) Arakesit eleman numarası

- (2) Eleman tipi

- (3) Maksimum kayma gerilmesi (kg/m^2) (negatif)

- (4) Minimum-maksimum kayma gerilmesi oranı

- (5) Kayma rıjitliği, k_s (kg/m^3)

- (6) Artık gerilme -maksimum kayma gerilmesi oranı

- (7) Normal doğrultusundaki maksimum yakınsaklık

- (8) Arakesit yüzeyi sürtünme açısı

- (9) Dilatasyon açısı

START

STOP

ÖZGEÇMİŞ

1968 yılında Sivas'ın Zara İlçesinde doğdu. 1974-1985 yılları arasında İlk, Orta ve Lise öğrenimini Sivas da tamamladıktan sonra, 1985 yılında girdiği Yıldız Teknik Üniversitesi Mühendislik-Mimarlık Fakültesi, İnşaat Mühendisliği Bölümü'nden 1990 yılında mezun oldu. 1992 yılında Cumhuriyet Üniversitesi Mühendislik Fakültesi İnşaat Mühendisliği Bölümü'nde araştırma görevlisi olarak çalışmaya başladı. 1992 yılında KTÜ Fen Bilimleri Enstitüsü, İnşaat Mühendisliği Anabilim Dalı'nda başladığı yüksek lisans öğrenimini , Aralık 1995 de yüksek mühendis ünvanını alarak tamamladı. 1996 yılında KTÜ Fen Bilimleri Enstitüsü, İnşaat Mühendisliği Anabilim Dalı'nda doktora çalışmasına başladı ve halen doktora öğrenimine devam etmektedir. 1998 yılında doktora öğrenimi yaparken, KTÜ Fen Bilimleri Enstitüsü'nde 35.madde kapsamında Cumhuriyet Üniversitesi adına araştırma görevlisi olarak çalışmaya başladı ve halen görevini devam ettirmektedir. İngilizce bilmektedir.

**TC YÜKSEKÖĞRETİM KURUMU
DOKTORANTÜRKİYİ**